

# Modèle de donnée géologique, Révision 3.1

Description et catalogue de donnée

Office fédéral de topographie swisstopo

juin 2024

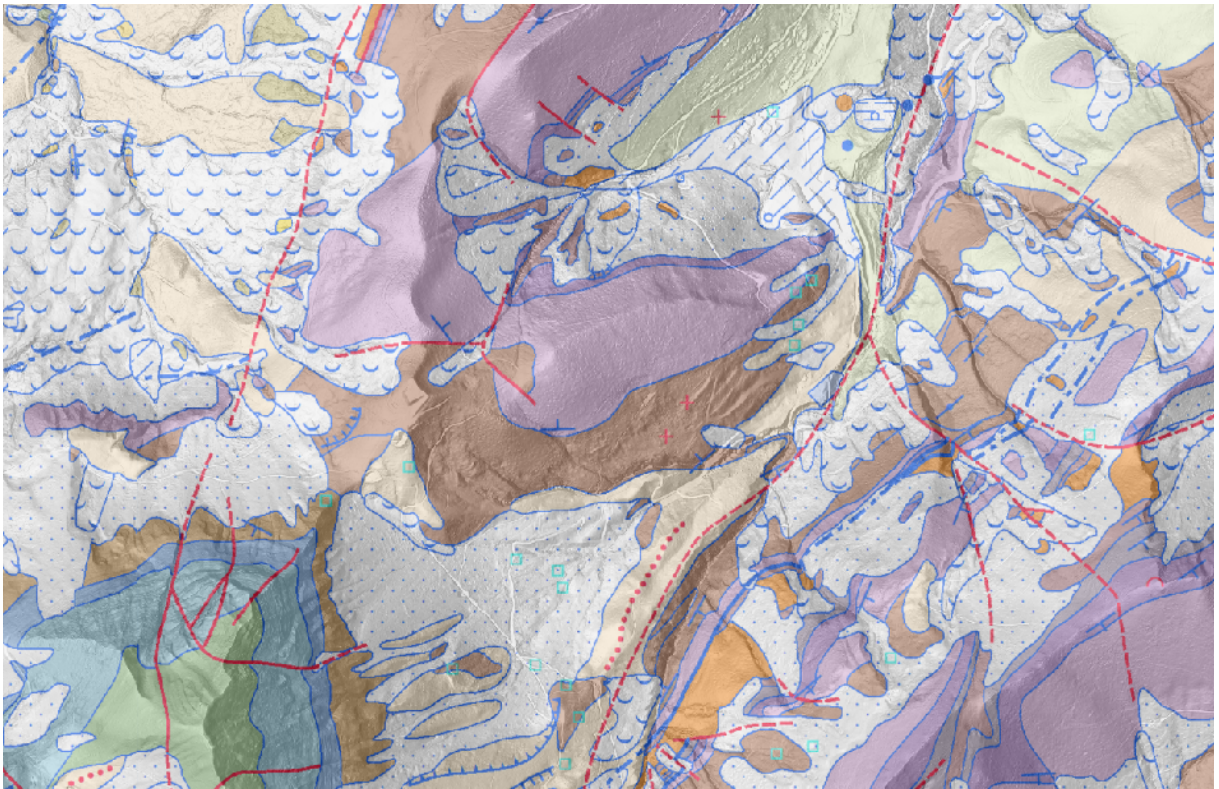


Figure 1: Extrait de Geocover et exemple de représentation

# 1 Thème ROCK\_BODIES

## 1.1 Classe Unconsolidated\_Deposits\_PT

La classe Unconsolidated\_Deposits\_PT comprend les volumes rocheux individualisés (de taille variable, des galets aux blocs) qui ont été transportés par des processus gravitaires, glaciaires ou anthropogéniques jusqu'à leur position actuelle, ou dégagés sur place par dégradation de la roche sous-jacente.

|   | Nom                                     | Type                        | Description   |
|---|---|-----------------------------|---|
| 1 | <b>KIND</b><br>Cardinalité [1]          | subtype<br>14401            | Type de l'objet et description  |
| 2 | <b>STATUS</b><br><br>Cardinalité [1]    | <a href="#">CodedDomain</a> | État du type d'objet. Les valeurs possibles sont énumérées dans la table GC_PNT_RUNC_STATUS_CD en annexe de ce document.                    |
| 3 | <b>ROCK_TYPE</b>                        | <a href="#">CodedDomain</a> | Type de roche. Les valeurs possibles sont énumérées dans la table GC_PNT_RUNC_ROCK_TYP_CD en annexe de ce document.                         |
| 4 | <b>ROCK_SPE</b><br>Cardinalité [0..1]   | <a href="#">CodedDomain</a> | Description de la roche repère.. Les valeurs possibles sont énumérées dans la table GC_PNT_RUNC_ROCK_SPE_CD en annexe de ce document.       |
| 5 | <b>MAT_TYPE</b><br>Cardinalité [0..1]   | <a href="#">CodedDomain</a> | Description du matériel (unité lithologique). Les valeurs possibles sont énumérées dans la table GC_LITHO_UNCO_CD en annexe de ce document. |
| 6 | <b>ORIG_DESCR</b><br>Cardinalité [0..1] | string                      | Description de la légende de la carte géologique originale  |
| 7 | <b>PROTECTED</b><br>Cardinalité [0..1]  | boolean                     | Objet géologique protégé (oui / non)?   |

### 1.1.1 Attribut KIND

*Type de l'objet et description*

| GeolCode | Deutsch  | Français                             |
|----------|--|--------------------------------------|
| 14401001 | Runc erratischer Block                               | bloc erratique                       |
| 14401002 | Runc Schwarm erratischer Blöcke                      | accumulation de blocs erratiques     |
| 14401003 | Runc anthropogene Ansammlung von erratischen Blöcken | amas anthropique de blocs erratiques |
| 14401004 | Runc Wanderblock                                     | bloc laboureur                       |

| GeolCode | Deutsch   | Français                                  |
|----------|---|---|
| 14401005 | Runc Geschiebe  | cailloutis glaciaire                      |
| 14401006 | Runc Sturzblock   | bloc éboulé                               |
| 14401007 | Runc Lesesteinhaufen  | dépôt d'épierrage                         |
| 14401008 | Runc Verwitterungsrückstände<br>(Gerölle und/oder Konkretionen) | éléments résiduels (galets et/ou rognons) |

### 1.1.2 Attribut STATUS

*État du type d'objet*

| GeolCode | Deutsch        | Français                 |
|----------|----------------|--------------------------|
| 14402003 | in Situ        | in situ                  |
| 14402004 | umgelagert     | déplacé naturellement    |
| 14402001 | versetzt       | déplacé artificiellement |
| 14402002 | zerstört       | détruit                  |
| 999997   | Unknown        | inconnu                  |
| 999998   | Not applicable | not applicable           |

### 1.1.3 Attribut ROCK\_TYPE

*Type de roche*

| GeolCode | Deutsch                            | Français                     |
|----------|------------------------------------|------------------------------|
| 14403003 | Basisches / Ultrabasisches Gestein | roche basique / ultrabasique |
| 14403001 | Kristallingestein                  | roche cristalline            |
| 14403002 | Sedimentgestein                    | roche sédimentaire           |
| 999997   | Unknown                            | inconnu                      |
| 999998   | Not applicable                     | not applicable               |

### 1.1.4 Attribut ROCK\_SPE

*Description de la roche repère.*

| GeolCode | Deutsch   | Français |
|----------|---|----------|
| 14404008 | Aare-Granit                                       |          |
| 14404017 | Albula-Granit                                     |          |
| 14404002 | Allalin-Gabbro                                    |          |
| 14404024 | Alpines Sedimentgestein                           |          |
| 14404020 | Degersheim-Kalknagelfluh                          |          |
| 14404009 | Gastern-Granit                                    |          |
| 14404012 | Glarner Verrucano                                 |          |
| 14404007 | Grindelwald-Marmor                                |          |
| 14404026 | Gruontal-Konglomerat                              |          |
| 14404010 | Habkern-Granit                                    |          |
| 14404006 | Hohgant-Sandstein                                 |          |
| 14404014 | Ilanz-Verrucano                                   |          |
| 14404013 | Kalknagelfluh des Speer- und<br>Stockberggebietes |          |
| 14404023 | Karbon-Brekzie                                    |          |
| 14404015 | Mels-Sandstein                                    |          |

| GeolCode | Deutsch                | Français       |
|----------|------------------------|----------------|
| 14404025 | Molassegestein         |                |
| 14404003 | Mont-Blanc-Granit      |                |
| 14404022 | Muschelsandstein       |                |
| 14404005 | Niesen-Brekzie         |                |
| 14404018 | Punteglias-Granit      |                |
| 14404019 | Rofna-Porphyr          |                |
| 14404004 | Serpentinit            |                |
| 14404016 | Taspinit-Brekzie       |                |
| 14404021 | Taveyannaz-Sandstein   |                |
| 14404001 | Vallorcine-Konglomerat |                |
| 14404011 | Windgällen-Porphyr     |                |
| 999997   | Unknown                | inconnu        |
| 999998   | Not applicable         | not applicable |

### 1.1.5 Attribut MAT\_TYPE

Description du matériel (unité lithologique)

Voir le domaine [GC\\_LITHO\\_UNCO\\_CD](#) dans l'annexe

### 1.1.6 Attribut ORIG\_DESCR

Description de la légende de la carte géologique originale

Type de donnée : string

### 1.1.7 Attribut PROTECTED

Objet géologique protégé (oui / non)?

Type de donnée : boolean

## 1.2 Classe Unconsolidated\_Deposits\_PLG

La classe [Unconsolidated\\_Deposits\\_PLG](#) contient toutes les masses distinctes de roches meubles occupant une surface. L'information indiquant si une roche meuble est en mouvement (déplacée par gravitation) se trouve dans la classe [Instabilities\\_within\\_Unconsolidated\\_Deposits\\_PLG](#) (Thème Geomorphology). Cependant, lorsque la nature du matériel en glissement n'est pas distinguable, celle-ci pourra être attribué en tant que masse glissée ou en glissement ou masse de roche tassée et disloquée. A des fins de clarification, quelques exemples des différents types d'objets sont illustrés dans l'annexe A.

|   | Nom                                    | Type                        | Description  |
|---|--|-----------------------------|--|
| 1 | <b>KIND</b><br>Cardinalité [1]         | subtype<br>14517            | Type de l'objet et description   |
| 2 | <b>LITSTRAT</b><br><br>Cardinalité [1] | <a href="#">CodedDomain</a> | Description lithostratigraphique. Les valeurs possibles sont énumérées dans la table <a href="#">GC_LITSTRAT_UNCO_CD</a> en annexe de ce document.<br><b>obligatoire</b> |

|    | Nom                                     | Type                                      | Description  |
|----|---|---|--|
| 3  | <b>LITHO</b>                            | CodedDomain                               | Description lithologique.. Les valeurs possibles sont énumérées dans la table GC_LITHO_CD en annexe de ce document.  |
| 4  | Cardinalité [1..3]<br><b>CHRONO_T</b>   | CodedDomain                               | Attribution chronostratigraphique du toit de la formation (top). Les valeurs possibles sont énumérées dans la table GC_CHRONO_CD en annexe de ce document. <b>obligatoire</b>      |
| 5  | Cardinalité [1]<br><b>CHRONO_B</b>      | CodedDomain                               | Attribution chronostratigraphique de la base de la formation (basis). Les valeurs possibles sont énumérées dans la table GC_CHRONO_CD en annexe de ce document. <b>obligatoire</b> |
| 6  | Cardinalité [1]<br><b>MAT_TYPE</b>      |   | Description du matériel (unité lithologique)   |
| 7  | Cardinalité [0..3]<br><b>BURIED_OUT</b> | Lithostratigraphic_Units_Litho<br>boolean | Est-ce que la roche consolidée est recouvert (oui / non)?  |
| 8  | Cardinalité [1]<br><b>COMPOSIT</b>      | table                                     | Composition de la roche meuble   |
| 9  | Cardinalité [0..3]<br><b>ADMIXTURE</b>  | gc_composit<br>table                      | Incorporation  |
| 10 | Cardinalité [0..2]<br><b>STRUCTUR</b>   | gc_admixture<br>CodedDomain               | . Les valeurs possibles sont énumérées dans la table GC_UN_DEP_RUNC_STRUCTURE_CD en annexe de ce document.   |
| 11 | Cardinalité [0..1]<br><b>CHARACT</b>    | table                                     | Structure sédimentaire   |
| 12 | Cardinalité [0..3]<br><b>MORPHOLO</b>   | gc_charcat<br>CodedDomain                 | Morphologie de l'unité de roche meuble. Les valeurs possibles sont énumérées dans la table GC_UN_DEP_RUNC_MORPHOLO_CD en annexe de ce document.                                    |
|    | Cardinalité [0..1]                      |   |  |

|    | Nom                                     | Type                        | Description   |
|----|---|-----------------------------|---|
| 13 | <b>GLAC_TYPE</b>                        | <a href="#">CodedDomain</a> | Type de glacier auquel le type d'objet est associé. Cet attribut n'est valable que pour des moraines. Les valeurs possibles sont énumérées dans la table GC_UN_DEP_RUNC_GLAC_TYP_CD en annexe de ce document. |
| 14 | Cardinalité [0..1]<br><b>REF_YEAR</b>   | string                      | Année de référence de l'ancienne ligne de rivage.   |
| 15 | Cardinalité [0..1]<br><b>THIN_COVER</b> | <a href="#">CodedDomain</a> | Couverture meuble pelliculaire. Les valeurs possibles sont énumérées dans la table GC_UN_DEP_RUNC_THIN_COV_CD en annexe de ce document.   |
| 16 | Cardinalité [0..1]<br><b>ORIG_DESCR</b> |                             | Description de la légende de la carte géologique originale.   |
|    | Cardinalité [1]                         | string                      |   |

### 1.2.1 Attribut KIND

*Type de l'objet et description*

| GeolCode | Deutsch            | Français     |
|----------|--------------------|--------------|
| 14517001 | Runc Lockergestein | roche meuble |

### 1.2.2 Attribut LITSTRAT

*Description lithostratigraphique*

Voir le domaine [GC\\_LITSTRAT\\_UNCO\\_CD](#) dans l'annexe

### 1.2.3 Attribut LITHO

*Description lithologique.*

Voir le domaine [GC\\_LITHO\\_CD](#) dans l'annexe

### 1.2.4 Attribut CHRONO\_T

*Attribution chronostratigraphique du toit de la formation (top)*

Voir le domaine [GC\\_CHRONO\\_CD](#) dans l'annexe

### 1.2.5 Attribut CHRONO\_B

*Attribution chronostratigraphique de la base de la formation (basis)*

Voir le domaine [GC\\_CHRONO\\_CD](#) dans l'annexe

### 1.2.6 Attribut MAT\_TYPE

Description du matériel (unité lithologique)

### 1.2.7 Attribut BURIED\_OUT

Est-ce que la roche consolidée est recouvert (oui / non)?

Type de donnée : boolean

### 1.2.8 Attribut COMPOSIT

Composition de la roche meuble

### 1.2.9 Attribut ADMIXTURE

Incorporation

### 1.2.10 Attribut STRUCTUR

—

| GeolCode | Deutsch  | Français   |
|----------|--|--|
| 14510011 | bioturbiert  | bioturbé   |
| 14510002 | geschichtet  | stratifié  |
| 14510005 | glaziale Überprägung<br>(Glazitektonik)                          | soumis à des déformations<br>glaciotectoniques                                 |
| 14510004 | grossmassstäbliche<br>Schrägschichtung (z.B.<br>Deltaschichtung) | stratification oblique à grande<br>échelle (p.ex. stratification<br>deltaïque) |
| 14510010 | invers gradiert  | à granoclasement inverse   |
| 14510007 | laminert   | laminé   |
| 14510008 | mit Warven   | varvé  |
| 14510009 | normal gradiert  | à granoclasement normal  |
| 14510012 | pedogen überprägt  | pédogénétisé   |
| 14510006 | periglazial gestörte Schichtung<br>(Diapir, Eiskeil, etc.)       | affecté par la cryoturbation (diapir,<br>coin de glace, etc.)                  |
| 14510003 | schräg-/kreuzgeschichtet   | à stratification oblique/entrecroisée  |
| 14510001 | texturlos  | sans structure   |
| 999997   | Unknown  | inconnu  |
| 999998   | Not applicable   | not applicable   |

### 1.2.11 Attribut CHARACT

Structure sédimentaire

### 1.2.12 Attribut MORPHOLO

Morphologie de l'unité de roche meuble

| GeolCode | Deutsch        | Français |
|----------|----------------|----------|
| 14512008 | Bastion        | bastion  |
| 14512003 | Düne           | dune     |
| 14512001 | Kegel / Fächer | cône     |

| GeolCode | Deutsch        | Français       |
|----------|----------------|----------------|
| 14512007 | Os             | esker          |
| 14512006 | Sander         | sandur         |
| 14512002 | Schleier       | voile          |
| 14512005 | Terrasse       | terrasse       |
| 14512004 | Wall           | vallum         |
| 999997   | Unknown        | inconnu        |
| 999998   | Not applicable | not applicable |

### 1.2.13 Attribut GLAC\_TYPE

Type de glacier auquel le type d'objet est associé. Cet attribut n'est valable que pour des moraines

| GeolCode | Deutsch                          | Français                                  |
|----------|----------------------------------|---|
| 14513009 | Aaregletscher                    | glacier de l'Aar                          |
| 14513004 | Bodensee-Rheingletscher          | glacier du Bodensee-Rhein                 |
| 14513013 | Brünig-Aaregletscher             | glacier du Brünig-Aar                     |
| 14513003 | Bündner Gletscher                | glacier des Grisons                       |
| 14513012 | Engelberger Gletscher            | glacier d'Engelberg                       |
| 14513002 | grosse Tal- und Vorlandgletscher | grands glaciers de vallées et de piedmont |
| 14513005 | Linth-Rheingletscher             | glacier de la Linth-Rhein                 |
| 14513001 | Lokalgletscher                   | glacier local                             |
| 14513006 | Reussgletscher                   | glacier de la Reuss                       |
| 14513010 | Saaneletscher                    | glacier de la Sarine                      |
| 14513011 | Schlierengletscher               | glacier des Schlieren                     |
| 14513007 | Waldemme- und Entlegletscher     | glaciers de la Waldemme et de l'Entle     |
| 14513008 | Walliser Gletscher               | glacier Valaisan                          |
| 999997   | Unknown                          | inconnu                                   |
| 999998   | Not applicable                   | not applicable                            |

### 1.2.14 Attribut REF\_YEAR

Année de référence de l'ancienne ligne de rivage.

Type de donnée : string

### 1.2.15 Attribut THIN\_COVER

Couverture meuble pelliculaire

| GeolCode | Deutsch   | Français   |
|----------|---|--|
| 14515001 | geringmächtige Lockergesteinsbedeckung, undifferenziert | couverture de roches meubles peu épaisse, indifférenciée |
| 14515005 | geringmächtige Löss- oder Lösslehmbedeckung             | couverture de loess ou de loess argileux peu épaisse     |
| 14515002 | geringmächtige Moränenbedeckung                         | couverture morainique peu épaisse                        |
| 14515003 | geringmächtige Schotterbedeckung                        | couverture de graviers peu épaisse                       |
| 14515004 | geringmächtige Schwemmllehmbedeckung                    | couverture de colluvions peu épaisse                     |



| GeolCode | Deutsch                         | Français                  |
|----------|---------------------------------|---------------------------|
| 14515006 | tiefgründige Verwitterungsdecke | sol d'altération profonde |
| 999997   | Unknown                         | inconnu                   |
| 999998   | Not applicable                  | not applicable            |

### 1.2.16 Attribut ORIG\_DESCR

Description de la légende de la carte géologique originale.

## 1.3 Classe Bedrock\_PLG

La classe **Bedrock\_PLG** regroupe toutes les unités lithostratigraphiques de roches consolidées qui constituent une surface. L'information indiquant si une roche consolidée est en mouvement (déplacée par gravitation) se trouve dans la classe Instabilités\_within\_Bedrock\_PLG (Thème Geomorphology).

|   | Nom                                   | Type                | Description   |
|---|---------------------------------------|---------------------|---|
| 1 | <b>KIND</b><br>Cardinalité [1]        | subtype<br>14334001 | Type de l'objet et description.   |
| 2 | <b>FM_HOMOG</b><br>Cardinalité [1]    |                     |   |
| 3 | <b>LISTRAT</b>                        | CodedDomain         | Description lithostratigraphique. Les valeurs possibles sont énumérées dans la table GC_LITSTRAT_BED_CD en annexe de ce document.   |
| 4 | Cardinalité [1]<br><b>LITHO</b>       | CodedDomain         | Description lithologique. Les valeurs possibles sont énumérées dans la table GC_LITHO_CD en annexe de ce document.  |
| 5 | Cardinalité [1..3]<br><b>CHRONO_T</b> | CodedDomain         | Attribution chronostratigraphique du toit de la formation (top). Les valeurs possibles sont énumérées dans la table GC_CHRONO_CD en annexe de ce document. <b>obligatoire</b>       |
| 6 | Cardinalité [1]<br><b>CHRONO_B</b>    | CodedDomain         | Attribution chronostratigraphique de la base de la formation (basis).. Les valeurs possibles sont énumérées dans la table GC_CHRONO_CD en annexe de ce document. <b>obligatoire</b> |
|   | Cardinalité [1]                       |                     |   |

|    | Nom  | Type              | Description  |
|----|--|-------------------|--|
| 7  | <b>TECTO</b>                               | CodedDomain       | Attribution tectonique. Les valeurs possibles sont énumérées dans la table GC_TECTO_CD en annexe de ce document. <b>obligatoire</b>                  |
| 8  | Cardinalité [1]<br><b>ORIG_DESCR</b>       | string            | Description de la légende de la carte géologique originale.  |
| 9  | Cardinalité [1]<br><b>BURIED_OUT</b>       | boolean           | Est-ce que la roche consolidée est recouvert (oui / non)?  |
| 10 | Cardinalité [1]<br><b>EXOTIC_ELE</b>       |                   | S'agit-il d'un élément exotique (oui / non)?   |
| 11 | Cardinalité [1]<br><b>COLOUR</b>           | boolean<br>string | Couleur de la roche  |
| 12 | Cardinalité [0..1]<br><b>SEDI_MAIN_COM</b> | CodedDomain       | Composant principal de la roche sédimentaire clastique.. Les valeurs possibles sont énumérées dans la table GC_MAIN_COM_CD en annexe de ce document. |
| 13 | Cardinalité [0..1]<br><b>SEDI_SECO_COM</b> | CodedDomain       | Composant secondaire de la roche sédimentaire. Les valeurs possibles sont énumérées dans la table GC_SECO_COM_CD en annexe de ce document.           |
| 14 | Cardinalité [0..2]<br><b>SEDI_BOND_MAT</b> | CodedDomain       | . Les valeurs possibles sont énumérées dans la table GC_BOND_MAT_CD en annexe de ce document.  |
| 15 | Cardinalité [0..1]<br><b>SEDI_BEDDING</b>  | CodedDomain       | Matrice ou ciment de la roche sédimentaire. Les valeurs possibles sont énumérées dans la table GC_BEDDING_CD en annexe de ce document.               |
| 16 | Cardinalité [0..2]<br><b>SEDI_STR</b>      | CodedDomain       | Structure sédimentaire de la roche sédimentaire. Les valeurs possibles sont énumérées dans la table GC_SEDI_STR_CD en annexe de ce document.         |
|    | Cardinalité [0..2]                         |                   |  |

|    | Nom  | Type        | Description   |
|----|--|-------------|---|
| 17 | <b>SEDI_TEX</b>                            | CodedDomain | Texture de la roche sédimentaire. Les valeurs possibles sont énumérées dans la table GC_SEDI_TEX_CD en annexe de ce document.           |
| 18 | Cardinalité []<br><b>IGNE_TEXT</b>         | CodedDomain | Texture de la roche magmatique. Les valeurs possibles sont énumérées dans la table GC_IGNE_TEX_CD en annexe de ce document.             |
| 19 | Cardinalité [0..1]<br><b>IGNE_GRAIN_SI</b> | CodedDomain | Granulométrie de la roche magmatique. Les valeurs possibles sont énumérées dans la table GC_GRAIN_SI_CD en annexe de ce document.       |
| 20 | Cardinalité [0..1]<br><b>IGNE_AFFINITY</b> | CodedDomain | Affinité avec une série magmatique. Les valeurs possibles sont énumérées dans la table GC_AFFINITY_CD en annexe de ce document.         |
| 21 | Cardinalité []<br><b>META_FULL_NAME</b>    | string      | Description de la roche métamorphique.  |
| 22 | Cardinalité [0..1]<br><b>META_MINERAL</b>  | CodedDomain | Minéral important de la roche métamorphique. Les valeurs possibles sont énumérées dans la table GC_MINERAL_CD en annexe de ce document. |
| 23 | Cardinalité [0..3]<br><b>META_STR</b>      | CodedDomain | Structure de la roche métamorphique. Les valeurs possibles sont énumérées dans la table GC_META_STR_CD en annexe de ce document.        |
|    | Cardinalité [0..3]                         |             |   |

### 1.3.1 Attribut KIND

*Type de l'objet et description.*

| GeolCode | Deutsch          | Français         |
|----------|------------------|------------------|
| 14334001 | Rbed Festgestein | roche consolidée |

### **1.3.2 Attribut FM\_HOMOG**

—

### **1.3.3 Attribut LISTRAT**

*Description lithostratigraphique*

Voir le domaine [GC\\_LITSTRAT\\_BED\\_CD](#) dans l'annexe

### **1.3.4 Attribut LITHO**

*Description lithologique*

Voir le domaine [GC\\_LITHO\\_CD](#) dans l'annexe

### **1.3.5 Attribut CHRONO\_T**

*Attribution chronostratigraphique du toit de la formation (top)*

Voir le domaine [GC\\_CHRONO\\_CD](#) dans l'annexe

### **1.3.6 Attribut CHRONO\_B**

*Attribution chronostratigraphique de la base de la formation (basis).*

Voir le domaine [GC\\_CHRONO\\_CD](#) dans l'annexe

### **1.3.7 Attribut TECTO**

*Attribution tectonique*

Voir le domaine [GC\\_TECTO\\_CD](#) dans l'annexe

### **1.3.8 Attribut ORIG\_DESCR**

*Description de la légende de la carte géologique originale.*

Type de donnée : *string*

### **1.3.9 Attribut BURIED\_OUT**

*Est-ce que la roche consolidée est recouvert (oui / non)?*

Type de donnée : *boolean*

### **1.3.10 Attribut EXOTIC\_ELE**

*S'agit-il d'un élément exotique (oui / non)?*

### **1.3.11 Attribut COLOUR**

*Couleur de la roche*

Type de donnée : *string*

### 1.3.12 Attribut SEDI\_MAIN\_COM

*Composant principal de la roche sédimentaire clastique.*

| GeolCode | Deutsch  | Français  |
|----------|--|---|
| 15602006 | Dolomitstein   | roche dolomitique   |
| 15602001 | Gesteinsbruchstück undifferenziert   | fragments de roches indifférenciés  |
| 15602005 | Kalkstein  | roche calcaire  |
| 15602002 | kieselige Gesteine (Quarzit, Quarz (Mineralisch), Radiolarit, Kieselkalk, Quarzsandstein, Hornstein) | roches siliceuses (quartzite, quartz (minéral), radiolarite, calcaire siliceux, grès siliceux, silex) |
| 15602007 | Kristallingestein undifferenziert  | roche cristalline indifférenciée  |
| 15602010 | Mergelstein  | marne   |
| 15602009 | Metamorphit  | roche métamorphique   |
| 15602003 | Sedimentgestein undifferenziert  | roche sédimentaire indifférenciée   |
| 15602004 | Tonstein   | argilite  |
| 15602008 | Vulkanit   | roche volcanique  |
| 999997   | Unknown  | inconnu   |
| 999998   | Not applicable   | not applicable  |

### 1.3.13 Attribut SEDI\_SECO\_COM

*Composant secondaire de la roche sédimentaire*

| GeolCode | Deutsch                            | Français                            |
|----------|------------------------------------|-------------------------------------|
| 20001019 | biogene Komponenten                | composants biogènes                 |
| 20001024 | Bitumen                            | bitume                              |
| 20001005 | Dolomitstein                       | roche dolomitique                   |
| 20001026 | Eisenmineralien                    | minéraux de fer                     |
| 20001025 | Evaporit                           | évaporite                           |
| 20001012 | Feldspat                           | feldspath                           |
| 20001001 | Gesteinsbruchstück undifferenziert | fragments de roches indifférenciées |
| 20001013 | Glaukonit                          | glauconite                          |
| 20001014 | Glimmer                            | mica                                |
| 20001015 | intraformationelle Gerölle         | galets intraformationnels           |
| 20001016 | Kalkkonkretionen                   | rognons de calcaire                 |
| 20001004 | Kalkstein                          | roche calcaire                      |
| 20001023 | Kohle                              | charbon                             |
| 20001006 | Kristallingestein undifferenziert  | roche cristalline indifférenciée    |
| 20001022 | Mergelstein                        | marne                               |
| 20001008 | Metamorphit                        | roche métamorphique                 |
| 20001021 | Phosphorit                         | phosphorite                         |
| 20001010 | pyroklastische Komponenten         | composants pyroclastiques           |
| 20001011 | Quarz                              | quartz                              |
| 20001009 | Quarzit                            | quartzite                           |
| 20001002 | Sedimentgestein undifferenziert    | roche sédimentaire indifférenciée   |
| 20001017 | Sideritkonkretionen                | rognons de sidérite                 |
| 20001018 | Silexkonkretionen                  | rognons de silex                    |
| 20001020 | terrigenes Detritus                | débris terrigènes                   |
| 20001003 | Tonstein                           | argilite                            |
| 20001007 | Vulkanit                           | roche volcanique                    |
| 999997   | Unknown                            | inconnu                             |
| 999998   | Not applicable                     | not applicable                      |

### 1.3.14 Attribut SEDI\_BOND\_MAT

| GeolCode | Deutsch                            | Français                                     |
|----------|------------------------------------|--|
| 14313008 | dolomitische Matrix                | à matrice dolomitique                        |
| 14313002 | dolomitischer Zement               | à ciment dolomitique                         |
| 14313007 | kalkige Matrix                     | à matrice calcaire                           |
| 14313001 | kalkiger Zement                    | à ciment calcaire                            |
| 14313003 | kieseliger Zement                  | à ciment siliceux                            |
| 14313010 | mineralische Imprägnierung         | imprégnation minérale                        |
| 14313009 | organische Imprägnierung (Asphalt) | imprégnation de matière organique (asphalte) |
| 14313006 | sandige Matrix                     | à matrice sableuse                           |
| 14313005 | siltige Matrix                     | à matrice silteuse                           |
| 14313004 | tonige Matrix                      | à matrice argileuse                          |
| 999997   | Unknown                            | inconnu                                      |
| 999998   | Not applicable                     | not applicable                               |

### 1.3.15 Attribut SEDI\_BEDDING

*Matrice ou ciment de la roche sédimentaire*

| GeolCode | Deutsch             | Français        |
|----------|---------------------|-----------------|
| 20101005 | blättrig            | feuilleté       |
| 20101003 | dickbankig (>30cm)  | en gros bancs   |
| 20101004 | dünnbankig (1-10cm) | en petits bancs |
| 20101002 | gebankt             | lité            |
| 20101006 | knauerig            | concrétionné    |
| 20101007 | knollig             | noduleux        |
| 20101008 | linsenförmig        | lenticulaire    |
| 20101001 | massig              | massif          |
| 999997   | Unknown             | inconnu         |
| 999998   | Not applicable      | not applicable  |

### 1.3.16 Attribut SEDI\_STR

*Structure sédimentaire de la roche sédimentaire*

| GeolCode | Deutsch                  | Français                              |
|----------|--------------------------|---------------------------------------|
| 20201007 | bioturbiert              | bioturbé                              |
| 20201002 | geschichtet              | stratifié                             |
| 20201006 | invers gradiert          | à granoclasement inverse              |
| 20201004 | laminiert                | laminé                                |
| 20201005 | normal gradiert          | à granoclasement normal               |
| 20201003 | schräg-/kreuzgeschichtet | à stratification oblique/entrecroisée |
| 20201008 | stromatolitisch          | stromatolitique                       |
| 20201001 | texturlos                | sans structure                        |
| 999997   | Unknown                  | inconnu                               |
| 999998   | Not applicable           | not applicable                        |

### 1.3.17 Attribut SEDI\_TEX

*Texture de la roche sédimentaire*

| GeolCode | Deutsch        | Français       |
|----------|----------------|----------------|
| 20301005 | bioklastisch   | bioclastique   |
| 20301003 | mikritisch     | micritique     |
| 20301001 | monomikt       | monomictite    |
| 20301007 | onkolithisch   | oncolitique    |
| 20301008 | oolithisch     | oolitique      |
| 20301009 | pelitisch      | pélitique      |
| 20301010 | pisolithisch   | pisolitique    |
| 20301002 | polymikt       | polymictite    |
| 20301004 | spätig         | spathique      |
| 999997   | Unknown        | inconnu        |
| 999998   | Not applicable | not applicable |

### 1.3.18 Attribut IGNE\_TEXT

*Texture de la roche magmatique*

| GeolCode | Deutsch        | Français         |
|----------|----------------|------------------|
| 14317001 | gleichkörnig   | équigranulaire   |
| 14317003 | porphyrisch    | porphyrique      |
| 14317002 | ungleichkörnig | hétérogranulaire |
| 999997   | Unknown        | inconnu          |
| 999998   | Not applicable | not applicable   |

### 1.3.19 Attribut IGNE\_GRAIN\_SI

*Granulométrie de la roche magmatique*

| GeolCode | Deutsch        | Français       |
|----------|----------------|----------------|
| 14318003 | aphanitisch    | aphanitique    |
| 14318002 | feinkörnig     | fine           |
| 14318001 | grobkörnig     | grossière      |
| 999997   | Unknown        | inconnu        |
| 999998   | Not applicable | not applicable |

### 1.3.20 Attribut IGNE\_AFFINITY

*Affinité avec une série magmatique*

| GeolCode | Deutsch        | Français       |
|----------|----------------|----------------|
| 15733001 | alkalisch      | alcalin        |
| 15733002 | kalkalkalisch  | calco-alcalin  |
| 15733003 | tholeiitisch   | tholéitique    |
| 999997   | Unknown        | inconnu        |
| 999998   | Not applicable | not applicable |

### 1.3.21 Attribut META\_FULL\_NAME

Description de la roche métamorphique.

Type de donnée : string

### 1.3.22 Attribut META\_MINERAL

Minéral important de la roche métamorphique

Voir le domaine [GC\\_MINERAL\\_CD](#) dans l'annexe

### 1.3.23 Attribut META\_STR

Structure de la roche métamorphique

| GeolCode | Deutsch                    | Français           |
|----------|----------------------------|--------------------|
| 20501016 | agmatitisch (migmatitisch) | agmatitique        |
| 20501003 | augig                      | oeillé             |
| 20501017 | brekziös                   | bréchique          |
| 20501015 | flaserig                   | à structure flaser |
| 20501012 | geadert                    | veiné              |
| 20501002 | gebändert                  | rubané             |
| 20501010 | gebankt                    | lité               |
| 20501011 | gefältelt                  | plissoté           |
| 20501008 | lagig                      | stratifié          |
| 20501007 | laminiert                  | laminé             |
| 20501014 | linsig                     | lenticulaire       |
| 20501001 | massig                     | massif             |
| 20501004 | mit Schollen               | à enclaves         |
| 20501006 | phyllitisch                | phylliteux         |
| 20501009 | plattig                    | plaqueté           |
| 20501005 | schiefrig                  | schisteux          |
| 20501013 | schlierig                  | à schlieren        |
| 999997   | Unknown                    | inconnu            |
| 999998   | Not applicable             | not applicable     |

## 2 Thème GEOMORPHOLOGY

### 2.1 Classe Instability\_Structures\_PT

La classe [Instability\\_Structures\\_PT](#) contient des indications sur des instabilités de pentes (glissements) observés localement, qui ne peuvent pas être délimités spatialement. Cependant, lorsque cela est possible, les masses de roches instables doivent être saisies comme polygones (classe [Instabilities\\_within\\_Unconsolidated\\_Deposits\\_PLG](#)). La représentation sous forme de point est à éviter et a été conservée avant tout pour la vectorisation d'anciennes cartes imprimées.

|   | Nom                            | Type             | Description                    |
|---|--------------------------------|------------------|--------------------------------|
| 1 | <b>KIND</b><br>Cardinalité [1] | subtype<br>11601 | Type de l'objet et description |



### 2.1.1 Attribut KIND

Type de l'objet et description

| GeolCode | Deutsch                           | Français             |
|----------|-----------------------------------|----------------------|
| 11601001 | Gins Hinweis auf Hanginstabilität | indice d'instabilité |

## 2.2 Classe Instability\_Structures\_L

None

|   | Nom                            | Type             | Description                     |
|---|--------------------------------|------------------|---------------------------------|
| 1 | <b>KIND</b><br>Cardinalité [1] | subtype<br>11701 | Type de l'objet et description. |

### 2.2.1 Attribut KIND

Type de l'objet et description.

| GeolCode | Deutsch                          | Français                |
|----------|----------------------------------|-------------------------|
| 11701001 | Gins Stauchwulst                 | bourrelet de glissement |
| 11701002 | Gins Nackentälchen, Zerrstruktur | limite de contrepente   |
| 11701003 | Gins Abrissrand                  | niche d'arrachement     |
| 11701004 | Gins offene Spalte               | fissure ouverte         |

## 2.3 Classe Instabilities\_within\_Unconsolidated\_Deposits\_PLG

La classe [Instabilities\\_within\\_Unconsolidated\\_Deposits\\_PLG](#) contient tous les polygones qui délimitent des zones de roches meubles instables. Dans cette classe on distingue les surfaces affectées par les différents types de phénomènes de mouvement de masse. Les corps rocheux proprement dits ainsi que les dépôts affectés resp. engendrés par ces processus de mouvement de masse seront décrits dans la classe Unconsolidated\_Deposits\_PLG. A des fins de clarification, quelques exemples des différents types d'objets sont illustrés dans l'annexe A.

|   | Nom                            | Type             | Description                     |
|---|--------------------------------|------------------|---------------------------------|
| 1 | <b>KIND</b><br>Cardinalité [1] | subtype<br>11801 | Type de l'objet et description. |

### 2.3.1 Attribut KIND

Type de l'objet et description.

| GeolCode | Deutsch | Français |
|----------|---------|----------|
|          |         |          |

## 2.4 Classe Instabilities\_within\_Bedrock\_PLG

La classe [Instabilities\\_within\\_Bedrock\\_PLG](#) contient tous les polygones qui délimitent des zones de roche consolidée instable. Dans cette classe on distingue les surfaces affectées par les différents types de phénomènes de mouvement de masse. Les corps rocheux proprement dits qui sont affectés par ces processus de mouvement de masse seront décrits dans la classe Bedrock\_PLG. A des fins de clarification, quelques exemples des différents types d'objets sont illustrés dans l'annexe A.

|   | Nom                                       | Type                        | Description   |
|---|---|-----------------------------|---|
| 1 | <b>KIND</b><br>Cardinalité [1]            | subtype<br>11501            | Type de l'objet et description.   |
| 2 | <b>MAIN_MOV</b><br><br>Cardinalité [0..1] | <a href="#">CodedDomain</a> | . Les valeurs possibles sont énumérées dans la table GC_SURF_GINS_MAIN_MOV_CD en annexe de ce document. |

### 2.4.1 Attribut KIND

*Type de l'objet et description.*

| GeolCode | Deutsch | Français |
|----------|---------|----------|
|          |         |          |

### 2.4.2 Attribut MAIN\_MOV

—

| GeolCode | Deutsch   | Français   |
|----------|---|--|
| 11502002 | Hauptbewegungsphase nach dem letzteiszeitlichen Maximum | phase principale du mouvement après le Dernier Maximum Glaciaire |
| 11502001 | Hauptbewegungsphase vor dem letzteiszeitlichen Maximum  | phase principale du mouvement avant le Dernier Maximum Glaciaire |
| 999997   | Unknown   | inconnu  |
| 999998   | Not applicable  | not applicable   |

## 2.5 Classe Glacial\_Structures\_PT

La classe [Glacial\\_Structures\\_PT](#) contient des types d'objets qui montrent ponctuellement la présence dans le passé d'un glacier (les stries glaciaires sont des objets orientés et se trouvent en conséquence dans la classe Lineation\_PT.)

|   | Nom                            | Type             | Description                     |
|---|--------------------------------|------------------|---------------------------------|
| 1 | <b>KIND</b><br>Cardinalité [1] | subtype<br>11201 | Type de l'objet et description. |

### 2.5.1 Attribut KIND

*Type de l'objet et description.*

| GeolCode | Deutsch                           | Français                            |
|----------|-----------------------------------|-------------------------------------|
| 11201001 | Ggla glazitektonische Deformation | déformation glaciotectonique        |
| 11201002 | Ggla Gletschermühle, Strudelloch  | marmite glaciaire, cavité d'érosion |

## 2.6 Classe Glacial\_and\_Periglacial\_Structures\_L

La classe [Glacial\\_and\\_Periglacial\\_Structures\\_L](#) contient des structures de formes linéaires, façonnant une formation glaciaire ou périglaciaire. A l'exception des limites supérieures de l'érosion glaciaire, il s'agit principalement dans cette classe de formes d'accumulation telles que les vallums morainiques ou les bourrelets d'un glacier rocheux.

|   | Nom                                       | Type                        | Description   |
|---|---|-----------------------------|---|
| 1 | <b>KIND</b><br>Cardinalité [1]            | subtype<br>11301            | Type de l'objet et description.   |
| 2 | <b>MORAI_MO</b><br><br>Cardinalité [0..1] | <a href="#">CodedDomain</a> | Morphologie de la moraine. Les valeurs possibles sont énumérées dans la table GC_LIN_GGLA_MORAI_MO_CD en annexe de ce document.   |
| 3 | <b>GLAC_TYP</b>                           | <a href="#">CodedDomain</a> | Type de glacier auquel le type d'objet est associé. Les valeurs possibles sont énumérées dans la table GC_LIN_GGLA_GLAC_TYP_CD en annexe de ce document.                            |
| 4 | <b>ICE_M_P</b><br>Cardinalité [0..1]      | <a href="#">CodedDomain</a> | Stade glaciaire. Les valeurs possibles sont énumérées dans la table GC_LIN_GGLA_ICE_M_P_CD en annexe de ce document.  |
| 5 | <b>QUAT_STR</b><br>Cardinalité [0..1]     | <a href="#">CodedDomain</a> | Attribution chronostratigraphique du vallum morainique au sein du Quaternaire. Les valeurs possibles sont énumérées dans la table GC_LIN_GGLA_QUAT_STR_CD en annexe de ce document. |
| 6 | <b>REF_YEAR</b><br>Cardinalité [0..1]     | integer                     | Année de référence de l'ancienne ligne de rivage.   |
| 7 | <b>SOURCE</b><br>Cardinalité [0..1]       | string                      | Source des données déduites à partir de données historiques.  |
|   | Cardinalité [0..1]                        |                             |   |

### 2.6.1 Attribut KIND

*Type de l'objet et description.*

| GeolCode | Deutsch  | Français   |
|----------|--|--|
| 11301001 | Ggla Moränenwall   | vallum morainique  |
| 11301002 | Ggla Moränenwall auf Gletscher<br>oder auf Toteis                | cordons morainiques sur glacier ou<br>sur glace morte    |
| 11301003 | Ggla Kameterrassenkante  | bord de terrasse de kame                                 |
| 11301004 | Ggla älterer Gletscherstand,<br>basierend auf historischen Daten | ancien stade glaciaire, déduit de<br>données historiques |
| 11301005 | Ggla Schliiffgrenze  | limite supérieure de l'érosion<br>glaciaire (trimline)   |
| 11301006 | Ggla Protalus Rampart Wulst                                      | bourrelet de protalus rampart                            |
| 11301007 | Ggla Blockwulst im Blockgletscher                                | bourrelet de glacier rocheux                             |
| 11301008 | Ggla Schneehaldenmoränenwall                                     | vallum de moraine de névé                                |
| 11301009 | Ggla Verbreitungsgrenze von<br>Geschiebe                         | limite de l'étendue des blocs                            |

### 2.6.2 Attribut MORAI\_MO

*Morphologie de la moraine*

| GeolCode | Deutsch             | Français       |
|----------|---------------------|----------------|
| 11302002 | einseitig abfallend | unilatéral     |
| 11302001 | symmetrisch         | symétrique     |
| 999997   | Unknown             | inconnu        |
| 999998   | Not applicable      | not applicable |

### 2.6.3 Attribut GLAC\_TYP

*Type de glacier auquel le type d'objet est associé*

| GeolCode | Deutsch                          | Français                                     |
|----------|----------------------------------|--|
| 11303002 | grosse Tal- und Vorlandgletscher | grands glaciers de vallées et de<br>piedmont |
| 11303001 | Lokalgletscher                   | glacier local                                |
| 999997   | Unknown                          | inconnu                                      |
| 999998   | Not applicable                   | not applicable                               |

### 2.6.4 Attribut ICE\_M\_P

*Stade glaciaire*

| GeolCode | Deutsch                     | Français                  |
|----------|-----------------------------|---------------------------|
| 11304002 | Bern                        | Berne                     |
| 11304050 | Bremgarten I                | Bremgarten I              |
| 11304051 | Bremgarten II               | Bremgarten II             |
| 11304003 | Bremgarten, undifferenziert | Bremgarten, indifférencié |
| 11304052 | Bülach I                    | Bülach I                  |
| 11304053 | Bülach II                   | Bülach II                 |
| 11304054 | Bülach, undifferenziert     | Bülach, indifférencié     |
| 11304037 | Chur                        | Coire                     |
| 11304055 | Dättikon                    | Dättikon                  |
| 11304028 | Feuerthalen I               | Feuerthalen I             |

| GeolCode | Deutsch                         | Français                      |
|----------|---------------------------------|-------------------------------|
| 11304029 | Feuerthalen II                  | Feuerthalen II                |
| 11304005 | Feuerthalen, undifferenziert    | Feuerthalen, indifférencié    |
| 11304040 | Fideris                         | Fideris                       |
| 11304006 | Gurten                          | Gurten                        |
| 11304007 | Hurden                          | Hurden                        |
| 11304008 | Killwangen                      | Killwangen                    |
| 11304039 | Koblach                         | Koblach                       |
| 11304004 | Konstanz                        | Constance                     |
| 11304035 | Küblis                          | Küblis                        |
| 11304036 | Lunden                          | Lunden                        |
| 11304001 | Maximalstand, undifferenziert   | stade maximal, indifférencié  |
| 11304009 | Mellingen                       | Mellingen                     |
| 11304010 | Muri                            | Muri                          |
| 11304056 | Regensdorf                      | Regensdorf                    |
| 11304011 | Rotkreuz                        | Rotkreuz                      |
| 11304038 | Sargans                         | Sargans                       |
| 11304030 | Schaffausen I                   | Schaffhouse I                 |
| 11304031 | Schaffausen II                  | Schaffhouse II                |
| 11304012 | Schaffhausen, undifferenziert   | Schaffhouse, indifférencié    |
| 11304048 | Schlieren I                     |                               |
| 11304049 | Schlieren II                    |                               |
| 11304013 | Schlieren, undifferenziert      | Schlieren, indifférencié      |
| 11304014 | Schosshalde                     | Schosshalde                   |
| 11304057 | Seeb                            | Seeb                          |
| 11304015 | Seftigschwand                   | Seftigschwand                 |
| 11304041 | Serneus                         | Serneus                       |
| 11304016 | Solothurn                       | Soleure                       |
| 11304017 | Spreitenbach                    | Spreitenbach                  |
| 11304018 | Spreitenbach-Killwangen         | Spreitenbach-Killwangen       |
| 11304045 | Staffelbach-Stand               |                               |
| 11304025 | Stein-am-Rhein I                | Stein am Rhein I              |
| 11304026 | Stein-am-Rhein II               | Stein am Rhein II             |
| 11304027 | Stein-am-Rhein III              | Stein am Rhein III            |
| 11304019 | Stein am Rhein, undifferenziert | Stein am Rhein, indifférencié |
| 11304058 | Stetten I                       | Stetten I                     |
| 11304059 | Stetten II                      | Stetten II                    |
| 11304020 | Stetten, undifferenziert        | Stetten                       |
| 11304043 | Sursee                          | Sursee                        |
| 11304044 | Triengen                        | Triengen                      |
| 11304021 | Wangen I                        | Wangen I                      |
| 11304022 | Wangen II                       | Wangen II                     |
| 11304042 | Wangen, undifferenziert         | Wangen, indifférencié         |
| 11304023 | Wittigkofen                     | Wittigkofen                   |
| 11304060 | Würenlos I                      | Würenlos I                    |
| 11304061 | Würenlos II                     | Würenlos II                   |
| 11304062 | Würenlos, undifferenziert       | Würenlos, indifférencié       |
| 11304046 | Zürich I                        |                               |
| 11304047 | Zürich II                       |                               |
| 11304024 | Zürich, undifferenziert         | Zurich, indifférencié         |
| 999997   | Unknown                         | inconnu                       |
| 999998   | Not applicable                  | not applicable                |

### 2.6.5 Attribut QUAT\_STR

*Attribution chronostratigraphique du vallum morainique au sein du Quaternaire*

| GeolCode | Deutsch   | Français  |
|----------|---|---|
| 11305001 | 1. Vergletscherung der letzten Eiszeit (MIS 5d)     | 1ère glaciation de la Dernière Période glaciaire (MIS 5d)     |
| 11305002 | 2. Vergletscherung der letzten Eiszeit (MIS 4)      | 2ème glaciation de la Dernière Période glaciaire (MIS 4)      |
| 11305003 | 3. Vergletscherung der letzten Eiszeit (LGM, MIS 2) | 3ème glaciation de la Dernière Période glaciaire (LGM, MIS 2) |
| 11305005 | Clavadel  | Clavadel  |
| 11305006 | Daun  | Daun  |
| 11305007 | Egesen  | Egesen  |
| 11305004 | Gschnitz  | Gschnitz  |
| 11305008 | Mittleres Pleistozän                                | Pléistocène moyen   |
| 999997   | Unknown   | inconnu   |
| 999998   | Not applicable                                      | not applicable  |

### 2.6.6 Attribut REF\_YEAR

*Année de référence de l'ancienne ligne de rivage.*

*Type de donnée : integer*

### 2.6.7 Attribut SOURCE

*Source des données déduites à partir de données historiques.*

*Type de donnée : string*

## 2.7 Classe Glacial\_Structures\_PLG

La classe [Glacial\\_Structures\\_PLG](#) regroupe les formes du paysage d'origine glaciaire qui se sont formées par écoulement basal de la glace du glacier ou par sa fonte.

|   | Nom                            | Type             | Description                     |
|---|--------------------------------|------------------|---------------------------------|
| 1 | <b>KIND</b><br>Cardinalité [1] | subtype<br>11401 | Type de l'objet et description. |

### 2.7.1 Attribut KIND

*Type de l'objet et description.*

| GeolCode | Deutsch                               | Français                                       |
|----------|---------------------------------------|--|
| 11401001 | Ggla Drumlin, drumlinartige Kieskuppe | drumlin, croupe graveleuse en forme de drumlin |
| 11401003 | Ggla Rundhöcker                       | roches moutonnées                              |
| 11401004 | Ggla Toteisloch, Soll                 | doline glaciaire, soll                         |

## 2.8 Classe Erosional\_Structures\_PT

La classe [Erosional\\_Structures\\_PT](#) contient des éléments locaux du paysage qui se sont formés au cours du temps sous l'influence de processus érosifs.

|   | Nom                            | Type             | Description                     |
|---|--------------------------------|------------------|---------------------------------|
| 1 | <b>KIND</b><br>Cardinalité [1] | subtype<br>11001 | Type de l'objet et description. |

### 2.8.1 Attribut KIND

*Type de l'objet et description.*

|          |                  |                    |
|----------|------------------|--------------------|
| GeolCode | Deutsch          | Français           |
| 11001001 | Gero Erdpyramide | demoiselle coiffée |

## 2.9 Classe Erosional\_Structures\_L

La classe [Erosional\\_Structures\\_L](#) regroupe des formes érosives linéaires comme les bords d'érosion en général ou les bords de terrasse. Sur les anciennes cartes imprimées, les bords de terrasse et les bords d'érosion n'étaient souvent pas distingués. Dans les données vectorielles, cette distinction doit être effectuée. Par conséquent, dans les cas de vectorisation d'anciennes cartes imprimées, les bords de terrasse et d'érosion devront être séparés. Les bords de terrasse seront attribués en tant que tels seulement lorsqu'il sera clairement possible de les identifier par leur position ainsi que par leur association avec des terrasses de graviers. Les cas incertains seront attribués en tant que bords d'érosion.

|   | Nom                            | Type             | Description                     |
|---|--------------------------------|------------------|---------------------------------|
| 1 | <b>KIND</b><br>Cardinalité [1] | subtype<br>11101 | Type de l'objet et description. |

### 2.9.1 Attribut KIND

*Type de l'objet et description.*

|          |                         |                             |
|----------|-------------------------|-----------------------------|
| GeolCode | Deutsch                 | Français                    |
| 11101001 | Gero Erosionsrand       | bord d'érosion              |
| 11101002 | Gero Terrassenkante     | bord de terrasse            |
| 11101003 | Gero Schichtstufenkante | escarpement en tête de banc |

## 2.10 Classe Karstic\_Structures\_PT

La classe [Karstic\\_Structures\\_PT](#) regroupe les phénomènes karstiques qui sont représentés par des formes ponctuelles. Elle contient entre autres le ponor ou l'entrée d'une grotte.

|   | Nom                            | Type             | Description                     |
|---|--------------------------------|------------------|---------------------------------|
| 1 | <b>KIND</b><br>Cardinalité [1] | subtype<br>11301 | Type de l'objet et description. |

|   | Nom                | Type    | Description                           |
|---|--------------------|---------|---------------------------------------|
| 2 | <b>ICE_CAVE</b>    | boolean | S'agit-il d'une glacière (oui / non)? |
|   | Cardinalité [0..1] |         |                                       |

### 2.10.1 Attribut KIND

*Type de l'objet et description.*

| GeolCode | Deutsch   | Français  |
|----------|---|---|
| 11301001 | Ggla Moränenwall  | vallum morainique                                     |
| 11301002 | Ggla Moränenwall auf Gletscher oder auf Toteis                | cordon morainique sur glacier ou sur glace morte      |
| 11301003 | Ggla Kameterrassenkante                                       | bord de terrasse de kame                              |
| 11301004 | Ggla älterer Gletscherstand, basierend auf historischen Daten | ancien stade glaciaire, déduit de données historiques |
| 11301005 | Ggla Schliffgrenze  | limite supérieure de l'érosion glaciaire (trimline)   |
| 11301006 | Ggla Protalus Rampart Wulst                                   | bourrelet de protalus rampart                         |
| 11301007 | Ggla Blockwulst im Blockgletscher                             | bourrelet de glacier rocheux                          |
| 11301008 | Ggla Schneehaldenmoränenwall                                  | vallum de moraine de névé                             |
| 11301009 | Ggla Verbreitungsgrenze von Geschiebe                         | limite de l'étendue des blocs                         |

### 2.10.2 Attribut ICE\_CAVE

*S'agit-il d'une glacière (oui / non)?*

*Type de donnée : boolean*

## 2.11 Classe Karstic\_Structures\_PLG

None

|   | Nom             | Type    | Description                     |
|---|-----------------|---------|---------------------------------|
| 1 | <b>KIND</b>     | subtype | Type de l'objet et description. |
|   | Cardinalité [1] |         | 12001                           |

### 2.11.1 Attribut KIND

*Type de l'objet et description.*

| GeolCode | Deutsch                               | Français                             |
|----------|---------------------------------------|--------------------------------------|
| 12001001 | Gkar Senke ohne oberirdischen Abfluss | dépression sans exutoire superficiel |
| 12001002 | Gkar Doline                           | doline                               |
| 12001003 | Gkar Karrenfeld                       | lapiez                               |
| 12001004 | Gkar Polje                            | poljé                                |



## 2.12 Classe Alluvial\_and\_Lacustrine\_Structures\_L

La classe [Alluvial\\_and\\_Lacustrine\\_Structures\\_L](#) contient les morphologies linéaires d'origine fluviale ou lacustre.

|   | Nom                                  | Type                        | Description   |
|---|--------------------------------------|-----------------------------|---|
| 1 | <b>KIND</b><br>Cardinalité [1]       | subtype<br>10901            | Type de l'objet et description.   |
| 2 | <b>AGE</b><br><br>Cardinalité [0..1] | <a href="#">CodedDomain</a> | Âge du type d'obje. Les valeurs possibles sont énumérées dans la table GC_LIN_GALL_AGE_CD en annexe de ce document. |

### 2.12.1 Attribut KIND

Type de l'objet et description.

| GeolCode | Deutsch                       | Français                             |
|----------|-------------------------------|--------------------------------------|
| 10901001 | Gall Strandwall               | cordon littoral                      |
| 10901002 | Gall Achse einer Murgangrinne | axe d'un chenal de lave torrentielle |

### 2.12.2 Attribut AGE

Âge du type d'obje

| GeolCode | Deutsch        | Français       |
|----------|----------------|----------------|
| 10902001 | fossil         | fossile        |
| 10902002 | rezent         | récent         |
| 999997   | Unknown        | inconnu        |
| 999998   | Not applicable | not applicable |

## 3 Thème TECTONICS

### 3.1 Classe Deformation\_Structures\_PT

La classe [Deformation\\_Structures\\_PT](#) contient les structures de déformation ponctuelles observées, comme les endroits fortement plissés (plissotement) ou les lieux avec des diaclases bien marquées. Dans cette classe se trouvent aussi les points construits, comme p. ex. la représentation de la trace d'une surface axiale. Celle-ci correspond à la symbolisation d'une charnière de pli construite à partir de l'intersection de la surface axiale avec la topographie et elle est représentée par un ou plusieurs points. Ces deux derniers types d'objets sont illustrés dans l'annexe A pour en faciliter la compréhension.

|   | Nom                            | Type             | Description  |
|---|--------------------------------|------------------|--|
| 1 | <b>KIND</b><br>Cardinalité [1] | subtype<br>14601 | Type de l'objet et description.                          |
| 2 | <b>AZIMUTH</b>                 | integer          | Azimut du type d'objet.<br>L'azimut est mesuré depuis le |

nord en degré de 0° à 359° dans le sens des aiguilles d'une montre | Cardinalité [0..1] | |  
 3 | **DIP** | integer | Valeur du plongement du type d'objet (valeur en degrés, mesurée de l'horizontale (0°) vers le bas jusqu'à la verticale (90°) | Cardinalité [0..1] | |  
 4 | **FOLD\_TYP** | [CodedDomain](#) | Caractéristique du type d'objet. Les valeurs possibles sont énumérées dans la table GC\_PNT\_TDEF\_FOLD\_TYP\_CD en annexe de ce document. | Cardinalité [0..1] | |  
 5 | **FOLD\_FOR** | [CodedDomain](#) | Forme du type d'objet. Les valeurs possibles sont énumérées dans la table GC\_PNT\_TDEF\_FOLD\_FOR\_CD en annexe de ce document. | Cardinalité [0..1] | |

### 3.1.1 Attribut KIND

*Type de l'objet et description.*

| GeolCode | Deutsch  | Français  |
|----------|--|---|
| 14601001 | Tdef punktuell beobachtete tektonische Brekzie | brèche tectonique observée ponctuellement       |
| 14601002 | Tdef ausgeprägte Klüftung                      | diaclasses bien marquées                        |
| 14601003 | Tdef tektonische Diskordanz                    | discordance tectonique                          |
| 14601004 | Tdef Orientierung der Faltenachsenfläche       | orientation de la surface axiale d'un pli       |
| 14601005 | Tdef Fältelung                                 | plissotement (plis)                             |
| 14601006 | Tdef Darstellung der Spur einer Achsenfläche   | représentation de la trace d'une surface axiale |
| 14601007 | Tdef Chevron-Falte, Kink Fold                  | plis en chevron, Kink Fold                      |

### 3.1.2 Attribut AZIMUTH

*Azimut du type d'objet. L'azimut est mesuré depuis le nord en degré de 0° à 359° dans le sens des aiguilles d'une montre*

*Type de donnée : integer*

### 3.1.3 Attribut DIP

*Valeur du plongement du type d'objet (valeur en degrés, mesurée de l'horizontale (0°) vers le bas jusqu'à la verticale (90°))*

*Type de donnée : integer*

### 3.1.4 Attribut FOLD\_TYP

*Caractéristique du type d'objet*

| GeolCode | Deutsch        | Français       |
|----------|----------------|----------------|
| 14604001 | Antiklinale    | anticlinal     |
| 14604002 | Synklinale     | synclinal      |
| 999997   | Unknown        | inconnu        |
| 999998   | Not applicable | not applicable |

### 3.1.5 Attribut FOLD\_FOR

*Forme du type d'objet*

| GeolCode | Deutsch        | Français       |
|----------|----------------|----------------|
| 14605001 | Antiform       | antiforme      |
| 14605002 | Synform        | synforme       |
| 999997   | Unknown        | inconnu        |
| 999998   | Not applicable | not applicable |

### 3.2 Classe Deformation\_Structures\_L

La classe [Deformation\\_Structures\\_L](#) regroupe les structures linéaires de déformations tectoniques comme le tracé d'une charnière de pli. Un exemple d'un tel type d'objet est illustré dans l'annexe A.

|   | Nom                            | Type             | Description                     |
|---|--------------------------------|------------------|---------------------------------|
| 1 | <b>KIND</b><br>Cardinalité [1] | subtype<br>14701 | Type de l'objet et description. |

#### 3.2.1 Attribut KIND

*Type de l'objet et description.*

| GeolCode | Deutsch              | Français         |
|----------|----------------------|------------------|
| 14701001 | Tdef Faltenscharnier | charnière de pli |

### 3.3 Classe Deformation\_Structures\_PLG

Dans la classe [Deformation\\_Structures\\_PLG](#) se trouvent les régions marquées par des structures tectoniques à grande échelle comme les zones tectonisées ou les zones diaclasées.

|   | Nom                                   | Type                        | Description  |
|---|---------------------------------------|-----------------------------|--|
| 1 | <b>KIND</b><br>Cardinalité [1]        | subtype<br>14801            | Type de l'objet et description.  |
| 2 | <b>TYPE</b>                           | <a href="#">CodedDomain</a> | Caractéristique du type d'objet. Les valeurs possibles sont énumérées dans la table GC_SURF_TDEF_TYPE_CD en annexe de ce document. |
| 3 | Cardinalité [0..1]<br><b>GEN_RELA</b> | <a href="#">CodedDomain</a> | Relation génétique. Les valeurs possibles sont énumérées dans la table None en annexe de ce document.                              |
|   | Cardinalité [0..1]                    |                             |  |

#### 3.3.1 Attribut KIND

*Type de l'objet et description.*

| GeolCode | Deutsch                 | Français        |
|----------|-------------------------|-----------------|
| 14801001 | Tdef Kluftzone          | zone diaclasée  |
| 14801002 | Tdef tektonisierte Zone | zone tectonisée |

### 3.3.2 Attribut TYPE

*Caractéristique du type d'objet*

| GeolCode | Deutsch            | Français           |
|----------|--------------------|--------------------|
| 14802002 | kakiritisch        | kakiritique        |
| 14802001 | kataklastisch      | cataclastique      |
| 14802003 | mylonitisch        | mylonitique        |
| 14802004 | pseudotachylitisch | pseudotachylitique |
| 999997   | Unknown            | inconnu            |
| 999998   | Not applicable     | not applicable     |

### 3.3.3 Attribut GEN\_REL

*Relation génétique*

## 3.4 Classe Tectonic\_Boundaries\_L

None

|   | Nom                | Type                        | Description  |
|---|--------------------|-----------------------------|--|
| 1 | <b>KIND</b>        | subtype                     | Type de l'objet et description.  |
|   | Cardinalité [1]    | 14901                       |  |
| 2 | <b>FAULT_MO</b>    | <a href="#">CodedDomain</a> | Mouvement de la faille. Les valeurs possibles sont énumérées dans la table GC_LIN_TTEC_FAULT_MO_CD en annexe de ce document.                           |
|   | Cardinalité [0..1] |                             |  |
| 3 | <b>VERTI_MO</b>    | <a href="#">CodedDomain</a> | Mouvement parallèle au pendage du plan de faille. Les valeurs possibles sont énumérées dans la table GC_LIN_TTEC_VERTI_MO_CD en annexe de ce document. |
|   | Cardinalité [0..1] |                             |  |
| 4 | <b>HORIZ_MO</b>    | <a href="#">CodedDomain</a> | Mouvement parallèle à la direction du plan de faille ou  |

de cisaillement. Les valeurs possibles sont énumérées dans la table GC\_LIN\_TTEC\_HORIZ\_MO\_CD en annexe de ce document.

| Cardinalité [0..1] | |

5 | **LIM\_TECT\_B** | boolean | Limite d'unité tectonique (oui / non)? | Cardinalité [1] | |

6 | **STATUS** | [CodedDomain](#) | État du type d'objet. Les valeurs possibles sont énumérées dans la table GC\_LIN\_TTEC\_STATUS\_CD en annexe de ce document.

| Cardinalité [1] | |

7 | **ACTIVITY** | TODO | Activité du type d'objet | Cardinalité [0..1] | |

8 | **META\_STA** | [CodedDomain](#) | Chronologie tecto-métamorphique du type d'objet.. Les valeurs possibles sont énumérées dans la table GC\_LIN\_TTEC\_META\_STA\_CD en annexe de ce document.

| Cardinalité [0..1] | |

9 | **NAME** | string | Nom de la localité-type. / Description de l'affleurement géologique important | Cardinalité [0..1] | |

### 3.4.1 Attribut KIND

*Type de l'objet et description.*

| GeolCode | Deutsch                | Français   |
|----------|------------------------|--|
| 14901001 | Ttec Überschiebung     | chevauchement  |
| 14901002 | Ttec Abschiebung       | détachement (faille normale de grande extension et faible pendage) |
| 14901004 | Ttec Bruch             | faille   |
| 14901005 | Ttec Aufschiebung      | faille inverse   |
| 14901006 | Ttec Blattverschiebung | décrochement   |
| 14901007 | Ttec komplexe Störung  | accident tectonique complexe                                       |
| 14901008 | Ttec Störung i. Allg.  | accident tectonique en général                                     |

### 3.4.2 Attribut FAULT\_MO

*Mouvement de la faille*

| GeolCode | Deutsch   | Français                           |
|----------|---|------------------------------------|
| 14902003 | parallel zur Fallrichtung (strike slip)               | parallèle au pendage (strike slip) |
| 14902002 | parallel zur Streichrichtung (Horizontalverschiebung) | parallèle à la direction           |
| 14902001 | schrägverschiebend (oblique slip)                     | oblique (oblique slip)             |
| 999997   | Unknown   | inconnu                            |
| 999998   | Not applicable  | not applicable                     |

### 3.4.3 Attribut VERTI\_MO

*Mouvement parallèle au pendage du plan de faille*

| GeolCode | Deutsch        | Français       |
|----------|----------------|----------------|
| 14903002 | abschiebend    |                |
| 14903001 | aufschiebend   |                |
| 999997   | Unknown        | inconnu        |
| 999998   | Not applicable | not applicable |

### 3.4.4 Attribut HORIZ\_MO

*Mouvement parallèle à la direction du plan de faille ou de cisaillement*

| GeolCode | Deutsch   | Français |
|----------|-----------|----------|
| 14904001 | dextral   | dextre   |
| 14904002 | sinistral | sénestre |
| 999997   | Unknown   | inconnu  |

| GeolCode | Deutsch        | Français       |
|----------|----------------|----------------|
| 999998   | Not applicable | not applicable |

### 3.4.5 Attribut LIM\_TECT\_B

*Limite d'unité tectonique (oui / non)?*

*Type de donnée : boolean*

### 3.4.6 Attribut STATUS

*État du type d'objet*

| GeolCode | Deutsch                            | Français  |
|----------|------------------------------------|---|
| 14906004 | aus Seismikdaten interpretiert     | interprété de données sismiques                       |
| 14906001 | gesichert, im Allgemeinen          | certain, en général                                   |
| 14906002 | gesichert, unter Tage festgestellt | certain, mis en évidence dans des travaux souterrains |
| 14906003 | vermutet                           | probable  |
| 999997   | Unknown                            | inconnu   |
| 999998   | Not applicable                     | not applicable  |

### 3.4.7 Attribut ACTIVITY

*Activité du type d'objet*

### 3.4.8 Attribut META\_STA

*Chronologie tecto-métamorphique du type d'objet.*

| GeolCode | Deutsch                           | Français       |
|----------|-----------------------------------|----------------|
| 14908003 | nach der Platznahme der Decken    | post-nappe     |
| 14908001 | vor der Platznahme der Decken     | anté-nappe     |
| 14908002 | während der Platznahme der Decken | syn-nappe      |
| 999997   | Unknown                           | inconnu        |
| 999998   | Not applicable                    | not applicable |

### 3.4.9 Attribut NAME

*Nom de la localité-type. / Description de l'affleurement géologique important*

*Type de donnée : string*

## 4 Thème MEASUREMENTS\_SPATIAL\_ORIENTATION

### 4.1 Classe Folds\_PT

La classe [Folds\\_PT](#) contient les motifs qui décrivent la position spatiale d'objets géologiques plissés (par des mesures prises directement sur le terrain). A titre d'exemple, l'annexe A illustre l'orientation d'un axe de pli et l'orientation d'une ligne de crête.

|   | Nom                                       | Type             | Description   |
|---|---|------------------|---|
| 1 | <b>KIND</b><br>Cardinalité [1]            | subtype<br>13601 | Type de l'objet et description.   |
| 2 | <b>FOLD_TYP</b><br><br>Cardinalité [0..1] | CodedDomain      | Type de l'objet. Les valeurs possibles sont énumérées dans la table GC_PNT_MFOL_FOLD_TYP_CD en annexe de ce document.   |
| 3 | <b>FOLD_FOR</b><br>Cardinalité [0..1]     | 13603            | Forme du type d'objet   |
| 4 | <b>PHASE</b><br><br>Cardinalité [0..1]    | CodedDomain      | Phase de déformation. Les valeurs possibles sont énumérées dans la table GC_PNT_MFOL_PHASE_CD en annexe de ce document. |
| 5 | <b>PHASE_REF</b><br>Cardinalité [0..1]    | string           | Référence pour les données concernant la phase de déformation.  |
| 6 | <b>AZIMUTH</b><br>Cardinalité [0..1]      | integer          | Azimut du type d'objet. L'azimut est mesuré depuis le   |

nord en degré de 0° à 359° dans le sens des aiguilles d'une montre | Cardinalité [1] | |  
7 | **DIP** | integer | Valeur du plongement du type d'objet (valeur en degrés, mesurée de l'horizontale (0°) vers le bas jusqu'à la verticale (90°) | Cardinalité [0..1] | |

#### 4.1.1 Attribut KIND

*Type de l'objet et description.*

| GeolCode | Deutsch                             | Français                         |
|----------|-------------------------------------|----------------------------------|
| 13601001 | Mfol Orientierung der Faltenachse   | orientation d'un axe de pli      |
| 13601002 | Mfol Orientierung der Scheitellinie | orientation d'une ligne de crête |
| 13601003 | Mfol Orientierung der Muldenlinie   | orientation d'une ligne de creux |

#### 4.1.2 Attribut FOLD\_TYP

*Type de l'objet*

| GeolCode | Deutsch        | Français       |
|----------|----------------|----------------|
| 13602001 | Antiklinale    | anticlinal     |
| 13602002 | Synklinale     | synclinal      |
| 999997   | Unknown        | inconnu        |
| 999998   | Not applicable | not applicable |

#### 4.1.3 Attribut FOLD\_FOR

*Forme du type d'objet*

#### 4.1.4 Attribut PHASE

*Phase de déformation*

| GeolCode | Deutsch        | Français        |
|----------|----------------|-----------------|
| 13604001 | F1 (1. Phase)  | F1 (1ère phase) |
| 13604002 | F2 (2. Phase)  | F2 (2ème phase) |
| 13604003 | F3 (3. Phase)  | F3 (3ème phase) |
| 999997   | Unknown        | inconnu         |
| 999998   | Not applicable | not applicable  |

#### 4.1.5 Attribut PHASE\_REF

*Référence pour les données concernant la phase de déformation.*

*Type de donnée : string*

#### 4.1.6 Attribut AZIMUTH

*Azimut du type d'objet. L'azimut est mesuré depuis le nord en degré de 0° à 359° dans le sens des aiguilles d'une montre*

*Type de donnée : integer*

#### 4.1.7 Attribut DIP

*Valeur du plongement du type d'objet (valeur en degrés, mesurée de l'horizontale (0°) vers le bas jusqu'à la verticale (90°))*

*Type de donnée : integer*

### 4.2 Classe Lineation\_PT

La classe [Lineation\\_PT](#) contient des structures linéaires dont la position spatiale est décrite par des mesures directes sur le terrain. La position dans l'espace, entre autre de stries glaciaires et de tectoglyphes, fait aussi partie de cette classe tout comme l'orientation de la linéation d'intersection ou de linéation d'étirement.

|   | Nom                            | Type             | Description  |
|---|--------------------------------|------------------|--|
| 1 | <b>KIND</b><br>Cardinalité [1] | subtype<br>13701 | Type de l'objet et description.                          |
| 2 | <b>AZIMUTH</b>                 | integer          | Azimut du type d'objet.<br>L'azimut est mesuré depuis le |

nord en degré de 0° à 359° dans le sens des aiguilles d'une montre | Cardinalité [1] | |  
3 | **DIP** | | Valeur du plongement du type d'objet (en degrés), mesurée de l'horizontale (0°)  
vers le bas jusqu'à la verticale (90°) | Cardinalité [1] | |

#### 4.2.1 Attribut KIND

*Type de l'objet et description.*



| GeolCode | Deutsch                                      | Français                                   |
|----------|--|--|
| 13701001 | Mlin Orientierung der Intersektionslineation | orientation de la linéation d'intersection |
| 13701002 | Mlin Orientierung der Streckungslineation    | orientation de la linéation d'étirement    |
| 13701003 | Mlin Orientierung von Rutschharnischen       | orientation des tectoglyphes               |
| 13701004 | Mlin Orientierung von Gletscherschliffen     | orientation des stries glaciaires          |

#### 4.2.2 Attribut AZIMUTH

Azimet du type d'objet. L'azimet est mesuré depuis le nord en degré de 0° à 359° dans le sens des aiguilles d'une montre

Type de donnée : integer

#### 4.2.3 Attribut DIP

Valeur du plongement du type d'objet (en degrés), mesurée de l'horizontale (0°) vers le bas jusqu'à la verticale (90°)

### 4.3 Classe Planar\_Structures\_PT

None

|   | Nom  | Type                        | Description   |
|---|--|-----------------------------|---|
| 1 | <b>KIND</b><br>Cardinalité [1]             | subtype<br>13801            | Type de l'objet et description.   |
| 2 | <b>POLARITY</b><br><br>Cardinalité [0..1]  | <a href="#">CodedDomain</a> | Polarité du type d'objet dans l'espace.. Les valeurs possibles sont énumérées dans la table GC_PNT_MPLA_POLARITY_CD en annexe de ce document. |
| 3 | <b>PHASE</b><br><br>Cardinalité [0..1]     | <a href="#">CodedDomain</a> | Phase de déformation. Les valeurs possibles sont énumérées dans la table GC_PNT_MPLA_PHASE_CD en annexe de ce document.                       |
| 4 | <b>PHASE_REF</b><br><br>Cardinalité [0..1] | string                      | Référence pour les données concernant la phase de déformation.  |
| 5 | <b>OB_DIP_SLO</b><br>Cardinalité [0..1]    | boolean                     | Dip slope observé (oui / non)?  |
| 6 | <b>AZIMUTH</b>                             | integer                     | Azimet du type d'objet.<br>L'azimet est mesuré depuis le  |

nord en degré de 0° à 359° dans le sens des aiguilles d'une montre | Cardinalité [1] | |  
7 | **DIP** | | Valeur du plongement du type d'objet (en degrés), mesurée de l'horizontale (0°) vers le bas jusqu'à la verticale (90°) | Cardinalité [1] | |

#### 4.3.1 Attribut KIND

*Type de l'objet et description.*

| GeolCode | Deutsch   | Français                                      |
|----------|---|---|
| 13801001 | Mpla Orientierung der Schichten                     | orientation des couches                       |
| 13801002 | Mpla Orientierung eines Ganges                      | orientation d'un filon                        |
| 13801003 | Mpla Orientierung einer Bruchfläche                 | orientation d'un plan de faille               |
| 13801004 | Mpla Orientierung der Schieferung                   | orientation d'une schistosité                 |
| 13801005 | Mpla Orientierung einer Schichtung oder Schieferung | orientation d'une couche ou d'une schistosité |
| 13801006 | Mpla Schüttungsrichtung                             | direction de transport sédimentaire           |

#### 4.3.2 Attribut POLARITY

*Polarité du type d'objet dans l'espace.*

| GeolCode | Deutsch        | Français       |
|----------|----------------|----------------|
| 13802001 | normal         | normale        |
| 13802002 | überkippt      | renversée      |
| 999997   | Unknown        | inconnu        |
| 999998   | Not applicable | not applicable |

#### 4.3.3 Attribut PHASE

*Phase de déformation*

| GeolCode | Deutsch        | Français        |
|----------|----------------|-----------------|
| 13803001 | S1 (1. Phase)  | S1 (1ère phase) |
| 13803002 | S2 (2. Phase)  | S2 (2ème phase) |
| 13803003 | S3 (3. Phase)  | S3 (3ème phase) |
| 999997   | Unknown        | inconnu         |
| 999998   | Not applicable | not applicable  |

#### 4.3.4 Attribut PHASE\_REF

*Référence pour les données concernant la phase de déformation.*

*Type de donnée : string*

#### 4.3.5 Attribut OB\_DIP\_SLO

*Dip slope observé (oui / non)?*

*Type de donnée : boolean*

#### 4.3.6 Attribut AZIMUTH

*Azimut du type d'objet. L'azimut est mesuré depuis le nord en degré de 0° à 359° dans le sens des aiguilles d'une montre*

*Type de donnée : integer*

#### 4.3.7 Attribut DIP

Valeur du plongement du type d'objet (en degrés), mesurée de l'horizontale (0°) vers le bas jusqu'à la verticale (90°)

## 5 Thème LOCAL\_ADDITIONAL\_INFORMATION

### 5.1 Classe Anomalies\_PT

None

|   | Nom                               | Type              | Description                     |
|---|-----------------------------------|-------------------|---------------------------------|
| 1 | <b>KIND</b><br>Cardinalité [1]    | subtype<br>128001 | Type de l'objet et description. |
| 2 | <b>TYPE</b><br><br>Cardinalité [] | <br><br>128002    | Caractéristique du type d'objet |

#### 5.1.1 Attribut KIND

Type de l'objet et description.

|          |         |          |
|----------|---------|----------|
| GeolCode | Deutsch | Français |
|----------|---------|----------|

#### 5.1.2 Attribut TYPE

Caractéristique du type d'objet

### 5.2 Classe Fossils\_PT

La classe [Fossils\\_PT](#) contient tous les gisements fossilifères

|   | Nom                                       | Type                        | Description   |
|---|---|-----------------------------|---|
| 1 | <b>KIND</b><br>Cardinalité [1]            | subtype<br>12901            | Type de l'objet et description.   |
| 2 | <b>DIVISION</b><br><br>Cardinalité [0..1] | <a href="#">CodedDomain</a> | Catégorie de fossile à laquelle appartient l'objet. Les valeurs possibles sont énumérées dans la table GC_FOSS_LFOS_DIVISION_CD en annexe de ce document. |
| 3 | <b>SYSTEM</b><br>Cardinalité [0..1]       | table<br>gc_system          | Groupe de fossiles  |
| 4 | <b>DAT_METH</b><br><br>Cardinalité [0..1] | <a href="#">CodedDomain</a> | Méthode de datation. Les valeurs possibles sont énumérées dans la table GC_FOSS_LFOS_DAT_METH_CD en annexe de ce document.                                |

|   | Nom                | Type        | Description   |
|---|--------------------|-------------|---|
| 5 | <b>STATUS</b>      | CodedDomain | État du type d'objet. Les valeurs possibles sont énumérées dans la table GC_FOSS_LFOS_STATUS_CD en annexe de ce document. |
|   | Cardinalité [0..1] |             |   |
| 6 | <b>PROTECTED</b>   | boolean     | Objet géologique protégé (oui / non)?   |
|   | Cardinalité [0..1] |             |   |

### 5.2.1 Attribut KIND

*Type de l'objet et description.*

| GeolCode | Deutsch               | Français             |
|----------|-----------------------|----------------------|
| 12901001 | Lfos Fossilfundstelle | gisement fossilifère |

### 5.2.2 Attribut DIVISION

*Catégorie de fossile à laquelle appartient l'objet*

| GeolCode | Deutsch                 | Français       |
|----------|-------------------------|----------------|
| 12902006 | Einzeller               | unicellulaires |
| 12902002 | Pflanzen- und Tierreste | faune et flore |
| 12902003 | Pflanzenreste           | flore          |
| 12902004 | Spuren                  | traces         |
| 12902001 | Tierreste               | faune          |
| 999997   | Unknown                 | inconnu        |
| 999998   | Not applicable          | not applicable |

### 5.2.3 Attribut SYSTEM

*Groupe de fossiles*

### 5.2.4 Attribut DAT\_METH

*Méthode de datation*

| GeolCode | Deutsch               | Français               |
|----------|-----------------------|------------------------|
| 12904001 | radiometrisch datiert | daté radiométriquement |
| 999997   | Unknown               | inconnu                |
| 999998   | Not applicable        | not applicable         |

### 5.2.5 Attribut STATUS

*État du type d'objet*

| GeolCode | Deutsch         | Français       |
|----------|-----------------|----------------|
| 12905001 | aufgeschlossen  | affleurant     |
| 12905002 | wieder verdeckt | recouvert      |
| 999997   | Unknown         | inconnu        |
| 999998   | Not applicable  | not applicable |

### 5.2.6 Attribut PROTECTED

*Objet géologique protégé (oui / non)?*

*Type de donnée : boolean*

## 5.3 Classe Indication\_of\_Resources\_PT

La classe [Indication\\_of\\_Resources\\_PT](#) regroupe les gisements de minéraux, de gas, d'hydrocarbures et de matériel volcanique

|   | Nom  | Type                        | Description  |
|---|--|-----------------------------|--|
| 1 | <b>KIND</b><br>Cardinalité [1]             | subtype<br>13201            | Type de l'objet et description.  |
| 2 | <b>STATUS</b><br><br>Cardinalité [0..1]    | <a href="#">CodedDomain</a> | tat du type d'obje. Les valeurs possibles sont énumérées dans la table GC_PNT_LRES_STATUS_CD en annexe de ce document.                 |
| 3 | <b>MATERIAL</b><br><br>Cardinalité [0..1]  | <a href="#">CodedDomain</a> | Matériau associé au type d'objet. Les valeurs possibles sont énumérées dans la table GC_PNT_LRES_MATERIAL_CD en annexe de ce document. |
| 4 | <b>CHEMISTRY</b><br><br>Cardinalité [0..1] | string                      | Composant(s) chimique(s) caractérisant la nature du  |

type d'objet. | Cardinalité [0..1] | |

### 5.3.1 Attribut KIND

*Type de l'objet et description.*

| GeolCode | Deutsch  | Français  |
|----------|--|---|
| 13201001 | Lres Mineralfundstelle   | gisement de minéraux  |
| 13201002 | Lres Gasquelle   | source de gaz naturel   |
| 13201003 | Lres Anzeichen auf Öl  | indices de pétrole  |
| 13201004 | Lres Tasche, Karsttasche, Kluft, mit Füllung von siderolithischem Sediment | poche, poche karstique, fissure, remplie de matériel sidérolithique |
| 13201005 | Lres Fundstelle von vulkanischem Tuffit                                    | gisement de tuffite volcanique                                      |
| 13201006 | Lres Fundstelle vulkanischer Auswürflinge (Tephra)                         | gisement de projections volcaniques (tephra)                        |

| GeolCode | Deutsch                                | Français                        |
|----------|--|---------------------------------|
| 13201007 | Lres Fundstelle von Ries-Auswürflingen | gisement de projections du Ries |
| 13201008 | Lres Asphalt, vereinzelt Vorkommen     | asphalte, gisement isolé        |
| 13201009 | Lres Meteoritenfundstelle              | gisement de météorite           |

### 5.3.2 Attribut STATUS

*statut du type d'objet*

| GeolCode | Deutsch         | Français       |
|----------|-----------------|----------------|
| 13202001 | aufgeschlossen  | affleurant     |
| 13202002 | wieder verdeckt | recouvert      |
| 999997   | Unknown         | inconnu        |
| 999998   | Not applicable  | not applicable |

### 5.3.3 Attribut MATERIAL

*Matériau associé au type d'objet*

| GeolCode | Deutsch           | Français                |
|----------|-------------------|-------------------------|
| 13203003 | Bohnerz           | pisolites ferrugineuses |
| 13203001 | Boluston          | argile à bolus          |
| 13203004 | Glas- / Quarzsand | sable vitrifiable       |
| 13203002 | Huppererde        | hupper                  |
| 13203005 | Walkerde          | terre à foulon          |
| 999997   | Unknown           | inconnu                 |
| 999998   | Not applicable    | not applicable          |

### 5.3.4 Attribut CHEMISTRY

*Composant(s) chimique(s) caractérisant la nature du type d'objet.*

*Type de donnée : string*

## 5.4 Classe Mineralised\_Zone\_L

La classe [Mineralised\\_Zone\\_L](#) contient les zones minéralisées

|   | Nom                            | Type             | Description   |
|---|--------------------------------|------------------|---|
| 1 | <b>KIND</b><br>Cardinalité [1] | subtype<br>13301 | Type de l'objet et description.                     |
| 2 | <b>CHEMISTRY</b>               | string           | Composant(s) chimique(s) caractérisant la nature du |

type d'objet. | Cardinalité [0..1] | |

#### 5.4.1 Attribut KIND

Type de l'objet et description.

| GeolCode | Deutsch             | Français         |
|----------|---------------------|------------------|
| 13301001 | Lmin Vererzungszone | zone minéralisée |

#### 5.4.2 Attribut CHEMISTRY

Composant(s) chimique(s) caractérisant la nature du type d'objet.

Type de donnée : string

### 5.5 Classe Sedimentary\_Structures\_PT

La classe [Sedimentary\\_Structures\\_PT](#) contient la description des structures sédimentaires observées.

|   | Nom                            | Type             | Description  |
|---|--------------------------------|------------------|--|
| 1 | <b>KIND</b><br>Cardinalité [1] | subtype<br>13401 | Type de l'objet et description.                          |
| 2 | <b>AZIMUTH</b>                 | integer          | Azimut du type d'objet.<br>L'azimut est mesuré depuis le |

nord en degré de 0° à 359° dans le sens des aiguilles d'une montre | Cardinalité [0..1] | |

#### 5.5.1 Attribut KIND

Type de l'objet et description.

| GeolCode | Deutsch   | Français  |
|----------|---|---|
| 13401001 | Lsed Sedimentstrukturen   | structures sédimentaires  |
| 13401002 | Lsed Riffstrukturen   | structures récifales  |
| 13401003 | Lsed Erosions- oder<br>Omissionsfläche, Hartgrund,<br>Kondensationshorizont | surface d'érosion ou lacune<br>stratigraphique, surface durcie,<br>niveau de condensation |
| 13401004 | Lsed stratigraphische Lage<br>(Polarität) einer Schichtserie                | position stratigraphique (polarité)<br>d'une couche sédimentaire                          |
| 13401005 | Lsed Winkeldiskordanz   | discordance angulaire   |
| 13401006 | Lsed Entwässerungstrichter<br>(blow-out structure)                          | cratère d'échappement d'eau   |

#### 5.5.2 Attribut AZIMUTH

Azimut du type d'objet. L'azimut est mesuré depuis le nord en degré de 0° à 359° dans le sens des aiguilles d'une montre

Type de donnée : integer

## 5.6 Classe Type\_Localities\_PT

La classe [Type\\_Localities\\_PT](#) regroupe les types d'objets qui décrivent les localités-types ou les affleurements géologiques importants.

|   | Nom   | Type                        | Description   |
|---|---|-----------------------------|---|
| 1 | <b>KIND</b><br>Cardinalité [1]              | subtype<br>13501            | Type de l'objet et description.   |
| 2 | <b>STRATI</b><br><br>Cardinalité [0..1]     | <a href="#">CodedDomain</a> | Complément lithostratigraphique du type d'objet. Les valeurs possibles sont énumérées dans la table GC_PNT_LTYP_STRATI_CD en annexe de ce document. |
| 3 | <b>NAME</b><br><br>Cardinalité [0..1]       | string                      | Nom de la localité-type. / Description de l'affleurement géologique important.  |
| 4 | <b>ACCESSIBIL</b><br><br>Cardinalité [0..1] | boolean                     | Est-ce que le type d'objet était accessible au moment du levé de la carte   |
| 5 | <b>PROTECTED</b><br><br>Cardinalité [0..1]  | boolean                     | Objet géologique protégé (oui / non)?   |

### 5.6.1 Attribut KIND

*Type de l'objet et description.*

| GeolCode | Deutsch                               | Français                          |
|----------|---------------------------------------|-----------------------------------|
| 13501001 | Ltyp geologisch relevanter Aufschluss | affleurement géologique important |
| 13501003 | Ltyp Typusprofil                      | coupe-type                        |

### 5.6.2 Attribut STRATI

*Complément lithostratigraphique du type d'objet*

| GeolCode | Deutsch        | Français       |
|----------|----------------|----------------|
| 13502005 | Bank           | banc           |
| 13502003 | Formation      | formation      |
| 13502001 | Gruppe         | groupe         |
| 13502004 | Member         | membre         |
| 13502006 | Stufe          | étage          |
| 13502002 | Subgruppe      | sous-groupe    |
| 999997   | Unknown        | inconnu        |
| 999998   | Not applicable | not applicable |

### 5.6.3 Attribut NAME

*Nom de la localité-type. / Description de l'affleurement géologique important.*



Type de donnée : string

#### 5.6.4 Attribut ACCESSIBIL

Est-ce que le type d'objet était accessible au moment du levé de la carte

Type de donnée : boolean

#### 5.6.5 Attribut PROTECTED

Objet géologique protégé (oui / non)?

Type de donnée : boolean

### 5.7 Classe Prominent\_Lithological\_Features\_L

None

|   | Nom                            | Type             | Description  |
|---|--------------------------------|------------------|--|
| 1 | <b>KIND</b><br>Cardinalité [1] | subtype<br>13101 | Type de l'objet et description.                            |
| 2 | <b>CONG_SPE</b>                | CodedDomain      | Caractérisation des<br>conglomérats selon la nature<br>des |

clastes.. Les valeurs possibles sont énumérées dans la table GC\_LIN\_LPRO\_CONG\_SPE\_CD en annexe de ce document.

| Cardinalité [0..1] | |

3 | **NAME\_HORIZ** | CodedDomain | Nom du horizon repère à bentonite.. Les valeurs possibles sont énumérées dans la table GC\_LITSTRAT\_BED\_CD en annexe de ce document.

| Cardinalité [0..1] | |

4 | **ORIG\_DESCR** | string | Description de la légende de la carte géologique originale. | Cardinalité [0..1] | |

5 | **LPRO\_LITHO** | CodedDomain | Unité lithostratigraphique. Les valeurs possibles sont énumérées dans la table GC\_LITHO\_CD en annexe de ce document.

| Cardinalité [1] | |

#### 5.7.1 Attribut KIND

Type de l'objet et description.

| GeolCode | Deutsch               | Français         |
|----------|-----------------------|------------------|
| 13101001 | Lpro Gesteinshorizont | horizon de roche |

#### 5.7.2 Attribut CONG\_SPE

Caractérisation des conglomérats selon la nature des clastes.

| GeolCode | Deutsch   | Français   |
|----------|---|--|
| 13102003 | bunte bis polygene Nagelfluh                    | poudingue polygénique  |
| 13102004 | Flyschsandstein-Nagelfluh,<br>Riesenkonglomerat | poudingue à éléments de grès de<br>flysch, Riesenkonglomerat |

| GeolCode | Deutsch                                       | Français   |
|----------|---|--|
| 13102001 | kristallinfreie bis -arme<br>(Kalk-)Nagelfluh | poudingue (calcaire) dépourvu ou<br>pauvre en éléments cristallins |
| 13102002 | kristallinführende (Kalk-)Nagelfluh           | poudingue (calcaire) à éléments<br>cristallins                     |
| 999997   | Unknown                                       | inconnu  |
| 999998   | Not applicable                                | not applicable   |

### 5.7.3 Attribut NAME\_HORIZ

*Nom du horizon repère à bentonite.*

Voir le domaine [GC\\_LITSTRAT\\_BED\\_CD](#) dans l'annexe

### 5.7.4 Attribut ORIG\_DESCR

*Description de la légende de la carte géologique originale.*

*Type de donnée : string*

### 5.7.5 Attribut LPRO\_LITHO

*Unité litholstratigraphique*

Voir le domaine [GC\\_LITHO\\_CD](#) dans l'annexe

## 5.8 Classe Miscellaneous\_PT

La classe [Miscellaneous\\_PT](#) est réservée aux objets locaux très particuliers qui ne sont pas pertinents pour l'ensemble des données géologiques. Par conséquent ils ne sont pas standardisés dans le Modèle de données géologiques.

|   | Nom                                 | Type             | Description                     |
|---|-------------------------------------|------------------|---------------------------------|
| 1 | <b>KIND</b><br>Cardinalité [1]      | subtype<br>15501 | Type de l'objet et description. |
| 2 | <b>ORIG_NAME</b><br>Cardinalité [1] | string           |                                 |

### 5.8.1 Attribut KIND

*Type de l'objet et description.*

| GeolCode | Deutsch      | Français |
|----------|--------------|----------|
| 15501001 | Lmis Diverse | divers   |

### 5.8.2 Attribut ORIG\_NAME

—

*Type de donnée : string*

## 5.9 Classe Geological\_Outlines\_L

La classe [Geological\\_Outlines\\_L](#) contient les contours géologiques. Sous ce terme sont regroupés les périmètres des affleurements de roches consolidées et de roches meubles, les limites des zones tectonisées, ainsi que la délimitation des masses glissées et tassées, pour autant que ces bordures ne soient pas déjà décrites par un autre type de contour (p. ex. limite tectonique). Les contours géologiques de statut général regroupent les limites stratigraphiques et pétrographiques. Un contour géologique recouvert par des dépôts quaternaires, par un cours d'eau ou un glacier a un statut probable. Il en va de même pour les passages graduels entre roches meubles et roches consolidées (aucune limite lithologique claire; au sens des limites de figuré selon le catalogue des signes (CS)). Les contours géologiques artificiels (contours de séparation selon le CS) sont des contours séparant des secteurs à information détaillée de secteurs à densité d'information plus faible – du fait d'un manque d'information ou pour des raisons de représentation (échelle de la digitalisation)

|   | Nom                                     | Type                        | Description  |
|---|---|-----------------------------|--|
| 1 | <b>KIND</b><br>Cardinalité [1]          | subtype<br>13001            | Type de l'objet et description.  |
| 2 | <b>STATUS</b><br><br>Cardinalité [0..1] | <a href="#">CodedDomain</a> | État du type d'objet. Les valeurs possibles sont énumérées dans la table GC_LIN_LGEO_STATUS_CD en annexe de ce document. |

### 5.9.1 Attribut KIND

*Type de l'objet et description.*

| GeolCode | Deutsch                 | Français           |
|----------|-------------------------|--------------------|
| 13001001 | Lgeo geologische Kontur | contour géologique |

### 5.9.2 Attribut STATUS

*État du type d'objet*

| GeolCode | Deutsch                         | Français               |
|----------|---------------------------------|------------------------|
| 13002004 | gesichert, tektonisch überprägt | certain, tectonisé     |
| 13002001 | im Allgemeinen                  | en général             |
| 13002003 | künstlich                       | artificiel             |
| 13002002 | vermutet                        | probable               |
| 13002005 | vermutet, tektonisch überprägt  | probable, tectonisé    |
| 999997   | Unknown                         | inconnu                |
| 999998   | Not applicable                  | not applicable         |
| 13002006 | Gewässerlinie                   | ligne d'un cours d'eau |

## 6 Thème PARAMETER\_AND\_MODELLING

### 6.1 Classe Slope\_Bedrock\_PT

La classe [Slope\\_Bedrock\\_PT](#) contient des informations ponctuelles provenant de la modélisation de l'orientation d'horizons lithologiques des roches consolidées dans le sous-sol ou de surfaces d'érosions.

|   | Nom                                | Type                                       | Description  |
|---|------------------------------------|--|--|
| 1 | <b>KIND</b><br>Cardinalité [1]     | subtype<br>14201                           | Type de l'objet et description.  |
| 2 | <b>TYPE</b><br><br>Cardinalité [1] | <a href="#">CodedDomain</a><br><br>integer | Surface de référence. Les valeurs possibles sont énumérées dans la table GC_PNT_PSLO_TYPE_CD en annexe de ce document. |
| 3 | <b>AZIMUTH</b>                     |  | Azimut du type d'objet.<br>L'azimut est mesuré depuis le   |

nord en degré de 0° à 359° dans le sens des aiguilles d'une montre | Cardinalité [0..1] | |  
4 | **DIP** | integer | Valeur du plongement du type d'objet (en degrés), mesurée de l'horizontale (0°) vers le bas jusqu'à la verticale (90°) | Cardinalité [0..1] | |  
5 | **PSLO\_FORMATIO** | [CodedDomain](#) | Unité lithostratigraphique de l'horizon modélisé. Les valeurs possibles sont énumérées dans la table GC\_LITSTRAT\_BED\_CD en annexe de ce document.  
| Cardinalité [1] | |

#### 6.1.1 Attribut KIND

*Type de l'objet et description.*

| GeolCode | Deutsch               | Français                |
|----------|-----------------------|-------------------------|
| 14201001 | Pslo Neigungsrichtung | direction de plongement |

#### 6.1.2 Attribut TYPE

*Surface de référence*

| GeolCode | Deutsch                              | Français                               |
|----------|--------------------------------------|--|
| 14202001 | Felsoberfläche                       | surface du substratum rocheux          |
| 14202002 | Obergrenze einer gegebenen Formation | surface du toit d'une formation donnée |
| 999997   | Unknown                              | inconnu                                |
| 999998   | Not applicable                       | not applicable                         |

#### 6.1.3 Attribut AZIMUTH

*Azimut du type d'objet. L'azimut est mesuré depuis le nord en degré de 0° à 359° dans le sens des aiguilles d'une montre*

*Type de donnée : integer*

#### 6.1.4 Attribut DIP

*Valeur du plongement du type d'objet (en degrés), mesurée de l'horizontale (0°) vers le bas jusqu'à la verticale (90°)*

*Type de donnée : integer*

### 6.1.5 Attribut PSLO\_FORMATIO

Unité lithostratigraphique de l'horizon modélisé

Voir le domaine [GC\\_LITSTRAT\\_BED\\_CD](#) dans l'annexe

## 6.2 Classe Contour\_Lines\_Bedrock\_L

La classe [Contour\\_Lines\\_Bedrock\\_L](#) contient les isohypses qui décrivent la géométrie des roches consolidées dans le sous-sol et sont le résultat d'une modélisation. Dans cette classe se trouvent entre autres les isohypses de la surface du substratum rocheux.

|   | Nom                                | Type                        | Description   |
|---|------------------------------------|-----------------------------|---|
| 1 | <b>KIND</b><br>Cardinalité [1]     | subtype<br>13901            | Type de l'objet et description.   |
| 2 | <b>TYPE</b><br><br>Cardinalité [1] | <a href="#">CodedDomain</a> | Surface de référence. Les valeurs possibles sont énumérées dans la table GC_LIN_PCOB_TYPE_CD en annexe de ce document.                                |
| 3 | <b>ALTITUDE</b><br>Cardinalité [1] | float                       | Valeur altimétrique des isohypses.  |
| 4 | <b>LITSTRAT</b><br>Cardinalité [1] | <a href="#">CodedDomain</a> | Unité lithostratigraphique de la formation modelisée. Les valeurs possibles sont énumérées dans la table GC_LITSTRAT_BED_CD en annexe de ce document. |
|   | Cardinalité [1]                    |                             |   |

### 6.2.1 Attribut KIND

Type de l'objet et description.

| GeolCode | Deutsch       | Français |
|----------|---------------|----------|
| 13901001 | Pcob Isohypse | isohypse |

### 6.2.2 Attribut TYPE

Surface de référence

| GeolCode | Deutsch                               | Français                                  |
|----------|---------------------------------------|---|
| 13902001 | Felsoberfläche                        | surface du substratum rocheux             |
| 13902002 | Obergrenze einer gegebenen Formation  | surface du toit d'une formation donnée    |
| 13902003 | Untergrenze einer gegebenen Formation | surface de la base d'une formation donnée |
| 999997   | Unknown                               | inconnu                                   |
| 999998   | Not applicable                        | not applicable                            |

### 6.2.3 Attribut ALTITUDE

Valeur altimétrique des isohypses.

Type de donnée : float

### 6.2.4 Attribut LITSTRAT

Unité lithostratigraphique de la formation modelisée

Voir le domaine [GC\\_LITSTRAT\\_BED\\_CD](#) dans l'annexe

## 6.3 Classe Modelled\_Water\_Table\_PT

La classe [Modelled\\_Water\\_Table\\_PT](#) contient des informations ponctuelles provenant de la modélisation du niveau piézométrique d'une nappe libre.

|   | Nom                            | Type             | Description  |
|---|--------------------------------|------------------|--|
| 1 | <b>KIND</b><br>Cardinalité [1] | subtype<br>14101 | Type de l'objet et description.                          |
| 2 | <b>AZIMUTH</b>                 | integer          | Azimut du type d'objet.<br>L'azimut est mesuré depuis le |

nord en degré de 0° à 359° dans le sens des aiguilles d'une montre | Cardinalité [0..1] | |  
3 | **DIP** | integer | Valeur du plongement du type d'objet (en degrés), mesurée de l'horizontale (0°) vers le bas jusqu'à la verticale (90°) | Cardinalité [0..1] | |  
4 | **HEIGHT** | float | Cote de la nappe phréatique. | Cardinalité [0..1] | |  
5 | **MEA\_PERIOD** | range | Période de mesure de la profondeur du niveau hydrostatique. | Cardinalité [0..1] | |

### 6.3.1 Attribut KIND

Type de l'objet et description.

| GeolCode | Deutsch                                    | Français                            |
|----------|--|-------------------------------------|
| 14101001 | Pmod Grundwasserfliessrichtung             | direction d'écoulement              |
| 14101002 | Pmod mittlere Höhe des Grundwasserspiegels | niveau moyen de la nappe phréatique |

### 6.3.2 Attribut AZIMUTH

Azimut du type d'objet. L'azimut est mesuré depuis le nord en degré de 0° à 359° dans le sens des aiguilles d'une montre

Type de donnée : integer

### 6.3.3 Attribut DIP

Valeur du plongement du type d'objet (en degrés), mesurée de l'horizontale (0°) vers le bas jusqu'à la verticale (90°)

Type de donnée : integer

#### 6.3.4 Attribut HEIGHT

Cote de la nappe phréatique.

Type de donnée : float

#### 6.3.5 Attribut MEA\_PERIOD

Période de mesure de la profondeur du niveau hydrostatique.

Type de donnée : range

### 6.4 Classe Contour\_Lines\_Hydro\_L

Dans la classe [Contour\\_Lines\\_Hydro\\_L](#) se trouvent les isohypses qui décrivent la surface d'une nappe d'eaux souterraine.

|   | Nom                                       | Type                        | Description  |
|---|---|-----------------------------|--|
| 1 | <b>KIND</b><br>Cardinalité [1]            | subtype<br>14001            | Type de l'objet et description.  |
| 2 | <b>CONFINE</b><br><br>Cardinalité [0..1]  | <a href="#">CodedDomain</a> | État de la pression dans l'aquifère. Les valeurs possibles sont énumérées dans la table GC_LIN_PCOH_CONFINE_CD en annexe de ce document. |
| 3 | <b>ALTITUDE</b><br><br>Cardinalité [1]    |                             | Valeur altimétrique des isohypses.   |
| 4 | <b>WA_TABLE</b><br><br>Cardinalité [0..1] | <a href="#">CodedDomain</a> | Niveau des eaux. Les valeurs possibles sont énumérées dans la table GC_LIN_PCOH_WA_TABLE_CD en annexe de ce document.                    |

#### 6.4.1 Attribut KIND

Type de l'objet et description.

| GeolCode | Deutsch                               | Français                             |
|----------|---------------------------------------|--------------------------------------|
| 14001001 | Pcoh Isohypse des Grundwasserspiegels | isohypse de la surface piézométrique |

#### 6.4.2 Attribut CONFINE

État de la pression dans l'aquifère

| GeolCode | Deutsch   | Français   |
|----------|-----------|------------|
| 14002003 | artesisch | artésienne |
| 14002001 | frei      | libre      |
| 14002002 | gespannt  | captive    |

| GeolCode | Deutsch        | Français       |
|----------|----------------|----------------|
| 999997   | Unknown        | inconnu        |
| 999998   | Not applicable | not applicable |

### 6.4.3 Attribut ALTITUDE

Valeur altimétrique des isohypses.

### 6.4.4 Attribut WA\_TABLE

Niveau des eaux

| GeolCode | Deutsch                               | Français                         |
|----------|---------------------------------------|----------------------------------|
| 14004002 | mittlere Höhe des Hochwasserstands    | altitude moyenne des hautes eaux |
| 14004001 | mittlere Höhe des Niedrigwasserstands | altitude moyenne des basses eaux |
| 999997   | Unknown                               | inconnu                          |
| 999998   | Not applicable                        | not applicable                   |

## 7 Thème ANTHROPOGENIC\_FEATURES

### 7.1 Classe Archaeology\_PT

La classe [Archaeology\\_PT](#) regroupe les sites archéologiques.

|   | Nom                                 | Type                        | Description   |
|---|-------------------------------------|-----------------------------|---|
| 1 | <b>KIND</b><br>Cardinalité []       | subtype<br>10101            | Type de l'objet et description.   |
| 2 | <b>EPOCH</b>                        | <a href="#">CodedDomain</a> | Époque archéologique du type d'objet. Les valeurs possibles sont énumérées dans la table GC_AARC_EPOCH_CD en annexe de ce document.   |
| 3 | Cardinalité [0..1]<br><b>PERIOD</b> | <a href="#">CodedDomain</a> | Période archéologique du type d'objet. Les valeurs possibles sont énumérées dans la table GC_AARC_PERIOD_CD en annexe de ce document. |
| 4 | Cardinalité [0..1]<br><b>AGE</b>    | <a href="#">CodedDomain</a> | Âge archéologique du type d'objet. Les valeurs possibles sont énumérées dans la table GC_AARC_AGE_CD en annexe de ce document.        |
|   | Cardinalité [0..1]                  |                             |   |



| Nom                | Type               | Description   |
|--------------------|--------------------|---|
| 5 <b>TYPE</b>      | <b>CodedDomain</b> | Type de mégalithe. Les valeurs possibles sont énumérées dans la table GC_PNT_AARC_TYPE_CD en annexe de ce document. |
| Cardinalité [0..1] |                    |   |

### 7.1.1 Attribut KIND

*Type de l'objet et description.*

| GeolCode | Deutsch  | Français   |
|----------|--|--|
| 10101001 | Aarc archäologische Fundstelle, Anlage, Siedlungsreste | site archéologique, station, vestiges d'établissement                          |
| 10101002 | Aarc Höhlensiedlung, Abri                              | grotte, abri sous roche  |
| 10101003 | Aarc Pfahlbauten                                       | palafitte  |
| 10101004 | Aarc Burgstelle, Burghügel, Wachturm                   | motte, emplacement d'un ancien château, d'une fortification, d'un château-fort |
| 10101005 | Aarc Gräber, Gräberfeld                                | tombe, site mortuaire  |
| 10101006 | Aarc Steinplattengrab                                  | sépulture  |
| 10101007 | Aarc Grabhügel, Dolmengrab                             | tumulus, dolmen funéraire  |
| 10101008 | Aarc Kultstein   | mégalithe  |
| 10101009 | Aarc Kalkofen  | four à chaux   |
| 10101010 | Aarc Felsenkeller                                      | cave dans la roche   |
| 10101011 | Aarc Schlackenhalde                                    | crassier   |
| 10101012 | Aarc Glashütte   | verrerie   |
| 10101013 | Aarc Schmelzofen                                       | four à fer   |
| 10101015 | Aarc Abbaustelle                                       | exploitation   |

### 7.1.2 Attribut EPOCH

*Époque archéologique du type d'objet*

| GeolCode | Deutsch        | Français       |
|----------|----------------|----------------|
| 10002001 | historisch     | historique     |
| 10002002 | prähistorisch  | préhistorique  |
| 999997   | Unknown        | inconnu        |
| 999998   | Not applicable | not applicable |

### 7.1.3 Attribut PERIOD

*Période archéologique du type d'objet*

| GeolCode | Deutsch     | Français       |
|----------|-------------|----------------|
| 10003005 | Bronzezeit  | âge du bronze  |
| 10003004 | Eisenzeit   | âge du fer     |
| 10003002 | Mittelalter | Moyen Âge      |
| 10003001 | Neuzeit     | époque moderne |
| 10003003 | Römerzeit   | époque romaine |

| GeolCode | Deutsch        | Français         |
|----------|----------------|------------------|
| 10003006 | Steinzeit      | âge de la pierre |
| 999997   | Unknown        | inconnu          |
| 999998   | Not applicable | not applicable   |

#### 7.1.4 Attribut AGE

*Âge archéologique du type d'objet*

| GeolCode | Deutsch          | Français       |
|----------|------------------|----------------|
| 10004005 | Altbronzezeit    | bronze précoce |
| 10004002 | Hallstattzeit    | Hallstatt      |
| 10004003 | Jungbronzezeit   | bronze tardif  |
| 10004001 | Latènezeit       | La Tène        |
| 10004007 | Mesolithikum     | mésolithique   |
| 10004004 | Mittelbronzezeit | bronze moyen   |
| 10004006 | Neolithikum      | néolithique    |
| 10004008 | Paläolithikum    | paléolithique  |
| 999997   | Unknown          | inconnu        |
| 999998   | Not applicable   | not applicable |

#### 7.1.5 Attribut TYPE

*Type de mégalithe*

| GeolCode | Deutsch        | Français         |
|----------|----------------|------------------|
| 10105001 | Menhir         | menhir           |
| 10105002 | Schalenstein   | pierre à cupules |
| 999997   | Unknown        | inconnu          |
| 999998   | Not applicable | not applicable   |

## 7.2 Classe Archaeology\_L

La classe [Archaeology\\_L](#) contient les éléments archéologiques de forme linéaire. Les routes historiques, les chemins creux et les fossés de fortification font partie de cette classe.

|   | Nom                                    | Type                        | Description   |
|---|--|-----------------------------|---|
| 1 | <b>KIND</b><br>Cardinalité []          | subtype<br>10201            | Type de l'objet et description.   |
| 2 | <b>EPOCH</b><br><br>Cardinalité [0..1] | <a href="#">CodedDomain</a> | Époque archéologique du type d'objet. Les valeurs possibles sont énumérées dans la table GC_AARC_EPOCH_CD en annexe de ce document. |

|   | Nom                | Type        | Description   |
|---|--------------------|-------------|---|
| 3 | <b>PERIOD</b>      | CodedDomain | Période archéologique du type d'objet. Les valeurs possibles sont énumérées dans la table GC_AARC_PERIOD_CD en annexe de ce document. |
|   | Cardinalité [0..1] |             |   |
| 4 | <b>AGE</b>         | CodedDomain | Âge archéologique du type d'objet. Les valeurs possibles sont énumérées dans la table GC_AARC_AGE_CD en annexe de ce document.        |
|   | Cardinalité [0..1] |             |   |

### 7.2.1 Attribut KIND

*Type de l'objet et description.*

| GeolCode | Deutsch                                     | Français                                 |
|----------|---|--|
| 10201001 | Aarc Verkehrsweg                            | voie de communication                    |
| 10201002 | Aarc Hohlweg                                | chemin creux                             |
| 10201003 | Aarc künstlicher Graben, Befestigungsgraben | fossé artificiel, fossé de fortification |
| 10201004 | Aarc künstlicher Erdwall                    | levée de terre artificielle              |
| 10201005 | Aarc Wasserleitung                          | aqueduc                                  |
| 10201006 | Aarc Steinreihe                             | alignement mégalithique                  |
| 10201007 | Aarc Schützengraben                         | tranchée                                 |

### 7.2.2 Attribut EPOCH

*Époque archéologique du type d'objet*

| GeolCode | Deutsch        | Français       |
|----------|----------------|----------------|
| 10002001 | historisch     | historique     |
| 10002002 | prähistorisch  | préhistorique  |
| 999997   | Unknown        | inconnu        |
| 999998   | Not applicable | not applicable |

### 7.2.3 Attribut PERIOD

*Période archéologique du type d'objet*

| GeolCode | Deutsch     | Français         |
|----------|-------------|------------------|
| 10003005 | Bronzezeit  | âge du bronze    |
| 10003004 | Eisenzeit   | âge du fer       |
| 10003002 | Mittelalter | Moyen Âge        |
| 10003001 | Neuzeit     | époque moderne   |
| 10003003 | Römerzeit   | époque romaine   |
| 10003006 | Steinzeit   | âge de la pierre |

| GeolCode | Deutsch        | Français       |
|----------|----------------|----------------|
| 999997   | Unknown        | inconnu        |
| 999998   | Not applicable | not applicable |

#### 7.2.4 Attribut AGE

Âge archéologique du type d'objet

| GeolCode | Deutsch          | Français       |
|----------|------------------|----------------|
| 10004005 | Altbronzezeit    | bronze précoce |
| 10004002 | Hallstattzeit    | Hallstatt      |
| 10004003 | Jungbronzezeit   | bronze tardif  |
| 10004001 | Latènezeit       | La Tène        |
| 10004007 | Mesolithikum     | mésolithique   |
| 10004004 | Mittelbronzezeit | bronze moyen   |
| 10004006 | Neolithikum      | néolithique    |
| 10004008 | Paläolithikum    | paléolithique  |
| 999997   | Unknown          | inconnu        |
| 999998   | Not applicable   | not applicable |

### 7.3 Classe Archaeology\_PLG

Dans la classe [Archaeology\\_PLG](#) se trouvent les vestiges archéologiques (p.ex. le Castrum romain) qui recouvrent une surface importante.

|   | Nom                                     | Type                        | Description   |
|---|---|-----------------------------|---|
| 1 | <b>KIND</b><br>Cardinalité []           | subtype<br>10301            | Type de l'objet et description.   |
| 2 | <b>EPOCH</b><br><br>Cardinalité [0..1]  | <a href="#">CodedDomain</a> | Époque archéologique du type d'objet. Les valeurs possibles sont énumérées dans la table GC_AARC_EPOCH_CD en annexe de ce document.   |
| 3 | <b>PERIOD</b><br><br>Cardinalité [0..1] | <a href="#">CodedDomain</a> | Période archéologique du type d'objet. Les valeurs possibles sont énumérées dans la table GC_AARC_PERIOD_CD en annexe de ce document. |
| 4 | <b>AGE</b><br><br>Cardinalité [0..1]    | <a href="#">CodedDomain</a> | Âge archéologique du type d'objet. Les valeurs possibles sont énumérées dans la table GC_AARC_AGE_CD en annexe de ce document.        |
|   | Cardinalité [0..1]                      |                             |   |

#### 7.3.1 Attribut KIND

Type de l'objet et description.

| GeolCode | Deutsch                               | Français                         |
|----------|---------------------------------------|----------------------------------|
| 10301001 | Aarc Castrum                          | castrum                          |
| 10301002 | Aarc Refugium, Höhensiedlung, Erdwerk | refugium, oppidum, fortification |

### 7.3.2 Attribut EPOCH

*Époque archéologique du type d'objet*

| GeolCode | Deutsch        | Français       |
|----------|----------------|----------------|
| 10002001 | historisch     | historique     |
| 10002002 | prähistorisch  | préhistorique  |
| 999997   | Unknown        | inconnu        |
| 999998   | Not applicable | not applicable |

### 7.3.3 Attribut PERIOD

*Période archéologique du type d'objet*

| GeolCode | Deutsch        | Français         |
|----------|----------------|------------------|
| 10003005 | Bronzezeit     | âge du bronze    |
| 10003004 | Eisenzeit      | âge du fer       |
| 10003002 | Mittelalter    | Moyen Âge        |
| 10003001 | Neuzeit        | époque moderne   |
| 10003003 | Römerzeit      | époque romaine   |
| 10003006 | Steinzeit      | âge de la pierre |
| 999997   | Unknown        | inconnu          |
| 999998   | Not applicable | not applicable   |

### 7.3.4 Attribut AGE

*Âge archéologique du type d'objet*

| GeolCode | Deutsch          | Français       |
|----------|------------------|----------------|
| 10004005 | Altbronzezeit    | bronze précoce |
| 10004002 | Hallstattzeit    | Hallstatt      |
| 10004003 | Jungbronzezeit   | bronze tardif  |
| 10004001 | Latènezeit       | La Tène        |
| 10004007 | Mesolithikum     | mésolithique   |
| 10004004 | Mittelbronzezeit | bronze moyen   |
| 10004006 | Neolithikum      | néolithique    |
| 10004008 | Paläolithikum    | paléolithique  |
| 999997   | Unknown          | inconnu        |
| 999998   | Not applicable   | not applicable |

## 7.4 Classe Exploitation\_Geomaterials\_PT

La classe [Exploitation\\_Geomaterials\\_PT](#) contient des informations ponctuelles sur les sites d'exploitation de matériaux géologiques.

|   | Nom                                    | Type                        | Description   |
|---|--|-----------------------------|---|
| 1 | <b>KIND</b><br>Cardinalité []          | subtype<br>10601            | Type de l'objet et description.   |
| 2 | <b>EXP_UNIT</b><br>Cardinalité [0..*]  | table<br>gc_litstrat_bed    | Unité lithostratigraphique exploitée  |
| 3 | <b>STATUS</b>                          | <a href="#">CodedDomain</a> | État de l'exploitation. Les valeurs possibles sont énumérées dans la table GC_EX_GEO_PNT_AEXP_STATUS_CD en annexe de ce document. |
| 4 | <b>DEPTH_TOT</b><br>Cardinalité [0..1] | float                       | Profondeur totale du type d'objet (en mètres depuis la surface).  |
| 5 | <b>TARG_MAT</b><br>Cardinalité [0..1]  | <a href="#">CodedDomain</a> | Matériau exploité.. Les valeurs possibles sont énumérées dans la table GC_EX_GEO_PNT_AEXP_TARG_MAT_CD en annexe de ce document.   |
|   | Cardinalité [0..1]                     |                             |   |

#### 7.4.1 Attribut KIND

Type de l'objet et description.

| GeolCode | Deutsch                                     | Français   |
|----------|---|--|
| 10601001 | Aexp Bergwerk, Untertageabbau               | mine, exploitation souterraine                                 |
| 10601002 | Aexp Stolleneingang                         | entrée de galerie  |
| 10601003 | Aexp Schacht                                | puits de mine  |
| 10601004 | Aexp Pinge (dolenenartiger Stolleneinbruch) | fontis (effondrement de surface lié à des travaux souterrains) |
| 10601005 | Aexp Schürfloch                             | trace d'exploitation en surface                                |
| 10601006 | Aexp ausgeräumte Bohnerztasche              | poche sidérolithique vidée                                     |

#### 7.4.2 Attribut EXP\_UNIT

Unité lithostratigraphique exploitée

#### 7.4.3 Attribut STATUS

État de l'exploitation

| GeolCode | Deutsch        | Français        |
|----------|----------------|-----------------|
| 10603003 | aufgefüllt     | comblé          |
| 10603001 | in Betrieb     | en exploitation |
| 10603002 | stillgelegt    | abandonné       |
| 10603004 | verfallen      | effondré        |
| 999997   | Unknown        | inconnu         |
| 999998   | Not applicable | not applicable  |

#### 7.4.4 Attribut DEPTH\_TOT

Profondeur totale du type d'objet (en mètres depuis la surface).

Type de donnée : float

#### 7.4.5 Attribut TARG\_MAT

Matériau exploité.

| GeolCode | Deutsch                                   | Français  |
|----------|---|---|
| 10605010 | Antimon                                   | antimoine   |
| 10605023 | Asbest                                    | asbeste / amiante                                     |
| 10605029 | Asphalt / Bitumen                         | asphalte / bitume                                     |
| 10605011 | Baryt                                     | barytine  |
| 10605006 | Blei-Zink                                 | plomb-zinc  |
| 10605022 | Bohnerz                                   | pisolites ferrugineuses                               |
| 10605007 | Chrom-Nickel, z.T. mit Kobalt             | chrome-nickel, partiellement avec cobalt              |
| 10605031 | Dachschiefer / Tafelschiefer              | ardoise, schiste ardoisier                            |
| 10605005 | Eisen / Eisenoolith                       | fer / oolite ferrugineuse                             |
| 10605001 | Erze allgemein                            | minerais en général                                   |
| 10605013 | Fluorit                                   | fluorite  |
| 10605034 | Gips                                      | gypse   |
| 10605002 | Gold                                      | or  |
| 10605027 | Graphit                                   | graphite  |
| 10605030 | Hartgestein                               | roche dure  |
| 10605012 | Kalzit                                    | calcite   |
| 10605015 | Kaolin                                    | kaolin  |
| 10605040 | Kies                                      | gravier   |
| 10605024 | Kohle allgemein                           | charbon en général                                    |
| 10605004 | Kupfer, z.T. mit Silber, Wismut und Arsen | cuivre, partiellement avec argent, bismuth et arsenic |
| 10605026 | Lignit                                    | lignite   |
| 10605016 | Magnesit                                  | magnésite   |
| 10605017 | Magnesium                                 | magnésium   |
| 10605008 | Mangan                                    | manganèse   |
| 10605009 | Molybdän und Wolfram                      | molybdène et tungstène                                |
| 10605028 | Ölschiefer                                | schiste bitumineux                                    |
| 10605018 | Phosphorit, Apatit                        | phosphorite, apatite                                  |
| 10605039 | Pyrit                                     | pyrite  |
| 10605014 | Quarz                                     | quartz  |
| 10605035 | Salz / Steinsalz                          | sel / halite  |
| 10605037 | Sand                                      | sable   |
| 10605038 | Sand und Kies                             | sable et gravier                                      |
| 10605020 | Schwefel                                  | soufre  |
| 10605032 | Serpentin                                 | serpentine  |
| 10605003 | Silber                                    | argent  |
| 10605033 | Speckstein                                | stéatite  |
| 10605025 | Steinkohle / Anthrazit                    | houille / anthracite                                  |
| 10605019 | Talk                                      | talc  |
| 10605036 | Ton / Ton und Silt (Lehm)                 | argile / argile et silt (limon)                       |
| 10605021 | Uran                                      | uranium   |
| 999997   | Unknown                                   | inconnu   |
| 999998   | Not applicable                            | not applicable  |

## 7.5 Classe Exploitation\_Geomaterials\_L

La classe [Exploitation\\_Geomaterials\\_L](#) contient les objets de forme linéaire liés aux sites d'exploitation de matériaux géologiques (p.ex. le front de taille).

|   | Nom                                     | Type                        | Description  |
|---|---|-----------------------------|--|
| 1 | <b>KIND</b><br>Cardinalité []           | subtype<br>10701            | Type de l'objet et description.  |
| 2 | <b>STATUS</b><br><br>Cardinalité [0..1] | <a href="#">CodedDomain</a> | État de l'exploitation. Les valeurs possibles sont énumérées dans la table GC_LIN_AEXP_STATUS_CD en annexe de ce document. |

### 7.5.1 Attribut KIND

*Type de l'objet et description.*

| GeolCode | Deutsch               | Français             |
|----------|-----------------------|----------------------|
| 10701001 | Aexp Abbaufont        | front d'exploitation |
| 10701002 | Aexp Bergwerksstollen | galerie de mine      |

### 7.5.2 Attribut STATUS

*État de l'exploitation*

| GeolCode | Deutsch        | Français        |
|----------|----------------|-----------------|
| 10702003 | aufgefüllt     | comblé          |
| 10702001 | in Betrieb     | en exploitation |
| 10702002 | stillgelegt    | abandonné       |
| 10702004 | verfallen      | effondré        |
| 999997   | Unknown        | inconnu         |
| 999998   | Not applicable | not applicable  |

## 7.6 Classe Exploitation\_Geomaterials\_PLG

La classe [Exploitation\\_Geomaterials\\_PLG](#) contient les surfaces d'exploitation de géomatériaux, telles qu'elles étaient au moment du levé de la carte géologique.

|   | Nom                                       | Type                         | Description   |
|---|---|------------------------------|---|
| 1 | <b>KIND</b><br>Cardinalité []             | subtype<br>10801             | Type de l'objet et description.   |
| 2 | <b>EXP_UNIT</b><br><br>Cardinalité [1..*] | table<br><br>gc_litstrat_bed | Unité lithostratigraphique exploitée  |
| 3 | <b>STATUS</b>                             | <a href="#">CodedDomain</a>  | État de l'exploitation. Les valeurs possibles sont énumérées dans la table GC_EX_GEO_PLG_AEXP_STATUS_CD en annexe de ce document. |



|   | Nom                                    | Type        | Description   |
|---|--|-------------|---|
| 4 | Cardinalité [0..1]<br><b>DEPTH_TOT</b> | float       | Profondeur totale du type d'objet (en mètres depuis la surface).  |
| 5 | Cardinalité [0..1]<br><b>TARG_MAT</b>  | CodedDomain | Matériel exploité.. Les valeurs possibles sont énumérées dans la table GC_EX_GEO_PLG_AEXP_TARG_MAT_CD en annexe de ce document. |
|   | Cardinalité [0..1]                     |             |   |

#### 7.6.1 Attribut KIND

Type de l'objet et description.

| GeolCode | Deutsch                          | Français                          |
|----------|----------------------------------|-----------------------------------|
| 10801001 | Aexp Steinbruch                  | carrière                          |
| 10801002 | Aexp Grube (Lockergesteinsabbau) | exploitation de matériaux meubles |

#### 7.6.2 Attribut EXP\_UNIT

Unité lithostratigraphique exploitée

#### 7.6.3 Attribut STATUS

État de l'exploitation

| GeolCode | Deutsch        | Français        |
|----------|----------------|-----------------|
| 10802003 | aufgefüllt     | comblé          |
| 10802001 | in Betrieb     | en exploitation |
| 10802002 | stillgelegt    | abandonné       |
| 10802004 | verfallen      | effondré        |
| 999997   | Unknown        | inconnu         |
| 999998   | Not applicable | not applicable  |

#### 7.6.4 Attribut DEPTH\_TOT

Profondeur totale du type d'objet (en mètres depuis la surface).

Type de donnée : float

#### 7.6.5 Attribut TARG\_MAT

Matériel exploité.

| GeolCode | Deutsch | Français                |
|----------|---------|-------------------------|
| 10804015 | Asbest  | asbeste / amiante       |
| 10804010 | Baryt   | barite                  |
| 10804016 | Bohnerz | pisolites ferrugineuses |

| GeolCode | Deutsch                      | Français                        |
|----------|------------------------------|---------------------------------|
| 10804005 | Dachschiefer / Tafelschiefer | ardoise, schiste ardoisier      |
| 10804012 | Eisen / Eisenoolithe         | fer / oolite ferrugineuse       |
| 10804006 | Gips                         | gypse                           |
| 10804004 | Hartgestein                  | roche dure                      |
| 10804011 | Kalzit / Kalk                | calcite / calcaire              |
| 10804013 | Kaolin                       | kaolin                          |
| 10804021 | Kies                         | gravier                         |
| 10804019 | Kohle                        | charbon                         |
| 10804018 | Mergel                       | marne                           |
| 10804014 | Quarz / Quarzit              | quartz / quartzite              |
| 10804020 | Salz / Steinsalz             | sel                             |
| 10804002 | Sand                         | sable                           |
| 10804003 | Sand und Kies                | sable et gravier                |
| 10804007 | Serpentin                    | serpentine                      |
| 10804008 | Speckstein                   | stéatite                        |
| 10804009 | Talk                         | talc                            |
| 10804001 | Ton / Ton und Silt (Lehm)    | argile / argile et silt (limon) |
| 10804017 | Torf                         | tourbe                          |
| 999997   | Unknown                      | inconnu                         |
| 999998   | Not applicable               | not applicable                  |

## 7.7 Classe Boreholes\_PT

La classe [Boreholes\\_PT](#) regroupe les forages et les sondages. (Sur les anciennes cartes imprimées, le genre d'objet n'était pas toujours distingué. D'ailleurs, il se peut que sur les anciennes cartes, les sondages par carottier battu aient été classés en tant que forages.)

|   | Nom                                   | Type             | Description  |
|---|---------------------------------------|------------------|--|
| 1 | <b>KIND</b><br>Cardinalité []         | subtype<br>10501 | Type de l'objet et description.                      |
| 2 | <b>DRILL_MO</b><br>Cardinalité [0..1] | 10502            | Mode du forage.                                      |
| 3 | <b>DEPTH_BEDROCK</b>                  | float            | Profondeur de la roche en place (en mètres depuis la |

surface). (Si l'ouvrage n'atteint pas la roche en place, par exemple forage interrompu dans la couverture quaternaire, la valeur est -999, au cas où le forage commence déjà dans la roche en place la valeur est 0) | Cardinalité [0..1] | |

4 | **D\_C\_UNDERG** | boolean | Forage réalisé à partir d'une galerie (oui / non)? | Cardinalité [1] | |

5 | **MAIN\_TAR** | [CodedDomain](#) | But principal du sondage. Les valeurs possibles sont énumérées dans la table GC\_PNT\_ABOR\_MAIN\_TAR\_CD en annexe de ce document. | Cardinalité [0..1] | |

6 | **TARG\_MAT** | [CodedDomain](#) | Matériau cible du sondage. Les valeurs possibles sont énumérées dans la table GC\_PNT\_ABOR\_TARG\_MAT\_CD en annexe de ce document. | Cardinalité [0..1] | |

7 | **DEPTH\_TOT** | float | Profondeur totale du type d'objet (en mètres depuis la surface). | Cardinalité [0..1] | |

8 | **FM\_A** | [CodedDomain](#) | Unité lithostratigraphique de la formation A atteinte. Les valeurs possibles sont énumérées dans la table GC\_LITSTRAT\_BED\_CD en annexe de ce document. | Cardinalité [0..1] | |

9 | **DEPTH\_FM\_A** | float | Profondeur relative à la formation A atteinte (en mètres depuis la

surface). | Cardinalité [0..1] | |

10 | **FM\_B** | [CodedDomain](#) | Unité lithostratigraphique de la formation B atteinte. Les valeurs possibles sont énumérées dans la table GC\_LITSTRAT\_BED\_CD en annexe de ce document.

| Cardinalité [0..1] | |

11 | **DEPTH\_FM\_B** | float | Profondeur de la formation B atteinte (en mètres depuis la surface). | Cardinalité [0..1] | |

12 | **DEPTH\_WT** | float | Profondeur (m depuis la surface) de la nappe phréatique (valeur moyenne). | Cardinalité [0..1] | |

13 | **AZIMUTH** | integer | Azimut du type d'objet. L'azimut est mesuré depuis le nord en degré de 0° à 359° dans le sens des aiguilles d'une montre | Cardinalité [0..1] | |

14 | **DIP** | integer | Valeur du plongement du type d'objet (en degrés), mesurée de l'horizontale (0°) vers le bas jusqu'à la verticale (90°) | Cardinalité [0..1] | |

15 | **REF\_NUMBER** | integer | Numéro de référence du type d'objet dans un document annexé (notice explicative,...). | Cardinalité [0..1] | |

16 | **LINK** | integer | Numéro de référence du type d'objet dans un document annexé (notice explicative,...). | Cardinalité [0..1] | |

### 7.7.1 Attribut KIND

*Type de l'objet et description.*

| GeolCode | Deutsch                 | Français                              |
|----------|-------------------------|---------------------------------------|
| 10501001 | Abor Bohrung            | forage                                |
| 10501002 | Abor Sondierschlitz     | fouille ou tranchée de reconnaissance |
| 10501003 | Abor Handsondierung     | sondage à la tarière                  |
| 10501004 | Abor Rammsondierung     | sondage au pénétromètre               |
| 10501005 | Abor Rammkernsondierung | sondage par carottier battu           |

### 7.7.2 Attribut DRILL\_MO

*Mode du forage.*

### 7.7.3 Attribut DEPTH\_BEDROCK

*Profondeur de la roche en place (en mètres depuis la surface). (Si l'ouvrage n'atteint pas la roche en place, par exemple forage interrompu dans la couverture quaternaire, la valeur est -999, au cas où le forage commence déjà dans la roche en place la valeur est 0)*

*Type de donnée : float*

### 7.7.4 Attribut D\_C\_UNDERG

*Forage réalisé à partir d'une galerie (oui / non)?*

*Type de donnée : boolean*

### 7.7.5 Attribut MAIN\_TAR

*But principal du sondage*

| GeolCode | Deutsch             | Français    |
|----------|---------------------|-------------|
| 10505006 | belasteter Standort | site pollué |

| GeolCode | Deutsch                | Français                     |
|----------|------------------------|------------------------------|
| 10505012 | Forschung              | recherche                    |
| 10505001 | Geotechnik             | géotechnique                 |
| 10505008 | Geothermie             | géothermique                 |
| 10505002 | Hydrogeologie          | hydrogéologique              |
| 10505005 | Kohlenwasserstoffe     | hydrocarbures                |
| 10505004 | mineralische Rohstoffe | matières premières minérales |
| 10505013 | Naturgefahren          | dangers naturels             |
| 10505007 | Seismik                | sismique                     |
| 999997   | Unknown                | inconnu                      |
| 999998   | Not applicable         | not applicable               |

#### 7.7.6 Attribut TARG\_MAT

*Matériau cible du sondage*

| GeolCode | Deutsch          | Français             |
|----------|------------------|----------------------|
| 10506003 | Erdgas           | gaz naturel          |
| 10506002 | Erdöl            | pétrole              |
| 10506004 | Erdwärme         | énergie géothermique |
| 10506006 | Grundwasser      | eau souterraine      |
| 10506007 | Mineralwasser    | eau minérale         |
| 10506001 | Salz / Steinsalz | sel / halite         |
| 10506005 | Thermalwasser    | eau thermale         |
| 999997   | Unknown          | inconnu              |
| 999998   | Not applicable   | not applicable       |

#### 7.7.7 Attribut DEPTH\_TOT

*Profondeur totale du type d'objet (en mètres depuis la surface).*

*Type de donnée : float*

#### 7.7.8 Attribut FM\_A

*Unité lithostratigraphique de la formation A atteinte*

Voir le domaine [GC\\_LITSTRAT\\_BED\\_CD](#) dans l'annexe

#### 7.7.9 Attribut DEPTH\_FM\_A

*Profondeur relative à la formation A atteinte (en mètres depuis la surface).*

*Type de donnée : float*

#### 7.7.10 Attribut FM\_B

*Unité lithostratigraphique de la formation B atteinte*

Voir le domaine [GC\\_LITSTRAT\\_BED\\_CD](#) dans l'annexe

#### 7.7.11 Attribut DEPTH\_FM\_B

*Profondeur de la formation B atteinte (en mètres depuis la surface).*

*Type de donnée : float*

#### 7.7.12 Attribut DEPTH\_WT

Profondeur (m depuis la surface) de la nappe phréatique (valeur moyenne).

Type de donnée : float

#### 7.7.13 Attribut AZIMUTH

Azimut du type d'objet. L'azimut est mesuré depuis le nord en degré de 0° à 359° dans le sens des aiguilles d'une montre

Type de donnée : integer

#### 7.7.14 Attribut DIP

Valeur du plongement du type d'objet (en degrés), mesurée de l'horizontale (0°) vers le bas jusqu'à la verticale (90°)

Type de donnée : integer

#### 7.7.15 Attribut REF\_NUMBER

Numéro de référence du type d'objet dans un document annexé (notice explicative,...).

Type de donnée : integer

#### 7.7.16 Attribut LINK

Numéro de référence du type d'objet dans un document annexé (notice explicative,...).

Type de donnée : integer

### 7.8 Classe Artificial\_Surface\_Modifications\_PLG

None

|   | Nom                            | Type             | Description                     |
|---|--------------------------------|------------------|---------------------------------|
| 1 | <b>KIND</b><br>Cardinalité [1] | subtype<br>10401 | Type de l'objet et description. |

#### 7.8.1 Attribut KIND

Type de l'objet et description.

| GeolCode | Deutsch  | Français                           |
|----------|--|------------------------------------|
| 10401001 | Aart künstlich verändertes Gelände             | terrain modelé artificiellement    |
| 10401002 | Aart künstliche Ablagerung,<br>undifferenziert | dépôts artificiels, indifférenciés |
| 10401003 | Aart Aufschüttung, Damm                        | remblai, digue                     |
| 10401004 | Aart Auffüllung                                | remplissage                        |
| 10401005 | Aart Deponie                                   | décharge                           |
| 10401006 | Aart Halde                                     | terril                             |

## 8 Thème HYDROGEOLOGY

### 8.1 Classe Construction\_PT

Dans la classe [Construction\\_PT](#) se trouvent les constructions hydriques, comme les captages dans la nappe phréatique et les citernes. Les instruments de mesure comme les piézomètres et les limnigraphes appartiennent également à cette classe.

|   | Nom                                     | Type                        | Description   |
|---|---|-----------------------------|---|
| 1 | <b>KIND</b><br>Cardinalité [1]          | subtype<br>12101            | Type de l'objet et description.   |
| 2 | <b>STATUS</b><br><br>Cardinalité [0..1] | <a href="#">CodedDomain</a> | État du type d'objet.. Les valeurs possibles sont énumérées dans la table GC_PNT_HCON_STATUS_CD en annexe de ce document.                 |
| 3 | <b>EPOCH</b><br><br>Cardinalité [0..1]  | <a href="#">CodedDomain</a> | Époque de construction du type d'objet. Les valeurs possibles sont énumérées dans la table GC_PNT_HCON_EPOCH_CD en annexe de ce document. |
| 4 | <b>DEPTH</b><br>Cardinalité [0..1]      | float                       | Profondeur du type d'objet.   |
| 5 | <b>DEPTH_WT</b><br>Cardinalité [0..1]   | float                       | Profondeur (m depuis la surface) de la nappe phréatique (valeur moyenne).   |
| 6 | <b>MEA_PERIOD</b><br>Cardinalité [0..1] | range                       | Période de mesure de la profondeur du niveau hydrostatique.   |
|   | Cardinalité [0..1]                      |                             |   |

#### 8.1.1 Attribut KIND

Type de l'objet et description.

| GeolCode | Deutsch  | Français                         |
|----------|--|----------------------------------|
| 12101001 | Hcon Grundwasserfassung                        | captage dans la nappe phréatique |
| 12101002 | Hcon Zisterne                                  | citerne                          |
| 12101003 | Hcon laufender Brunnen (in wasserarmem Gebiet) | fontaine (en région sèche)       |
| 12101004 | Hcon Sodbrunnen                                | puits                            |
| 12101005 | Hcon Versickerungsschacht                      | puits d'infiltration             |
| 12101006 | Hcon Limnigraph                                | limnigraphe                      |
| 12101007 | Hcon Piezometer                                | piézomètre                       |

#### 8.1.2 Attribut STATUS

État du type d'objet.

| GeolCode | Deutsch        | Français       |
|----------|----------------|----------------|
| 12102001 | in Betrieb     | en activité    |
| 12102002 | stillgelegt    | abandonné      |
| 999997   | Unknown        | inconnu        |
| 999998   | Not applicable | not applicable |

### 8.1.3 Attribut EPOCH

*Époque de construction du type d'objet*

| GeolCode | Deutsch        | Français       |
|----------|----------------|----------------|
| 12103001 | Mittelalter    | Moyen Âge      |
| 12103003 | prähistorisch  | préhistorique  |
| 12103002 | Römerzeit      | époque romaine |
| 999997   | Unknown        | inconnu        |
| 999998   | Not applicable | not applicable |

### 8.1.4 Attribut DEPTH

*Profondeur du type d'objet.*

*Type de donnée : float*

### 8.1.5 Attribut DEPTH\_WT

*Profondeur (m depuis la surface) de la nappe phréatique (valeur moyenne).*

*Type de donnée : float*

### 8.1.6 Attribut MEA\_PERIOD

*Période de mesure de la profondeur du niveau hydrostatique.*

*Type de donnée : range*

## 8.2 Classe Construction\_L

Dans la classe [Construction\\_L](#) se trouvent les constructions hydriques de forme linéaire comme les galeries de captage d'eau, qui peuvent être combinées avec les types d'objets de la classe [Surface\\_Water\\_PT](#).

|   | Nom                            | Type                        | Description   |
|---|--------------------------------|-----------------------------|---|
| 1 | <b>KIND</b><br>Cardinalité [1] | subtype<br>12201            | Type de l'objet et description.                     |
| 2 | <b>COMBI</b>                   | <a href="#">CodedDomain</a> | Type d'objet d'une autre classe avec lequel le type |

d'objet peut être combiné. Les valeurs possibles sont énumérées dans la table GC\_LIN\_HCON\_COMBI\_CD en annexe de ce document.

| Cardinalité [0..1] | |

### 8.2.1 Attribut KIND

Type de l'objet et description.

| GeolCode | Deutsch                       | Français                 |
|----------|-------------------------------|--------------------------|
| 12201001 | Hcon Wasserfassungstollen     | galerie de captage d'eau |
| 12201002 | Hcon künstlicher Gewässerlauf | écoulement artificiel    |

### 8.2.2 Attribut COMBI

Type d'objet d'une autre classe avec lequel le type d'objet peut être combiné

| GeolCode | Deutsch   | Français   |
|----------|---|--|
| 12202002 | mit gefasster Mineralquelle (orientiert) in Stollen | avec source minérale (orientée) captée en galerie  |
| 12202003 | mit gefasster Thermalquelle (orientiert) in Stollen | avec source thermique (orientée) captée en galerie |
| 12202001 | mit Quelfassung (orientiert) in Stollen             | avec captage (orienté) en galerie                  |
| 999997   | Unknown   | inconnu  |
| 999998   | Not applicable                                      | not applicable                                     |

## 8.3 Classe Palaeohydrology\_L

La classe [Palaeohydrology\\_L](#) contient tous les types d'objets de forme linéaire, indiquant le tracé d'un cours d'eau dans le passé.

|   | Nom  | Type                        | Description  |
|---|--|-----------------------------|--|
| 1 | <b>KIND</b><br>Cardinalité [1]               | subtype<br>12301            | Type de l'objet et description.  |
| 2 | <b>REL_AGE</b><br><br>Cardinalité [0..1]     | <a href="#">CodedDomain</a> | Age relatif du type d'objet. Les valeurs possibles sont énumérées dans la table GC_LIN_HPAL_REL_AGE_CD en annexe de ce document. |
| 3 | <b>HPAL_CHRONO</b><br><br>Cardinalité [0..1] | <a href="#">CodedDomain</a> | Attribution chronostratigraphique. Les valeurs possibles sont énumérées dans la table GC_CHRONO_CD en annexe de ce document.     |
| 4 | <b>REF_YEAR</b><br><br>Cardinalité [0..1]    | integer                     | Année de référence de l'ancienne ligne de rivage.  |
| 5 | <b>SOURCE</b><br><br>Cardinalité [1]         | string                      | Source des données déduites à partir de données historiques.   |
|   | Cardinalité [0..1]                           |                             |  |



### 8.3.1 Attribut KIND

*Type de l'objet et description.*

| GeolCode | Deutsch                               | Français                             |
|----------|---------------------------------------|--------------------------------------|
| 12301001 | Hpal Paläotal                         | axe de paléovallée                   |
| 12301002 | Hpal ehemalige Entwässerungsrinne     | ancien chenal                        |
| 12301003 | Hpal ehemalige glaziale Abflussrinne  | axe d'un ancien effluent glaciaire   |
| 12301004 | Hpal Trockental                       | vallée sèche                         |
| 12301005 | Hpal ehemaliges Bachbett              | ancien lit de cours d'eau (ruisseau) |
| 12301006 | Hpal Ufer eines ehemaligen Flussbetts | rive d'un ancien lit de cours d'eau  |
| 12301007 | Hpal ehemalige Uferlinie              | ancienne ligne de rivage             |

### 8.3.2 Attribut REL\_AGE

*Age relatif du type d'objet*

| GeolCode | Deutsch                    | Français                                   |
|----------|----------------------------|--|
| 12302002 | älter als die jüngste      | plus ancienne que la plus récente          |
| 12302003 | älter als die Zweitjüngste | plus ancienne que la deuxième plus récente |
| 12302001 | die jüngste oder Einzige   | la plus récente ou la seule                |
| 999997   | Unknown                    | inconnu                                    |
| 999998   | Not applicable             | not applicable                             |

### 8.3.3 Attribut HPAL\_CHRONO

*Attribution chronostratigraphique*

Voir le domaine [GC\\_CHRONO\\_CD](#) dans l'annexe

### 8.3.4 Attribut REF\_YEAR

*Année de référence de l'ancienne ligne de rivage.*

*Type de donnée : integer*

### 8.3.5 Attribut SOURCE

*Source des données déduites à partir de données historiques.*

*Type de donnée : string*

## 8.4 Classe Subsurface\_Water\_L

Dans la classe [Subsurface\\_Water\\_L](#) se trouvent les objets de forme linéaire qui représentent les cours d'eau souterrains. Le parcours exact des cours d'eau souterrains est presque toujours supposé. Il est déduit à partir de quelques données d'études de systèmes de captage. Les essais de traçage seront mentionnées dans la notice explicative, lorsqu'elle existe. Les cours d'eau souterrains peuvent être combinés avec les objets de la classe [Surface\\_Water\\_PT](#).

|   | Nom                            | Type                        | Description   |
|---|--------------------------------|-----------------------------|---|
| 1 | <b>KIND</b><br>Cardinalité [1] | subtype<br>12401            | Type de l'objet et description.                     |
| 2 | <b>COMBI</b>                   | <a href="#">CodedDomain</a> | Type d'objet d'une autre classe avec lequel le type |

d'objet peut être combiné. Les valeurs possibles sont énumérées dans la table GC\_LIN\_HSUB\_COMBI\_CD en annexe de ce document.  
| Cardinalité [0..1] | |

#### 8.4.1 Attribut KIND

*Type de l'objet et description.*

| GeolCode | Deutsch                          | Français              |
|----------|----------------------------------|-----------------------|
| 12401001 | Hsub unterirdischer Gewässerlauf | écoulement souterrain |

#### 8.4.2 Attribut COMBI

*Type d'objet d'une autre classe avec lequel le type d'objet peut être combiné*

| GeolCode | Deutsch  | Français                                  |
|----------|--|---|
| 12402001 | mit Versickerungsstelle eines Baches               | avec perte d'un cours d'eau               |
| 12402002 | mit Wiederaustritt eines unterirdischen Bachlaufes | avec résurgence d'une rivière souterraine |
| 999997   | Unknown  | inconnu                                   |
| 999998   | Not applicable                                     | not applicable                            |

### 8.5 Classe Surface\_Water\_PT

La classe [Surface\\_Water\\_PT](#) comprend les eaux de surface locales (ponctuelles) comme les sources et les pertes d'un cours d'eau. On y trouve également des types d'objets particuliers comme les cascades et les rapides, lesquels marquent des positions spécifiques du cours d'eau qui sont à relier avec la géologie sous-jacente. Une source est décrite comme «source thermique» lorsque l'eau y atteint une température annuelle moyenne  $\geq 20^{\circ}\text{C}$ . L'attribut «Temp» est associé à ce type de source et se limite en règle générale à la température moyenne de l'eau. Par conséquent aucune donnée d'analyse chimique n'est indiquée pour cet attribut. Par «source minérale», on entend une source avec une concentration minérale dans l'eau  $\geq 1\text{g/l}$  ou une concentration en  $\text{CO}_2 \geq 250\text{ mg/l}$ . L'attribut «Chemistry» est associé à ce type de source. Il indique l'élément caractéristique principal de l'eau minérale et non le chimisme complet de l'eau

|   | Nom                            | Type             | Description                     |
|---|--------------------------------|------------------|---------------------------------|
| 1 | <b>KIND</b><br>Cardinalité [1] | subtype<br>12501 | Type de l'objet et description. |

|   | Nom                                   | Type        | Description   |
|---|---------------------------------------|-------------|---|
| 2 | <b>STATUS</b>                         | CodedDomain | État du type d'objet. Les valeurs possibles sont énumérées dans la table GC_PNT_HSUR_STATUS_CD en annexe de ce document.          |
| 3 | Cardinalité [0..1]<br><b>FLOW_CON</b> | CodedDomain | Condition d'écoulement. Les valeurs possibles sont énumérées dans la table GC_PNT_HSUR_FLOW_CON_CD en annexe de ce document.      |
| 4 | Cardinalité [0..1]<br><b>TYPE</b>     | CodedDomain | Caractéristique du type d'objet. Les valeurs possibles sont énumérées dans la table GC_PNT_HSUR_TYPE_CD en annexe de ce document. |
| 5 | Cardinalité [0..1]<br><b>DIS_LOCA</b> | CodedDomain | Lieu d'écoulement. Les valeurs possibles sont énumérées dans la table GC_PNT_HSUR_DIS_LOCA_CD en annexe de ce document.           |
| 6 | Cardinalité [0..1]<br><b>COMBI</b>    | CodedDomain | Type d'objet d'une autre classe avec lequel le type   |

d'objet peut être combiné. Les valeurs possibles sont énumérées dans la table GC\_PNT\_HSUR\_COMBI\_CD en annexe de ce document.

| Cardinalité [0..1] | |

7 | **TEMP** | integer | Température moyenne (°C) de l'eau. | Cardinalité [0..1] | |

8 | **CHEMISTRY** | string | Element chimique caractéristique dans l'eau minérale. | Cardinalité [0..1] | |

9 | **AZIMUTH** | integer | Azimut du type d'objet. L'azimut est mesuré depuis le nord en degré de 0° à 359° dans le sens des aiguilles d'une montre | Cardinalité [0..1] | |

### 8.5.1 Attribut KIND

*Type de l'objet et description.*

| GeolCode | Deutsch   | Français                             |
|----------|---|--------------------------------------|
| 12501001 | Hsur Quelle   | source                               |
| 12501002 | Hsur diffuse Quelle                                 | source diffuse                       |
| 12501003 | Hsur Wiederaustritt eines unterirdischen Bachlaufes | résurgence d'une rivière souterraine |
| 12501004 | Hsur Versickerungsstelle eines Baches               | perte d'un cours d'eau               |
| 12501005 | Hsur Steilstufe in Bachrinne, Wasserfall            | rapide d'un cours d'eau, cascade     |
| 12501006 | Hsur Grundwasseraufstoss                            | résurgence des eaux souterraines     |

### 8.5.2 Attribut STATUS

*État du type d'objet*

| GeolCode | Deutsch        | Français       |
|----------|----------------|----------------|
| 12502001 | gefasst        | captée         |
| 12502002 | nicht gefasst  | non captée     |
| 999997   | Unknown        | inconnu        |
| 999998   | Not applicable | not applicable |

### 8.5.3 Attribut FLOW\_CON

*Condition d'écoulement*

| GeolCode | Deutsch        | Français       |
|----------|----------------|----------------|
| 12503001 | perennierend   | pérenne        |
| 12503002 | temporär       | temporaire     |
| 12503003 | versiegt       | tarie          |
| 999997   | Unknown        | inconnu        |
| 999998   | Not applicable | not applicable |

### 8.5.4 Attribut TYPE

*Caractéristique du type d'objet*

| GeolCode | Deutsch        | Français       |
|----------|----------------|----------------|
| 12504001 | Karstquelle    | karstique      |
| 12504002 | Mineralquelle  | minérale       |
| 12504003 | Thermalquelle  | thermale       |
| 999997   | Unknown        | inconnu        |
| 999998   | Not applicable | not applicable |

### 8.5.5 Attribut DIS\_LOCA

*Lieu d'écoulement*

| GeolCode | Deutsch        | Français       |
|----------|----------------|----------------|
| 12505002 | in Stollen     | en galerie     |
| 999997   | Unknown        | inconnu        |
| 999998   | Not applicable | not applicable |

### 8.5.6 Attribut COMBI

*Type d'objet d'une autre classe avec lequel le type d'objet peut être combiné*

| GeolCode | Deutsch                         | Français                      |
|----------|---------------------------------|-------------------------------|
| 12506002 | mit unterirdischem Gewässerlauf | avec écoulement souterrain    |
| 12506001 | mit Wasserfassungsstollen       | avec galerie de captage d'eau |
| 999997   | Unknown                         | inconnu                       |
| 999998   | Not applicable                  | not applicable                |

### 8.5.7 Attribut TEMP

Température moyenne (°C) de l'eau.

Type de donnée : integer

### 8.5.8 Attribut CHEMISTRY

Element chimique caractéristique dans l'eau minérale.

Type de donnée : string

### 8.5.9 Attribut AZIMUTH

Azimut du type d'objet. L'azimut est mesuré depuis le nord en degré de 0° à 359° dans le sens des aiguilles d'une montre

Type de donnée : integer

## 8.6 Classe Surface\_Water\_L

Dans la classe [Surface\\_Water\\_L](#) sont décrit les niveaux de sources (de forme linéaire)

|   | Nom                            | Type             | Description                     |
|---|--------------------------------|------------------|---------------------------------|
| 1 | <b>KIND</b><br>Cardinalité [1] | subtype<br>12601 | Type de l'objet et description. |

### 8.6.1 Attribut KIND

Type de l'objet et description.

|          |                    |   |
|----------|--------------------|---|
| GeolCode | Deutsch            | Français  |
| 12601001 | Hsur Quellhorizont | niveau de sources, déversement de la nappe phréatique |
| 12601002 | Hsur Bachlauf      | ruisseau  |

## 8.7 Classe Surface\_Water\_PLG

La classe [Surface\\_Water\\_PLG](#) regroupe toutes les accumulations d'eaux superficielles comme les glaciers, les lacs et les rivières qui masquent les unités géologiques sous-jacentes. Le modèle complet du réseau hydrique ne fait pas partie du Modèle de données géologiques.

|   | Nom                            | Type             | Description                     |
|---|--------------------------------|------------------|---------------------------------|
| 1 | <b>KIND</b><br>Cardinalité [1] | subtype<br>12701 | Type de l'objet et description. |

### 8.7.1 Attribut KIND

Type de l'objet et description.

| GeolCode | Deutsch        | Français |
|----------|----------------|----------|
| 12701001 | Hsur Gletscher | glacier  |
| 12701002 | Hsur See       | lac      |
| 12701003 | Hsur Fluss     | rivière  |

## 9 Annexe GC\_LITSTRAT\_BED\_CD

Table des valeurs des unités lithostratigraphiques

| GeolCode | Deutsch                                    | Français                                   |
|----------|--|--|
| 15204121 | «Ältere Orthogneise»                       | «Ältere Orthogneise»                       |
| 15203300 | «Arblatsch-Flysch»                         |  |
| 15203302 | «Arblatsch-Konglomerat»                    |  |
| 15202417 | «Basaler Quarzit» (Coroi-Fm.)              | «Quartzite de base» (Fm. du Coroi)         |
| 15202437 | «Calcaire à ciment» (Bifé-Fm.)             | «Calcaire à ciment» (Fm. de Bifé)          |
| 15202428 | «Calcaire siliceux brunâtre»               | «Calcaire siliceux brunâtre»               |
| 15200674 | «Calcaires à Entroques»                    |  |
| 15202433 | «Calcaires bréchiques»                     | «Calcaires bréchiques»                     |
| 15202426 | «Calcaires gréso-glauconieux»              | «Calcaires gréso-glauconieux»              |
| 15202427 | «Calcarénites beiges oolitiques»           | «Calcarénites beiges oolitiques»           |
| 15202420 | «Equisetenschiefer»                        | «Equisetenschiefer»                        |
| 15200594 | «Formation de la Chambotte Inférieure»     |  |
| 15200593 | «Formation de la Chambotte Supérieure»     |  |
| 15204120 | «Jüngere Orthogneise»                      | «Jüngere Orthogneise»                      |
| 15200510 | «Juranagelfluh-Mergel»                     | Juranagelfluh-Mergel                       |
| 15202406 | «Leitoolith»                               | «Leitoolith»                               |
| 15202425 | «Marnes noires pyriteuses»                 | «Marnes noires pyriteuses»                 |
| 15202099 | «Mergelband»                               | Mergelband (Fm. de Quinten)                |
| 15203339 | «Mittlere Rauwacke» (St-Triphon-Fm.)       |  |
| 15202415 | «Obere Tonschiefer» (Bommerstein-Fm.)      | «Obere Tonschiefer» (Fm. du Bommerstein)   |
| 15202412 | «Obere Zementsteinschichten»               | «Obere Zementsteinschichten»               |
| 15202398 | «Oberer Betliskalk»                        | «Oberer Betliskalk»                        |
| 15202383 | «Oberer Öhrlikalk»                         |  |
| 15202384 | «Oberer Öhrlimergel»                       |  |
| 15202300 | «Oberer Schrattenkalk»                     | «Oberer Schrattenkalk»                     |
| 15200592 | «Pierre Jaune Inférieure»                  |  |
| 15200591 | «Pierre Jaune Supérieure»                  |  |
| 15203077 | «Posidonienschiefer» (der Stanserhorn-Fm.) | Schistes à Posidonies (Fm. du Stanserhorn) |
| 15203331 | «Roffna-Porphyr»                           |  |
| 15202414 | «Rote Echinodermenbrekzie»                 | «Rote Echinodermenbrekzie»                 |
| 15202395 | «Roter Seewenkalk»                         | «Roter Seewenkalk»                         |
| 15202103 | «Schilt-Kalk»                              | Calcaire du Schilt                         |
| 15202102 | «Schilt-Mergel»                            | Marne du Schilt                            |
| 15205090 | «Série Rubanée»                            |  |
| 15203338 | «Silex-Niveau» (St-Triphon-Fm.)            |  |
| 15202413 | «Untere Zementsteinschichten»              | «Untere Zementsteinschichten»              |
| 15202399 | «Unterer Betliskalk»                       | «Unterer Betliskalk»                       |

| GeolCode | Deutsch   | Français  |
|----------|---|---|
| 15202385 | «Unterer Öhrlikalk»                               |   |
| 15202301 | «Unterer Schrattenkalk»                           | «Unterer Schrattenkalk»   |
| 15202360 | «Wildflysch», undifferenziert                     |   |
| 15200397 | Aargauer Juranagelfluh                            | Juranagelfluh d'Argovie   |
| 15200559 | Aarwangen-Molasse                                 | Molasse d'Aarwangen   |
| 15200291 | Abtwil-Konglomerat                                | Conglomérat d'Abtwil  |
| 15200494 | Achdorf-Formation                                 | Achdorf-Formation   |
| 15206004 | Adamello-Intrusiva                                | Intrusion de l'Adamello   |
| 15203198 | Adlerflüe-Formation                               | Formation de l'Adlerflüe  |
| 15204021 | Adnet-Kalk  | Calcaire d'Adnet  |
| 15203515 | Adula-D.: Albit-Oligoklasgneis                    | Adula-D.: Albit-Oligoklasgneis  |
| 15203256 | Adula-D.: Amphibolit                              | Adula-D.: Amphibolit  |
| 15203512 | Adula-D.: Basaler Gneis                           | Adula-D.: Basaler Gneis   |
| 15203255 | Adula-D.: Glimmerschiefer und Paragneis           | Adula-D.: Glimmerschiefer und Paragneis   |
| 15203532 | Adula-D.: Kalkschiefer und Marmor                 | Adula-D.: Kalkschiefer und Marmor   |
| 15203535 | Adula-D.: Ultramafitit                            | Adula-D.: Ultramafitit  |
| 15200285 | Aeugstertal-Bentonit                              | Bentonite de l'Aeugstertal  |
| 15204020 | Agnelli-Formation                                 | Formation d'Agnelli   |
| 15203058 | Agreblierai-Member                                | Membre d'Agreblierai  |
| 15202291 | Ahornen-Member                                    | Membre du Ahornen   |
| 15203334 | Aigremont-Brekzie                                 |   |
| 15203416 | Aiguilles-Rouges-d'Arolla-Metagabbro              | Métagabbro des Aiguilles Rouges d'Arolla  |
| 15200373 | Ajoie-Gompholit                                   | Gompholite d'Ajoie  |
| 15200384 | Ajoie-Member                                      | Membre d'Ajoie  |
| 15200459 | Akzessorische Mumienbänke                         | Bancs accessoires à momies  |
| 15205045 | Albenza-Formation                                 | Formation de l'Albenza  |
| 15203270 | Albeuve-Serie                                     | Série d'Albeuve   |
| 15206069 | Albit-Muskowitschiefer, undifferenziert           | schiste à muscovite et albite, indifférencié                                      |
| 15203463 | Albitaugenschiefer (SOPA) der Adlerflüe-Formation | Schistes oeillés à porphyroblastes d'albite (SOPA) de la Formation de l'Adlerflüe |
| 15203379 | Albitquarzit der Grava- und Tomül-Decke           | Albitquarzit (Grava)  |
| 15200563 | Albstein  | Albstein  |
| 15200231 | Albtal-Granit                                     | Granite de l'Albtal   |
| 15200154 | Alectryonia-Kalk                                  | Calcaire à Alectryonia rectangularis  |
| 15204133 | alkalische Intrusiva des Ostalpins                | roches intrusives alcalines de l'Austroalpin                                      |
| 15203229 | Allalin-Gabbro                                    | Gabbro de l'Allalin   |
| 15204016 | Allgäu-Formation                                  | Formation de l'Allgäu   |
| 15203031 | Allières-Member                                   | Membre d'Allières   |
| 15203451 | Almagelhorn-Migmatit                              | Migmatite de l'Almagelhorn  |
| 15202338 | Alp-Cavradi-Gneiskomplex                          | Complexe gneissique de l'Alp Cavradi  |
| 15202530 | Alp-Crap-Ner-Granit                               | Granite de l'Alp Crap Ner   |
| 15202344 | Alp-Ramosa-Granitgneis                            | Gneiss granitique de l'Alp Ramosa   |
| 15203560 | Alpbach-Schiefer                                  | Schistes de l'Alpbach   |
| 15206012 | Alpe-Cameraccio-Granodiorit                       |   |
| 15203353 | Alpe-Tamia-Campo-Wildflysch                       | Wildflysch de l'Alpe Tamia-Campo  |
| 15203479 | Alpigia-Gneis                                     | Gneiss d'Alpigia  |
| 15204148 | Alpiner Muschelkalk                               | Alpiner Muschelkalk   |

| GeolCode | Deutsch  | Français  |
|----------|--|---|
| 15204029 | Alplihorn-Member   | Membre de l'Alplihorn   |
| 15200634 | Altbach-Süsswasserkalk                                   | Calcaire d'eau douce de l'Altbach   |
| 15204051 | Altein-Formation   | Formation de l'Altein   |
| 15200228 | Ältere Flussablagerungen                                 | Ältere Flussablagerungen (Fm. de Weiach)  |
| 15200527 | Ältere Juranagelfluh                                     | Ältere Juranagelfluh  |
| 15202481 | Altkristallin des Aiguilles-Rouges-Massivs, migmatitisch | Socle polycyclique anté-varisque du massif des Aiguilles Rouges, migmatitique   |
| 15202478 | Altkristallin des Mont-Blanc-Massivs, amphibolitreich    | Socle polycyclique anté-varisque du massif du Mont Blanc, riche en amphibolites |
| 15202477 | Altkristallin des Mont-Blanc-Massivs, migmatitisch       | Socle polycyclique anté-varisque du massif du Mont Blanc, migmatitique          |
| 15202479 | Altkristallin des Mont-Blanc-Massivs, mylonitisch        | Socle polycyclique anté-varisque du massif du Mont Blanc, mylonitique           |
| 15202078 | Altmann-Member   | Membre de l'Altmann   |
| 15204023 | Alv-Brekzie  | Brèche d'Alv  |
| 15200577 | Amaltheenton-Formation                                   |   |
| 15202049 | Amden-Mergel   | Marne d'Amden   |
| 15204006 | Ammergau-Formation                                       | Formation d'Ammergau  |
| 15205120 | Amphibolit der Valpelline-Gruppe                         | Amphibolite du Groupe de Valpelline   |
| 15203466 | Amphibolit des Ergischhorn-Ensembles                     | Amphibolite du Complexe gneissique de l'Ergischhorn                             |
| 15206037 | Amphibolit, undifferenziert                              | amphibolite, indifférenciée   |
| 15200574 | Ancepsoolith-Subformation                                |   |
| 15205067 | Andesit und Dazit  | Andésite et dacite permienes du Sudalpin  |
| 15203489 | Andolla-Eklogit  | Éclogite d'Andolla  |
| 15203097 | Andonces-Member  | Membre des Andonces   |
| 15200047 | Ängistein-Member   | Membre d'Ängistein  |
| 15200581 | Angulatenton-Formation                                   |   |
| 15203358 | Antabia-Gruppe   | Groupe d'Antabia  |
| 15203365 | Antigorio-Orthogneis                                     | Orthogneiss d'Antigorio   |
| 15200286 | Äntlisberg-Doldertobel-Süsswasserkalk                    | Calcaire d'eau douce de l'Äntlisberg-Doldertobel                                |
| 15200052 | Anwil-Bank   | Banc d'Anwil  |
| 15206039 | Aplit  | aplite  |
| 15206112 | Aplitgneis, undifferenziert                              | gneiss aplitique, indifférencié   |
| 15202326 | Aplitische Randfazies des Zentralen Aare-Granits         | Faciès de bordure aplitique du Granite Central de l'Aar                         |
| 15200290 | Appenzellergranit-Leitniveau                             | Niveau repère de l'Appenzellergranit  |
| 15203136 | Aptychenkalk   | Calcaires à Aptychus  |
| 15206116 | Aptychenkalk, undiff.                                    | Calcaire à aptychus, indiff.  |
| 15202137 | Arandellys-Formation                                     | Formation des Arandellys  |
| 15203301 | Arblatsch-Sandstein                                      |   |
| 15200462 | Arenicolites-Bank  | Banc à Arenicolites   |
| 15203378 | Areua-Bruschghorn-Melange                                | Mélange d'Areua-Bruschghorn   |
| 15200580 | Arietenkalk-Formation                                    |   |
| 15204049 | Arlberg-Formation  | Formation de l'Arlberg  |
| 15203159 | Aroley-Schichten   | Formation de l'Aroley   |
| 15205004 | Arolla-Serie   | Série d'Arolla  |
| 15203561 | Arosa-D.: Gabbro   | Arosa-D.: Gabbro  |



| GeolCode | Deutsch   | Français   |
|----------|---|--|
| 15203230 | Arosa-Mélange   | Mélange d'Arosa  |
| 15202474 | Arpette-Leukogranit                                   | Leucogranite d'Arpette   |
| 15203053 | Arvel-Formation                                       | Formation d'Arvel  |
| 15202446 | Arveyes-Flysch  | Flysch de la nappe d'Arveyes                                       |
| 15200155 | Arzier-Mergel   | Marne d'Arzier   |
| 15200131 | Asp-Member  | Membre d'Asp   |
| 15200450 | Astieria-Mergel                                       | Marne à Astieria   |
| 15202358 | Au-d'Arbignon-Schiefer                                | Schistes de l'Au d'Arbignon  |
| 15202055 | Aubrig-Schichten                                      | Couches de l'Aubrig  |
| 15203401 | Augengneis der Berisal-Decke                          | Gneiss oeilé de la nappe de Berisal                                |
| 15203478 | Augengneis der Maggia-Decke                           | Gneiss oeilé de la nappe de la Maggia                              |
| 15206067 | Augengneis, undifferenziert                           | gneiss oeilé, indifférencié  |
| 15204110 | Augsten-Brekzie                                       | Brèche de l'Augsten  |
| 15203249 | Aul-Marmor  | Marbre du Piz Aul  |
| 15203517 | Aula-Spruga-Gneiskomplex                              | Complexe gneissique d'Aula-Spruga                                  |
| 15202258 | Ausserberg-Avat-Zone                                  | zone d'Ausserberg-Avat   |
| 15202268 | Ausserbinn-Piz-Cavel-Zone                             | zone d'Ausserbinn-Piz Cavel  |
| 15202130 | Bachalp-Formation                                     | Formation de la Bachalp  |
| 15200104 | Baden-Member  | Membre de Baden  |
| 15200457 | Balmberg-Oolith                                       | Oolite du Balmberg   |
| 15202484 | Balmenegg-Granit                                      | Granite de la Balmenegg  |
| 15203278 | Balmi-Member  | Membre du Balmi  |
| 15200188 | Balsthal-Formation                                    | Formation de Balsthal  |
| 15200648 | Baltersweil-Nagelfluh                                 | Poudingue de Baltersweil   |
| 15202187 | Baltschieder-Granodiorit                              | Granodiorite de Baltschieder                                       |
| 15202549 | Baltschieder-Granodiorit:<br>Biotittonalit            | Granodiorite de Baltschieder:<br>tonalite à biotite                |
| 15202550 | Baltschieder-Granodiorit:<br>Hornblende Biotittonalit | Granodiorite de Baltschieder:<br>tonalite à biotite et horneblende |
| 15202030 | Band-Member   | Membre du Bandweg  |
| 15206097 | Bänder- und Schollenamphibolit,<br>undifferenziert    | amphibolite rubanée et à blocs,<br>indifférencié                   |
| 15203464 | Bänderamphibolit der<br>Adlerflüe-Formation           | Amphibolite rubanée de la<br>Formation de l'Adlerflüe              |
| 15203477 | Bändergneis der Maggia-Decke                          | Gneiss rubané de la nappe de la Maggia                             |
| 15203445 | Bändergneis der Monte-Rosa-Decke                      | Gneiss rubané de la nappe du Mont Rose                             |
| 15206093 | Bändergneis, undifferenziert                          | gneiss rubané, indifférencié                                       |
| 15200128 | Bänkerjoch-Formation                                  | Formation du Bänkerjoch  |
| 15202110 | Bannalp-Konglomerat                                   | Conglomérat de la Bannalp  |
| 15200020 | Banné-Member  | Membre du Banné  |
| 15204012 | Bardella-Formation                                    | Formation de Bardella  |
| 15202328 | Bäregg-Gneiskomplex                                   | Complexe gneissique de la Bäregg                                   |
| 15202567 | Bäregg-Gneiskomplex:<br>Metavulkanite                 | Complexe gneissique de la Bäregg:<br>métavulcanite                 |
| 15202565 | Bäregg-Gneiskomplex:<br>mylonitischer Orthogneis      | Complexe gneissique de la Bäregg:<br>orthogneiss mylonitique       |
| 15202566 | Bäregg-Gneiskomplex:<br>mylonitischer Paragneis       | Complexe gneissique de la Bäregg:<br>paragneiss mylonitique        |
| 15203178 | Bärenhorn-Formation                                   | Formation du Bärenhorn   |
| 15203580 | Bärenhorn-Formation:<br>Quarzsandstein                | Formation du Bärenhorn: grès<br>quartzitique                       |

| GeolCode | Deutsch  | Français                                     |
|----------|--|--|
| 15203531 | Bargella-Brekzie   | Brèche de Bargella                           |
| 15200223 | Bärhalde-Granit  | Granite de la Bärhalde                       |
| 15203182 | Barrhorn-Serie   | Série du Barrhorn                            |
| 15200672 | Bärschwil- bis<br>St-Ursanne-Formation,<br>undifferenziert |  |
| 15200006 | Bärschwil-Formation  | Formation de Bärschwil                       |
| 15203380 | Basale Tonschiefer der Grava- und<br>Tomül-Decke           | Basale Tonschiefer (Grava)                   |
| 15202452 | Basaler Mines-Lias   | Lias des Mines basal                         |
| 15203123 | Basaler Schlieren-Flysch                                   | Flysch basal des Schlieren                   |
| 15205069 | Basaler Tuf  | Tuf basal permien du Sudalpin                |
| 15202172 | Basales Konglomerat (Bifertengrätli)                       | Conglomérat basal (Fm. du<br>Bifertengrätli) |
| 15205068 | Basalt   | Basalte permien du Sudalpin                  |
| 15206079 | Basalt, undifferenziert                                    | basalte, indifférencié                       |
| 15200394 | Basisbildungen der USM-J                                   | Formations de la base de l'USM-J             |
| 15206049 | Basischer Gang   | filon basique                                |
| 15200433 | Basiskonglomerat (der Luzern-Fm.)                          | Conglomérat basal (Fm. de Lucerne)           |
| 15203173 | Basiskonglomerat der<br>Stätzerhorn-Gruppe                 | Hauptkonglomerat (Flysch du<br>Tomül)        |
| 15203148 | Basisserie   | Série basale (Fm. du Reischelsberg)          |
| 15200396 | Basler Juranagelfluh                                       | Juranagelfluh du Jura bâlois                 |
| 15203521 | Batnall-Gneis  | Gneiss du Batnall                            |
| 15202039 | Batöni-Member  | Membre de la Batöni                          |
| 15203208 | Bavugls-Gruppe   | Groupe de Bavugls                            |
| 15203024 | Beaumont-Konglomerat                                       | Conglomérat de Beaumont                      |
| 15202528 | Beesten-Fazies   | faciès de Beesten                            |
| 15200086 | Beggingen-Member   | Membre de Beggingen                          |
| 15200340 | Beichlen-Formation   | Formation de la Beichlen                     |
| 15200127 | Belchen-Member   | Membre du Belchen                            |
| 15204081 | Bellaluna-Member   | Membre de Bellaluna                          |
| 15205062 | Bellano-Formation  | Formation de Bellano                         |
| 15200662 | Bellegarde-Bank  |  |
| 15200402 | Belpberg-Formation   | Formation du Belpberg                        |
| 15205024 | Bergamo-Flysch   | Flysch de Bergamo                            |
| 15206006 | Bergell-Granodiorit  |  |
| 15206003 | Bergell-Intrusiva  | Intrusion du Bergell                         |
| 15206007 | Bergell-Tonalit  |  |
| 15202377 | Berglikehle-Bank   |  |
| 15200208 | Berlingen-Member   | Membre de Berlingen                          |
| 15205097 | Berrio-Gabbro  |  |
| 15205060 | Besano-Formation   | Formation de Besano                          |
| 15205039 | Besazio-Kalk   | Calcaire de Besazio                          |
| 15202135 | Besoëns-Formation  | Formation des Besoëns                        |
| 15202084 | Betlis-Formation   | Formation de Betlis                          |
| 15203530 | Bettlerjoch-Brekzie  | Brèche du Bettlerjoch                        |
| 15202115 | Bietenhorn-Member  | Membre du Bietenhorn                         |
| 15202436 | Bifé-Formation   | Formation de Bifé                            |
| 15202193 | Bifertenfirn-Formation                                     | Formation du Bifertenfirn                    |
| 15202169 | Bifertengrätli-Formation                                   | Formation du Bifertengrätli                  |
| 15206046 | Biogener Kalk (Eozän)                                      | calcaire biogène (Éocène)                    |
| 15203126 | Biot-Formation   | Formation du Biot                            |

| GeolCode | Deutsch  | Français  |
|----------|--|---|
| 15206092 | Biotit-Plagioklasgneis, undifferenziert                | gneiss à biotite et plagioclase, indifférencié              |
| 15203444 | Biotitgneis der Monte-Rosa-Decke                       | Gneiss à biotite de la nappe du Mont Rose                   |
| 15200117 | Birmenstorf-Member                                     | Membre de Birmenstorf                                       |
| 15200271 | Bischofzell-Bentonit                                   | Bentonite de Bischofzell                                    |
| 15202475 | Bitschji-Augengneis                                    | Gneiss oillé de Bitschji                                    |
| 15200124 | Blagdeni-Schichten                                     | Couches à Blagdeni  |
| 15200489 | Blagdeni-Subformation                                  | Blagdeni-Subformation                                       |
| 15204007 | Blais-Formation  | Formation du Blais  |
| 15204018 | Blaisun-Member   | Membre du (Piz) Blaisun                                     |
| 15200259 | Blapbach-Kohleflöz                                     | Niveau charbonneux du Blapbach                              |
| 15202287 | Blattengrat-Sandstein                                  | Grès du Blattengrat   |
| 15200233 | Blauen-Granit  | Granite du Blauen   |
| 15200492 | Blaukalk-Subformation                                  | Blaukalk-Subformation                                       |
| 15202109 | Blegi-Eisenoolith                                      | Oolite ferrugineuse de la Blegi                             |
| 15200461 | Bleiglanz-Bank   | Bleiglanzbank (Fm. de Kaiseraugst)                          |
| 15203306 | Bleis-Pintgas-Formation                                |   |
| 15202535 | Blockmergel (Spirstock)                                | Blockmergel (Spirstock)                                     |
| 15203279 | Bodeflue-Member  | Membre de la Bodeflue                                       |
| 15200583 | Bodensee-Nagelfluh                                     |   |
| 15202318 | Bodevena-Melange                                       | Mélange de la Bodevena                                      |
| 15203286 | Boëge-Mergel   | Marne de Boëge  |
| 15200175 | Bohnerzton   | Argile à pisolites ferrugineuses                            |
| 15203057 | Bois-de-Luan-Member                                    | Membre du Bois de Luan                                      |
| 15200301 | Bois-de-Raube-Formation                                | Formation du Bois de Raube                                  |
| 15200385 | Bois-de-Raube-Member                                   | Membre du Bois de Raube                                     |
| 15200333 | Bois-Genoud-Bentonit                                   | Bentonite de Bois-Genoud                                    |
| 15200652 | Bôle-Member  | Membre de Bôle  |
| 15200046 | Bollement-Member                                       | Membre de Bollement   |
| 15200176 | Boluston   | Argile à bolus  |
| 15202583 | Bommerstein- und Reischiben-Formation, undifferenziert | Formations de Bommerstein et de Reischiben, indifférenciées |
| 15202116 | Bommerstein-Formation                                  | Formation du Bommerstein                                    |
| 15203103 | Bonave-Formation                                       | Formation de Bonave   |
| 15203265 | Bonaveau-Kalk  | Calcaire de Bonaveau  |
| 15203311 | Bonigersee-Augengneis                                  |   |
| 15200585 | Bonneville-Sandstein                                   |   |
| 15202232 | Borel-Gneiskomplex                                     | Complexe gneissique du Piz Borel                            |
| 15203520 | Bosco-Gneis  | Gneiss de Bosco   |
| 15203425 | Böshorn-Gneis  | Gneiss du Böshorn   |
| 15200242 | Böttstein-Granit                                       | Granite de Böttstein  |
| 15205088 | Bouquetins-Quarzdiorit                                 |   |
| 15200049 | Bözen-Member   | Membre de Bözen   |
| 15204065 | Brachiopodenkalk-Member                                | Brachiopodenkalk-Member                                     |
| 15203079 | Brand-Formation  | Formation de Brand  |
| 15200499 | Brand-Herrentisch-Tuffit                               | Tuffite du Brand-Herrentisch                                |
| 15203383 | Brasses-Formation                                      | Formation des Brasses                                       |
| 15200460 | Brauner Oolith   | Brauner Oolith  |
| 15205048 | Brecce Retiche   | Brecce Retiche  |
| 15200079 | Breitenmatt-Member                                     | Membre de Breitenmatt                                       |
| 15203487 | Breithorn-Serpentinit                                  | Serpentinite du Breithorn                                   |
| 15203504 | Brekzie-Formation                                      | Brekzie-Formation   |

| GeolCode | Deutsch  | Français  |
|----------|--|---|
| 15200328 | Brendenbach-Mergel   | Poudingue du Brendenbach                                  |
| 15205021 | Brenno-Formation   | Formation de Brenno                                       |
| 15202215 | Breya-Rhyolith   | Rhyolithe de la Breya                                     |
| 15203510 | Brione-Gabbro  | Gabbro de Brione  |
| 15202065 | Brisi-Kalk   | Calcaire de la Brisi                                      |
| 15202064 | Brisi-Member   | Membre de la Brisi  |
| 15202066 | Brisi-Sandstein  | Grès de la Brisi  |
| 15202190 | Bristenstock-Syenit  | Syénite du Bristenstock                                   |
| 15205044 | Broccatello d'Arzo   | Broccatello d'Arzo  |
| 15200204 | Brot-Schichten   | Couches de Brot   |
| 15200065 | Brüggli-Member   | Membre de Brüggli   |
| 15203183 | Bruneggjoch-Formation  | Formation du Bruneggjoch                                  |
| 15203347 | Bruneggjoch-Metabauxit                                       |   |
| 15202178 | Brunni-Granit  | Granite de la Brunni                                      |
| 15202121 | Brunnistock-Formation  | Formation du Brunnistock                                  |
| 15200417 | Brüttelen-Muschelnagelfluh                                   | Poudingue coquillier de Brüttelen                         |
| 15200185 | Bryozoen-Mergel  | Marne à Bryozoaires                                       |
| 15204130 | Buffalora-Gruppe   | Groupe de Buffalora                                       |
| 15202163 | Bugnei-Granodiorit   | Granodiorite de Bugnei                                    |
| 15200034 | Buix-Member  | Membre de Buix  |
| 15202087 | Büls-Bank  | Banc de Büls  |
| 15200535 | Bumbach-Nagelfluh  | Poudingue de Bumbach                                      |
| 15206084 | Bündnerschiefer, kalkig                                      | Bündnerschiefer calcaires                                 |
| 15206085 | Bündnerschiefer, tonig                                       | Bündnerschiefer argileux                                  |
| 15206066 | Bündnerschiefer, undifferenziert                             | Bündnerschiefer, indifférencié                            |
| 15200324 | Bunte Rigi-Nagelfluh   | Bunte Rigi-Nagelfluh                                      |
| 15203570 | Bunter schiefriger Dolomit und<br>Rauwacke der Klippen-Decke | Dolomie schisteuse et cornieule des<br>Préalpes Médiannes |
| 15202503 | Buntgefleckte Schiefer                                       | Buntgefleckte Schiefer (Ilanz)                            |
| 15200143 | Buntsandstein  | Groupe du Buntsandstein                                   |
| 15200029 | Bure-Member  | Membre de Bure  |
| 15202288 | Burg-Sandstein   | Grès de Burg  |
| 15202595 | Bürgen- und Wildstrubel-Formation,<br>undiff.                | Formations du Bürgen et d'Euthal,<br>indiff.              |
| 15202032 | Bürgen-Formation   | Membre du Bürgen(stock)                                   |
| 15200102 | Burghorn-Formation   | Formation du Burghorn                                     |
| 15203332 | Burgruinen-Gneis   |   |
| 15200407 | Bütschelbach-Nagelfluh                                       | Poudingue du Bütschelbach                                 |
| 15203238 | Buufal-Konglomerat   | Conglomérat de Buufal                                     |
| 15202222 | Cacciola-Granit  | Granite de la Cacciola                                    |
| 15205012 | Cagno-Sandstein  | Grès de Cagno   |
| 15200455 | Calcaire âpre  | Calcaire âpre   |
| 15200654 | Calcaire Roux  | Calcaire Roux   |
| 15200383 | Calcaire roux marneux  | Calcaire roux marneux                                     |
| 15205035 | Calcari a bivalvi planctonici                                | Calcari a bivalvi planctonici                             |
| 15202264 | Calmut-Gneiskomplex  | Complexe gneissique de Calmut                             |
| 15203234 | Calpionellenkalk der Arosa-Zone                              | Calcaire à Calpionelles de la zone<br>d'Arosa             |
| 15203498 | Calpionellenkalk der Platta-Decke                            | Calcaire à calpionelles de la nappe<br>du Platta          |
| 15204142 | Campocologno-Gabbro  | Gabbro de Campocologno                                    |
| 15200036 | Caquerelle-Pisolith  | Pisolite de la Caquerelle                                 |
| 15204114 | Carale-Paraschiefer  | Schistes du Carale  |
| 15202132 | Cardinia-Member  | Membre à Cardinia   |

| GeolCode | Deutsch  | Français                                  |
|----------|--|---|
| 15203174 | Carnusa-Formation                                | Formation du Carnusa(horn)                |
| 15205055 | Cassina-Bank                                     | Banc de Cassina                           |
| 15205008 | Castel-di-Sotto-Ton                              | Argile de Castel di Sotto                 |
| 15202472 | Catogne-Gneiskomplex                             | Complexe gneissique du Catogne            |
| 15205057 | Cava Inferiore                                   | Cava Inferiore                            |
| 15205056 | Cava Superiore                                   | Cava Superiore                            |
| 15203437 | Cavalli-Formation                                | Formation des Cavalli                     |
| 15202191 | Cavardiras-Gruppe                                | Groupe de Cavardiras                      |
| 15204143 | Celerina-Orthogneis                              | Orthogneiss de Celerina                   |
| 15205084 | Ceneri-Gneis                                     |   |
| 15203529 | Cenomanbrekzien-Serie                            | Cenomanbrekzien-Serie                     |
| 15200668 | Censeau-Mergel                                   |   |
| 15202445 | Cernement-Member                                 | Membre du Cernement                       |
| 15200014 | Chailley-Member                                  | Membre du Chailley                        |
| 15203035 | Chällhorn-Member                                 | Membre du Chällhorn                       |
| 15200098 | Chambotte-Formation                              | Formation de la Chambotte                 |
| 15200630 | Champ-Vuillerat-Süsswasserkalk                   |   |
| 15202498 | Chamseeli-Konglomerat                            | Conglomérat du Chamseeli                  |
| 15203392 | Chandoline-Sandstein                             | Grès de Chandoline                        |
| 15204002 | Chanèls-Formation                                | Formation de Chanèls                      |
| 15202149 | Chartegg-Formation                               | Membre de la Chartegg                     |
| 15204106 | Chaschauna-Brekzie                               | Brèche du Piz Chaschauna                  |
| 15202241 | Chastelhorn-Metagabbro                           | Métagabbro du Chastelhorn                 |
| 15200053 | Châtillon-Member                                 | Membre de Châtillon                       |
| 15203055 | Chauderon-Formation                              | Formation du Chauderon                    |
| 15203591 | Chavanette- und Rubli-Member,<br>undifferenziert |   |
| 15203093 | Chavanette-Member                                | Membre de Chavanette                      |
| 15204075 | Chazforà-Formation                               | Formation de Chazforà                     |
| 15203019 | Chenaux-Rouges-Formation                         | Formation des Chenaux Rouges              |
| 15203021 | Chenaux-Rouges-Mineralkruste                     | Croûte minéralisée des Chenaux<br>Rouges  |
| 15202335 | Chéserys-Gneis                                   | Gneiss des Chéserys                       |
| 15203002 | Chesselbach-Formation                            | Formation du Chesselbach                  |
| 15200035 | Chestel-Member                                   | Membre du Chestel                         |
| 15203127 | Chétillon-Formation                              | Formation de Chétillon                    |
| 15203050 | Chevalets-Member                                 | Membre des Chevalets                      |
| 15200187 | Chevenez-Member                                  | Membre de Chevenez                        |
| 15205018 | Chiasso-Formation                                | Formation de Chiasso                      |
| 15206081 | Chloritschiefer, undifferenziert                 | schiste chloriteux, indifférencié         |
| 15203015 | Chlussli-Formation                               | Formation de Chlussli                     |
| 15200415 | Chnebelburg-Schichten                            | Couches de la Chnebelburg                 |
| 15202051 | Choltal-Member                                   | Membre du Choltal                         |
| 15202076 | Chopf-Bank                                       | Banc du Chopf                             |
| 15202080 | Chriesiloch-Echinodermenkalk                     | Calcaire échinodermique du<br>Chriesiloch |
| 15202040 | Chruteren-Member                                 | Membre de la Chruteren                    |
| 15202454 | Chrüzlistock-Migmatit                            | Migmatite du Chrüzlistock                 |
| 15203101 | Chumi-Formation                                  | Formation de la Chumi                     |
| 15203542 | Cima-Lunga-D.: Amphibolit                        | Cima-Lunga-D.: Amphibolit                 |
| 15203537 | Cima-Lunga-D.: Dolomitmarmor                     | Cima-Lunga-D.: Dolomitmarmor              |
| 15203543 | Cima-Lunga-D.: Eklogit                           | Cima-Lunga-D.: Eklogit                    |
| 15203541 | Cima-Lunga-D.: Granatit                          | Cima-Lunga-D.: Granatit                   |

| GeolCode | Deutsch   | Français   |
|----------|---|--|
| 15203536 | Cima-Lunga-D.: Kalkschiefer und Marmor                          | Cima-Lunga-D.: Kalkschiefer und Marmor                             |
| 15203538 | Cima-Lunga-D.: Paragneis  | Cima-Lunga-D.: Paragneis   |
| 15203544 | Cima-Lunga-D.: Ultramafitit                                     | Cima-Lunga-D.: Ultramafitit  |
| 15200017 | Cladocoropsis-Kalk  | Calcaire à Cladocoropsis   |
| 15204140 | Clavadatsch-Brekzie   | Brèche de Clavadatsch  |
| 15202262 | Clavaniev-Zone  | zone de Clavaniev  |
| 15203192 | Cleuson-Member  | Membre de Cleuson  |
| 15203062 | Clôt-la-Cime-Formation  | Formation de Clôt la Cime  |
| 15204043 | Cluozza-Member  | Membre du Val Cluozza  |
| 15203294 | Cocco-Gneis   |  |
| 15203290 | Coicon-Serie  | Série de Coicon  |
| 15203186 | Col-de-Chassoure-Formation                                      | Formation du Col de Chassoure                                      |
| 15203089 | Col-de-Cordon-Member  | Membre du Col de Cordon  |
| 15202397 | Col-de-la-Plaine-Morte-Bank                                     | Banc du Col de la Plaine Morte                                     |
| 15203042 | Col-de-Lys-Member   | Membre du Col de Lys   |
| 15203590 | Col-de-Tompey- und Agreblierai-Member, undifferenziert          |  |
| 15203585 | Col-de-Tompey- und Bois-de-Luan-Member, undifferenziert         |  |
| 15203059 | Col-de-Tompey-Formation   | Formation du Col de Tompey   |
| 15202419 | Col-du-Jorat-Member   | Membre du Col du Jorat   |
| 15205025 | Coldrerio-Flysch  | Flysch de Coldrerio  |
| 15203344 | Colerin-Konglomerat   |  |
| 15203036 | Comba-d'Avau-Member   | Membre de la Comba d'Avau  |
| 15203049 | Combe-du-Pissot-Formation                                       | Formation de la Combe du Pissot                                    |
| 15200304 | Combe-Girard-Bentonit   | Bentonite de la Combe Girard                                       |
| 15200625 | Combe-Girard-Member   |  |
| 15205015 | Como-Konglomerat  | Conglomérat de Como  |
| 15200024 | Complexe récifal  | Complexe récifal (Fm. des Etiollets)                               |
| 15200205 | Comptum-Bank  | Banc à Comptum   |
| 15202354 | Corandoni-Amphibolit  | Amphibolite de Corandoni   |
| 15200317 | Cornalle-Sandstein  | Grès de la Cornalle  |
| 15204141 | Corno-di-Campo-Granodiorit                                      | Granodiorite du Corno di Campo                                     |
| 15203403 | Corno-Gneis   | Gneiss du Corno  |
| 15202119 | Coroi-Formation   | Formation du Coroi   |
| 15203315 | Cortascia-Gneis   |  |
| 15204123 | Corvatsch-Granodiorit   | Granodiorite du Corvatsch  |
| 15203018 | Couches-Rouges-Gruppe   | Groupe des Couches Rouges  |
| 15203366 | Couches-Rouges (Falknis, Sulzfluh, Tasna)                       | Couches-Rouges (Falknis, Sulzfluh, Tasna)                          |
| 15203242 | Couches-Rouges der Brekzien-Decke                               | Couches Rouges de la nappe de la Brèche                            |
| 15203291 | Couches-Rouges der Klippen-Decke, undifferenziert               | Couches Rouges de la nappe des Préalpes Médiannes, indifférenciées |
| 15203563 | Couches-Rouges der ZSK  | Couches-Rouges de klippes de Suisse centrale                       |
| 15203016 | Coulaytes-Melange   | Mélange des Coulaytes  |
| 15203587 | Coulaytes-Melange und Cuvigne-Derrey-Formation, undifferenziert |  |
| 15200445 | Courcelon-Süßwasserkalk   | Calcaire d'eau douce de Courcelon                                  |
| 15200003 | Courgenay-Formation   | Formation de Courgenay   |

| GeolCode | Deutsch                                     | Français  |
|----------|---|---|
| 15200019 | Courtedoux-Member                           | Membre de Courtedoux                              |
| 15200025 | Couvaloup-Member                            | Membre du Couvaloup                               |
| 15202423 | Covayes-Formation                           | Formation des Covayes                             |
| 15204035 | Crappa-Mala-Mergel                          | Marne de la Crappa Mala                           |
| 15200112 | Crenularis-Member                           | Membre à Crenularis                               |
| 15200626 | Crêt-du-Loche-Formation                     |   |
| 15200306 | Crêt-du-Loche-Formation,<br>Gompholitfazies | Gompholite du Loche                               |
| 15200627 | Crêt-du-Loche-Formation,<br>Mergelfazies    |   |
| 15200022 | Creugenat-Schichten                         | Couches du Creugenat                              |
| 15203051 | Creux-de-l'Ours-Member                      | Membre du Creux-de-l'Ours                         |
| 15202227 | Cristallina-Granodiorit                     | Granodiorite de Cristallina                       |
| 15200334 | Cuarny-Sandstein                            | Grès de Cuarny                                    |
| 15200355 | Cucloz-Sandstein                            | Grès de Cucloz                                    |
| 15200354 | Cucloz-Subformation                         | Sous-formation de Cucloz                          |
| 15200666 | Cul-du-Nozon-Bank                           |   |
| 15205052 | Cunardo-Formation                           | Formation de Cunardo                              |
| 15202189 | Curtin-Monzodiorit                          | Monzodiorite du (Piz) Curtin                      |
| 15203017 | Cuvigne-Derrey-Formation                    | Formation de Cuvigne Derrey                       |
| 15200368 | Cyathulabank (Laufen-Becken)                | Banc à Cyathula (bassin de Laufon)                |
| 15200369 | Cyrenenmergel                               | Marne à Cyrènes                                   |
| 15202490 | Dachquarzit (Leventina)                     | Dachquarzit (Leventina)                           |
| 15202449 | Dammagletscher-Diorit                       | Diorite du Dammagletscher                         |
| 15203308 | Danis-Formation                             |   |
| 15200620 | Dardagny-Sandstein                          | Grès de Dardagny                                  |
| 15200393 | Daubrée-Kalk                                | Calcaire de Daubrée                               |
| 15200387 | Daubrée-Konglomerat                         | Conglomérat de Daubrée                            |
| 15200293 | Degersheim-Kalknagelfluh                    | Conglomérat de Degersheim                         |
| 15200344 | Delémont-Süsswasserkalk                     | Calcaire d'eau douce de Delémont                  |
| 15203189 | Dent-de-Nendaz-Member                       | Membre de la Dent de Nendaz                       |
| 15200485 | Dentalienton-Formation                      | Dentalienton-Formation                            |
| 15200203 | Dewalquei-Kalk                              | Couches à Pecten dewalquei                        |
| 15206099 | Diabasgang, undifferenziert                 | filon diabasique, indifférencié                   |
| 15202019 | Diablerets-Member                           | Membre des Diablerets                             |
| 15200463 | Diagonalschichtiger Sandstein               | Diagonalschichtiger Sandstein (Fm. du Dinkelberg) |
| 15204033 | Diavel-Formation                            | Formation du (Piz dal) Diavel                     |
| 15202174 | Diechtergletscher-Formation                 | Formation du Diechtergletscher                    |
| 15200447 | Diegten-Süsswasserkalk                      | Calcaire d'eau douce de Diegten                   |
| 15200144 | Dinkelberg-Formation                        | Formation du Dinkelberg                           |
| 15206074 | Diorit, undifferenziert                     | diorite, indifférenciée                           |
| 15202089 | Diphyoides-Kalk                             | Calcaire à Diphyoides                             |
| 15202348 | Distelgrat-Gneis                            | Gneiss du Distelgrat                              |
| 15203194 | Distulberg-Formation                        | Formation du Distulberg                           |
| 15203272 | Dogger der Klippen-Decke                    | Dogger de la nappe des Préalpes Médiannes         |
| 15202106 | Dogger des Helvetikums                      | Dogger de l'Helvétique                            |
| 15200055 | Dogger des Juragebirges                     | Dogger du Jura                                    |
| 15204087 | Dogger des Ostalpins                        |   |
| 15205074 | Dogger des Südalpins                        |   |
| 15206026 | Dogger, undifferenziert                     | Dogger, indifférencié                             |
| 15205001 | Dolin-Gruppe                                | Groupe du Dolin                                   |
| 15205002 | Dolin-Kalkbrekzie                           | Brèche calcaire du Dolin                          |

| GeolCode | Deutsch                                     | Français  |
|----------|---|---|
| 15203061 | Dolomies Blondes                            | Dolomies Blondes                                  |
| 15205101 | Dolomit-Band (Meride)                       | Dolomit-Band (Fm. de Meride)                      |
| 15205103 | Dolomit der Dolin-Gruppe                    | Dolomie du Groupe du Dolin                        |
| 15202546 | Dolomit der Helvetische Trias               | Dolomie du Trias helvétique                       |
| 15203568 | Dolomit der Klippen-Decke                   | Dolomie des Préalpes Médiannes                    |
| 15203458 | Dolomit der Nordpenninische Trias           | Dolomie du Trias nord-pennique                    |
| 15203569 | Dolomit und Kalk der Klippen-Decke          | Dolomie et calcaire des Préalpes Médiannes        |
| 15206023 | Dolomit, undifferenziert                    |   |
| 15203250 | Dolomitmarmor (Terri)                       | Brèche (Grava/Tomül)                              |
| 15206102 | Dolomitmarmor, undifferenziert              | marbre dolomitique, indifférencié                 |
| 15200216 | Dolomitzone                                 | Dolomitzone (Fm. de Zeglingen)                    |
| 15202518 | Domérien-Sandstein                          |   |
| 15203099 | Dorchaux-Member                             | Membre de Dorchaux                                |
| 15202359 | Dorénaz-Konglomerat                         | Conglomérat de Dorénaz                            |
| 15204105 | Dorfberg-Gneis                              | Gneiss du Dorfberg                                |
| 15203082 | Dorfflüe-Formation                          | Formation de la Dorfflüe                          |
| 15204109 | Döss-Radond-Vulkanite                       | Roches volcanique du Döss Radond                  |
| 15200411 | Dreilinden-Nagelfluh                        | Poudingue de Dreilinden                           |
| 15203346 | Dréveneuse-Bauxit                           |   |
| 15202077 | Drusberg-Member                             | Membre du Drusberg                                |
| 15204063 | Ducan-Formation                             | Formation du (Piz) Ducan                          |
| 15202118 | Dugny-Formation                             | Formation de Dugny                                |
| 15202045 | Dünden-Konglomerat                          | Conglomérat de la Dünden                          |
| 15200213 | Dünnlenberg-Bank                            | Banc du Dünnlenberg                               |
| 15202059 | Durschlägi-Bank                             | Banc de la Durschlägi                             |
| 15202179 | Düssi-Diorit                                | Diorite du Düssi                                  |
| 15202325 | Dzéman-Member                               | Membre du Dzéman                                  |
| 15200540 | Ebnat-Sandstein                             | Grès d'Ebnat                                      |
| 15200115 | Effingen-Member                             | Membre d'Effingen                                 |
| 15203165 | Eggberg-Formation                           | Formation de l'Eggberg                            |
| 15200519 | Eggen-Member                                | Membre de l'Eggen                                 |
| 15200502 | Eichbol-Tuffit                              | Tuffite d'Eichbol                                 |
| 15203152 | Eichholtobel-Formation                      | Formation de l'Eichholtobel                       |
| 15200260 | Eimätteli-Member                            | Membre d'Eimätteli                                |
| 15202038 | Einsiedeln-Member                           | Membre d'Einsiedeln                               |
| 15202589 | Einsiedeln-Member, «Älterer Quarzsandstein» | Membre d'Einsiedeln, «Älterer Quarzsandstein»     |
| 15202592 | Einsiedeln-Member, Alveolenkalk-Fazies      | Membre d'Einsiedeln, faciès calcaire à Alvéolines |
| 15204066 | Eisendolomit-Member                         | Eisendolomit-Member                               |
| 15206050 | Eklogit, undifferenziert                    | éclogite, indifférenciée                          |
| 15202540 | Elm- und Matt-Formation, undifferenziert    | Formations d'Elm et de Matt, indifférenciées      |
| 15202541 | Elm- und Matt-Formation: Quarzsandstein     | Formations d'Elm et de Matt: grès quartzitique    |
| 15202009 | Elm-Formation                               | Formation d'Elm                                   |
| 15200379 | Elsässer Molasse s.l.                       | Molasse alsacienne s.l.                           |
| 15200343 | Elsässer Molasse s.s.                       | Molasse alsacienne s.s.                           |
| 15203310 | Embd-Member                                 |   |
| 15204004 | Emmat-Formation                             | Formation d'Emmat                                 |
| 15202210 | Emosson-Glimmerschiefer                     | Micaschistes d'Emosson                            |
| 15202007 | Engi-Dachschiefer                           | Schistes ardoisiers d'Engi                        |
| 15202263 | Engi-Granit                                 | Granite d'Engi                                    |



| GeolCode | Deutsch   | Français   |
|----------|---|--|
| 15200524 | Ennetbühl-Member                                    | Membre d'Ennetbühl   |
| 15200212 | Eptingen-Member                                     | Banc d'Eptingen  |
| 15203199 | Ergischhorn-Komplex                                 | Complexe de l'Ergischhorn  |
| 15200210 | Ergolz-Member                                       | Membre de l'Ergolz   |
| 15200072 | Eriwis-Bank   | Banc d'Eriwis  |
| 15200073 | Erlimoos-Bank                                       | Banc d'Erlimoos  |
| 15203094 | Erpilles-Member                                     | Membre des Erpilles  |
| 15204015 | Err-Brekzie   | Brèche d'Err   |
| 15204102 | Err-Granodiorit                                     | Granodiorite d'Err   |
| 15202197 | Erstfeld-Gneiskomplex                               | Complexe gneissique d'Erstfeld                                     |
| 15202532 | Erstfeld-Gneiskomplex, permisch<br>verwittert       | Complexe gneissique d'Erstfeld, à<br>altération permienne          |
| 15202551 | Erstfeld-Gneiskomplex:<br>Biotit-Plagioklasgneis    | Complexe gneissique d'Erstfeld:<br>gneiss à plagioclase et biotite |
| 15202553 | Erstfeld-Gneiskomplex: Migmatit                     | Complexe gneissique d'Erstfeld:<br>migmatite                       |
| 15202552 | Erstfeld-Gneiskomplex: Orthogneis                   | Complexe gneissique d'Erstfeld:<br>orthogneiss                     |
| 15202107 | Erzegg-Formation                                    | Formation de l'Erzegg  |
| 15200446 | Erzmatt-Krustenkalk                                 | Calcaire concrétionné de la Erzmatt                                |
| 15203124 | Estavannens-Flysch                                  | Flysch d'Estavannens   |
| 15200468 | Estherien-Schichten                                 | Couches à Estheria (Fm. de<br>Schinznach)                          |
| 15202171 | Estuarisches Member                                 | Membre estuarien (Fm. du<br>Bifertengrätli)                        |
| 15200023 | Etiollets-Formation                                 | Formation des Etiollets  |
| 15200643 | Etzgen-Granit                                       | Granite d'Etzgen   |
| 15202036 | Euthal-Formation                                    | Formation d'Euthal   |
| 15202596 | Euthal-Formation und<br>Steinbach-Member, undiff.   | Formation de l'Euthal et Membre du<br>Steinbach, indiff.           |
| 15202604 | Euthal-Formation: schwarzer<br>schiefriger Tonstein | Formation d'Euthal: faciès<br>argilo-schisteux noir                |
| 15203260 | Exergillod-Brekzie                                  | Brèche d'Exergillod  |
| 15203167 | Fadura-Formation                                    | Formation de la Fadura   |
| 15200279 | Falätschen-Mergel                                   | Marne de la Falätschen   |
| 15203326 | Fäldbach-Gruppe                                     |  |
| 15203216 | Falknis-Brekzie                                     | Brèche du Falknis  |
| 15203210 | Falknis-Flysch                                      | Flysch de la nappe du Falknis                                      |
| 15203499 | Falotta-Radiolarit                                  | Radiolarite de la nappe du Platta                                  |
| 15202278 | Fanee-Trias   | Trias de Fanee   |
| 15204041 | Fanez-Dolomit                                       | Dolomie de Fanez   |
| 15204039 | Fanez-Formation                                     | Formation de Fanez   |
| 15203144 | Fanola-Formation                                    | Formation de Fanola  |
| 15200084 | Fasiswald-Member                                    | Membre de Fasiswald  |
| 15204096 | Fedoz-Gneiskomplex                                  | Complexe gneissique de Fedoz                                       |
| 15204097 | Fedoz-Metagabbro                                    |  |
| 15200275 | Fellitobel-Süsswasserkalk                           | Calcaire d'eau douce du Fellitobel                                 |
| 15203372 | Ferret-Schiefer                                     | Schistes de Ferret   |
| 15200196 | Ferrugineus-Oolith                                  | Oolite à Ferrugineus   |
| 15203228 | Fêta-d'Août-Flysch                                  | Flysch de la Fêta d'Août   |
| 15202230 | Fibbia-Granit                                       | Granite de la Fibbia   |
| 15203138 | Filamentkalk  | Calcaires à filaments  |
| 15205133 | Finero-Peridotit                                    | Péridotite de Finero   |
| 15200364 | Fischschiefer                                       | Schistes à Poissons (Fischschiefer)                                |

| GeolCode | Deutsch  | Français   |
|----------|--|--|
| 15203214 | Fleckenkalk-Flysch (Neokom)                            | Fleckenkalk-Flysch (Neokom)                                    |
| 15202041 | Fliegenspitz-Member                                    | Membre du Fliegenspitz   |
| 15203497 | Flix-Schichten   | Schistes de Flix   |
| 15204104 | Flüela-Augnengneis                                     | Gneiss oëillé de la Flüela                                     |
| 15200556 | Flühli-Nagelfluh                                       | Poudingue de Flühli  |
| 15203115 | Flysch 2a tonig-sandig                                 | Flysch 2a argilo-gréseux                                       |
| 15203114 | Flysch 2b mit sandigen Turbiditen                      | Flysch 2b à turbidites siliceuses                              |
| 15203113 | Flysch 3a mergelig-sandig                              | Flysch 3a marno-gréseux  |
| 15203112 | Flysch 3b mit bioklastischen Turbiditen                | Flysch 3b à turbidites bioclastiques                           |
| 15203111 | Flysch 4 mit siltigen Turbiditen                       | Flysch 4 à turbidites silteuses                                |
| 15203284 | Flysch 5, mit kieseligen Mikrokonglomeraten            | Flysch 5 à microconglomérats siliceux                          |
| 15206115 | Flysch, undifferenziert                                | Flysch, indifférencié  |
| 15202323 | Foostock-Member  | Membre du Foostock   |
| 15200365 | Foraminiferenmergel                                    | Marnes à Foraminifères (Foraminiferenmergel)                   |
| 15203135 | Foraminiferenschichten                                 | Couches à foraminifères  |
| 15203008 | Forclaz-Member   | Membre de la Forclaz   |
| 15203022 | Forclettes-Formation                                   | Formation des Forclettes                                       |
| 15203316 | Forcoletta-Gneis                                       |  |
| 15202033 | Foribach-Member  | Membre du Foribach   |
| 15200330 | Formation der Granitischen Molasse                     | Formation de la Molasse granitique                             |
| 15205095 | Fornale-Gabbro   |  |
| 15203342 | Forno-Amphibolit                                       |  |
| 15200651 | Fort-de-l'Ecluse-Member                                | Membre du Fort de l'Ecluse                                     |
| 15204117 | Forun-Augengneis                                       | Gneiss oëillé du Forun   |
| 15202277 | Fossilmarmor   | Fossilmarmor   |
| 15203134 | Fouyet-Formation                                       | Formation du Fouyet  |
| 15202031 | Fräkmünt-Member  | Membre de Fräkmünt   |
| 15202069 | Freschen-Member  | Membre du Freschen   |
| 15200409 | Freudenberg-Nagelfluh                                  | Poudingue du Freudenberg                                       |
| 15200082 | Frick-Member   | Membre de Frick  |
| 15200230 | Frühvariszische Intrusiva der Nordschweiz              | Roches plutoniques éo-varisques de la Forêt Noire              |
| 15202333 | Frühvariszische Intrusiva des Aiguilles-Rouges-Massivs | Roches plutoniques éo-varisques du massif des Aiguilles Rouges |
| 15203005 | Frutigen-Formation                                     | Formation de Frutigen  |
| 15203524 | Frutigen-Formation, Conglomérat intermédiaire          |  |
| 15203525 | Frutigen-Formation, Schistes inférieurs                |  |
| 15202029 | Fruttli-Member   | Membre du Fruttli  |
| 15202177 | Fruttstock-Gruppe                                      | Groupe du Fruttstock   |
| 15206063 | Fuchsit-Zoisitschiefer, undifferenziert                | schiste à zoisite et fuchsite, indifférencié                   |
| 15202150 | Fuggstock-Member                                       | Membre du Fuggstock  |
| 15202494 | Fulen-Formation  | Formation du Fulen   |
| 15200182 | Fulie-Member   | Membre de la Fulie   |
| 15202482 | Fully-Gneiskomplex                                     | Complexe gneissique de Fully                                   |
| 15202202 | Fully-Granodiorit                                      | Granodiorite de Fully  |
| 15202350 | Fuorcla-Paradis-Serpentin                              | Serpentine de la Fuorcla Paradis                               |
| 15204070 | Fuorn-Formation  | Formation du Fuorn   |
| 15200198 | Furcil-Mergel  | Marne du Furcil  |

| GeolCode | Deutsch                                    | Français                                      |
|----------|--|---|
| 15203438 | Furgg-Serie                                | Série de Furgg                                |
| 15200215 | Fützen-Bank                                | Banc de Fützen                                |
| 15206075 | Gabbro, undifferenziert                    | gabbro, indifférencié                         |
| 15200496 | Gabelspitz-Schichten                       | Couches de la Gabelspitz                      |
| 15200515 | Gäbris-Nagelfluh                           | Poudingue du Gäbris                           |
| 15200087 | Gächlingen-Bank                            | Banc de Gächlingen                            |
| 15202127 | Galm-Member                                | Membre de Galm                                |
| 15203393 | Gälmji-Gneiss                              | Gneiss de Gälmji                              |
| 15202067 | Gams-Schichten                             | Couches du Gams                               |
| 15202228 | Gamsboden-Granit                           | Granite du Gamsboden                          |
| 15206024 | Ganggesteine, undifferenziert              |   |
| 15203514 | Ganna-Gneis                                | Gneiss de Ganna                               |
| 15202353 | Ganneretsch-Gneis                          | Gneiss du (Piz) Ganneretsch                   |
| 15200209 | Gansingen-Member                           | Membre de Gansingen                           |
| 15203321 | Ganter-Gneis                               |   |
| 15206073 | Garbenschiefer, undifferenziert            | Garbenschiefer, indifférencié                 |
| 15203227 | Garde-de-Bordon-Serie                      | Série de la Garde de Bordon                   |
| 15203254 | Garenstock-Augengneis                      | Gneiss oëillé du Garenstock                   |
| 15204048 | Garone-Formation                           | Formation du (Monte) Garone                   |
| 15202052 | Garschella-Formation                       | Formation de Garschella                       |
| 15202329 | Gärsthorn-Gneiskomplex                     | Complexe gneissique du Gärsthorn              |
| 15202529 | Garwiidi-Diorit                            | Diorite de Garwiidi                           |
| 15203377 | Garzott-Brekzie                            | Brèche de Garzott                             |
| 15203154 | Gaschlo-Formation                          | Formation de Gaschlo                          |
| 15202095 | Gassen-Kalk                                | Calcaire du Gassen(stock)                     |
| 15202158 | Gastern-Granit                             | Granite de Gastern                            |
| 15203086 | Gastlosen-Oolith                           | Oolite des Gastlosen                          |
| 15202476 | Geimen-Augengneis                          | Gneiss oëillé de Geimen                       |
| 15202305 | Geissbach-Konglomerat                      | Conglomérat du Geissbach                      |
| 15200113 | Geissberg-Member                           | Membre du Geissberg                           |
| 15203323 | Geisspfad-Serpentinit                      |   |
| 15203200 | Gelbhorn-Flysch                            | Flysch du Gelbhorn                            |
| 15202021 | Gemmenalp-Kalk                             | Calcaire de la Gemmenalp                      |
| 15202082 | Gemsmättli-Bank                            | Banc du Gemsmättli                            |
| 15200537 | Gérignoz-Formation                         | Couches du Gérignoz                           |
| 15203032 | Gérignoz-Kalk                              | Calcaire de Gérignoz                          |
| 15200389 | Geröllsande                                | Sables à galets (OMM)                         |
| 15200683 | Gersbach-Schiefer                          |   |
| 15200116 | Gerstenhübel-Bank                          | Banc du Gerstenhübel                          |
| 15203245 | Gets-Ophiolith                             | Ophiolite des Gets                            |
| 15202293 | Ghölzwald-Member                           | Membre du Ghölzwald                           |
| 15203567 | Gibel- und Griggeli-Formation              | Formations de Gibel et de Griggeli            |
| 15203069 | Gibel-Formation                            | Formation de Gibel                            |
| 15203071 | Gibel-Member                               | Membre de Gibel                               |
| 15203399 | Ginals-Gneis                               | Gneiss de Ginals                              |
| 15200074 | Gipf-Bank                                  | Banc de Gipf                                  |
| 15202548 | Gips der Helvetische Trias                 | Gypse du Trias helvétique                     |
| 15203241 | Gips der Klippen-Decke                     | Gypse de la nappe des Préalpes Médiannes      |
| 15204145 | Gips der Raibl-Gruppe                      | Gypse du Groupe de Raibl                      |
| 15203526 | Gips der Zone Submédiann                   | Gypse de la Zone Submédiann                   |
| 15206021 | Gips, undifferenziert                      |   |
| 15203572 | Gipsmergel und Sandstein der Klippen-Decke | Marne gypseuse et grès des Préalpes Médiannes |

| GeolCode | Deutsch   | Français  |
|----------|---|---|
| 15200200 | Gisliflue-Korallenkalk                                    | Calcaire à coraux de la Gisliflue                               |
| 15200628 | Gitzigrabe-Grobsandstein                                  |   |
| 15200528 | Gitzischöpf-Nagelfluh                                     | Poudingue de la Gitzischöpf                                     |
| 15200632 | Gitzitobel-Süsswasserkalk                                 | Clacaire d'eau douce du Gitzitobel                              |
| 15202339 | Giubine-Gneiskomplex                                      | Complexe gneissique de Giubine                                  |
| 15205083 | Giumello-Gneis  |   |
| 15202188 | Giuv-Syenit   | Syénite du (Piz) Giuv   |
| 15203421 | Glanzschiefer der Zermatt-Saas-Decke                      | Schistes lustrés de la nappe de Zermatt-Saas                    |
| 15202144 | Glarus-Verrucano  | Verrucano de Glaris   |
| 15200180 | Glassand  | Sable siliceux vitrifiable                                      |
| 15202495 | Glattmatt-Member  | Membre de Glattmatt   |
| 15200480 | Glaukonitsandmergel-Subformation                          | Glaukonitsandmergel-Subformation                                |
| 15206065 | Glaukophanschiefer, undifferenziert                       | schiste à glaucophane, indifférencié                            |
| 15200274 | Glimmersandstein-Formation                                | Formation du Glimmersand  |
| 15205118 | Glimmerschiefer der Arolla-Gruppe                         | Micaschiste du Groupe d'Arolla                                  |
| 15203446 | Glimmerschiefer der Monte-Rosa-Decke                      | Micaschiste de la nappe du Mont Rose                            |
| 15205132 | Glimmerschiefer der Sesia-Decke                           | micasciste de la nappe de Sesia                                 |
| 15206072 | Glimmerschiefer, undifferenziert                          | micascistes, indifférencié                                      |
| 15203211 | Globorotalien-Schichten                                   | Globorotalien-Schichten   |
| 15202416 | Glockhaus-Member  | Membre du Glockhaus   |
| 15202545 | Glockhaus-Member: Schieferiger Eisensandstein             | Membre du Glockhaus: grès ferrugineux schisteux                 |
| 15205110 | Gneis der Arolla-Gruppe, mikroaugig                       | Gneiss du Groupe d'Arolla, micro-oeillé                         |
| 15205109 | Gneis der Arolla-Gruppe, mylonitisch                      | Gneiss du Groupe d'Arolla, mylonitique                          |
| 15206070 | Gneis, undifferenziert                                    | gneiss, indifférencié   |
| 15203247 | Gneisquarzit der Zone Piz Terri - Lunschania              | Quarzit und quarzitisches Schiefer (Grava/Tomül)                |
| 15203364 | Gneiss basale (Lebendun)                                  | Gneiss basale (Lebendun)  |
| 15204001 | God-Drosa-Flysch  | Flysch du God Drosa   |
| 15200511 | Golat-Süsswasserkalk                                      | Calcaire d'eau douce du Golat                                   |
| 15200661 | Goldberg- bis Vuache-Formation, undifferenziert           |   |
| 15200156 | Goldberg-Formation  | Formation du Goldberg   |
| 15200410 | Goldbrunnen-Schichten                                     | Couches de Goldbrunnen  |
| 15200361 | Goldegg-Sandstein   | Grès de la Goldegg  |
| 15203190 | Goli-d'Aget-Member  | Membre du Goli d'Aget   |
| 15202256 | Goltschenried-Formation                                   | Formation de Goltschenried                                      |
| 15202267 | Goms-Gneiskomplex   | Complexe gneissique de Goms                                     |
| 15202510 | Gonzen-Eisenerzhorizont                                   | Horizon du Gonzen   |
| 15200092 | Gorges-de-l'Orbe- und Vallorbe-Formation, undifferenziert | Formations des Gorges de l'Orbe et de Vallorbe, indifférenciées |
| 15200096 | Gorges-de-l'Orbe-Formation                                | Formation des Gorges de l'Orbe                                  |
| 15204115 | Gosau-Gruppe  | Groupe de Gosau   |
| 15200488 | Gosheim-Formation   | Gosheim-Formation   |
| 15203187 | Gouille-Verte-Member                                      | Membre de la Gouille Verte                                      |
| 15200547 | Goumoëns-Sandstein  | Grès de Goumoëns  |
| 15204067 | Gracilis-Member   | Gracilis-Member   |
| 15200043 | Graitery-Member   | Membre du Graitery  |
| 15206098 | Granatamphibolit, undifferenziert                         | amphibolite à grenat, indifférencié                             |

| GeolCode | Deutsch   | Français  |
|----------|---|---|
| 15206068 | Granatglimmerschiefer, undifferenziert                            | micaschistes à grenat, indifférencié                      |
| 15205098 | Grand-Dolin-Brekzie   |   |
| 15200660 | Grand-Essert- bis Narlay-Formation, undifferenziert               |   |
| 15200150 | Grand-Essert-Formation  | Formation du Grand Essert                                 |
| 15203267 | Grand-Herba-Kalk  | Calcaire du Sex de Grand-Herba                            |
| 15203054 | Grande-Bonavau-Formation  | Formation de la Grande Bonavau                            |
| 15203589 | Grande-Bonavau-Formation und Formation spathique, undifferenziert |   |
| 15203006 | Grande-Eau-Formation  | Formation de la Grande Eau                                |
| 15200670 | Grande-Varappe-Bank   |   |
| 15206032 | Granit, undifferenziert   | granite, indifférencié                                    |
| 15202246 | Granitartige Gesteine   | roches granitiques  |
| 15202260 | Granitischer Gneis der Ausserberg-Avat-Zone                       | Gneiss granitique de la zone d'Ausserberg-Avat            |
| 15205066 | Granophyr   | Granophyre permien du Sudalpin                            |
| 15206071 | Graphitschiefer, undifferenziert                                  | schiste graphiteux, indifférencié                         |
| 15202094 | Graspas-Member  | Membre du Graspas   |
| 15200392 | Graue Molasse   | Molasse Grise (OMM)                                       |
| 15200564 | Graupensand   | Graupensand   |
| 15200037 | Grellingen-Member   | Membre de Grellingen                                      |
| 15200063 | Grenchenberg-Member   | Membre du Grenchenberg                                    |
| 15200467 | Grenzdolomit  | Grenzdolomit (Fm. de Schinznach)                          |
| 15200481 | Grenzkalk   | Grenzkalk   |
| 15200016 | Grenznerineen-Bank  | Banc à Nérinéés du sommet                                 |
| 15205037 | Grenzposidonien-schichten   | Lumachelle à Posidonia alpina (Grenzposidonien-schichten) |
| 15202525 | Grenzquarzit der Bommerstein-Formation                            |   |
| 15202473 | Grépillon-Leukogranitporphyr                                      | Leucogranite des Grépillons                               |
| 15203009 | Grès de Passage   | Membre des Grès de Passage                                |
| 15200336 | Grès et Marnes Gris à Gypse                                       | Grès et Marnes Gris à Gypse                               |
| 15203480 | Grosso-Someo-Zone   | zone de Grosso-Someo                                      |
| 15202138 | Griaz-Member  | Membre de la Griaz  |
| 15203068 | Griggeli-Bank   | Banc du Griggeli  |
| 15203066 | Griggeli-Formation  | Formation du Griggeli                                     |
| 15200422 | Grilly-Süsswasserkalk   | Calcaire d'eau douce de Grilly                            |
| 15200414 | Grimmelfingen-Formation   | Formation de Grimmelfingen                                |
| 15202161 | Grimsel-Granodiorit   | Granodiorite du Grimsel                                   |
| 15202568 | Grimsel-Granodiorit: aplitische Randfazies                        | Granodiorite du Grimsel: faciès aplitique de bordure      |
| 15200550 | Grindelegg-Formation  | Formation de la Grindelegg                                |
| 15202043 | Grindelwald-Marmor  | Marbre de Grindelwald                                     |
| 15202322 | Grisch-Member   | Membre du (Piz) Grisch                                    |
| 15200352 | Grisigen-Mergel   | Marne de Grisigen   |
| 15202317 | Gros-Plané-Melange  | Mélange du Gros Plané                                     |
| 15200071 | Gross-Wolf-Member   | Membre du Gross Wolf                                      |
| 15202380 | Grotzen-Austernbank   |   |
| 15203511 | Gruf-Migmatit   | Migmatite du Gruf   |
| 15200207 | Gruhalde-Member   | Membre de la Gruhalde                                     |
| 15203447 | Grundberg-Serie   | Série du Grundberg  |
| 15200194 | Grüne Mumienbank  | Grüne Mumienbank  |

| GeolCode | Deutsch   | Français   |
|----------|---|--|
| 15206036 | Grüngestein, undifferenziert  | roche verte, indifférenciée  |
| 15203467 | Grüngesteine der Distulberg-Formation   | Roches vertes de la Formation du Distulberg  |
| 15203179 | Grüngesteine der Grava- und Tomül-Decke   | Roches vertes (Grava/Tomül)  |
| 15202173 | Grünhorn-Member («Vulkanisches Member»)   | Membre volcanique (Fm. du Bifertengrätli)  |
| 15200081 | Grünschoholz-Member   | Membre du Grünschoholz   |
| 15202071 | Grünten-Member  | Membre du Grünten  |
| 15202008 | Gruontal-Konglomerat  | Conglomérat du Gruontal  |
| 15205028 | Gruppe der Scaglia Lombarda   | Groupe de la Scaglia Lombarda  |
| 15205023 | Gruppe des Lombardischen Flysch   | Groupe du Flysch Lombard   |
| 15205010 | Gruppe des Lombardischen Gompolit   | Groupe de la Gompolit Lombarde   |
| 15202442 | Gryonne-Formation   | Formation de la Gryonne  |
| 15200516 | Gstaldenbach-Member   | Membre du Gstaldenbach   |
| 15203121 | Guber-Sandstein   | Grès de Guber  |
| 15203131 | Gueyras-Komplex   | Complexe de la Gueyras   |
| 15202501 | Gufelalp-Member   | Membre de la Gufelalp  |
| 15200657 | Gugenmühle-Member   | Membre du Gugenmühle   |
| 15200298 | Guggershorn-Formation   | Formation du Guggershorn   |
| 15200099 | Guers-Member  | Membre du Guers  |
| 15200425 | Gümmenen-Formation  | Formation de Gümmenen  |
| 15203083 | Gummfluh-Mikrofazies  | Microfaciès de la Gummfluh   |
| 15200573 | Günsberg- und Vellerat-Formation, undifferenziert                                   | Formation de Günsberg et de Vellerat, indifférenciées                              |
| 15200160 | Günsberg-, Vellerat-, Villigen-, Balsthal- und Courgenay-Formation, undifferenziert | Formations de Günsberg, Vellerat, Villigen, Balsthal et Courgenay, indifférenciées |
| 15200118 | Günsberg-Formation  | Formation de Günsberg  |
| 15200321 | Gunten-Quarzitnagelfluh   | Poudingue quartzitique de Gunten   |
| 15202111 | Guppen-Fossilhorizont   | Horizon fossilifère de Guppen  |
| 15203110 | Gurnigel-Flysch   | Flysch du Gurnigel   |
| 15202112 | Gursbach-Fossilhorizont   | Horizon fossilifère du Gursbach  |
| 15202242 | Gurschen-Gneis  | Gneiss de la Gurschen(alp)   |
| 15202509 | Guschakopf-Sandstein  | Grès du Guschakopf   |
| 15202243 | Guspis-Gneis  | Gneiss de la Guspis  |
| 15204084 | Güstizia-Gneis  | Gneiss de la Güstizia  |
| 15204068 | Gutenstein-Formation  | Formation de Gutenstein  |
| 15202198 | Guttannen-Gneiskomplex  | Complexe gneissique de Guttannen   |
| 15202575 | Guttannen-Gneiskomplex: Amphibolit führend  | Complexe gneissique de Guttannen: avec amphibolite                                 |
| 15202576 | Guttannen-Gneiskomplex: aplitischer Granit  | Complexe gneissique de Guttannen: granite aplitique                                |
| 15202556 | Guttannen-Gneiskomplex: Biotit-Choritschiefer                                       | Complexe gneissique de Guttannen: schiste à chlorite et biotite                    |
| 15202557 | Guttannen-Gneiskomplex: Chlorit-Serizitschiefer                                     | Complexe gneissique de Guttannen: schiste à séricite et chlorite                   |
| 15202577 | Guttannen-Gneiskomplex: Marmor  | Complexe gneissique de Guttannen: marbre   |
| 15202574 | Guttannen-Gneiskomplex: Migmatit  | Complexe gneissique de Guttannen: migmatite  |

| GeolCode | Deutsch   | Français  |
|----------|---|---|
| 15202555 | Guttannen-Gneiskomplex:<br>Orthogneis                                 | Complexe gneissique de<br>Guttannnen: orthogneiss                                       |
| 15202554 | Guttannen-Gneiskomplex:<br>Paragneis                                  | Complexe gneissique de<br>Guttannnen: paragneiss  |
| 15202585 | Guttannen-Gneiskomplex:<br>schierfriger                               | Complexe gneissique de<br>Guttannnen: gneiss schisteux à                                |
| 15202578 | Biotit-Chlorit-Serizit-Gneis<br>Guttannen-Gneiskomplex:<br>Ultramafit | biotite, chlorite, séricite<br>Complexe gneissique de<br>Guttannnen: roche ultramafique |
| 15202313 | Gwürz-Flysch  | Flysch de Gwürz   |
| 15203166 | Gyrenspitz-Formation  | Formation du Gyrenspitz   |
| 15202316 | Habkern-Granit  | Granite de Habkern  |
| 15202001 | Habkern-Melange   | Mélange de Habkern  |
| 15202496 | Hahnenstock-Keratophyr  | Kératophyre du Hahnenstock  |
| 15200566 | Haldenhof-Mergel  | Marne de Haldenhof  |
| 15200090 | Hallau-Bank   | Banc de Hallau  |
| 15200486 | Hamitenton-Formation  | Hamitenton-Formation  |
| 15200469 | Hangende-Bankkalke-Formation  | Hangende-Bankkalke-Formation  |
| 15202157 | Haslital-Gruppe   | Groupe du Haslital  |
| 15200241 | Hauenstein-Granit   | Granite du Hauenstein   |
| 15200069 | Hauenstein-Member   | Membre de Hauenstein  |
| 15205050 | Hauptdolomit  | Dolomia Principale  |
| 15204150 | Hauptdolomit-Gr.: bituminöse<br>Dolomitbrekzie                        | Groupe de la Hauptdolomite:<br>brèche dolomitique bitumineuse                           |
| 15204030 | Hauptdolomit-Gruppe   | Hauptdolomit-Gruppe   |
| 15204127 | Haupter-Brekzie   | Brèche de l'Haupter   |
| 15200030 | Hauptmumienbank-Member  | Membre du Hauptmumienbank<br>(Oolithe nuciforme)  |
| 15200008 | Hauptrogenstein   | Hauptrogenstein   |
| 15203263 | Hauta-Crêtaz-Formation  | Formation de Hauta-Crêtaz   |
| 15203382 | Haute-Pointe-Formation  | Formation de la Haute Pointe  |
| 15200152 | Hauterive-Mergel  | Membre d'Hauterive  |
| 15200458 | Hautes-Roches-Algenkalk   | Calcaire algaire des Hautes Roches  |
| 15200264 | Hegau-Basalt  | Basalte du Hegau  |
| 15200266 | Hegau-Deckentuffe   | Tuffite du Hegau  |
| 15200265 | Hegau-Phonolith   | Phonolite du Hegau  |
| 15200263 | Hegau-Vulkanite   | Roches volcaniques du Hegau   |
| 15200517 | Heiden-Member   | Membre de Heiden  |
| 15203586 | Heiti- und Rossinière-Formation,<br>undifferenziert                   |   |
| 15203048 | Heiti-Formation   | Formation de Heiti  |
| 15200565 | Heliciden-Mergel  | Marne à Hélicidés   |
| 15203116 | Hellstätt-Formation   | Formation de Hellstätt  |
| 15202079 | Helvetischer Kieselkalk   | Kieselkalk Helvétique   |
| 15202515 | Helvetischer Kieselkalk,<br>Basisschiefer                             |   |
| 15202513 | Helvetischer Kieselkalk, Oberer Teil                                  |   |
| 15202514 | Helvetischer Kieselkalk, Unterer Teil                                 |   |
| 15200684 | Herdern-Streifengneis   |   |
| 15200044 | Herznach-Member   | Membre de Herznach  |
| 15200339 | Heuboden-Äschitannen-Nagelfluh  | Poudingue de<br>Heuboden-Äschitannen  |
| 15204022 | Hierlatz-Kalk   | Calcaire de Hierlatz  |
| 15200358 | Hilfern-Formation   | Formation de la Hilfern   |

| GeolCode | Deutsch                               | Français                                      |
|----------|---------------------------------------|---|
| 15202483 | Hinterbalm-Granit                     | Granite d'Hinterbalm                          |
| 15200068 | Hirnichopf-Member                     | Membre du Hirnichopf                          |
| 15200525 | Hochalp-Member                        | Membre de la Hochalp                          |
| 15200268 | Höchegg-Brekzie                       | Brèche de la Höchegg                          |
| 15200523 | Hochfläschli-Member                   | Membre de la Hochfläschli                     |
| 15202070 | Hochkugel-Schichten                   | Couches du Hochkugel                          |
| 15203020 | Hochmatt-Kalkarenit                   | Calcarénite de la Hochmatt                    |
| 15202363 | Höchst-Flysch                         |   |
| 15202113 | Hochstollen-Formation                 | Formation du Hochstollen                      |
| 15200501 | Hohenolber-Tuffit                     | Tuffite du Hohenolber                         |
| 15200655 | Hohentengen-Formation                 | Formation d'Hohentengen                       |
| 15202022 | Hohgant-Sandstein                     | Grès du Hohgant                               |
| 15202593 | Hohgant-Sandstein, Sandkalk und Kalk  | Grès du Hohgant, calcaire gréseux et calcaire |
| 15200315 | Höhronen-Nagelfluh                    | Poudingue des Höhronen                        |
| 15203091 | Holzerhorn-Einheit                    | Unité du Holzerhorn                           |
| 15203324 | Holzerspitz-Gruppe                    |   |
| 15203325 | Holzerspitz-Kalkschiefer              | Calcschistes de l'Holzerspitz                 |
| 15200190 | Holzflue-Member                       | Membre de la Holzflue                         |
| 15200513 | Hombach-Member                        | Formation du Hombach                          |
| 15200514 | Homberg-Formation                     | Membre de Homberg                             |
| 15200178 | Homomya-Mergel                        | Marne à Homomyes                              |
| 15200529 | Honegg-Mergel                         | Marne de la Honegg                            |
| 15200299 | Horgen-Käpfnach-Süsswasserkalk        | Calcaire d'eau douce de Horgen-Käpfnach       |
| 15205115 | Hornblendegabbro der Arolla-Decke     | Gabbro à hornblende du Groupe d'Arolla        |
| 15206091 | Hornblendegneis, undifferenziert      | gneiss à hornblende, indifférencié            |
| 15200111 | Hornbuck-Member                       | Membre du Hornbuck                            |
| 15200646 | Hornbüel-Melange                      | Mélange de Hornbüel                           |
| 15206090 | Hornfels, undifferenziert             | cornéenne, indifférenciée                     |
| 15203080 | Horngraben-Formation                  | Formation du Horngraben                       |
| 15200297 | Hörnli-Formation                      | Formation du Hörnli                           |
| 15200267 | Hörnligipfel-Nagelfluh                | Poudingue du Hörnligipfel                     |
| 15200269 | Hörnligubel-Mergel                    | Marne du Hörnligubel                          |
| 15200350 | Horw-Sandstein                        | Grès d'Horw                                   |
| 15200292 | Hüllistein-Konglomerat                | Conglomérat d'Hüllistein                      |
| 15200066 | Humphriesi-Schichten                  | Couches à Humphriesi                          |
| 15200490 | Humphriesioolith-Subformation         | Humphriesioolith-Subformation                 |
| 15203140 | Hundsrügg-Formation                   | Formation du Hundsrügg                        |
| 15200531 | Hünibach-Nagelfluh                    | Poudingue de Hünibach                         |
| 15200177 | Hupper                                | Hupper  |
| 15202381 | Hurst-Mergel                          |   |
| 15203428 | Hyperaugengneis der Monte-Leone-Decke | Hyperaugengneiss de la nappe du Monte Leone   |
| 15202308 | Iberg-Melange                         | Mélange d'Iberg                               |
| 15200007 | Ifenthal-Formation                    | Formation d>Ifenthal                          |
| 15202508 | Ignimbritisches Member (Tscharren)    | Ignimbritisches Member (Tscharren)            |
| 15202153 | Ilanz-Verrucano                       | Verrucano d'Ilanz                             |
| 15202502 | Ilanz-Verrucano s.s.                  | Verrucano d'Ilanz s.s.                        |
| 15200478 | Impressamergel-Formation              | Impressamergel-Formation                      |
| 15202122 | Inferno-Formation                     | Formation d'Inferno                           |
| 15202402 | Inferno-Formation, Mittlerer Teil     | Formation d'Inferno, partie moyenne           |



| GeolCode | Deutsch                                     | Français  |
|----------|---|---|
| 15202401 | Inferno-Formation, Oberer Teil              | Formation d'Inferno, partie supérieure            |
| 15202403 | Inferno-Formation, Unterer Teil             | Formation d'Inferno, partie inférieure            |
| 15206016 | Informelle Zuordnung                        |   |
| 15203282 | Infrabrèche-Melange                         | Mélange infra-brèche                              |
| 15202307 | Infrapräalpines Melange                     | Mélange Infrapréalpin                             |
| 15202195 | Innertkirchen-Migmatit                      | Migmatite d'Innertkirchen                         |
| 15202531 | Innertkirchen-Migmatit, permisch verwittert | Migmatite d'Innertkirchen, à altération permienne |
| 15202573 | Innertkirchen-Migmatit: Marmor              | Migmatite d'Innertkirchen: marbre                 |
| 15202168 | Intschi-Formation                           | Formation d'Intschi                               |
| 15203034 | Intyamon-Formation                          | Formation de l'Intyamon                           |
| 15202311 | Isentobel-Komplex                           | Complexe de l'Isentobel                           |
| 15202521 | Iserin-Flysch                               |   |
| 15205134 | Ivrea Mafischer Komplex                     | Complexe Mafique d'Ivrée                          |
| 15202424 | Javrex-Formation                            | Formation du Javrex                               |
| 15200399 | Jensberg-Schichten                          | Couches du Jensberg                               |
| 15203215 | Jes-Formation                               | Formation de la Jes                               |
| 15202015 | Jochstock-Konglomerat                       | Conglomérat du Jochstock                          |
| 15202432 | Jogne-Formation                             | Formation de la Jogne                             |
| 15200360 | Jordisboden-Mergel                          | Marne du Jordisboden                              |
| 15206010 | Jorio-Tonalit                               |   |
| 15202438 | Joux-Galez-Member                           | Membre de Joux Galez                              |
| 15203102 | Joux-Verte-Formation                        | Formation de la Joux Verte                        |
| 15204124 | Julier-Granodiorit                          | Granodiorite du Julier                            |
| 15200226 | Jüngere Flussablagerungen                   | Jüngere Flussablagerungen (Fm. de Weiach)         |
| 15200302 | Jura-Nagelfluh                              | Juranagelfluh (OSM-J)                             |
| 15202298 | Jura des Helvetikums                        | Jurassique de l'Helvétique                        |
| 15200162 | Jura des Juragebirges                       | Jurassique du Jura                                |
| 15200575 | Jurensismergel-Formation                    |   |
| 15200139 | Kaiseraugst-Formation                       | Formation de Kaiseraugst                          |
| 15200211 | Kaisten-Bank                                | Banc de Kaisten                                   |
| 15200408 | Kalchstätten-Formation                      | Formation de Kalchstätten                         |
| 15205102 | Kalk der Dolin-Gruppe                       | Calcaire du Groupe du Dolin                       |
| 15204134 | kalkalkalische Intrusiva des Ostalpins      | roches intrusives calc-alcalines de l'Austroalpin |
| 15203207 | Kalkberg-Gruppe                             | Groupe du Kalkberg                                |
| 15202451 | Kalkiger Mines-Lias                         | Lias des Mines calcaire                           |
| 15203581 | Kalkiger Tonschiefer der Grava-Decke        | Schiste argilo-calcaire de la nappe de la Grava   |
| 15206101 | Kalkmarmor, undifferenziert                 | marbre calcaire, indifférencié                    |
| 15200536 | Kalksandstein-Serie                         | Kalksandstein-Serie                               |
| 15203455 | Kalkschiefer der Fäldbach-Serie             | Calcschistes de la Série du Fäldbach              |
| 15206104 | Kalkschiefer, undifferenziert               | calcschiste, indifférencié                        |
| 15205054 | Kalkschieferzone                            | Kalkschieferzone (Fm. de Meride)                  |
| 15206052 | Kalksilikatfels                             | roche calcsilicatée                               |
| 15206108 | Kalkstein, undifferenziert                  | calcaire, indifférencié                           |
| 15200530 | Kaltbach-Nagelfluh                          | Poudingue du Kaltbach                             |
| 15200647 | Kalter-Wangen-Formation                     | Formation du Kalter Wangen                        |
| 15202054 | Kamm-Bank                                   | Banc du Kamm                                      |
| 15200544 | Kännelegg-Nagelfluh                         | Poudingue de la Kännelegg                         |
| 15206056 | Känozoikum, undifferenziert                 | Cénozoïque, indifférencié                         |

| GeolCode | Deutsch   | Français  |
|----------|---|---|
| 15202491 | Kapfen-Formation                                  | Formation de Kapfen                               |
| 15202492 | Kapfen-Sandstein                                  | Grès de Kapfen                                    |
| 15200509 | Käpfnach-Formation                                | Formation de Käpfnach                             |
| 15203473 | Karbon der Maggia-Decke                           | Carbonifère de la nappe de la Maggia              |
| 15203348 | Karbon der Zone-Houillère                         | Carbonifère de la Zone Houillère                  |
| 15206080 | Karbon, undifferenziert                           | Carbonifère, indifférencié                        |
| 15200644 | Karbonatreiche Molasse                            | Karbonatreiche Molasse                            |
| 15200645 | Karbonatreiche Molasse:<br>Kalk-Dolomit-Nagelfluh | Karbonatreiche Molasse:<br>Kalk-Dolomit-Nagelfluh |
| 15200147 | Karneol-Horizont                                  | Karneol-Horizont (Fm. du Dinkelberg)              |
| 15203527 | Karpatischer Keuper                               | Karpatischer Keuper                               |
| 15202147 | Kärpf-Formation                                   | Formation du Kärpf                                |
| 15202493 | Kärpfgipfel-Sernifit                              | Sernifite du Kärpfgipfel                          |
| 15202148 | Karrenstock-Formation                             | Formation du Karrenstock                          |
| 15204118 | Kesch-Augengneis                                  | Gneiss oeilé du Piz Kesch                         |
| 15200125 | Keuper  | Groupe du Keuper                                  |
| 15200134 | Kienberg-Member                                   | Membre de Kienberg                                |
| 15202364 | Kiental-Melange                                   |   |
| 15200413 | Kirchberg-Formation                               | Formation de Kirchberg                            |
| 15202292 | Kistenstöckli-Member                              | Membre du Kistenstöckli                           |
| 15202062 | Klaus-Bank  | Banc de Klaus                                     |
| 15202296 | Kleintal-Konglomerat                              | Conglomérat du Kleintal                           |
| 15200234 | Klemmbach-Granit                                  | Granite du Klemmbach                              |
| 15200126 | Klettgau-Formation                                | Formation du Klettgau                             |
| 15202028 | Klimsenhorn-Formation                             | Formation du Klimsenhorn                          |
| 15200120 | Klingnau-Formation                                | Formation de Klingnau                             |
| 15203562 | Klippen-Flysch                                    | Klippen-Flysch                                    |
| 15203171 | Klus-Formation                                    | Formation de la Klus                              |
| 15203090 | Klus-Konglomerat                                  | Conglomérat de la Klus                            |
| 15200518 | Klusbach-Member                                   | Membre du Klusbach                                |
| 15200108 | Knollen-Bank                                      | Knollen-Bank (Fm. de Villigen)                    |
| 15203065 | Knollenargovien                                   | Knollenargovien                                   |
| 15200121 | Knorri-Ton  | Argile à Knorri                                   |
| 15200229 | Kohle-Serie                                       | Kohle-Serie (Fm. de Weiach)                       |
| 15206064 | Konglomerat, undifferenziert                      | conglomérat, indifférencié                        |
| 15203376 | Konglomeratgneis (Terri)                          | Konglomeratgneis (Terri)                          |
| 15206109 | Konglomeratgneis, undifferenziert                 | gneiss conglomératique, indifférencié             |
| 15204024 | Kössen-Formation                                  | Formation de Kössen                               |
| 15202047 | Kreide des Helvetikums                            | Crétacé de l'Helvétique                           |
| 15200161 | Kreide des Juragebirges                           | Crétacé du Jura                                   |
| 15204089 | Kreide des Ostalpins                              |   |
| 15205072 | Kreide des Südalpins                              |   |
| 15206028 | Kreide, undifferenziert                           | Crétacé, indifférencié                            |
| 15200681 | Kreuzlingen-Granit                                |   |
| 15200273 | Krinau-Schichten                                  | Couches de Krinau                                 |
| 15203400 | Kristallin der Berisal-Decke                      | Socle cristallin de la nappe de Berisal           |
| 15205127 | Kristallin der Margna-Sella                       | socle cristallin de la nappe de la Margna-Sella   |
| 15203320 | Kristallin der Monte-Leone-Decke                  | Socle cristallin de la nappe du Monte Leone       |

| GeolCode | Deutsch   | Français  |
|----------|---|---|
| 15200616 | Kristallin der Nordschweiz                        |   |
| 15203448 | Kristallin der Portjengrat-Decke                  | Socle cristallin de la nappe du Protjengrat     |
| 15203433 | Kristallin der Ruginenta-Decke                    | Socle cristallin de la nappe de Ruginenta       |
| 15203402 | Kristallin der Ruitor-Decke                       | Socle cristallin de la nappe du Ruitor          |
| 15203405 | Kristallin des Briançonnais                       | Socle cristallin du Briançonnais                |
| 15202466 | Kristallin des Helvetikums                        | Socle cristallin de l'Helvétique                |
| 15204091 | Kristallin des Ostalpins                          |   |
| 15205078 | Kristallin des Südalpins                          |   |
| 15206031 | Kristallingestein, undifferenziert                | roche cristalline, indifférenciée               |
| 15200316 | Kronberg-Nagelfluh                                | Poudingue du Kronberg                           |
| 15200526 | Krummenau-Member                                  | Membre de Krummenau                             |
| 15200424 | Krustenkalk                                       | Calcaire concrétionné (USM)                     |
| 15202027 | Küblibad-Member                                   | Membre du Küblibad                              |
| 15203271 | Kumkli-Schichten                                  | Couches de la Kumkli                            |
| 15200288 | Küsnacht-Bentonit                                 | Bentonite de Küsnacht                           |
| 15200109 | Küssaburg-Member                                  | Membre de la Küssaburg                          |
| 15200449 | La-Charrue-Süsswasserkalk                         | Calcaire d'eau douce de la Charrue              |
| 15200342 | La-Chaux-Süsswasserkalk                           | Calcaire d'eau douce de La Chaux                |
| 15203398 | La-Dotse-Albitkalk                                | Calcaire albitisé de la Dotse                   |
| 15200027 | La-May-Member                                     | Membre de la May                                |
| 15200438 | La-Presta-Mergel                                  | Argile de la Presta                             |
| 15204113 | La-Rösa-Orthogneis                                | Orthogneiss de la Rösa                          |
| 15200665 | La-Vaux-Bank                                      |   |
| 15200448 | La-Verrerie-Süsswasserkalk                        | Calcaire d'eau douce de la Verrerie             |
| 15202213 | Lac-Cornu-Eklogit                                 | Éclogite du Lac Cornu                           |
| 15203395 | Lacerandes-Augengneis                             | Gneiss oeilé des Lacerandes                     |
| 15200474 | Lacunosamergel-Formation                          | Lacunosamergel-Formation                        |
| 15203367 | Lagensandkalk                                     | Lagensandkalk                                   |
| 15203483 | Lago-Scuro-Formation                              | Formation du Lago Scuro                         |
| 15202234 | Laiets-Gneiskomplex                               | Complexe gneissique des Laiets                  |
| 15202170 | Lakustrisches Member                              | Membre lacustre (Fm. du Bifertengrätli)         |
| 15203244 | Lamperehubel-Sandstein                            | Grès du Lamperehubel                            |
| 15200456 | Landaize-Kalk                                     | Calcaire de Landaize                            |
| 15204058 | Landwasser-Member                                 | Membre de la Landwasser                         |
| 15203588 | Langel- und Col-de-Cordon-Member, undifferenziert |   |
| 15203239 | Langel-Member                                     | Membre de Langel                                |
| 15203578 | Langel-Member der Zentralschweizer Klippen        | Membre de Langel des klippes de Suisse centrale |
| 15203328 | Langenegg-Formation                               |   |
| 15203007 | Langy-Member                                      | Membre de Langy                                 |
| 15202587 | Laubersmad-Flysch                                 | Flysch du Laubersmad                            |
| 15200395 | Laufen-Juranagelfluh                              | Juranagelfluh de Laufen                         |
| 15200191 | Laufen-Member                                     | Membre de Laufen                                |
| 15200249 | Laufenburg-Gneiskomplex                           | Complexe gneissique de Laufenburg               |
| 15203232 | Lavagna-Formation                                 | Formation de Lavagna                            |
| 15204093 | Lavatèra-Brekzie                                  |   |
| 15204126 | Lavinèr-Brekzie                                   | Brèche du Piz Lavinèr                           |
| 15202286 | Lavtina-Sandstein                                 | Grès de Lavtina                                 |
| 15200671 | Le-Coin-Formation                                 |   |
| 15200623 | Le-Locle-Formation                                |   |

| GeolCode | Deutsch                                | Français                                  |
|----------|--|---|
| 15200624 | Le-Verger-Member                       |   |
| 15203430 | Lebendun-Gneis, arkosisch              | Gneiss du Lebendun, arkosique             |
| 15203431 | Lebendun-Gneis, konglomeratisch        | Gneiss du Lebendun, conglomératique       |
| 15203318 | Lebendun-Gneiskomplex                  | Complexe gneissique du Lebendun           |
| 15204003 | Lech-Formation                         | Formation de Lech                         |
| 15203557 | Legiuna-Gneis                          | Gneiss de Legiuna                         |
| 15202422 | Leiboden-Mergel                        | Marne du Leiboden                         |
| 15200282 | Leimbach-Bentonit                      | Bentonite de Leimbach                     |
| 15203155 | Leimern-Kalk                           | Calcaire de la Leimern                    |
| 15203574 | Leimern-Schichten                      | Couches de la Leimern                     |
| 15202421 | Leist-Mergel                           | Marne du Leist                            |
| 15200240 | Lenzkirch-Steina-Granit                | Granite de Lenzkirch-Steina               |
| 15200572 | Les-Bayards-Juranagelfluh              | Gompholite des Bayards                    |
| 15203098 | Lessus-Member                          | Membre du Lessus                          |
| 15200107 | Letzi-Member                           | Membre du Letzi                           |
| 15200538 | Leuenfall-Nagelfluh                    | Poudingue du Leuenfall                    |
| 15203427 | Leukogneis der Monte-Leone-Decke       | Leucogneiss de la nappe du Monte Leone    |
| 15200464 | Leutschenberg-Member                   | Membre du Leutschenberg                   |
| 15203551 | Leventina-D.: Amphibolit               | Leventina-D.: Amphibolit                  |
| 15203548 | Leventina-D.: Kalksilikatfels          | Leventina-D.: Kalksilikatfels             |
| 15203549 | Leventina-D.: Leukogneis               | Leventina-D.: Leukogneis                  |
| 15203550 | Leventina-D.: Paragneis                | Leventina-D.: Paragneis                   |
| 15202273 | Leventina-Gneis                        | Gneiss de la Leventina                    |
| 15203546 | Leventina-Gneis: oberer Teil           | Gneiss de la Leventina: partie supérieure |
| 15203547 | Leventina-Gneis: unterer Teil          | Gneiss de la Leventina: partie inférieure |
| 15203010 | Leyderry-Member                        | Membre de la Leyderry                     |
| 15203251 | Lias-Kalk (Grava)                      | Gryphäenkalk                              |
| 15203275 | Lias der Klippen-Decke                 | Lias de la nappe des Préalpes Médiannes   |
| 15202120 | Lias des Helvetikums                   | Lias de l'Helvétique                      |
| 15200056 | Lias des Juragebirges                  | Lias du Jura                              |
| 15204090 | Lias des Ostalpins                     |   |
| 15205075 | Lias des Südalpins                     |   |
| 15206025 | Lias, undifferenziert                  | Lias, indifférencié                       |
| 15200296 | Lichtensteig-Schichten                 | Formation de Lichtensteig                 |
| 15202081 | Lidernen-Member                        | Membre de la Lidernen                     |
| 15203149 | Liechtenstein-Flysch                   | Flysch du Liechtenstein                   |
| 15200133 | Liedertswil-Member                     | Membre de Liedertswil                     |
| 15200471 | Liegende-Bankkalke-Formation           | Liegende-Bankkalke-Formation              |
| 15200637 | Lienegg-Formation                      | Formation du Lienegg                      |
| 15200040 | Liesberg-Member                        | Membre de Liesberg                        |
| 15200619 | Limnischer Horizont (OMM-I)            | Horizon limnique (OMM-I)                  |
| 15200431 | Limnischer Horizont (OMM-II)           | Horizon limnique (OMM-II)                 |
| 15200680 | Lindau-Granit                          |   |
| 15203197 | Lirec-Formation                        | Formation de Lirec                        |
| 15206020 | Lithologische Einheit, undifferenziert |   |
| 15203518 | Lizun-Grünschiefer                     | Schistes verts du Lizun                   |
| 15202411 | Lochegg-Brekzie                        | Brèche de la Lochegg                      |
| 15200476 | Lochen-Subformation                    | Lochen-Subformation                       |

| GeolCode | Deutsch  | Français  |
|----------|--|---|
| 15206018 | Lochsiten-Kalk                                       |   |
| 15203313 | Lodano-Gneis   |   |
| 15202218 | Lognan-Orthogneis                                    | Orthogneiss de Lognan   |
| 15205033 | Lombardische Radiolarit-Gruppe                       | Groupe de la Radiolarite Lombarde                                 |
| 15200590 | Loorenkopf-Nagelfluh                                 |   |
| 15203488 | Loranco-Amphibolit                                   | Amphibolite de Loranco  |
| 15200532 | Losenegg-Formation                                   | Formation de la Losenegg  |
| 15205093 | Losone-Schiefer                                      |   |
| 15202520 | Lotharingien-Sandstein                               |   |
| 15202200 | Lötschental-Gneiskomplex                             | Complexe gneissique du Lötschental                                |
| 15202560 | Lötschental-Gneiskomplex: Chloritschiefer            | Complexe gneissique du Lötschental: schiste à chlorite            |
| 15202559 | Lötschental-Gneiskomplex: migmatitischer Biotitgneis | Complexe gneissique du Lötschental: gneiss à biotite migmatitique |
| 15202558 | Lötschental-Gneiskomplex: Muskovitgneis              | Complexe gneissique du Lötschental: gneiss à muscovite            |
| 15205011 | Lucino-Konglomerat                                   | Conglomérat de Lucino   |
| 15203081 | Lückengraben-Formation                               | Formation du Lückengraben   |
| 15203374 | Lugnez-Schiefer                                      | Schistes du Val Lumnezia  |
| 15202211 | Luisin-Orthogneis                                    | Orthogneiss du Luisin   |
| 15202068 | Luitere-Bank   | Banc de la Luitere  |
| 15200312 | Luzern-Formation                                     | Formation de Lucerne  |
| 15202448 | Maasplanggstock-Metaandesit                          | Méta-andésite du Maasplanggstock                                  |
| 15205043 | Macchia Vecchia                                      | Macchia Vecchia   |
| 15200482 | Macrocephalenoolith-Subformation                     | Macrocephalenoolith-Subformation                                  |
| 15203385 | Macugnaga-Augengneis                                 | Gneiss oillé de Macugnaga   |
| 15200199 | Maeandrina-Schichten                                 | Couches à Maeandrina  |
| 15203552 | Maggia-D.: Amphibolit                                | Maggia-D.: Amphibolit   |
| 15203476 | Maggia-D.: Paragneis                                 | Maggia-D.: Paragneis  |
| 15205092 | Maia-Metagabbro                                      |   |
| 15205032 | Maiolica Lombarda                                    | Maiolica Lombarda   |
| 15203341 | Malenco-Serpentinit                                  |   |
| 15203269 | Malm der Klippen-Decke                               | Malm de la nappe des Préalpes Médiannes                           |
| 15202096 | Malm des Helvetikums                                 | Malm de l'Helvétique  |
| 15200012 | Malm des Juragebirges                                | Malm du Jura  |
| 15204088 | Malm des Ostalpins                                   |   |
| 15205073 | Malm des Südalpins                                   |   |
| 15206027 | Malm, undifferenziert                                | Malm, indifférencié   |
| 15202538 | Malmbrekzie  | Brèche du Malm  |
| 15203064 | Malmkalk   | Malmkalk  |
| 15205016 | Malnate-Sandstein                                    | Grès de Malnate   |
| 15204099 | Maloja-Gneiskomplex                                  | Complexe gneissique du Maloja                                     |
| 15204098 | Maloja-Orthogneis                                    |   |
| 15202294 | Malor-Member   | Membre du Malor   |
| 15200232 | Malsburg-Granit                                      | Granite de Malsburg   |
| 15200239 | Mambach-Granit                                       | Granite de Mambach  |
| 15206053 | Mamor, undifferenziert                               | marbre, indifférencié   |
| 15203133 | Manche-Formation                                     | Formation de la Manche  |
| 15205070 | Manno-Formation                                      | Formation de Manno  |
| 15203494 | Maran-Brekzie  | Brèche de Maran   |
| 15200558 | Marbach-Member                                       | Membre de Marbach   |

| GeolCode | Deutsch   | Français  |
|----------|---|---|
| 15202151 | Mären-Formation                                   | Formation de la Mären(egg)                        |
| 15205126 | Marinelli-Formation                               | Formation de Marinelli                            |
| 15203158 | Marmontains-Schichten                             | Formation des Marmontains                         |
| 15203410 | Marmor der Tsaté-Decke                            | Marbre de la nappe du Tsaté                       |
| 15205121 | Marmor der Valpelline-Gruppe                      | Marbre du Groupe de Valpelline                    |
| 15203418 | Marmor der Zermatt-Saas-Decke                     | Marbre de la nappe de Zermatt-Saas                |
| 15200356 | Marnes gris-souris                                | Marnes gris-souris                                |
| 15202281 | Martinsmad-Formation                              | Formation de Martinsmad                           |
| 15202331 | Massa-Gneiskomplex                                | Complexe gneissique de la Massa                   |
| 15203485 | Massari-Formation                                 | Formation du (Pizzo) Massari                      |
| 15200546 | Mathod-Sandstein                                  | Grès de Mathod                                    |
| 15203317 | Matorello-Gneis                                   |   |
| 15203188 | Matse-Member                                      | Membre de la Matse                                |
| 15202006 | Matt-Formation                                    | Formation de Matt                                 |
| 15202362 | Mättental-Melange                                 |   |
| 15205096 | Matterhorn-Gabbro                                 |   |
| 15203100 | Mattes-Melange                                    | Mélange des Mattes                                |
| 15202034 | Mattgrat-Member                                   | Membre du Mattgrat                                |
| 15200345 | Matzendorf-Süsswasserkalk                         | Calcaire d'eau douce de Matzendorf                |
| 15202226 | Medel-Granit                                      | Granite de Medel                                  |
| 15203355 | Medola-Quarzit                                    | Quartzite du Mèdola                               |
| 15200366 | Meeressand  | Meeressand  |
| 15202374 | Meierhof-Phyllit                                  |   |
| 15200294 | Meilen-Kalk                                       | Calcaire de Meilen                                |
| 15200507 | Meilen-Schichten                                  | Couches de Meilen                                 |
| 15202285 | Meilleret-Formation                               | Formation du Meilleret                            |
| 15202523 | Meilleret-Formation, Arkose                       |   |
| 15202522 | Meilleret-Formation, Calcaires organo-détritiques |   |
| 15202524 | Meilleret-Formation, Conglomérat basal            |   |
| 15200416 | Meinisberg-Muschelsandstein                       | Grès coquillier de Meinisberg                     |
| 15206005 | Melirola-Augengneis                               |   |
| 15202584 | Mels- und Röti-Formation, undifferenziert         | Formations de Mels et de Röti, indifférenciées    |
| 15202141 | Mels-Formation                                    | Formation de Mels                                 |
| 15200454 | Mergel- und Kalkzone (MKZ)                        | Zone marneuses et calcaire (MKZ)                  |
| 15200184 | Mergelkalk-Zone                                   | Zone marno-calcaire (Fm. du Grand Essert)         |
| 15206118 | Mergelstein, undifferenziert                      |   |
| 15203298 | Mergoscia-Gneis                                   |   |
| 15205053 | Meride-Formation                                  | Formation de Meride                               |
| 15206034 | Mesozoikum, undifferenziert                       | Mésozoïque, indifférencié                         |
| 15205112 | Metabasit der Arolla-Gruppe                       | Métaroché basique du Groupe d'Arolla              |
| 15205113 | Metabasit der Arolla-Gruppe, mylonitisch          | Métaroché basique du Groupe d'Arolla, mylonitique |
| 15205111 | Metagranitoide der Arolla-Gruppe                  | Métagranitoïde du Groupe d'Arolla                 |
| 15203193 | Métailler-Formation                               | Formation du Métailler                            |
| 15203411 | Metaradiolarit der Tsaté-Decke                    | Métaradiolarite de la nappe du Tsaté              |
| 15203492 | Metasedimente der Arosa-Decke                     | Métasédiments de la nappe d'Arosa                 |
| 15203502 | Metasedimente der Avers-Decke                     | Métasédiments de la nappe de l'Avers              |

| GeolCode | Deutsch  | Français   |
|----------|--|--|
| 15203496 | Metasedimente der Platta-Decke                           | Métasédiments de la nappe du Platta                            |
| 15203409 | Metasedimente der Tsaté-Decke                            | Métasédiments de la nappe du Tsaté                             |
| 15203412 | Metasedimente der Zermatt-Saas-Decke                     | Métasédiments de la nappe de Zermatt-Saas                      |
| 15204042 | Mezdi-Member   | Membre du (Piz) Mezdi  |
| 15203439 | Mezzalama-Granit   | Granite de Mezzalama   |
| 15204017 | Mezzaun-Member   | Membre du (Piz) Mezzaun  |
| 15203274 | Mieussy-Member   | Membre de Mieussy  |
| 15202205 | Miéville-Mylonit   | Mylonite de Miéville   |
| 15202259 | Migmatit der Ausserberg-Avat-Zone                        | Migmatite de la zone d'Ausserberg-Avat                         |
| 15202269 | Migmatit der Ausserbinn-Piz-Cavel-Zone                   | Migmatite de la zone d'Ausserbinn-Piz Cavel                    |
| 15205122 | Migmatit der Valpelline-Gruppe                           | Migmatite du Groupe de Valpelline                              |
| 15206086 | Migmatit, undifferenziert                                | migmatite, indifférenciée                                      |
| 15206061 | Mikrodiorit, undifferenziert                             | microdiorite, indifférenciée                                   |
| 15206044 | Mikrogranit  | microgranite   |
| 15206043 | Mineralisierter Gang                                     | filon minéralisé   |
| 15204046 | Mingèr-Dolomit   | Dolomie du Val Mingèr  |
| 15204045 | Mingèr-Formation   | Formation du Val Mingèr  |
| 15203505 | Minschun-Brekzie   | Brèche du Minschun   |
| 15203465 | Minugrat-Eklogit   | Éclogite du Minugrat   |
| 15204026 | Mitgel-Member  | Membre du (Piz) Mitgel   |
| 15202159 | Mittagflue-Granit  | Granite de la Mittagflue                                       |
| 15203577 | Mittellias der Klippen-Decke                             | Lias moyen des Préalpes  |
| 15202332 | Mittelvariszische Intrusiva des Aiguilles-Rouges-Massivs | Roches plutoniques éo-varisques du massif des Aiguilles Rouges |
| 15200562 | Mittlere Juranagelfluh                                   | Mittlere Juranagelfluh   |
| 15203129 | Mocausa-Nagelfluh  | Poudingue de la Mocausa  |
| 15200254 | Molasse  | Molasse  |
| 15200337 | Molasse à Charbon  | Molasse à Charbon  |
| 15200332 | Molasse Grise de Lausanne                                | Molasse Grise de Lausanne                                      |
| 15200338 | Molasse Rouge  | Molasse Rouge  |
| 15200545 | Molasse Rouge des Jurasüdfusses                          | Molasse Rouge du Pied-du-Jura                                  |
| 15200549 | Molasse Rouge von Monthey                                | Molasse Rouge de Monthey                                       |
| 15200548 | Molasse Rouge von Vevey                                  | Molasse Rouge de Vevey   |
| 15203039 | Molésen-Formation  | Formation du Molésen   |
| 15200420 | Molière-Muschelsandstein                                 | Grès coquillier de la Molière                                  |
| 15205041 | Molino-Member  | Membre du Molino   |
| 15202117 | Mols-Member  | Membre de Mols   |
| 15205040 | Moltrasio-Formation                                      | Formation de Moltrasio   |
| 15204082 | Mönchalp-Augengneis                                      | Gneiss oillé de la Mönchalp                                    |
| 15203462 | Moncucco-Peridotit                                       | Péridotite du Moncucco   |
| 15203191 | Mondra-Member  | Membre de la Mondra  |
| 15202216 | Mont-Blanc-Granit  | Granite du Mont Blanc  |
| 15205005 | Mont-Collon-Komplex                                      | Complexe du Mont Collon  |
| 15203415 | Mont-des-Ritzes-Metabasalt                               | Métabasalte du Mont des Ritzes                                 |
| 15202126 | Mont-Joly-Formation                                      | Formation du Mont Joly   |
| 15205086 | Mont-Morion-Granit                                       |  |
| 15203396 | Mont-Mort-Metapelit                                      | Métopélites du Mont Mort                                       |
| 15200318 | Mont-Pèlerin-Nagelfluh                                   | Poudingue du Mont Pèlerin                                      |
| 15203196 | Mont-Rogneux-Metagranit                                  | Métagranite du Mont Rogneux                                    |

| GeolCode | Deutsch                             | Français                                   |
|----------|-------------------------------------|--|
| 15200083 | Mont-Terri-Member                   | Membre du Mont Terri                       |
| 15200586 | Montauban-Mergel                    |  |
| 15200587 | Montauban-Sandstein                 |  |
| 15200386 | Montchaibeux-Member                 | Membre du Montchaibeux                     |
| 15200653 | Montcherand-Member                  | Membre de Montcherand                      |
| 15206008 | Monte-Bassetta-Quarzdiorit          |  |
| 15203299 | Monte-Rosa-Gneis                    |  |
| 15203440 | Monte-Rosa-Orthogneis, grobkörnig   | Orthogneiss du Mont Rose, à grain grossier |
| 15203453 | Monte-Rosa-Orthogneis, mittelkörnig | Orthogneiss du Mont Rose, à grain moyen    |
| 15203442 | Monte-Rosa-Orthogneis, mylonitisch  | Orthogneiss du Mont Rose, mylonitique      |
| 15206013 | Monte-Rosso-Mikrogranit             |  |
| 15200419 | Montécu-Schichten                   | Couches de Montécu                         |
| 15202206 | Montées-Pélissiers-Granit           | Granite des Montées-Pélissiers             |
| 15202217 | Montenvers-Granit                   | Granite du Montenvers                      |
| 15202123 | Monts-Rosset-Formation              | Formation des Monts Rosset                 |
| 15204047 | Mora-Member                         | Membre du Val Mora                         |
| 15205038 | Morbio-Formation                    | Formation de Morbio                        |
| 15202480 | Morcles-Mikrogranit                 | Microgranite de Morcles                    |
| 15200588 | Mornex-Nagelfluh                    |  |
| 15200664 | Morteau-Bänke                       |  |
| 15200669 | Morteau-Mergel                      |  |
| 15204116 | Morteratsch-Serpentinit             | Serpentine du Morteratsch                  |
| 15200442 | Mortier-Mergel                      | Marne du Mortier                           |
| 15200119 | Moutier-Korallenkalk                | Calcaire à coraux de Moutier               |
| 15200059 | Movelier-Schichten                  | Couches de Movelier                        |
| 15200618 | Mümliswil-Süßwasserkalk             | Calcaire d'eau douce de Mümliswil          |
| 15200236 | Münsterhalden-Granit                | Granite des Münsterhalden                  |
| 15202180 | Munt-Dado-Granit                    | Granite du Munt Dado                       |
| 15202290 | Muot-da-Rubi-Formation              | Formation du Muot da Rubi                  |
| 15200493 | Murchisonaeoolith-Formation         | Murchisonaeoolith-Formation                |
| 15203343 | Muretto-Quarzit                     |  |
| 15203013 | Murgaz-Kalk                         | Calcaire de Murgaz                         |
| 15202324 | Murgtal-Formation                   | Formation du Murgtal                       |
| 15200248 | Murgtal-Gneiskomplex                | Complexe gneissique du Murgtal             |
| 15202044 | Mürren-Brekzie                      | Brèche de Mürren                           |
| 15204031 | Murtèr-Plattenkalk                  | Calcaire plaqueté du (Piz) Murtèr          |
| 15204032 | Murteret-Dolomit                    | Dolomie du Murteret                        |
| 15202101 | Mürtschen-Member                    | Membre de Mürtschen                        |
| 15204037 | Müschauns-Dolomit                   | Dolomie du (Val) Müschauns                 |
| 15200129 | Muschelkalk                         | Groupe du Muschelkalk                      |
| 15200391 | Muschelsandstein                    | Zone du grès coquillier (OMM)              |
| 15205124 | Musella-Granit                      | Granite de Musella                         |
| 15203073 | Musenalp-Member                     | Membre de la Musenalp                      |
| 15200078 | Müsenegg-Bank                       | Banc de la Müsenegg                        |
| 15200181 | Mussel-Member                       | Membre de Mussel                           |
| 15205119 | Mylonit der Valpelline-Gruppe       | Mylonite du Groupe de Valpelline           |
| 15206051 | Mylonit, undifferenziert            | mylonite, indifférenciée                   |
| 15203067 | Mythen-Kieselkalk                   | Calcaire siliceux des Mythen               |
| 15203088 | Mytilus-Schichten                   | Couches à Mytilus                          |
| 15204092 | Nair-Porphyroid                     |  |
| 15200258 | Napf-Formation                      | Formation du Napf                          |



| GeolCode | Deutsch   | Français  |
|----------|---|---|
| 15200622 | Napf-Formation, distale Fazies                              |   |
| 15200621 | Napf-Formation, proximale Fazies                            |   |
| 15203486 | Naret-Formation   | Formation du Narèt                                |
| 15200148 | Narlay-Formation  | Formation de Narlay                               |
| 15202237 | Nelva-Gneiskomplex  | Complexe gneissique de Nelva                      |
| 15203063 | Neokom  | Neokom  |
| 15200649 | Netzbachtal-Nagelfluh                                       | Poudingue du Netzbachtal                          |
| 15202020 | Niederhorn-Formation  | Formation du Niederhorn                           |
| 15202060 | Niederi-Schichten   | Couches de la Niederi                             |
| 15200401 | Niedermatt-Formation  | Formation de Niedermatt                           |
| 15203001 | Niesen-Flysch   | Flysch du Niesen                                  |
| 15203004 | Niesenkulm-Formation  | Formation du Niesenkulm                           |
| 15203205 | Nisellas-Gruppe   | Groupe de Nisellas                                |
| 15203176 | Nolla-Kalkschiefer  | Calcaire de la Nolla                              |
| 15203209 | Nolla-Kristallin  | Socle cristallin du Nolla                         |
| 15203177 | Nolla-Tonschiefer   | Argillite de la Nolla                             |
| 15203579 | Nolla-Tonschiefer: Quarzsandstein                           | Schistes argileux de la Nolla: grès quartzitique  |
| 15202005 | Nordhelvetische Flysch-Gruppe                               | Groupe du Flysch nord-helvétique                  |
| 15202542 | Nordhelvetische Flysch-Gruppe, vorw. schiefriger Tonstein   | Formations d'Elm et de Matt: argillite schisteuse |
| 15203252 | Nordpenninische Trias                                       | Trias nord-pennique                               |
| 15203456 | Nordpenninischer Dogger                                     | Dogger nord-pennique                              |
| 15203457 | Nordpenninischer Lias                                       | Lias nord-pennique                                |
| 15206002 | Novate-Intrusiva  | Intrusion de Novate                               |
| 15202369 | Nufenen-Granatschiefer                                      |   |
| 15202367 | Nufenen-Knotenschiefer                                      |   |
| 15202368 | Nufenen-Sandstein   |   |
| 15200578 | Numismalismergel-Formation                                  |   |
| 15202257 | Oberaar-Furka-Zone  | zone de l'Oberaar-Furka                           |
| 15203164 | Oberäpli-Formation  | Formation de l'Oberäpli                           |
| 15200331 | Oberaquitane Mergelzone                                     | Oberaquitane Mergelzone                           |
| 15200430 | Oberdorf-Süsswasserkalk                                     | Calcaire d'eau douce d'Oberdorf                   |
| 15200472 | Obere-Felsenkalke-Formation                                 | Obere-Felsenkalke-Formation                       |
| 15200061 | Obere Acuminata-Schichten                                   | Couches à Acuminata supérieures                   |
| 15203104 | Obere Brekzie   | Brèche Supérieure                                 |
| 15200429 | Obere bunte Molasse   | Molasse bariolée supérieure                       |
| 15202282 | Obere Flyschabfolge (Sardona)                               | Obere Flyschabfolge (Sardona)                     |
| 15200412 | Obere Grenznagelfluh  | Obere Grenznagelfluh (Fm. de Saint-Gall)          |
| 15203246 | Obere Kalk- und Tonschiefer der Zone Piz Terri - Lunschania | Obere Kalk- und Tonschiefer (Grava/Tomül)         |
| 15200307 | Obere Meeresmolasse (OMM)                                   | Molasse marine supérieure (OMM)                   |
| 15200060 | Obere Oolithische Serie (Grande Oolithe)                    | Série oolitique supérieure (Grande Oolithe)       |
| 15203240 | Obere Rauwacke der Klippen-Decke                            | Cornieule Supérieure                              |
| 15202534 | Obere Sandsteine (Spirstock)                                | Obere Sandsteine (Spirstock)                      |
| 15203105 | Obere Schiefer (Schistes Ardoisiers)                        | Schistes Ardoisiers                               |
| 15200136 | Obere Sufatzzone  | Obere Sufatzzone (Fm. de Zeglingen)               |
| 15200255 | Obere Süsswassermolasse (OSM)                               | Molasse d'eau douce supérieure (OSM)              |
| 15203120 | Obere Tonsteinschichten                                     | Obere Tonsteinschichten (Flysch des Schlieren)    |
| 15203470 | Oberems-Albitgneis  | Gneiss albitique d'Oberems                        |

| GeolCode | Deutsch  | Français   |
|----------|--|--|
| 15205099 | Oberer Meride-Kalk   | Partie supérieure du Calcaire de Meride  |
| 15202302 | Oberer Quintner Kalk   | «Oberer Quinten-Kalk»  |
| 15202599 | Oberer Quintner Kalk: Korallenkalk                                   | Oberer Quintner Kalk: calcaire à coraux  |
| 15202600 | Oberer Quintner Kalk: Unterer Kalk                                   | Oberer Quintner Kalk: Unterer Kalk   |
| 15200217 | Oberer Schuttfächer  | Oberer Schuttfächer (Fm. de Weitenau)  |
| 15200380 | Oberer Teil des Hauptrogensteins                                     | Partie supérieure du Hauptrogenstein   |
| 15200015 | Oberer Virgula-Mergel  | Marnes à Virgula supérieures   |
| 15200475 | Oberjura-Massenkalk-Formation  | Oberjura-Massenkalk-Formation  |
| 15202352 | Oberstafel-Gneis   | Gneiss d'Oberstafel  |
| 15203078 | Obflue-Formation   | Formation de la Obflue   |
| 15203201 | Obrist-Gruppe  | Groupe de l'Obrist   |
| 15200579 | Obtususton-Formation   |  |
| 15200303 | Oehningien des Juragebirges  | Oehningien du Jura   |
| 15200346 | Oensingen-Süsswasserkalk   | Calcaire d'eau douce d'Oensingen   |
| 15202201 | Ofenhorn-Stampfhorn-Gneiskomplex                                     | Complexe gneissique de l'Ofenhorn-Stampfhorn   |
| 15202580 | Ofenhorn-Stampfhorn-Gneiskomplex: aplitischer Granit                 | Complexe gneissique de l'Ofenhorn-Stampfhorn: granite aplitique                      |
| 15202563 | Ofenhorn-Stampfhorn-Gneiskomplex: Biotitgneis                        | Complexe gneissique de l'Ofenhorn-Stampfhorn: gneiss à biotite                       |
| 15202561 | Ofenhorn-Stampfhorn-Gneiskomplex: gebänderter Biotit-Plagioklasgneis | Complexe gneissique de l'Ofenhorn-Stampfhorn: gneiss rubané à plagioclase et biotite |
| 15202562 | Ofenhorn-Stampfhorn-Gneiskomplex: Migmatit                           | Complexe gneissique de l'Ofenhorn-Stampfhorn: migmatite                              |
| 15202579 | Ofenhorn-Stampfhorn-Gneiskomplex: mit Schollenamphibolit             | Complexe gneissique de l'Ofenhorn-Stampfhorn: avec amphibolite à blocs               |
| 15202564 | Ofenhorn-Stampfhorn-Gneiskomplex: Orthogneis                         | Complexe gneissique de l'Ofenhorn-Stampfhorn: orthogneiss                            |
| 15202581 | Ofenhorn-Stampfhorn-Gneiskomplex: Schollenamphibolit                 | Complexe gneissique de l'Ofenhorn-Stampfhorn: amphibolite à blocs                    |
| 15202582 | Ofenhorn-Stampfhorn-Gneiskomplex: Ultramafit                         | Complexe gneissique de l'Ofenhorn-Stampfhorn: roche ultramafique                     |
| 15200503 | Öhningen-Formation   | Formation d'Öhningen   |
| 15200504 | Öhningen-Süsswasserkalk  | Calcaire d'eau douce d'Öhningen  |
| 15200272 | Öhningen-Zone im Hörnligebiet  | Zone d'Öhningen de la région du Hörnli   |
| 15202091 | Öhrli-Formation  | Formation de l'Öhrli   |
| 15202527 | Öhrli-Formation, von Siderolithikum durchsetzt                       | Formation de l'Öhrli, à infiltrations de Siderolithique                              |
| 15200638 | Öligraben-Formation  | Formation de l'Öligraben   |
| 15200192 | Olten-Member   | Membre d'Olten   |
| 15200553 | Oltingue-Kalkarenit  | Calcarénite d'Oltingue   |
| 15200311 | OMM-I  | OMM-I  |
| 15200308 | OMM-II   | OMM-II   |

| GeolCode | Deutsch                                   | Français                                     |
|----------|---|--|
| 15200567 | OMM-J                                     | OMM-J  |
| 15200028 | Oolithe-Rousse-Member                     | Membre de l'Oolithe rousse                   |
| 15200010 | Opalinus-Ton                              | Argile à Opalinus                            |
| 15206059 | Ophikalzit, undifferenziert               | ophicalcite, indifférenciée                  |
| 15203424 | Ophiolith der Antrona-Decke               | Ophiolite de la nappe d'Antrona              |
| 15203236 | Ophiolith der Arosa-Zone                  | Ophiolite de la zone d'Arosa                 |
| 15203503 | Ophiolith der Avers-Decke                 | Ophiolite de la nappe de l'Avers             |
| 15203500 | Ophiolith der Platta-Decke                | Ophiolite de la nappe du Platta              |
| 15203491 | Ophiolith der Ramosch-Zone                | Ophiolite de la zone de Ramosch              |
| 15203414 | Ophiolith der Tsaté-Decke                 | Ophiolite de la nappe du Tsaté               |
| 15203422 | Ophiolith der Zermatt-Saas-Decke          | Ophiolite de la nappe de Zermatt-Saas        |
| 15200423 | Orbe-Süsswasserkalk                       | Calcaire d'eau douce d'Orbe                  |
| 15200140 | Orbicularis-Mergel                        | Marne à Orbicularis                          |
| 15200479 | Ornatenton-Formation                      | Ornatenton-Formation                         |
| 15205006 | Orthogneis der Arolla-Gruppe              | orthogneiss du Groupe d'Arolla               |
| 15205107 | Orthogneis der Arolla-Gruppe, augig       | Orthogneiss du Groupe d'Arolla, oëillé       |
| 15205106 | Orthogneis der Arolla-Gruppe, leukokrat   | Orthogneiss du Groupe d'Arolla, leucocrate   |
| 15205108 | Orthogneis der Arolla-Gruppe, mylonitisch | Orthogneiss du Groupe d'Arolla, mylonitique  |
| 15202274 | Orthogneis der Lukmanier-Decke            | Orthogneiss de la nappe du Lukmanier         |
| 15203426 | Orthogneis der Monte-Leone-Decke          | Orthogneiss de la nappe du Monte Leone       |
| 15203449 | Orthogneis der Portjengrat-Decke          | Orthogneiss de la nappe du Portjengrat       |
| 15205131 | Orthogneis der Sesia-Decke                | orthogneiss de la nappe de Sesia             |
| 15206076 | Orthogneis, undifferenziert               | orthogneiss, indifférencié                   |
| 15200295 | OSM-I                                     | OSM-I  |
| 15200262 | OSM-II                                    | OSM-II                                       |
| 15200300 | OSM-J                                     | OSM-J  |
| 15203268 | Oudiou-Formation                          | Formation d'Oudiou                           |
| 15202012 | Paläogen des Helvetikums                  | Paléogène de l'Helvétique                    |
| 15206055 | Paläozoikum, undifferenziert              | Paléozoïque, indifférencié                   |
| 15202092 | Palfris-Formation                         | Formation de Palfris                         |
| 15202382 | Palis-Member                              |  |
| 15203233 | Palombini-Formation                       | Formation à Palombini                        |
| 15203218 | Panier-Formation                          | Formation de Panier                          |
| 15202351 | Paradis-Gneiskomplex                      | Complexe gneissique du (Piz) Paradis         |
| 15202261 | Paragneis der Ausserberg-Avat-Zone        | Paragneiss de la zone d'Ausserberg-Avat      |
| 15202270 | Paragneis der Ausserbinn-Piz-Cavel-Zone   | Paragneiss de la zone d'Ausserbinn-Piz Cavel |
| 15202275 | Paragneis der Lukmanier-Decke             | Paragneiss de la nappe du Lukmanier          |
| 15203429 | Paragneis der Monte-Leone-Decke           | Paragneiss de la nappe du Monte Leone        |
| 15203443 | Paragneis der Monte-Rosa-Decke            | Paragneiss de la nappe du Mont Rose          |
| 15203435 | Paragneis der Ruginenta-Decke             | Paragneiss de la nappe de Ruginenta          |

| GeolCode | Deutsch   | Français  |
|----------|---|---|
| 15206077 | Paragneis, undifferenziert                        | paragneiss, indifférencié                               |
| 15205117 | Paragneiss der Arolla-Gruppe                      | Paragneiss du Groupe d'Arolla                           |
| 15204052 | Parai-Alba-Member                                 | Membre de la Parai Alba                                 |
| 15204139 | Parait-Chavagl-Granit                             | Granite du Parait Chavagl                               |
| 15202486 | Pardatschas-Granit                                | Granite du (Piz) Pardatschas                            |
| 15200202 | Parkinsoni-Schichten                              | Couches à Parkinsoni                                    |
| 15200487 | Parkinsonioolith-Subformation                     | Parkinsonioolith-Subformation                           |
| 15203307 | Parnegl-Formation                                 |   |
| 15204050 | Partnach-Formation                                | Formation de la Partnach                                |
| 15203482 | Passo-di-Cristallina-Zone                         | zone du Passo di Cristallina                            |
| 15200673 | Passwang- bis Ifenthal-Formation, undifferenziert |   |
| 15200009 | Passwang-Formation                                | Formation du Passwang                                   |
| 15200195 | Pecten-Bank                                       | Banc à Pecten (Fm. de Wildegg)                          |
| 15206040 | Pegmatit  | pegmatite   |
| 15202439 | Pereyres-Formation                                | Formation de la Pereyre                                 |
| 15206001 | Periadriatische Vulkanite                         | roches volcaniques cénozoïques péri-adriatiques         |
| 15206096 | Peridotit, undifferenziert                        | péridotite, indifférencié                               |
| 15203472 | Perm der Maggia-Decke                             | Permien de la nappe de la Maggia                        |
| 15202504 | Perm der Tavetsch-Decke (Val Acla Mulin)          | Permien de la nappe du Tavetsch (Val Acla Mulin)        |
| 15203386 | Perm der Zone-Houillère                           | Permien de la Zone Houillère                            |
| 15203389 | Perm der Zone-Houillère, konglomeratisch          | Permien conglomératique de la Zone Houillère            |
| 15203387 | Perm der Zone-Houillère, quarzschiefrig           | Permien quarzoschisteux de la Zone Houillère            |
| 15206100 | Perm, undifferenziert                             | Permien, indifférencié                                  |
| 15202255 | Permisch verwittertes Kristallin                  | Cristallin à altération permienne                       |
| 15202254 | Permische Sedimente der Illanz-Zone               | Sédiments permien de la zone d'Illanz                   |
| 15205065 | Permische Vulkanite                               | Roches volcanique permienne du Sudalpin                 |
| 15203471 | Permo-Karbon der Maggia-Decke                     | Permo-Carbonifère de la nappe de la Maggia              |
| 15200221 | Permo-Karbon der Nordschweiz                      | Permo-Carbonifère du NW de la Suisse                    |
| 15203406 | Permo-Karbon der Ruitor-Decke                     | Permo-Carbonifère de la nappe du Ruitor                 |
| 15203407 | Permo-Karbon der Ruitor-Decke, konglomeratisch    | Permo-Carbonifère conglomératique de la nappe du Ruitor |
| 15202266 | Permo-Karbon der Urseren-Garvera-Zone             | Permo-Carbonifère de la zone d'Urseren-Garvera          |
| 15202465 | Permo-Karbon des Aiguilles-Rouges-Massivs         | Permo-Carbonifère du massif des Aiguilles Rouges        |
| 15202142 | Permo-Karbon des Helvetikums                      | Permo-Carbonifère de l'Helvétique                       |
| 15204128 | Permo-Karbon des Ostalpins                        | Permo-Carbonifère de l'Austroalpin                      |
| 15205077 | Permo-Karbon des Südalpins                        |   |
| 15206103 | Permokarbon, undifferenziert                      | Permo-Carbonifère, indifférencié                        |
| 15203141 | Perrières-Formation                               | Formation des Perrières                                 |
| 15202214 | Perrons-Orthogneis                                | Orthogneiss des Perrons                                 |
| 15203545 | Personico-Gneis                                   | Gneiss de Personico                                     |
| 15200149 | Perte-du-Rhône-Formation                          | Formation de la Perte-du-Rhône                          |

| GeolCode | Deutsch   | Français  |
|----------|---|---|
| 15203481 | Pertusio-Zone   | zone de Pertusio  |
| 15200571 | Péry-Geröllsande  | Sable à galets de Péry  |
| 15202220 | Pesciora-Gruppe   | Groupe de Pesciora  |
| 15203052 | Petit-Liençon-Formation   | Formation du Petit Liençon  |
| 15202219 | Pétoudes-Orthogneis   | Orthogneiss des Pétoudes  |
| 15200512 | Petrefaktenlager  | Petrefaktenlager (Fm. du Belpberg)  |
| 15203160 | Peula-Schichten   | Couches de la Peula   |
| 15203084 | Pfad-Mikrofazies  | Microfaciès de Pfad   |
| 15200403 | Pfadflüe-Nagelfluh  | Poudingue de la Pfadflüe  |
| 15200677 | Pfaffnau-Granit   |   |
| 15200257 | Pfänder-Schichten   | Couches du Pfänder  |
| 15200280 | Pfannenstiel-Schichten  | Couches du Pfannenstiel   |
| 15203168 | Pfävigrat-Formation   | Formation du Pfävigrat  |
| 15200542 | Pfiffegg-Nagelfluh  | Poudingue de la Pfiffegg  |
| 15200522 | Pfingstboden-Member   | Membre du Pfingstboden  |
| 15204072 | Pflanzenquarzit   | Pflanzenquarzit (Fm. du Fuorn)  |
| 15203423 | Pfulwe-Metabasalt   | Métabasalte du Pfulwe   |
| 15203381 | Phengitgneis der Aul-Decke                                      | Phengitgneis (Grava)  |
| 15206082 | Phyllit, undifferenziert  | phyllite, indifférenciée  |
| 15206095 | Phyllitgneis, undifferenziert                                   | gneiss phyllitique, indifférencié   |
| 15203356 | Pianasciom-Kalkschiefer   | Calcschiste de Pianasciom   |
| 15203357 | Piano-delle-Creste-Sandstein                                    | Grès du Piano delle Creste  |
| 15200039 | Pichoux-Formation   | Formation du Pichoux  |
| 15203408 | Piémont-Glanzschiefer   | Schistes lustrés du Piémontais  |
| 15203413 | Piémont-Ophiolith   | Ophiolite du Piémontais   |
| 15203345 | Pierre-Avoi-Brekzie   |   |
| 15203156 | Pierre-Avoi-Melange   | Mélange de la Pierre Avoi   |
| 15200058 | Pierre-Blanche  | Pierre Blanche (Hauptrogenstein)  |
| 15200097 | Pierre-Châtel-, Vions- und Chambotte-Formation, undifferenziert | Formations de Pierre-Châtel, de Vions et de la Chambotte, indifférenciées |
| 15200101 | Pierre-Châtel-Formation   | Formation de Pierre-Châtel  |
| 15200151 | Pierre Jaune de Neuchâtel                                       | Membre de Neuchâtel   |
| 15202017 | Pierredar-Kalk  | Calcaire de Pierredar   |
| 15203026 | Pissot-Member   | Membre du Pissot  |
| 15202455 | Piz-Cuolmet-Gneiskomplex  | Complexe gneissique du Piz Cuolmet  |
| 15203507 | Piz-del-Palo-Gneis  | Gneiss du Piz del Palo  |
| 15204111 | Piz-Trovat-Metarhyolit  | Métarhyolite du Piz Trovat  |
| 15205051 | Pizzella-Mergel   | Marne du (Monte) Pizzella   |
| 15203351 | Pizzo-Castello-Wildflysch                                       | Wildflysch du Pizzo Castello  |
| 15205094 | Pizzo-Leone-Gneis   |   |
| 15203033 | Plagersflue-Kalkarenit  | Calcarénite de la Plagersflue   |
| 15202361 | Plaine-Morte-Melange  |   |
| 15203060 | Plan-Falcon-Formation   | Formation de Plan Falcon  |
| 15202435 | Planière-Member   | Membre de la Planière   |
| 15203146 | Planken-Formation   | Formation de Planken  |
| 15203145 | Planknerbrücke-Formation  | Formation de Planknerbrücke   |
| 15202304 | Planplatte-Eisenoolith  | Oolite ferrugineuse de la Planplatte                                      |
| 15204085 | Plasseggen-Augengneis   | Gneiss oeillé de Plasseggen   |
| 15203224 | Plattamala-Granit   | Granite de la nappe de la Tasna   |
| 15204008 | Plattas-Member  | Membre de Plattas   |
| 15202602 | Plattazüg-Formation   | Formation du Plattazüg  |

| GeolCode | Deutsch   | Français  |
|----------|---|---|
| 15200146 | Plattensandstein  | Plattensandstein (Fm. du Dinkelberg)  |
| 15202058 | Plattenwald-Bank  | Banc du Plattenwald   |
| 15200218 | Playa-Serie   | Playa-Serie (Fm. de Weitenau)   |
| 15202203 | Plex-Aboyeu-Rhyodazit   | Rhyodacite de Plex-Aboyeu   |
| 15202519 | Pliensbachien-Spatkalk  |   |
| 15200444 | Poet-Bank   | Banc du Poet  |
| 15205087 | Pointe-d'Otemma-Granodiorit   |   |
| 15203264 | Pointe-de-l'Au-Brekzie  | Brèche de la Pointe de l'Au   |
| 15200390 | Polygene Nagelfluh  | Poudingue polygénique (OMM)   |
| 15200436 | Poncin-Member   | Membre de Poncin  |
| 15200667 | Pont-des-Pierres-Bank   |   |
| 15205009 | Pontegana-Konglomerat   | Conglomérat de Pontegana  |
| 15200440 | Ponthoud-Bank   | Banc du Ponthoud  |
| 15205137 | Pontida-Formation   | Formation de Pontida  |
| 15202236 | Pontino-Gneiskomplex  | Complexe gneissique de Pontino  |
| 15202207 | Pormenaz-Granit   | Granite de Pormenaz   |
| 15200370 | Porrentruy-Konglomerat  | Conglomérat de Porrentruy   |
| 15200026 | Porrentruy-Member   | Membre de Porrentruy  |
| 15200576 | Posidonienschiefer-Formation  |   |
| 15204103 | Postvariszische Diabasgänge   | Filons de diabase postvarisques   |
| 15200243 | Prä- und frühvariszische Sedimente und Vulkanite der Nordschweiz              | Roches sédimentaires et volcaniques anté- à éo-varisques de la Forêt Noire      |
| 15202357 | Prä- und Frühvariszische Sedimente und Vulkanite des Aiguilles-Rouges-Massivs | Roches sédimentaires et volcaniques éo-varisques du massif des Aiguilles Rouges |
| 15203029 | Pra-du-Pont-Hartgrund   | Hardground de Pra du Pont   |
| 15204036 | Pra-Grata-Member  | Membre de Pra Grata   |
| 15204078 | Präbichl-Formation  | Formation de Präbichl   |
| 15203277 | Pralet-Formation  | Formation du Pralet   |
| 15205114 | Prasinit der Arolla-Gruppe  | Prasinite du Groupe d'Arolla  |
| 15203468 | Prasinit der Métailler-Formation  | Prasinites de la Formation du Métailler   |
| 15206041 | Prasinit, undifferenziert   | prasinite, indifférenciée   |
| 15202347 | Prato-Gneis   | Gneiss de Prato   |
| 15203162 | Prättigau-Schiefer  | Schistes du Prättigau   |
| 15200253 | Prävariszische Grüngesteine der Nordschweiz                                   | Roches vertes de la Forêt Noire   |
| 15204137 | prävariszische Grüngesteine des Ostalpins                                     | roches vertes anté-varisques de l'Austroalpin                                   |
| 15205130 | Prävariszische Metaarkose, Orthogneise  | Métaarkose, orthogneiss anté-varisque   |
| 15205081 | Prävariszische Metasedimente des Südalpins                                    | métasédiments anté-varisques du Sudalpin  |
| 15200250 | Prävariszische Migmatite der Nordschweiz                                      | Migmatites de la Forêt Noire  |
| 15200246 | Prävariszische Orthogneise der Nordschweiz                                    | Orthogneiss de la Forêt Noire   |
| 15204135 | prävariszische Orthogneise des Ostalpins                                      | orthogneiss anté-varisques de l'Austroalpin                                     |
| 15205136 | Prävariszische Orthogneise des Südalpins                                      | orthogneiss anté-varisques du Sudalpin  |

| GeolCode | Deutsch  | Français  |
|----------|--|---|
| 15204136 | prävariszische Paragneise des Ostalpins                                  | paragneiss anté-varisques de l'Austroalpin                        |
| 15203475 | Prävariszisches Grundgebirge der Maggia-Decke                            | Socle cristallin anté-varisque de la nappe de la Maggia           |
| 15205129 | Prävariszisches Grundgebirge der Margna-Sella                            | socle polycyclique anté-varisque de la nappe de la Margna-Sella   |
| 15203461 | Prävariszisches Grundgebirge des Briançonnais                            | Socle cristallin anté-varisque du Briançonnais                    |
| 15202340 | Prävariszisches polyzyklisches Grundgebirge der Gotthardt-Decke          | Socle polycyclique anté-varisque de la nappe du Gotthard          |
| 15200245 | Prävariszisches polyzyklisches Grundgebirge der Nordschweiz              | Socle polycyclique anté-varisque de la Forêt Noire                |
| 15202355 | Prävariszisches polyzyklisches Grundgebirge der Tavetsch-Decke           | Socle polycyclique anté-varisque de la nappe du Tavetsch          |
| 15202194 | Prävariszisches polyzyklisches Grundgebirge des Aar-Massivs              | Socle métamorphique polycyclique anté-varisque du massif de l'Aar |
| 15202334 | Prävariszisches polyzyklisches Grundgebirge des Aiguilles-Rouges-Massivs | Socle polycyclique anté-varisque du massif des Aiguilles Rouges   |
| 15202468 | Prävariszisches polyzyklisches Grundgebirge des Helvetikums              | Socle polycyclique anté-varisque de l'Helvétique                  |
| 15202337 | Prävariszisches polyzyklisches Grundgebirge des Mont-Blanc-Massivs       | Socle polycyclique anté-varisque du massif du Mont Blanc          |
| 15204119 | prävariszisches polyzyklisches Grundgebirge des Ostalpins                | socle polycyclique anté-varisque de l'Austroalpin                 |
| 15206110 | Prävariszisches, polyzyklisches Grundgebirge, undifferenziert            | socle polycyclique anté-varisque, indifférencié                   |
| 15202440 | Praz-Couquain-Formation  | Formation de Praz Couquain  |
| 15203289 | Praz-Serie   | Série des Praz  |
| 15203436 | Preja-Formation  | Formation de la Preja   |
| 15205022 | Prella-Konglomerat   | Conglomérat de Prella   |
| 15205014 | Prestino-Pelite  | Pélite de Prestino  |
| 15202601 | Prodkamm- bis Sexmor-Formation, undifferenziert                          | Formation du Prodkamm à Formation du Sexmor, indifférenciées      |
| 15202131 | Prodkamm-Formation   | Formation du Prodkamm   |
| 15202390 | Prodkamm-Formation, Mittlerer Teil                                       |   |
| 15202389 | Prodkamm-Formation, Oberer Teil  |   |
| 15202391 | Prodkamm-Formation, Unterer Teil   |   |
| 15202271 | Prosa-Granit   | Granite du (Monte) Prosa  |
| 15204053 | Prosanto-Formation   | Formation du (Piz) Prosanto                                       |
| 15205085 | Proterozoische und paläozoische Mafite und Ultramafite des Südalpins     |   |
| 15202239 | Prüsfa-Gneiskomplex  | Complexe gneissique de Prüsfa                                     |
| 15200582 | Psilonotenton-Formation  |   |
| 15202456 | Pulanera-Gneiskomplex  | Pulanera-Gneiskomplex   |
| 15204071 | Punt-la-Drossa-Member  | Membre de Punt la Drossa  |
| 15203371 | Punta-Rossa-Komplex  | Complexe de la Punta Rossa  |
| 15202184 | Punteglias-Granit  | Granite de Punteglias   |
| 15202085 | Pygurus-Member   | Membre à Pygurus  |
| 15202136 | Quarten-Formation  | Formation de Quarten  |
| 15206038 | Quarzgang  | filon de quartz   |

| GeolCode | Deutsch  | Français  |
|----------|--|---|
| 15205105 | Quarzit der Dolin-Gruppe                                     | Quartzite du Groupe du Dolin  |
| 15203404 | Quarzit der Nordpenninische Trias                            | Quartzite du Trias nord-pennique                                    |
| 15203419 | Quarzit der Zermatt-Saas-Decke                               | Quartzite de la nappe de Zermatt-Saas                               |
| 15206062 | Quarzit, undifferenziert                                     | quartzite, indifférenciée   |
| 15200432 | Quarzitnagelfluh (der St.-Gallen-Fm.)                        | Poudingue quartzitique (Fm. de Saint-Gall)                          |
| 15206083 | Quarzphyllit, undifferenziert                                | quartzphyllite, indifférenciée                                      |
| 15203212 | Quarzsandstein-Flysch (Gault)                                | Quarzsandstein-Flysch (Gault)                                       |
| 15206117 | Quarzsandstein, undiff.                                      | Grès quartzitique, indiff.  |
| 15204034 | Quattervals-Formation  | Formation du (Piz) Quattervals                                      |
| 15202097 | Quinten-Formation  | Formation de Quinten  |
| 15203137 | Radiolarit   | Radiolarites  |
| 15203235 | Radiolarit der Arosa-Zone                                    | Radiolarite de la zone d'Arosa                                      |
| 15206107 | Radiolarit, undifferenziert                                  | radiolarite, indifférenciée   |
| 15200325 | Radiolaritreiche Nagelfluh                                   | Radiolaritreiche Nagelfluh (Fm. du Rigi)                            |
| 15202083 | Rahberg-Bank   | Membre du Rahberg   |
| 15204149 | Raibl-Gr.: Dolomit   | Groupe de Raible: dolomite  |
| 15204038 | Raibl-Gruppe   | Groupe de Raibl   |
| 15204151 | Raibl-Gruppe der Zentralschweizer Klippen                    | Groupe de Raibl des klippes de Suisse centrale                      |
| 15200371 | Raitsche   | Raitsche  |
| 15204027 | Ramoz-Member   | Membre de Ramoz   |
| 15200505 | Ramschwag-Nagelfluh  | Poudingue de la Ramschwag   |
| 15203070 | Rämsi-Member   | Membre de Rämsi   |
| 15203185 | Randa-Augengneis   | Gneiss oillé de Randa   |
| 15200570 | Randen-Grobkalk  | Calcaire grossier du Randen   |
| 15200398 | Randen-Juranagelfluh   | Juranagelfluh du Randen   |
| 15200235 | Randgranit   | Randgranit  |
| 15202063 | Rankweil-Member  | Membre de Rankweil  |
| 15203309 | Raschil-Formation  |   |
| 15202418 | Rauwacke (Röti-Fm.)  | Cornieule (Fm. de la Röti)  |
| 15203243 | Rauwacke der Brekzien-Decke                                  | Cornieule de la nappe de la Brèche                                  |
| 15205104 | Rauwacke der Dolin-Gruppe                                    | Cornieule du Groupe du Dolin  |
| 15202547 | Rauwacke der Helvetische Trias                               | Cornieule du Trias helvétique                                       |
| 15203571 | Rauwacke der Klippen-Decke                                   | Cornieule des Préalpes Médiannes                                    |
| 15204146 | Rauwacke der Raibl-Gruppe                                    | Cornieule du Groupe de Raibl  |
| 15203575 | Rauwacke und Quarzsandstein der Klippen-Decke (basale Trias) | Cornieule et grès quartzitique des Préalpes Médiannes (Trias basal) |
| 15206022 | Rauwacke, undifferenziert                                    |   |
| 15204061 | Ravais-ch-Member   | Membre de Ravais-ch   |
| 15203011 | Raverette-Member   | Membre de la Raverette  |
| 15202074 | Rawil-Member   | Membre du Rawil   |
| 15203025 | Rayes-Kalk   | Calcaire des Rayes  |
| 15200400 | Rebhubel-Schichten   | Couches du Rebhubel   |
| 15203509 | Rebi-Gneis   | Gneiss de Rebi  |
| 15204069 | Reichenhall-Formation  | Formation de Reichenhall  |
| 15203125 | Reidigen-Formation   | Formation de Reidigen   |
| 15204062 | Reifling-Formation   | Formation de Reiflingen   |
| 15202108 | Reischiben-Formation   | Formation de la Reischiben  |
| 15203147 | Reiselsberg-Formation  | Formation du Reiselsberg  |
| 15200042 | Renggeri-Member  | Membre à Renggeri   |
| 15203556 | Renten-Gneis   | Gneiss de Renten  |



| GeolCode | Deutsch                          | Français                                      |
|----------|----------------------------------|---|
| 15200002 | Reuchenette-Formation            | Formation de Reuchenette                      |
| 15203336 | Rhät der Brekzien-Decke          |   |
| 15203142 | Rhenodanubischer Flysch          | Flysch Rhénodanubien                          |
| 15206045 | Rhétien, undifferenziert         | Rhétien, indifférencié                        |
| 15200145 | Rhötton                          | Rhötton                                       |
| 15206035 | Rhyolit, undifferenziert         | rhyolite, indifférenciée                      |
| 15203362 | Ri-d'Antabia-Konglomerat         | Conglomérat du Ri d'Antabia                   |
| 15203388 | Ricard-Rhyolit                   | Rhyolite de Ricard                            |
| 15200077 | Rickenbach-Member                | Membre de Rickenbach                          |
| 15202373 | Riein-Schichten                  |   |
| 15200359 | Rietbad-Subformation             | Sous-formation de Rietbad                     |
| 15200075 | Rietheim-Member                  | Membre de Rietheim                            |
| 15203420 | Riffelberg-Melange               | Mélange du Riffelberg                         |
| 15204147 | Rifffazies der Arlberg-Formation | faciès récifal de la Formation de l'Arlberg   |
| 15200322 | Rigi-Formation                   | Formation du Rigi                             |
| 15203085 | Rindenkorn-Mikrofazies           | Microfaciès à oncolithes (Fm. de la Dorfflüe) |
| 15203327 | Rinderbach-Formation             |   |
| 15202489 | Rinderbiel-Mikrogranit           | Microgranite de Rinderbiel                    |
| 15202537 | Ringgenberg-Schichten            | Couches de Ringgenberg                        |
| 15205017 | Rio-dei-Gioghi-Pelite            | Pélite du Rio dei Gioghi                      |
| 15202431 | Riondounaire-Member              | Membre de Riondounaire                        |
| 15203322 | Ritter-Gneis                     |   |
| 15205049 | Riva-di-Solto-Tonstein           | Argilite de Riva di Solto                     |
| 15200094 | Rivière-Member                   | Membre de la Rivière                          |
| 15203350 | Robiei-Wildflysch                | Wildflysch de Robièi                          |
| 15202393 | Roc-Champion-Konglomerat         |   |
| 15200650 | Rocher-des-Hirondelles-Formation | Formation du Rocher des Hirondelles           |
| 15206047 | Rodingit                         | rodingite                                     |
| 15203128 | Rodomonts-Formation              | Formation des Rodomonts                       |
| 15203037 | Rodosex-Member                   | Membre de Rodosex                             |
| 15203330 | Roffna-Gneis                     |   |
| 15202310 | Roggenegg-Komplex                | Complexe de la Roggenegg                      |
| 15203540 | Rognoi-Gneis                     | Gneiss de Rognoi                              |
| 15202072 | Rohrbachstein-Bank               | Banc du Rohrbachstein                         |
| 15205123 | Roisan-Marmor                    | Marbre de Roisan                              |
| 15205003 | Roisan-Zone                      | zone de Roisan                                |
| 15203329 | Rombach-Formation                |   |
| 15203030 | Rontins-Member                   | Membre des Rontins                            |
| 15200031 | Röschenz-Member                  | Membre de Röschenz                            |
| 15202046 | Rosenlaur-Marmor                 | Marbre de Rosenlaur                           |
| 15202487 | Rossbodenstock-Diorit            | Diorite du Rossbodenstock                     |
| 15200640 | Rossemaison-Formation            | Formation de Rossemaison                      |
| 15203519 | Rossi-Formation                  | Formation des Rossi                           |
| 15203047 | Rossinière-Formation             | Formation de Rossinière                       |
| 15205034 | Rosso ad Aptici                  | Rosso ad Aptici                               |
| 15205036 | Rosso Ammonitico Lombardo        | Rosso Ammonitico Lombardo                     |
| 15202378 | Rosspplatten-Diorit              |   |
| 15202499 | Rotberg-Sandstein                | Grès du Rotberg                               |
| 15203027 | Rote-Platte-Formation            | Formation de Rote Platte                      |
| 15203023 | Roter-Sattel-Hartgrund           | Hartground de Roter Sattel                    |
| 15200064 | Rothenfluh-Member                | Membre de la Rothenfluh                       |

| GeolCode | Deutsch                             | Français                                     |
|----------|-------------------------------------|--|
| 15202139 | Röti-Formation                      | Formation de la Röti                         |
| 15202183 | Rötifirn-Gruppe                     | Groupe du Rötifirn                           |
| 15202221 | Rotondo-Granit                      | Granite du Rotondo                           |
| 15203441 | Rottal-Migmatit                     | Migmatite du Rottal                          |
| 15203490 | Roz-Schiefer                        | Schistes du Roz                              |
| 15203092 | Rubli-Member                        | Membre du Rubli                              |
| 15203163 | Ruchberg-Formation                  | Formation du Ruchberg                        |
| 15203304 | Rudnal-Formation                    |  |
| 15202356 | Rueras-Gneiskomplex                 | Complexe gneissique de Rueras                |
| 15202314 | Ruestel-Flysch                      | Flysch de Ruestel                            |
| 15204009 | Ruhpolding-Formation                | Formation de Ruhpolding                      |
| 15204079 | Ruina-Formation                     | Formation de la Ruina                        |
| 15202376 | Ruinas-Sandstein                    |  |
| 15202372 | Runcaleida-Schichten                |  |
| 15203297 | Ruscada-Gneis                       |  |
| 15202010 | Rüschelweid-Bank                    | Banc du Rüschelweid                          |
| 15202181 | Russein-Diorit                      | Diorite de Russein                           |
| 15204005 | Russenna-Formation                  | Formation du (Munt) Russenna                 |
| 15200095 | Russille-Member                     | Membre de la Russille                        |
| 15202297 | Rütenen-Konglomerat                 | Conglomérat de Rütenen                       |
| 15200541 | Rütiberg-Kalksandstein              | Grès calcaire de Rütiberg                    |
| 15200283 | Rütschlibach-Riedhof-Süsswasserkalk | Calcaire d'eau douce du Rütschlibach-Riedhof |
| 15204059 | S-charl-Formation                   | Formation de S-charl                         |
| 15200214 | Saalfeld-Bank                       | Banc de Saalfeld                             |
| 15203450 | Saas-Fee-Augengneis                 | Gneiss ocellé de Saas Fee                    |
| 15203319 | Sabbione-Sandstein                  |  |
| 15200225 | Säckingen-Granit                    | Granite de Säckingen                         |
| 15200404 | Sädel-Kalknagelfluh                 | Poudingue calcaire de Sädel                  |
| 15202223 | Sädelhorn-Diorit                    | Diorite du Sädelhorn                         |
| 15200313 | Safenwil-Muschelsandstein           | Grès coquillier de Safenwil                  |
| 15203175 | Safien-Kalk                         | Calcaire de Safien                           |
| 15202444 | Saix-Member                         | Membre des Saix                              |
| 15203533 | Salahorn-Fm.: Metaplutonit          | Formation du Salahorn: métagneiss            |
| 15203534 | Salahorn-Fm.: Paragneis             | Formation du Salahorn: paragneiss            |
| 15204014 | Salamun-Brekzie                     | Brèche de Salamun                            |
| 15203432 | Salarioli-Serie                     | Série du (Passo) Salarioli                   |
| 15206019 | Salleren-Brekzie                    |  |
| 15204013 | Salteras-Formation                  | Formation du (Piz) Salteras                  |
| 15205042 | Saltrio-Formation                   | Formation de Saltrio                         |
| 15204011 | Saluver-Formation                   | Formation du (Piz) Saluver                   |
| 15204010 | Saluver-Gruppe                      | Groupe du (Piz) Saluver                      |
| 15202155 | Salvan-Member                       | Membre de Salvan                             |
| 15200137 | Salzlager                           | Salzlager (Fm. de Zeglingen)                 |
| 15205080 | San-Bernardo-Gneis                  |  |
| 15206015 | San-Fedelino-Granit                 |  |
| 15205058 | San-Giorgio-Dolomit                 | Dolomie du (Monte) San Giorgio               |
| 15205061 | San-Salvatore-Dolomit               | Dolomie du (Monte) San Salvatore             |
| 15203217 | Sanalada-Formation                  | Formation de Sanalada                        |
| 15202506 | Sandalp-Rhyolith                    | Rhyolithe de la Sandalp                      |
| 15204080 | Sandhubel-Member                    | Membre du Sandhubel                          |
| 15202392 | Sandpass-Formation                  |  |
| 15206105 | Sandstein, undifferenziert          | grès, indifférencié                          |

| GeolCode | Deutsch   | Français   |
|----------|---|--|
| 15202016 | Sanetsch-Formation                                    | Formation du Sanetsch                              |
| 15202280 | Sardona-Melange                                       | Mélange du Sardona                                 |
| 15202283 | Sardona-Quarzit                                       | Quartzite du Sardona                               |
| 15204112 | Sass-Queder-Metarhyolith                              | Métarhyolite du Sass Queder                        |
| 15205091 | Sassa-Metagabbro                                      |  |
| 15203169 | Sassauna-Formation                                    | Formation de la Sassauna                           |
| 15202343 | Sassina-Augengneis                                    | Gneiss oeilé du Sassina                            |
| 15202238 | Sasso-Rosso-Gneiskomplex                              | Complexe gneissique du Sasso Rosso                 |
| 15204125 | Sasso-Rosso-Granodiorit                               | Granodiorite du Sasso Rosso                        |
| 15200050 | Saulcy-Member   | Membre de Saulcy                                   |
| 15202247 | Saure vulkanische und subvulkanische Gesteine         | roches volcaniques et subvolcaniques acides        |
| 15206048 | Saurer Gang   | filon acide  |
| 15203305 | Savognin-Formation                                    |  |
| 15205030 | Scaglia Bianca Lombarda                               | Scaglia Bianca Lombarda                            |
| 15205029 | Scaglia Rossa Lombarda                                | Scaglia Rossa Lombarda                             |
| 15205031 | Scaglia Variegata Lombarda                            | Scaglia Variegata Lombarda                         |
| 15202511 | Schabell-Mélange                                      |  |
| 15200676 | Schafisheim-Syenit                                    |  |
| 15200497 | Schallenberg-Member                                   | Marne du Schallenberg                              |
| 15200089 | Schambelen-Member                                     | Membre du Schambelen                               |
| 15202035 | Scharti-Member  | Membre de Scharti                                  |
| 15202539 | Schattwald-Mergelkalk                                 | Calcaire marneux du Schattwald                     |
| 15202315 | Scheidegg-Flysch                                      | Flysch de la Scheidegg                             |
| 15200323 | Scheidegg-Nagelfluh                                   | Poudingue de la Rigi-Scheidegg                     |
| 15200045 | Schellenbrücke-Bank                                   | Banc du Schellenbrücke                             |
| 15200051 | Schellenloch-Member                                   | Membre du Schellenloch                             |
| 15203394 | Scherbadung-Gabbro                                    | Gabbro du Scherbadung                              |
| 15200421 | Scherli-Quarzitnagelfluh                              | Poudingue quartzitique du Scherli(grabe)           |
| 15204028 | Schesaplana-Member                                    | Membre du Schesaplana                              |
| 15203434 | Schiefer der Ruginenta-Decke                          | Schistes de la nappe de Ruginenta                  |
| 15200244 | Schiefer und Grauwacken                               | Schistes et grauwackes de la Forêt Noire           |
| 15206111 | Schiefer, undifferenziert                             | schiste, indifférencié                             |
| 15202450 | Schiefriger Mines-Lias                                | Lias des Mines schisteux                           |
| 15202100 | Schilt-Formation                                      | Formation du Schilt                                |
| 15202025 | Schimberg-Member                                      | Membre du Schimberg                                |
| 15200130 | Schinznach-Formation                                  | Formation de Schinznach                            |
| 15203012 | Schistes à Miches                                     | Membre des Schistes à Miches                       |
| 15200357 | Schistes marno-micacés                                | Schistes marno-micacés                             |
| 15203397 | Schistes noirs (Pierre Avoi)                          | Schistes noirs (Pierre Avoi)                       |
| 15200465 | Schlächtenhaus-Granit                                 | Granite de Schlächtenhaus                          |
| 15200682 | Schlächtenhaus-Schiefer                               |  |
| 15200088 | Schleitheim-Bank                                      | Banc de Schleithelm                                |
| 15203117 | Schlieren-Flysch                                      | Flysch des Schlieren                               |
| 15203576 | Schlieren-Flysch: Hauptmasse (Paläogen)               | Flysch des Schlieren: masse principale (Paléogène) |
| 15203118 | Schlieren-Sandstein                                   | Grès des Schlieren                                 |
| 15203573 | Schlieren-Sandstein, im Paläogen tektonisch überprägt | Grès des Schlieren, tectonisé au Paléogène         |
| 15203153 | Schloss-Formation                                     | Formation de Schloss                               |
| 15200224 | Schluchsee-Granit                                     | Granite du Schluchsee                              |

| GeolCode | Deutsch                                     | Français   |
|----------|---|--|
| 15202379 | Schöllenen-Diorit                           |  |
| 15200237 | Schönau-Herrenschwand-Granit                | Granite de Schönau-Herrenschwand                     |
| 15202145 | Schönbüel-Formation                         | Formation de Schönbüel                               |
| 15202146 | Schönbüel-Quarzit                           | Quartzite de Schönbüel                               |
| 15203119 | Schoni-Sandstein                            | Grès de la Schoni                                    |
| 15202073 | Schrattenkalk-Formation                     | Formation du Schrattenkalk                           |
| 15202590 | Schrattenkalk-Formation,<br>vermergelt      | Formation du Schrattenkalk,<br>devenant marneuse     |
| 15200261 | Schüpferegg-Nagelfluh                       | Poudingue de la Schüpferegg                          |
| 15202544 | Schwalmern-Kalk                             | Calcaire de la Schwalmern                            |
| 15202543 | Schwalmern-Schiefer                         | Schistes de la Schwalmern                            |
| 15200533 | Schwändibach-Nagelfluh                      | Poudingue de Schwändibach                            |
| 15200641 | Schwaningen-Merenbach-Rhyolith              | Rhyolithe de<br>Schwaningen-Merenbach                |
| 15200642 | Schwaningen-Weizen-Granit                   | Granite de Schwaningen-Weizen                        |
| 15200658 | Schwarzbach-Schichten                       | Couches du Schwarzbach                               |
| 15202114 | Schwarzhorn-Member                          | Membre du Schwarzhorn                                |
| 15200441 | Scie-Besse-Sandstein                        | Grès de Scie Besse                                   |
| 15203038 | Sciernes-d'Albeuve-Formation                | Formation des Sciernes d'Albeuve                     |
| 15203363 | Scisti bruni (Lebendun)                     | Scisti bruni (Lebendun)                              |
| 15206054 | Sedimentäre Brekzie,<br>undifferenziert     | brèche sédimentaire, indifférenciée                  |
| 15206030 | Sedimentgestein, undifferenziert            | roche sédimentaire, indifférenciée                   |
| 15200227 | Seeablagerungen                             | Seeablagerungen (Fm. de Weiach)                      |
| 15200206 | Seebi-Member                                | Membre de Seebi                                      |
| 15200506 | Seerücken-Tuffit                            | Tuffite du Seerücken                                 |
| 15202050 | Seewen-Formation                            | Formation de Seewen                                  |
| 15202500 | Seez-Member                                 | Membre de Seez                                       |
| 15202104 | Seeztal-Member                              | Membre du Seeztal                                    |
| 15200498 | Seli-Nagelfluh                              | Poudingue de Seli                                    |
| 15205125 | Sella-Granodiorit                           | Granodiorite de la Sella                             |
| 15202057 | Sellamatt-Schichten                         | Couches de la Sellamatt                              |
| 15202053 | Selun-Member                                | Membre de Selun                                      |
| 15200418 | Sense-Formation                             | Formation de la Singine                              |
| 15200363 | Septarienton                                | Argile à Septaria (Septarienton)                     |
| 15202312 | Serhalten-Flysch                            | Flysch der Serhalten                                 |
| 15203369 | Série conglomératique (Pierre Avoi)         | Série conglomératique (Pierre Avoi)                  |
| 15200552 | Serie der Süsswasserkalke und<br>Dolomite   | Série des calcaires d'eau douce et<br>dolomie (GMGG) |
| 15203181 | Série du Tounô                              | Série du Tounô                                       |
| 15203226 | Série Grise                                 | Série Grise  |
| 15203225 | Série Rousse                                | Série Rousse   |
| 15203391 | Série schisteuse moyenne                    | Série schisteuse moyenne                             |
| 15203390 | Série schisto-gréseuse supérieure           | Série schisto-gréseuse supérieure                    |
| 15203368 | Série schisto-quartzitique (Pierre<br>Avoi) | Série schisto-quartzitique (Pierre<br>Avoi)          |
| 15203003 | Seron-Formation                             | Formation de Seron                                   |
| 15203522 | Seron-Formation, Calcschistes<br>zoogènes   |  |
| 15203523 | Seron-Formation, Conglomérat<br>moyen       |  |
| 15206042 | Serpentinit, undifferenziert                | serpentinite, indifférenciée                         |
| 15200663 | Serrières-Bank                              |  |
| 15204060 | Sertig-Member                               | Membre du Sertig                                     |

| GeolCode | Deutsch   | Français   |
|----------|---|--|
| 15205063 | Servino   | Servino  |
| 15204107 | Sesvenna-Augengneis   | Gneiss oillé de la Sesvenna  |
| 15203360 | Sevinera-Marmor   | Marbre de Sevinèra   |
| 15203361 | Sevinera-Sandstein  | Grès de Sevinèra   |
| 15203266 | Sex-du-Tronc-Kalk   | Calcaire du Sex du Tronc   |
| 15202447 | Sex-Mort-Flysch   | Flysch de la nappe du Sex Mort   |
| 15202125 | Sexmor-Formation  | Formation du Sexmor  |
| 15202404 | Sexmor-Formation, Oberer Teil                                     | Formation du Sexmor, partie supérieure   |
| 15202405 | Sexmor-Formation, Unterer Teil                                    | Formation du Sexmor, partie inférieure   |
| 15200679 | Siblingen-Granit  |  |
| 15202088 | Sichel-Kalk   | Calcaire de la Sichel  |
| 15202042 | Siderolithikum (des Helvetikums)                                  | Sidérolithique (de l'Helvétique)   |
| 15200091 | Siderolithikum des Juragebirges                                   | Sidérolithique du Jura   |
| 15203337 | Siderolithisches Dogger der Klippen-Decke                         |  |
| 15203558 | Simano-D.: Amphibolit   | Simano-D.: Amphibolit  |
| 15203554 | Simano-D.: Dolomitmarmor  | Simano-D.: Dolomitmarmor   |
| 15203553 | Simano-D.: Kalkmarmor   | Simano-D.: Kalkmarmor  |
| 15203555 | Simano-D.: Paragneis  | Simano-D.: Paragneis   |
| 15203559 | Simano-D.: Ultramafitit   | Simano-D.: Ultramafitit  |
| 15203292 | Simmen-Flysch, undifferenziert                                    | Flysch de la Simme, indifférencié  |
| 15200070 | Sissach-Member  | Membre de Sissach  |
| 15203516 | Sivigia-Gneis   | Gneiss de Sivigia  |
| 15202330 | Sogn-Placi-Gneiskomplex   | Complexe gneissique de Sogn Placi  |
| 15203584 | Soladier- und Verdy-Member, undifferenziert                       |  |
| 15203045 | Soladier-Member   | Membre de Soladier   |
| 15203495 | Solis-Kalk  | Calcaire de Solis  |
| 15200426 | Solothurner Schildkrötenkalk                                      | Calcaire à tortues de Soleure  |
| 15203046 | Sommant-Formation   | Formation de Sommant   |
| 15200327 | Sommersberg-Nagelfluh   | Poudingue du Sommersberg   |
| 15202497 | Sonnenberg-Horizonte  | Horizons du Sonnenberg   |
| 15202002 | Sörenberg-Melange   | Mélange de Sörenberg   |
| 15202244 | Sorescia-Gneis  | Gneiss de Sorescia   |
| 15206009 | Sorico-Tonalit  |  |
| 15200041 | Sornetan-Member   | Membre de Sornetan   |
| 15203375 | Sosto-Schiefer  | Schistes du Sosto  |
| 15203184 | Sous-le-Rocher-Member   | Membre de Sous le Rocher   |
| 15200220 | Spät- bis postvariszische Intrusiva der Nordschweiz               | Roches plutoniques tardi- à postvarisques de la Forêt Noire                    |
| 15202336 | Spät- bis postvariszische Intrusiva des Mont-Blanc-Massivs        | Roches plutoniques tardi- à post-varisques du massif du Mont Blanc             |
| 15202164 | Spät- bis postvariszische Sedimente und Vulkanite des Aar-Massivs | Roches sédimentaires et volcaniques tardi- à post-varisques du massif de l'Aar |
| 15202464 | Spät- bis postvariszische Sedimente und Vulkanite des Helvetikums | Roches sédimentaires et volcaniques tardi- à post-varisques de l'Helvétique    |
| 15200057 | Spatkalk  | Spatkalk (Hauptrogenstein)   |
| 15203139 | Spatkalk (Tissota-Melange)  | Calcaires spathiques   |
| 15200319 | Speer-Formation   | Formation du Speer   |

| GeolCode | Deutsch  | Français  |
|----------|--|---|
| 15203303 | Spegnas-Formation                                      |   |
| 15202394 | Spirstock-Member                                       | Membre du Spirstock                               |
| 15203076 | Spis-Kalk  | Calcaire de la Spis                               |
| 15202086 | Spitzern-Member  | Membre de la Spitzern                             |
| 15202128 | Spitzmeilen-Formation                                  | Formation du Spitzmeilen                          |
| 15202388 | Spitzmeilen-Formation, Basaler Teil                    |   |
| 15202386 | Spitzmeilen-Formation, Oberer Teil                     |   |
| 15202387 | Spitzmeilen-Formation, Unterer Teil                    |   |
| 15204095 | Sprenkel-Schiefer                                      |   |
| 15200054 | St-Brais-Member  | Membre de St-Brais                                |
| 15203157 | St-Christophe-Schichten                                | Formation de St-Christophe                        |
| 15200309 | St-Gallen-Formation                                    | Formation de St-Gall                              |
| 15203096 | St-Triphon-Formation                                   | Formation de St-Triphon                           |
| 15200005 | St-Ursanne-Formation                                   | Formation de St-Ursanne                           |
| 15200238 | St.-Blasien-Granit                                     | Granite de St-Blasien                             |
| 15205082 | Stabbiello-Gneis                                       |   |
| 15202013 | Stad-Formation   | Formation de Stad                                 |
| 15202597 | Stad-Formation (e6)                                    | Formation de Stad (e6)                            |
| 15202588 | Stad-Formation, «Jüngerer Quarzsandstein»              | Formation de Stad, «Jüngerer Quarzsandstein»      |
| 15200310 | Staffelbach-Grobsandstein                              | Grès grossier de Staffelbach                      |
| 15200011 | Staffelegg-Formation                                   | Formation de la Staffelegg                        |
| 15200675 | Staffelegg-Formation und Opalinus-Ton, undifferenziert |   |
| 15203041 | Staldengraben-Formation                                | Formation du Staldengraben                        |
| 15200132 | Stamberg-Member  | Membre du Stamberg                                |
| 15203074 | Stanserhorn-Formation                                  | Formation du Stanserhorn                          |
| 15203172 | Stätzerhorn-Gruppe                                     | Flysch du Tomül                                   |
| 15200466 | Steinatal-Gneiskomplex                                 | Complexe gneissique du Steinatal                  |
| 15202037 | Steinbach-Member                                       | Membre du Steinbach                               |
| 15203072 | Steinberg-Konglomerat                                  | Conglomérat du Steinberg                          |
| 15200193 | Steinibach-Member                                      | Membre du Steinibach                              |
| 15203223 | Steinsberg-Kalk  | Calcaire du Steinsberg                            |
| 15203454 | Stellhorn-Mylonit                                      | Mylonite du Stellhorn                             |
| 15202598 | Stgir- und Inferno-Formation, undifferenziert          | Formations du Stgir et d'Inferno, indifférenciées |
| 15202133 | Stgir-Formation  | Formation du Stgir                                |
| 15202371 | Stgir-Formation, Oberer Teil                           |   |
| 15202370 | Stgir-Formation, Unterer Teil                          |   |
| 15200222 | Stockberg-Quarzporphyr                                 | Quarzporphyre du Stockberg                        |
| 15203273 | Stockenflue-Kalk                                       | Calcaire de la Stockenflue                        |
| 15202306 | Stöcki-Sandstein                                       | Grès de Stöckli                                   |
| 15202199 | Straligenstöckli-Gneiskomplex                          | Complexe gneissique du Straligenstöckli           |
| 15206033 | Stratigraphische Einheit, undifferenziert              | unité stratigraphique indifférenciée              |
| 15202240 | Streifengneis-Komplex                                  | Complexe du Streifengneiss                        |
| 15202186 | Strem-Granit   | Granite du (Val) Strem                            |
| 15200639 | Studweid-Formation                                     | Formation du Studweid                             |
| 15204044 | Stugl-Member   | Membre de Stugl                                   |
| 15202319 | Subalpiner Flysch                                      | Flysch Subalpin                                   |
| 15200123 | Subfurcatum-Bank                                       | Banc à Subfurcatum                                |
| 15203257 | Submédiante-Melange                                    | Mélange Submédiann                                |
| 15203370 | Südegg-Komplex   | Compexe de Südegg                                 |

| GeolCode | Deutsch   | Français   |
|----------|---|--|
| 15202295 | Südelbach-Member                                      | Membre du Südelbach  |
| 15202004 | Südhelvetische Flyscheinheiten                        | Unités de flysch sud-helvétiques                             |
| 15202162 | Südwestlicher Aare-Granit                             | Granite sud-occidental de l'Aar                              |
| 15200520 | Sulzbach-Member                                       | Membre de Sulzbach   |
| 15200521 | Sulzbach-Nagelfluh                                    | Poudingue de Sulzbach  |
| 15203219 | Sulzfluh-Flysch                                       | Flysch de la nappe de la Sulzfluh                            |
| 15203221 | Sulzfluh-Granit                                       | Granite de la nappe de la Sulzfluh                           |
| 15203220 | Sulzfluh-Kalk   | Calcaire de la Sulzfluh                                      |
| 15203335 | Sulzgrabe-Formation                                   |  |
| 15202309 | Surbrunnen-Flysch                                     | Flysch de Surbrunnen   |
| 15202533 | Suren-Flysch  | Flysch du Suren  |
| 15206113 | Süswasserkalk, undifferenziert                        |  |
| 15206088 | Syenit, undifferenziert                               | syénite, indifférenciée                                      |
| 15200584 | Tabalcon-Kalk   |  |
| 15202443 | Taffon-Member   | Membre du Taffon   |
| 15206060 | Talkschiefer, undifferenziert                         | talcschiste, indifférencié                                   |
| 15203352 | Tamier-Zött-Wildflysch                                | Wildflysch de Tamier-Zött                                    |
| 15202570 | Tamina-Gneiskomplex                                   | Complexe gneissique de la Tamina                             |
| 15202572 | Tamina-Gneiskomplex: mylonitisch                      | Complexe gneissique de la Tamina: mylonitique                |
| 15202571 | Tamina-Gneiskomplex: schiefriger Biotitgneis          | Complexe gneissique de la Tamina: gneiss schisteux à biotite |
| 15200256 | Tannenberg-Schichten                                  | Couches de Tannenberg  |
| 15200495 | Tannenwald-Schichten                                  | Couches du Tannenwald  |
| 15203506 | Tasna-Altkristallin                                   | Socle cristallin de la nappe de la Tasna                     |
| 15203222 | Tasna-Flysch  | Flysch de la nappe de la Tasna                               |
| 15203333 | Taspegn-Gneis   |  |
| 15202011 | Taveyannaz-Formation                                  | Formation de Taveyannaz                                      |
| 15202512 | Taveyannaz-Sandstein, Dachschiefer vorherrschend      |  |
| 15203354 | Teggiolo-Kalkschiefer                                 | Calcschistes du Teggiolo                                     |
| 15206017 | Tektonische Brekzie, undifferenziert                  |  |
| 15206114 | Tektonisches Melange                                  | mélange tectonique   |
| 15202594 | Tektonisches Melange der Internen Einsiedeln-Schuppen | Mélange tectonique des écaillés internes d'Einsiedeln        |
| 15202453 | Tektonisierte Basis des Glarner-Verrucano             | base tectonisée du Verrucano de Glaris («Plagioklasgneis»)   |
| 15206089 | Tektonit, undifferenziert                             | tectonite, indifférenciée                                    |
| 15202526 | Telltistock-Granit                                    |  |
| 15202233 | Tenelin-Gneiskomplex                                  | Complexe gneissique du Piz Tenelin                           |
| 15200568 | Tenniken-Muschelagglomerat                            | Poudingue coquillier de Tenniken                             |
| 15202366 | Termen-Kalkschiefer                                   |  |
| 15202365 | Termen-Tonschiefer                                    |  |
| 15205020 | Ternate-Formation                                     | Formation de Ternate   |
| 15203349 | Terri-Schiefer  | Schistes du (Piz) Terri                                      |
| 15203373 | Terri-Schiefer_Basale                                 | Schistes basaux du (Piz) Terri                               |
| 15205071 | Tertiär des Südalpins                                 |  |
| 15205089 | Tête-de-Valpelline-Phyllit                            |  |
| 15200320 | Thun-Formation  | Formation de Thoun   |
| 15203195 | Thyon-Metagranophyr                                   | Métagranophyre de Thyon                                      |
| 15204055 | Tiaun-Brekzie   | Brèche du Tiaun  |
| 15202026 | Tierberg-Member                                       | Membre du Tierberg   |
| 15202129 | Tierces-Formation                                     | Formation des Tierces  |

| GeolCode | Deutsch                                | Français  |
|----------|--|---|
| 15200033 | Tiergarten-Member                      | Membre du Tiergarten                              |
| 15202075 | Tierwis-Formation                      | Formation de Tierwis                              |
| 15200551 | Tillerée-Schichten                     | Couches de Tillerée                               |
| 15203340 | Timun-Komplex                          |   |
| 15203130 | Tissota-Melange                        | Mélange de la Tissota                             |
| 15202516 | Toarcienschiefer                       |   |
| 15202517 | Toarcienspatkalk                       |   |
| 15202185 | Tödi-Granit                            | Granite du Tödi                                   |
| 15200247 | Todtmoos-Horbach-Gneiskomplex          | Complexe gneissique de Todtmoos-Horbach           |
| 15203180 | Tomül-Mélange                          | Mélange du Tomül                                  |
| 15204144 | Tonale-Schiefer                        | Schistes du Tonale                                |
| 15206087 | Tonalit, undifferenziert               | tonalite, indifférenciée                          |
| 15203582 | Toniger Kalkschiefer der Grava-Decke   | Schiste calcaréo-argileux de la nappe de la Grava |
| 15206106 | Tonschiefer, undifferenziert           | schiste argileux, indifférencié                   |
| 15203312 | Törbel-Gneis                           |   |
| 15205026 | Torre-Konglomerat                      | Conglomérat de Torre                              |
| 15203417 | Torrembey-Brekzie                      | Brèche de Torrembey                               |
| 15203040 | Torrent-de-Lessoc-Formation            | Formation du Torrent de Lessoc                    |
| 15202124 | Torrentalp-Member                      | Membre de la Torrentalp                           |
| 15202320 | Torrenthorn-Formation                  | Formation du Torrenthorn                          |
| 15200270 | Tösswald-Schichten                     | Couches du Tösswald                               |
| 15203493 | Totalp-Serpentinit                     | Serpentinite de la Totalp                         |
| 15200080 | Trasadingen-Bank                       | Banc de Trasadingen                               |
| 15202235 | Tremola-Gneiskomplex                   | Complexe gneissique de la Tremola                 |
| 15205047 | Tremona-Formation                      | Formation de Tremona                              |
| 15203293 | Trepsen-Flysch                         | Flysch de Trepsen                                 |
| 15203109 | Trias der Brekzien-Decke               | Trias de la nappe de la Brèche                    |
| 15203583 | Trias der Grava-Decke, undifferenziert | Trias de la nappe de la Grava, indifférencié      |
| 15203276 | Trias der Klippen-Decke                | Trias de la nappe des Préalpes Médiannes          |
| 15203014 | Trias der Niesen-Decke                 | Trias de la nappe du Niesen                       |
| 15202134 | Trias des Helvetikums                  | Trias de l'Helvétique                             |
| 15200163 | Trias des Juragebirges                 | Trias du Jura                                     |
| 15204086 | Trias des Ostalpins                    | Trias de l'Austroalpin                            |
| 15205076 | Trias des Südalpins                    |   |
| 15206029 | Trias, undifferenziert                 | Trias, indifférencié                              |
| 15203150 | Triesen-Formation                      | Flysch de Triesen                                 |
| 15202167 | Trift-Formation                        | Formation du Trift                                |
| 15203213 | Tristel-Formation                      | Formation de Tristel                              |
| 15204064 | Trochitendolomit-Member                | Trochitendolomit-Member                           |
| 15200629 | Trois-Rods-Süßwasserkalk               |   |
| 15200635 | Tröleten-Süßwasserkalk                 | Calcaire d'eau douce de Tröleten                  |
| 15203259 | Trom-Brekzie                           | Brèche de Trom                                    |
| 15202098 | Tros-Kalk                              | Calcaire de Tros                                  |
| 15203261 | Troublon-Kalk                          | Calcaire du Troublon                              |
| 15203258 | Truche-Brekzie                         | Brèche de la Truche                               |
| 15204019 | Trupchun-Member                        | Membre du (Val) Trupchun                          |
| 15203508 | Truzzo-Granit                          | Granite de Truzzo                                 |
| 15202018 | Tsanfleuron-Member                     | Membre de Tsanfleuron                             |
| 15202175 | Tscharren-Formation                    | Formation de la Tscharren                         |
| 15203203 | Tschera-Marmor                         | Marbre de la Tschera                              |



| GeolCode | Deutsch  | Français  |
|----------|--|---|
| 15204101 | Tschima-da-Flix-Granit                                       |   |
| 15200636 | Tschöplihof-Süsswasserkalk                                   | Calcaire d'eau douce du Tschöplihof               |
| 15204083 | Tschuggen-Augengneis   | Gneiss oillé de Tschuggen                         |
| 15202507 | Tuffitisches Member (Tscharren)                              | Tuffitisches Member (Tscharren)                   |
| 15200378 | Tüllingen-Süsswasserkalk                                     | Calcaire d'eau douce de Tüllingen                 |
| 15203206 | Tumpriv-Gruppe   | Groupe de la Tumpriv                              |
| 15204076 | Tuors-Member   | Membre du (Val) Tuors                             |
| 15204057 | Turettas-Member  | Membre du (Piz) Turettas                          |
| 15200569 | Turritellen-Kalk   | Calcaire à Turritelles                            |
| 15200001 | Twannbach-Formation  | Formation du Twannbach                            |
| 15202061 | Twäriberg-Bank   | Banc du Twäriberg                                 |
| 15202152 | Üblital-Formation  | Formation de l'Üblital                            |
| 15200534 | Uerscheli-Formation  | Formation d'Uerscheli                             |
| 15200278 | Uetliberg-Mergel   | Poudingue de l'Uetliberg                          |
| 15200276 | Uetliberg-Schichten  | Couches de l'Uetliberg                            |
| 15200277 | Uetliberggipfel-Nagelfluh                                    | Poudingue de l'Uetliberggipfel                    |
| 15202229 | Uffiern-Diorit   | Diorite du Val Uffiern                            |
| 15204138 | Uglix-Plattenkalk  | Calcaire d'Uglix                                  |
| 15200406 | Ulmiz-Quarzitnagelfluh                                       | Poudingue quarzitique d'Ulmiz                     |
| 15202279 | Ultrahelvetische Flyscheinheiten                             | Unités de flysch ultrahelvétiques                 |
| 15206057 | Ultramafische Gesteine                                       | roche ultramafique                                |
| 15203469 | Ultramafit der Métailler-Formation                           | Roches ultramafiques de la Formation du Métailler |
| 15205116 | Ultramafitit der Arolla-Gruppe                               | Roche ultramafique du Groupe d'Arolla             |
| 15200353 | UMM-I  | UMM-I   |
| 15200351 | UMM-II   | UMM-II  |
| 15200349 | UMM-III  | UMM-III   |
| 15200362 | UMM-J  | UMM-J   |
| 15202245 | Undifferenzierte Kristallingesteine                          | roches cristallines indifférenciées               |
| 15202469 | Undifferenziertes Kristallin des Helvetikums                 | Socle cristallin indifférencié de l'Helvétique    |
| 15200453 | Unité Inférieure Oolithique (UIO)                            | Unité Inférieure Oolithique (UIO)                 |
| 15200452 | Unité Moyenne Calcaire (UMC)                                 | Unité Moyenne Calcaire (UMC)                      |
| 15202485 | Unter-der-Flue-Fazies  | faciès d'Unter-der-Flue                           |
| 15200048 | Unter-Erli-Bank  | Banc d'Unter Erli                                 |
| 15200555 | Unter-Lochsiti-Nagelfluh                                     | Poudingue d'Unter Lochsiti                        |
| 15200473 | Untere-Felsenkalke-Formation                                 | Untere-Felsenkalke-Formation                      |
| 15200201 | Untere Acuminata-Schichten                                   | Couches à Acuminata inférieures                   |
| 15203106 | Untere Brekzie   | Brèche Inférieure                                 |
| 15200560 | Untere Bunte Molasse des Jurasüdfusses                       | Molasse bariolée inférieure                       |
| 15202284 | Untere Flyschabfolge (Sardona)                               | Untere Flyschabfolge (Sardona)                    |
| 15202396 | Untere Götzis-Bank   | Banc de Götzis inférieur                          |
| 15203248 | Untere Kalk- und Tonschiefer der Zone Piz Terri - Lunschania | Untere Kalk- und Tonschiefer (Grava/Tomül)        |
| 15203108 | Untere Kalke   | Calcaires Inférieurs                              |
| 15200348 | Untere Meeresmolasse (UMM)                                   | Molasse marine inférieure (UMM)                   |
| 15200062 | Untere Oolithische Serie (Oolithe Subcompacte)               | Série oolitique inférieure (Oolithe Subcompacte)  |
| 15203281 | Untere Rauwacke der Klippen-Decke                            | Cornieule Inférieure                              |
| 15202536 | Untere Sandsteine (Spirstock)                                | Untere Sandsteine (Spirstock)                     |
| 15203107 | Untere Schiefer  | Schistes Inférieurs                               |

| GeolCode | Deutsch                            | Français  |
|----------|------------------------------------|---|
| 15200138 | Untere Sulfatzone                  | Untere Sulfatzone (Fm. de Zeglingen)            |
| 15200314 | Untere Süsswassermolasse (USM)     | Molasse d'eau douce inférieure (USM)            |
| 15203122 | Untere Tonsteinschichten           | Untere Tonsteinschichten (Flysch des Schlieren) |
| 15205100 | Unterer Meride-Kalk                | Partie inférieure du Calcaire de Meride         |
| 15202303 | Unterer Quintner Kalk              | «Unterer Quinten-Kalk»                          |
| 15200219 | Unterer Schuttfächer               | Unterer Schuttfächer (Fm. de Weitenau)          |
| 15200076 | Unterer Stein                      | Unterer Stein (Fm. de la Staffelegg)            |
| 15200382 | Unterer Teil des Hauptrogensteins  | Partie inférieure du Hauptrogenstein            |
| 15200018 | Unterer Virgula-Mergel             | Marnes à Virgula inférieures                    |
| 15204073 | Unteres Member der Fuorn-Formation | Membre inférieur de la Fm. du Fuorn             |
| 15202341 | Unterwassern-Gneis                 | Gneiss d'Unterwassern                           |
| 15204100 | Ur-Brekzie                         |   |
| 15200289 | Urdorf-Bentonit                    | Bentonite d'Urdorf                              |
| 15200335 | USM-I                              | USM-I   |
| 15200329 | USM-II                             | USM-II  |
| 15200326 | USM-III                            | USM-III   |
| 15200589 | USM-III bis OSM-I                  |   |
| 15200341 | USM-J                              | USM-J   |
| 15200183 | Uttins-Mergel                      | Marne des Uttins                                |
| 15200405 | Utzigen-Muschelsandstein           | Grès coquillier d'Utzigen                       |
| 15200021 | Vabenau-Member                     | Membre de Vabenau                               |
| 15203539 | Vacarisc-Gneis                     | Gneiss de Vacarisc                              |
| 15203151 | Vaduz-Flysch                       | Flysch de Vaduz                                 |
| 15202212 | Val-Bérard-Gneiskomplex            | Complexe gneissique du Val Bérard               |
| 15203513 | Val-Chironico-Gneis                | Gneiss du Val Chironico                         |
| 15202289 | Val-d'Illiez-Sandstein             | Grès du Val-d'Illiez                            |
| 15202488 | Val-da-Surplattas-Diorit           | Diorite du Val da Surplattas                    |
| 15202192 | Val-Gliems-Formation               | Formation du Val Gliems                         |
| 15205013 | Val-Grande-Sandstein               | Grès du Val Grande                              |
| 15202349 | Val-Gronda-Augengneis              | Gneiss oëillé du Val Gronda                     |
| 15202225 | Val-Lavaz-Gruppe                   | Groupe du Val Lavaz                             |
| 15206011 | Val-Masino-Granodiorit             |   |
| 15204074 | Val-Müstair-Gruppe                 | Groupe du Val Müstair                           |
| 15202346 | Val-Nalps-Gneiskomplex             | Complexe gneissique du Val Nalps                |
| 15202265 | Val-Pigniu-Gneiskomplex            | Complexe gneissique du Val Pigniu               |
| 15204077 | Val-Püra-Member                    | Membre du Val Püra                              |
| 15202231 | Val-Rondadura-Gruppe               | Groupe du Val Rondadura                         |
| 15204122 | Val-Rude-Orthogneis                | Orthogneiss du Val Rude                         |
| 15203484 | Val-Sabbia-Formation               | Formation du Val Sabbia                         |
| 15205059 | Val-Serrata-Tuffite                | Tuffite du Val Serrata                          |
| 15202276 | Val-Stgira-Riffmarmor              | Marbre du Val Stgira                            |
| 15202272 | Val-Tremola-Granit                 | Granite du Val Tremola                          |
| 15204040 | Valbella-Member                    | Membre de la Valbella                           |
| 15203459 | Valgrande-Paragneis                | Paragneiss de Vagrande                          |
| 15204054 | Vallatscha-Formation               | Formation du (Piz) Vallatscha                   |
| 15204056 | Vallatscha-Member                  | Membre du (Piz) Vallatscha                      |
| 15200093 | Vallorbe-Member                    | Formation de Vallorbe                           |
| 15202204 | Vallorcine-Granit                  | Granite de Vallorcine                           |

| GeolCode | Deutsch                                      | Français  |
|----------|--|---|
| 15202156 | Vallorcine-Konglomerat                       | Conglomérat de Vallorcine                               |
| 15205007 | Valpelline-Serie                             | Série de Valpelline                                     |
| 15203170 | Valzeina-Formation                           | Formation de Valzeina                                   |
| 15203043 | Vanil-Carré-Member                           | Membre du Vanil Carré                                   |
| 15203359 | Vanis-Formation                              | Formation des Vanis                                     |
| 15204094 | Varaina-Schiefer                             |   |
| 15205027 | Varesotto-Flysch                             | Flysch du Varesotto                                     |
| 15200484 | Variansmergel-Formation                      | Variansmergel-Formation                                 |
| 15203474 | Variszische Intrusiva der<br>Maggia-Decke    | Roches intrusives varisques de la<br>nappe de la Maggia |
| 15205128 | Variszische Intrusiva der<br>Margna-Sella    | roches intrusives de la nappe de la<br>Margna-Sella     |
| 15203460 | Variszische Intrusiva des<br>Briançonnais    | Roches intrusives varisques du<br>Briançonnais          |
| 15204132 | Variszische Intrusiva des Ostalpins          | roches intrusives varisques de<br>l'Austroalpin         |
| 15205079 | Variszische Intrusiva des Südalpins          | roches intrusives varisques du<br>Sudalpin              |
| 15200617 | Variszisches Grundgebirge der<br>Nordschweiz |   |
| 15202467 | Variszisches Kristallin des<br>Helvetikums   | Variszisches Kristallin des<br>Helvetikums              |
| 15202400 | Vättis-Fossilbrekzie                         | Brèche fossilifère de Vättis                            |
| 15200443 | Vauglène-Bänke                               | Couches de Vauglène                                     |
| 15204108 | Vaüglia-Granodiorit                          | Granodiorite de Vaüglia                                 |
| 15200554 | Vaulruz-Formation (UMM-II+III<br>undiff.)    | Formation de Vaulruz (UMM-II+III<br>indiff.)            |
| 15200004 | Vellerat-Formation                           | Formation de Vellerat                                   |
| 15203044 | Verdy-Member                                 | Membre du Verdy   |
| 15200189 | Verena-Member                                | Membre de Ste-Vérène                                    |
| 15203314 | Vergeletto-Gneis                             |   |
| 15200305 | Vermes-Süßwasserkalk                         | Calcaire d'eau douce de Vermes                          |
| 15202154 | Vernayaz-Formation                           | Formation de Vernayaz                                   |
| 15200439 | Vernettes-Sandstein                          | Grès des Vernettes                                      |
| 15202143 | Verrucano-Gruppe                             | Groupe du Verrucano                                     |
| 15205064 | Verrucano Lombardo                           | Verrucano Lombardo                                      |
| 15203161 | Versoyen-Schichten                           | Couches du Versoyen                                     |
| 15203231 | Verspala-Formation                           | Formation de la Verspala                                |
| 15206058 | Verwitterter Fels, undifferenziert           | roche altérée, indifférenciée                           |
| 15203295 | Verzasca-Gneis                               |   |
| 15202430 | Veveyse-de-Châtel-Member                     | Membre de la Veveyse de Châtel                          |
| 15202140 | Vieux-Emosson-Formation                      | Formation du Vieux Emosson                              |
| 15203501 | Vignun-Gneis                                 | Gneiss de Vignone                                       |
| 15205019 | Villa-Olmo-Konglomerat                       | Conglomérat de Villa Olmo                               |
| 15202429 | Villarbeney-Formation                        | Formation de Villarbeney                                |
| 15200451 | Villers-Schichten                            | Couches de Villers                                      |
| 15200105 | Villigen-Formation                           | Formation de Villigen                                   |
| 15200100 | Vions-Formation                              | Formation de Vions                                      |
| 15202209 | Viséen                                       | Viséen des Aiguilles Rouges                             |
| 15202090 | Vitznau-Mergel                               | Marne de Vitznau  |
| 15203202 | Vizan-Brekzie                                | Brèche du Vizan   |
| 15200179 | Vogesensandstein                             | Grès des Vosges   |
| 15203296 | Vogorno-Gneis                                |   |
| 15203285 | Voirons-Flysch                               | Flysch des Voirons                                      |

| GeolCode | Deutsch                                      | Français  |
|----------|--|---|
| 15203288 | Voirons-Sandstein                            | Grès des Voirons                                    |
| 15202182 | Voralp-Granit                                | Granite de la Voralp                                |
| 15202569 | Voralp-Granit: saure Randfazies              | Granite de la Voralp: faciès acide de bordure       |
| 15203143 | Vorarlberg-Flysch                            | Flysch du Vorarlberg                                |
| 15200032 | Vorbours-Member                              | Membre du Vorbours                                  |
| 15203287 | Vouan-Konglomerat                            | Conglomérat du Vouan                                |
| 15200013 | Vouglans-Member                              | Membre de Vouglans                                  |
| 15200437 | Vraconne-Sandstein                           | Grès de la Vraconne                                 |
| 15200153 | Vuache-Formation                             | Formation du Vuache                                 |
| 15202434 | Vuavres-Member                               | Membre des Vuavres                                  |
| 15203056 | Vudalla-Formation                            | Formation de la Vudalla                             |
| 15206078 | Vulkanische Gesteine, undifferenziert        | roche volcanique, indifférenciée                    |
| 15202023 | Wagenmoos-Bänke                              | Couches du Wagenmoos                                |
| 15203283 | Wägital-Flysch                               | Flysch du Wägital                                   |
| 15203566 | Wägital-Flysch: basaler, tektonisierter Teil | Flysch du Wägital: partie basale, tectonisée        |
| 15203564 | Wägital-Flysch: oberer Teil (Paläogen)       | Flysch du Wägital: partie supérieure (Paléogène)    |
| 15203565 | Wägital-Flysch: unterer Teil (Kreide)        | Flysch du Wägital: partie inférieure (Crétacé)      |
| 15200067 | Waldenburg-Member                            | Membre de Waldenburg                                |
| 15202375 | Waltensburg-Verrucano                        |   |
| 15200388 | Wanderblock-Bildungen                        | Dépôts de blocs pérégrins (Wanderblock-Bildungen)   |
| 15203087 | Wandfluh-Mikrofazies                         | Microfaciès de la Wandfluh                          |
| 15202299 | Wang-Brekzie                                 | Brèche de Wang                                      |
| 15202048 | Wang-Formation                               | Formation de Wang                                   |
| 15200659 | Wangen- und Letzi-Member, undifferenziert    | Membres de Wangen et du Letzi, indifférenciés       |
| 15202014 | Wängen-Kalk                                  | Calcaire de Wängen                                  |
| 15202591 | Wängen-Kalk, Lithothamnienkalk-Fazies        | Calcaire de Wängen, faciès calcaire à Lithothamnies |
| 15200110 | Wangen-Member                                | Membre de Wangen                                    |
| 15200500 | Wangen-Tuffit                                | Tuffite de Wangen                                   |
| 15200106 | Wangental-Member                             | Membre du Wangental                                 |
| 15202056 | Wannenalp-Bank                               | Banc de la Wannenalp                                |
| 15200491 | Wedelsandstein-Formation                     | Wedelsandstein-Formation                            |
| 15200543 | Weggis-Formation                             | Formation de Weggis                                 |
| 15200252 | Wehratal-Syenit                              | Syénite du Wehratal                                 |
| 15200287 | Wehrenbach-Höckler-Süsswasserkalk            | Calcaire d'eau douce du Wehrenbach-Höckler          |
| 15200159 | Weiach-Formation                             | Formation de Weiach                                 |
| 15200656 | Weilergraben-Formation                       | Formation du Weilergraben                           |
| 15203132 | Weissenburg-Flysch                           | Flysch de la Weissenburg                            |
| 15200085 | Weissenstein-Member                          | Membre du Weissenstein                              |
| 15202321 | Weissgandstöckli-Bank                        | Banc du Weissgandstöckli                            |
| 15203452 | Weissmies-Paragneis                          | Paragneiss du Weissmies                             |
| 15200158 | Weitenau-Formation                           | Formation de Weitenau                               |
| 15200142 | Wellendolomit                                | Wellendolomit                                       |
| 15200141 | Wellenkalk / Wellenmergel                    | Wellenkalk / Wellenmergel                           |
| 15202165 | Wendenjoch-Formation                         | Formation du Wendenjoch                             |
| 15200103 | Wettigen-Member                              | Membre de Wettingen                                 |

| GeolCode | Deutsch  | Français  |
|----------|--|---|
| 15200251 | Wiesen-Wehratal-Komplex                                | Complexe du Wiesental-Wehratal                                      |
| 15200157 | Wiesental-Formation                                    | Formation du Wiesental  |
| 15200114 | Wildeggen-Formation                                    | Formation de Wildeggen  |
| 15203028 | Wildenbach-Member                                      | Membre du Wildenbach  |
| 15203280 | Wildgrimmi-Member                                      | Membre du Wildgrimmi  |
| 15202003 | Wildhaus-Melange                                       | Mélange de Wildhaus   |
| 15202024 | Wildstrubel-Formation                                  | Formation du Wildstrubel  |
| 15202166 | Windgällen-Formation                                   | Formation des Windgällen  |
| 15202505 | Windgällen-Formation, Mikrogranit                      | Microgranite de la Windgällenlücke                                  |
| 15202327 | Windgällen-Formation, Rhyolith                         | Rhyolithe de la Chli Windgällen                                     |
| 15202105 | Windgällen-Member                                      | Membre des Windgällen   |
| 15202224 | Winterhorn-Granit                                      | Granite du Winterhorn   |
| 15200539 | Wintersberg-Member                                     | Membre du Wintersberg   |
| 15200284 | Winterthur-Bentonit                                    | Bentonite de Winterthur   |
| 15203095 | Wiriehorn-Formation                                    | Formation du Wiriehorn  |
| 15203204 | Wissberg-Brekzie                                       | Brèche du Wissberg  |
| 15200633 | Wissenbach-Süsswasserkalk                              | Calcaire d'eau douce du Wissenbach                                  |
| 15200197 | Wittnau-Korallenkalk                                   | Calcaire à coraux de Wittnau  |
| 15200477 | Wohlgeschichtete-Kalke-Formation                       | Wohlgeschichtete-Kalke-Formation                                    |
| 15200631 | Wolhusen-Bentonit                                      | Bentonite de Wolhusen   |
| 15200122 | Wuerttembergica-Schichten                              | Couches à Wuerttembergica   |
| 15200508 | Wulp-Rotzone   | Rotzone Wulp  |
| 15200483 | Wutach-Formation                                       | Wutach-Formation  |
| 15200347 | Wynau-Süsswasserkalk                                   | Calcaire d'eau douce de Wynau                                       |
| 15202196 | Zäsenberg-Gneis  | Gneiss du Zäsenberg   |
| 15200135 | Zeglingen-Formation                                    | Formation de Zeglingen  |
| 15202603 | Zementstein- bis Garschella-Formation, undifferenziert | Formation du Zementstein à Formation de Garschella, indifférenciées |
| 15200470 | Zementmergel-Formation                                 | Zementmergel-Formation  |
| 15202093 | Zementstein-Formation                                  | Formation du Zementstein  |
| 15202160 | Zentraler Aare-Granit                                  | Granite central de l'Aar  |
| 15203253 | Zervreila-Granitgneis                                  | Orthogneiss de Zervreila  |
| 15202586 | Zettenalp-Trochematt-Melange                           | Mélange de la Zettenalp-Trochematt                                  |
| 15204025 | Zirmenkopf-Kalk  | Calcaire du Zirmenkopf  |
| 15206014 | Zocca-Aplit  |   |
| 15205135 | Zona Dioritico-Kinzigitica                             | Zona Dioritico-Kinzigitica  |
| 15200557 | Zone der Schiefermergel (der St.-Gallen-Fm.)           | Zone der Schiefermergel (Fm. de Saint-Gall)                         |
| 15203075 | Zoophycos-Schichten                                    | Couches à Zoophycos (Fm. du Stanserhorn)                            |
| 15205046 | Zu-Kalk  | Calcaire de Zu  |
| 15200186 | Zuckerkörniger Kalk                                    | Calcaire saccharoïde  |
| 15203262 | Zünegg-Knollenkalk                                     | Calcaire noduleux de la Zünegg                                      |
| 15200281 | Zürich-Schichten                                       | Couches de Zürich   |
| 15200678 | Zurzach-Granit   |   |
| 15206094 | Zweiglimmergneis, undifferenziert                      | gneiss à deux micas, indifférencié                                  |
| 15203528 | Zwischenmythen-Mergel                                  | Marne de Zwischenmythen   |
| 999997   | Unknown  | inconnu   |
| 999998   | Not applicable   | not applicable  |

## 10 Annexe GC\_LITSTRAT\_UNCO\_CD

Table des valeurs des unités lithostratigraphiques

| GeolCode | Deutsch  | Français                                  |
|----------|--|---|
| 15201044 | 1. letzteiszeitlichs Vorstoss                      | 1ère avancée glaciaire de la              |
| 15201043 | 2. letzteiszeitlichs Vorstoss                      | Dernière Période glaciaire                |
| 15201210 | Aabach-Schotter                                    | 2ème avancée glaciaire de la              |
| 15201055 | Aarau-Schotter                                     | Dernière Période glaciaire                |
| 15201167 | Aarburg-Schotter                                   | Gravier de l'Aabach                       |
| 15201136 | Aare-Schotter                                      | Gravier d'Aarau                           |
| 15201271 | Aatal-Seebodenlehm                                 | Gravier d'Aarburg                         |
| 15201075 | Aathal-Schotter                                    | Gravier de l'Aar                          |
| 15201540 | Alluvion von Ransun                                | Gravier de l'Aathal                       |
| 15201012 | Altberg-Till                                       | Alluvion de Ransun                        |
| 15201183 | Alte Doubsschotter                                 | Till de l'Altberg                         |
| 15201135 | Altenburg-Fulach-Terrasse                          | Gravier ancien du Doubs                   |
| 15201001 | Ältere Ablagerungen,<br>undifferenziert            | terrasse d'Altenburg-Fulach               |
| 15201071 | Ältere Beckenfüllungen                             | Dépôts indifférenciés précédant le        |
| 15201189 | Alterswil-Schotter                                 | Dernier Maximum Glaciaire                 |
| 15201028 | Ämmert-Schotter                                    | Anciens remplissages de bassin            |
| 15201029 | Ämmert-Till  | Gravier d'Alterswil                       |
| 15201512 | Ämmet-Schotter                                     | Gravier d'Ämmert                          |
| 15201160 | Attiswil-Schotter                                  | Till d'Ämmert                             |
| 15201326 | Bachschutt der Gamsa                               | Gravier d'Attiswil                        |
| 15201331 | Bachschutt der Gürbe                               | dépôts torrentiels de la Gamsa            |
| 15201328 | Bachschutt der Lonza                               | dépôts torrentiels de la Gürbe            |
| 15201329 | Bachschutt der Saltina                             | dépôts torrentiels de la Lonza            |
| 15201330 | Bachschutt der Vispa                               | dépôts torrentiels de la Saltina          |
| 15201323 | Bachschutt des Baltschiederbachs                   | dépôts torrentiels de la Viège            |
| 15201324 | Bachschutt des Bietschbachs                        | dépôts torrentiels du Baltschiederatal    |
| 15201325 | Bachschutt des Chelchbachs                         | dépôts torrentiels du Bietschbach         |
| 15201327 | Bachschutt des Jolibachs                           | dépôts torrentiels du Chelchbach          |
| 15201332 | Bachschutt des Lombachs                            | dépôts torrentiels du Jolibach            |
| 15201550 | Balm-Schotter                                      | dépôts torrentiels du Lombach             |
| 15201248 | Bänkel-Schotter                                    | Gravier de Balm                           |
| 15201548 | Bannhalden-Schotter                                | Gravier de Bänkel                         |
| 15201256 | Bannholz-Schotter                                  | Gravier de Bannhalden                     |
| 15201097 | Bärengaben-Schotter und -Till                      | Gravier du Bannholz                       |
| 15201336 | Bärenholz-Till                                     | Gravier et Till du Bärengaben             |
| 15201194 | Bennau-Schotter                                    | Till du Bärenholz                         |
| 15201017 | Berg-Schotter                                      | Gravier de Bennau                         |
| 15201532 | Bergsturzablagerung von Bargis                     | Gravier de Berg                           |
| 15201533 | Bergsturzablagerung von Fidaz                      | dépôt d'éboulement de Bargis              |
| 15201531 | Bergsturzablagerung von Ralligen<br>(im Thunersee) | dépôt d'éboulement de Fidaz               |
| 15201299 | Bergsturzablagerungen vom Chapf                    | Dépôt d'écroulement de Ralligen           |
| 15201302 | Bergsturzablagerungen vom<br>Delenwald             | (dans le lac de Thoune)                   |
| 15201301 | Bergsturzablagerungen vom<br>Drussetschawald       | dépôt d'écroulement de Chapf              |
|          |  | dépôt d'écroulement du Delenwald          |
|          |  | dépôt d'écroulement du<br>Drussetschawald |

| GeolCode | Deutsch                                       | Français  |
|----------|---|---|
| 15201306 | Bergsturzablagerungen vom Kernwald            | dépôt d'écroulement du Kernwald                                     |
| 15201460 | Bergsturzablagerungen vom Stützwald           | dépôt d'écroulement du Stützwald                                    |
| 15201296 | Bergsturzablagerungen von Brienz              | dépôt d'écroulement de Brienz                                       |
| 15201298 | Bergsturzablagerungen von Brüsis              | dépôt d'écroulement de Brüsis                                       |
| 15201291 | Bergsturzablagerungen von Castasegna          | dépôt d'écroulement de Castasegna                                   |
| 15201288 | Bergsturzablagerungen von Chessel-Noville     | dépôt d'écroulement de Chessel-Noville                              |
| 15201287 | Bergsturzablagerungen von Chiètres            | dépôt d'écroulement de Chiètres                                     |
| 15201300 | Bergsturzablagerungen von Derborence          |   |
| 15201303 | Bergsturzablagerungen von Elm                 | dépôt d'écroulement d'Elm   |
| 15201297 | Bergsturzablagerungen von Flims               | dépôt d'écroulement de Flims  |
| 15201304 | Bergsturzablagerungen von Goldau              | dépôt d'écroulement de Goldau                                       |
| 15201290 | Bergsturzablagerungen von Gwelber-Lau-Weid    | dépôt d'écroulement de Gwelber-Lau-Weid                             |
| 15201305 | Bergsturzablagerungen von Iragell             | dépôt d'écroulement d'Iragell                                       |
| 15201295 | Bergsturzablagerungen von Mutta               | dépôt d'écroulement de Mutta  |
| 15201289 | Bergsturzablagerungen von Novalles-Vugelles   | dépôt d'écroulement de Novalles-Vugelles                            |
| 15201293 | Bergsturzablagerungen von Prapan              | dépôt d'écroulement de Prapan                                       |
| 15201294 | Bergsturzablagerungen von Schaingels          | dépôt d'écroulement de Schaingels                                   |
| 15201286 | Bergsturzablagerungen von Sierre              | dépôt d'écroulement de Sierre                                       |
| 15201292 | Bergsturzablagerungen von Sogno               | dépôt d'écroulement de Sogno  |
| 15201310 | Bergsturzablagerungen von Tamins              | dépôt d'écroulement de Tamins                                       |
| 15201307 | Bergsturzablagerungen von Triesenberg         | dépôt d'écroulement de Triesenberg                                  |
| 15201053 | Beringen-Eiszeit                              | Période glaciaire de Beringen<br>(Avant-dernière Période glaciaire) |
| 15201164 | Berken-Sand                                   | Sable de Berken   |
| 15201163 | Berken-Schotter                               | Gravier de Berken   |
| 15201156 | Bersturzmasse von Selzach                     | Dépôt d'écroulement de Selzach                                      |
| 15201523 | Beuggen-Schotter                              |   |
| 15201153 | Bick-Till                                     | Till du Bick(acher)   |
| 15201263 | Bire-Bergsturzablagerungen                    |   |
| 15201462 | Birkenhof-Formation                           |   |
| 15201009 | Birmenstorf-Vergletscherung (2. LGM-Vorstoss) | Glaciation de Birmenstorf   |
| 15201013 | Birmenstorf-Vorstoss                          | Avancée glaciaire de Birmenstorf                                    |
| 15201014 | Birr-Schotter                                 | Gravier de Birr   |
| 15201052 | Birrfeld- und Klettgau-Paläoböden             | Paléosols du Birrfeld et du Klettgau                                |
| 15201006 | Birrfeld-Eiszeit (Letzte Eiszeit)             | Période glaciaire du Birrfeld<br>(Dernière Période glaciaire)       |
| 15201255 | Bohlingen-Schotter                            | Gravier de Bohlingen  |
| 15201308 | Bonaduz-Formation                             | Formation de Bonaduz  |
| 15201309 | Bonfol-Ton                                    | Argile de Bonfol  |
| 15201465 | Böschmatt-Schotter                            |   |
| 15201466 | Bramegg-Schotter                              |   |
| 15201221 | Brandflue-Schotter                            | Gravier de la Brandflue   |
| 15201150 | Breite-Terrasse                               | terrasse de la Breite   |

| GeolCode | Deutsch                         | Français                          |
|----------|---------------------------------|-----------------------------------|
| 15201520 | Bruderhäusle-Schotter           |                                   |
| 15201339 | Brüggstutz-Schotter             | Gravier du Brüggstutz             |
| 15201120 | Buechen-Formation               | Formation de Buechen              |
| 15201470 | Büel-Schotter                   |                                   |
| 15201469 | Büelm-Schotter                  |                                   |
| 15201085 | Buerfeld-Schotter               | Gravier du Buerfeld               |
| 15201471 | Bünten-Schotter                 |                                   |
| 15201094 | Bünten-Till                     | Till de Bünten                    |
| 15201558 | Burgacher-Schotter              | Gravier de Burgacher              |
| 15201243 | Butteberg-Schotter              | Gravier du Butteberg              |
| 15201458 | Ceppo                           | Ceppo                             |
| 15201233 | Chälen-Schotter                 | Gravier de Chälen                 |
| 15201234 | Chälen-Till                     | Till de Chälen                    |
| 15201559 | Chatzenstig-Schotter            | Gravier du Chatzenstig            |
| 15201223 | Chatzenstrick-Schotter          | Gravier du Chatzenstrick          |
| 15201258 | Chilchstapfen-Schotter          | Gravier de la Chilchstapfen       |
| 15201191 | Chisetel-Schotter               | Gravier du Chisetel               |
| 15201242 | Chräjeloch-Schotter             | Gravier du Chräjeloch             |
| 15201214 | Dagmersellen-Vorstoss           | Avancée glaciaire de Dagmersellen |
| 15201250 | Deckenschotter, undifferenziert | Deckenschotter, indifférencié     |
| 15201116 | Degermoos-Schotter              | Gravier de Degermoos              |
| 15201115 | Dürn-Formation                  | Formation du Dürn                 |
| 15201472 | Durnagel-Schotter               |                                   |
| 15201473 | Dürrenroth-Schotter             |                                   |
| 15201117 | Ebnet-Schotter                  | Gravier de l'Ebnet                |
| 15201123 | Egg-Schotter                    | Gravier de l'Egg                  |
| 15201119 | Egghalden-Schotter              | Gravier de l'Egghalden            |
| 15201547 | Eggholz-Formation               | Formation de l'Eggholz            |
| 15201474 | Egghüsli-Schotter               |                                   |
| 15201197 | Einsiedeln-Lehm                 | Limon d'Einsiedeln                |
| 15201546 | Ellikerholz-Formation           | Formation de l'Ellikerholz        |
| 15201284 | Embrach-Seeablagerungen         |                                   |
| 15201144 | Emme-Schotter                   | Gravier de l'Emme                 |
| 15201475 | Emmental-Schotter               |                                   |
| 15201030 | Emmet-Vorstoss                  | Avancée glaciaire d'Emmet         |
| 15201180 | Endingen-Schotter               | Gravier d'Endingen                |
| 15201159 | Enge-Schotter                   | Gravier de l'Enge                 |
| 15201065 | Engiwald-Vorstoss               | Avancée glaciaire de l'Engiwald   |
| 15201054 | Entfelden-Schotter              | Gravier d'Entfelden               |
| 15201476 | Ergolztal-Schotter              |                                   |
| 15201510 | Ermensee-Schotter               |                                   |
| 15201272 | Eschenbach-Formation            |                                   |
| 15201265 | Fankhusgrabe-Schotter           |                                   |
| 15201524 | Feldhof-Schotter                |                                   |
| 15201121 | Feusi-Schotter                  | Gravier du Feusi                  |
| 15201096 | Fisibach-Schotter               | Gravier de Fisibach               |
| 15201262 | Fisistock-Bergsturzablagerungen |                                   |
| 15201174 | Fislisbach-Schotter             | Gravier de Fislisbach             |
| 15201154 | Flüe-Till                       | Till de Flüe                      |
| 15201011 | Flüefeld-Schotter               | Gravier du Flüefeld               |
| 15201146 | Flumenthal-Lehm                 | Limon du Flumenthal               |
| 15201051 | Flurlingen-Quelltuff            | Tuf calcaire de Flurlingen        |
| 15201106 | Forenirchel-Schotter            | Gravier du Forenirchel            |
| 15201105 | Fornech-Schotter                | Gravier de la Fornech             |



| GeolCode | Deutsch                                      | Français   |
|----------|--|--|
| 15201018 | Fornholz-Till                                | Till de Fornholz                                     |
| 15201217 | Forst-Schotter                               | Gravier du Forst                                     |
| 15201477 | Gammenthal-Schotter                          |  |
| 15201145 | Gäu-Schotter                                 | Gravier du Gäu                                       |
| 15201079 | Geisslingen-Schotter                         | Gravier de Geisslingen                               |
| 15201251 | Girenbad-Schotter                            | Gravier du Girenbad                                  |
| 15201047 | Glazi-lakustrische Serie                     | Série glaciolacustre (Gravier du Klettgau)           |
| 15201343 | Glütschtal-Formation                         | Formation du Glütschtal                              |
| 15201478 | Gondiswil-Formation                          |  |
| 15201050 | Gondiswil-Interglazial (Letztes Integlazial) | Interglaciaire de Gondiswil (Dernier Interglaciaire) |
| 15201203 | Gontenschwil-Lehm                            | Limon de Gontenschwil                                |
| 15201020 | Gontenschwil-Till                            | Till de Gontenschwil                                 |
| 15201019 | Gontenschwil-Vorstoss                        | Avancée glaciaire de Gontenschwil                    |
| 15201038 | Gossau-Interstadial                          | Interstade de Gossau                                 |
| 15201169 | Grandson-Formation                           | Formation de Grandson                                |
| 15201083 | Gränichen-Schotter                           | Gravier de Gränichen                                 |
| 15201192 | Grauholz-Schotter                            | Gravier du Grauholz                                  |
| 15201267 | Grundtal-Schotter                            |  |
| 15201232 | Gubel-Schotter                               | Gravier de Gubel                                     |
| 15201275 | Gublen-Schotter                              |  |
| 15201031 | Gündelmoos-Lehm                              | Limon de Gündelmoos                                  |
| 15201341 | Guntelsei-Schotter                           | Gravier de la Guntelsei                              |
| 15201340 | Guntelsei-Till                               | Till de la Guntelsei                                 |
| 15201274 | Günterstall-Schotter                         |  |
| 15201240 | Gutsch-Schotter                              | Gravier du Gutsch                                    |
| 15201082 | Habsburg-Eiszeit                             | Période glaciaire de Habsburg                        |
| 15201080 | Habsburg-Hagenholz-Interglazial              | Interglaciaire Habsburg-Hagenholz                    |
| 15201088 | Habsburg-Schotter                            | Gravier de Habsburg                                  |
| 15201086 | Habsburg-Vergletscherung                     | Glaciation de Habsburg                               |
| 15201087 | Habsburg-Vorstoss                            | Avancée glaciaire de Habsburg                        |
| 15201072 | Hagenholz-Eiszeit                            | Période glaciaire du Hagenholz                       |
| 15201073 | Hagenholz-Vergletscherung                    | Glaciation du Hagenholz                              |
| 15201074 | Hagenholz-Vorstoss                           | Avancée glaciaire du Hagenholz                       |
| 15201506 | Hagnau-Niveau                                |  |
| 15201344 | Hahni-Schotter                               | Gravier de Hahni                                     |
| 15201530 | Hahni-Till                                   | Till de Hahni  |
| 15201278 | Halden-Seeablagerungen                       |  |
| 15201208 | Haselbach-Schotter                           | Gravier du Haselbach                                 |
| 15201479 | Hasewald-Schotter                            |  |
| 15201264 | Hasle-Schotter                               |  |
| 15201270 | Haslentobel-Schotter                         |  |
| 15201564 | Hasli-Formation                              | Formation de Hasli                                   |
| 15201177 | Hausen-Lehm                                  | Limon de Hausen                                      |
| 15201178 | Hausen-Moräne                                | Till de Hausen                                       |
| 15201245 | Heitere-Schotter                             | Gravier de Heitere                                   |
| 15201515 | Heubeerihübel-Schotter                       |  |
| 15201480 | Hirzmatt-Schotter                            |  |
| 15201244 | Höchi-Schotter                               | Gravier du Höchi                                     |
| 15201003 | Hochterrasse                                 | Hochterrasse   |
| 15201464 | Höhenschotter                                |  |
| 15201005 | Höhere Deckenschotter                        | Höhere Deckenschotter                                |
| 15201246 | Holziken-Schotter                            | Gravier de Holziken                                  |

| GeolCode | Deutsch   | Français  |
|----------|---|---|
| 15201513 | Homberg-Till  |   |
| 15201041 | Hombrechtikon-Vergletscherung<br>(Frühletzteiszeitliche Vergl.) | Glaciation de Hombrechtikon                       |
| 15201257 | Hungerbol-Schotter  | Gravier d'Hungerbol                               |
| 15201195 | Hütten-Schotter   | Gravier de Hütten                                 |
| 15201098 | Iberig-Schotterkomplex  | Gravier de l'Iberig                               |
| 15201032 | Igliste-Schotter  | Gravier d'Igliste                                 |
| 15201311 | Informell benannte<br>Bergsturzlagerungen                       | dépôts d'écroulement nommés<br>informellement     |
| 15201319 | Informell benannte fluviatile<br>Schotter                       | graviers fluviatiles nommés<br>informellement     |
| 15201312 | Informell benannte künstliche<br>Ablagerungen                   | dépôts artificiels nommés<br>informellement       |
| 15201317 | Informell benannte<br>Sackungsmassen                            | masses tassées nommées<br>informellement          |
| 15201322 | Informell benannter Bachschutt                                  | dépôts torrentiels nommés<br>informellement       |
| 15201111 | Irchel-Dolomitschotter  | Gravier dolomitique de l'Irchel                   |
| 15201108 | Irchel-Schotterkomplex  | Gravier de l'Irchel                               |
| 15201077 | Ittingen-Schotter   | Gravier d'Ittingen                                |
| 15201209 | Jonen-Schotter  | Gravier de Jonen                                  |
| 15201241 | Junkerenwald-Schotter   | Gravier du Junkerenwald                           |
| 15201182 | Juraschotter  | Juraschotter                                      |
| 15201467 | Kaltenegg-Schotter  |   |
| 15201166 | Käppelihof-Schotter   | Gravier du Käppelihof                             |
| 15201190 | Karlsruhe-Schotter  | Gravier de Karlsruhe                              |
| 15201142 | Kiessande von Madretsch   | Sable à gravier de Madretsch                      |
| 15201147 | Killwangen-Schaffhausen-Mellingen-<br>Stadium                   | stade de<br>Killwangen-Schaffhouse-Mellingen      |
| 15201037 | Kirchleerau-Till  | Till de Kirchleerau                               |
| 15201036 | Kirchleerau-Vorstoss  | Avancée glaciaire de Kirchleerau                  |
| 15201219 | Kleinhöchstetten-Kies-Sand-<br>Komplex                          | Complexe sablo-graveleux de<br>Kleinhöchstetten   |
| 15201045 | Klettgau-Schotter   | Gravier du Klettgau                               |
| 15201236 | Kollbrunn-Schotter  | Gravier de Kollbrunn                              |
| 15201220 | Krauchthal-Schotter   | Gravier du Krauchthal                             |
| 15201539 | Kunkels-Formation   | Formation de Kunkels                              |
| 15201315 | Künstliche Ablagerungen der<br>Gamsenried-Deponie               | dépôts artificiels de la décharge de<br>la Lonza  |
| 15201313 | Künstliche Ablagerungen des<br>Bahnhofs Brig                    | dépôts artificiels de la gare de<br>Brigue        |
| 15201316 | Künstliche Ablagerungen des<br>Riedertals                       | dépôts artificiels du Riedertal                   |
| 15201314 | Künstliche Ablagerungen Golar                                   | dépôts artificiels Golar                          |
| 15201222 | Küsnacht-Schotter   | Gravier de Küsnacht                               |
| 15201158 | La-Côte-Schotter  | Alluvions de la Côte                              |
| 15201202 | La-Tuffière-Schotter  | Gravier de la Tuffière                            |
| 15201114 | Langacher-Schotter  | Gravier du Langacher                              |
| 15201059 | Langwiesen-Vergletscherung                                      | Glaciation de Langwiesen                          |
| 15201060 | Langwiesen-Vorstoss   | Avancée glaciaire de Langwiesen                   |
| 15201007 | Last Glacial Maximum (LGM), undiff.                             | Dernier Maximum Glaciaire (LGM),<br>indifférencié |
| 15201008 | LGM-Rückzug   | Phase de retrait du LGM                           |
| 15201514 | Lindenberg-Till   |   |

| GeolCode | Deutsch  | Français  |
|----------|--|---|
| 15201122 | Lindenhau-Schotter                             | Gravier du Lindenhau                                    |
| 15201024 | Lindmühle-Vergletscherung (1. LGM-Vorstoss)    | Glaciation de Lindmühle                                 |
| 15201027 | Lindmühle-Vorstoss                             | Avancée glaciaire du Lindmühle                          |
| 15201064 | Löhningen-Engiwald-Vergletscherung             | Glaciation de Löhningen-Engiwald                        |
| 15201067 | Löhningen-Vorstoss                             | Avancée glaciaire de Löhningen                          |
| 15201161 | Lommiswil-Schotter                             | Gravier de Lommiswil                                    |
| 15201444 | Löss, undifferenziert                          | Loess, indifférencié                                    |
| 15201063 | Lupfig-Schotter                                | Gravier de Lupfig                                       |
| 15201186 | Malmkalk-Schotter der Randen-Täler             | Malmkalk-Schotter (vallée du Randen)                    |
| 15201151 | Maximalstand (Kilwangen-Schaffhausen-Stadium)  | stade maximal (Kilwangen-Schaffhouse)                   |
| 15201070 | Meikirch-Interglazial                          | Interglaciaire de Meikirch                              |
| 15201141 | Mély-Formation                                 | Formation de Mély                                       |
| 15201201 | Menzingen-Schotter                             | Gravier de Menzingen                                    |
| 15201185 | Merenbach-Schotter                             | Gravier du Merenbach                                    |
| 15201481 | Mettlen-Schotter                               |   |
| 15201125 | Mischschotter                                  | Mischschotter (Sundgau)                                 |
| 15201101 | Mittlere Iberigschotter                        | Gravier moyen de l'Iberig                               |
| 15201112 | Mittlere Irchelschotter                        | Gravier moyen de l'Irchel                               |
| 15201048 | Mittlere Klettgauschotter                      | Gravier moyen du Klettgau                               |
| 15201091 | Möhlin-Eiszeit (Grösste Eiszeit)               | Période glaciaire de Möhlin                             |
| 15201092 | Möhlin-Vergletscherung                         | Glaciation de Möhlin                                    |
| 15201093 | Möhlin-Vorstoss                                | Avancée glaciaire de Möhlin                             |
| 15201081 | Möhlinerfeld-Paläoboden                        | Paléosol du Möhlinerfeld                                |
| 15201482 | Möhlinerfeld-Schotter                          |   |
| 15201511 | Mooretal-Schotter                              |   |
| 15201204 | Mooslerau-Lehm                                 | Limon du Mooslerau                                      |
| 15201039 | Mülligen-Paläoboden                            | Paléosol de Mülligen                                    |
| 15201042 | Mülligen-Schotter                              | Gravier de Mülligen                                     |
| 15201521 | Mumpf-Schotter                                 |   |
| 15201148 | Munot-Terrasse                                 | terrasse du Munot                                       |
| 15201188 | Münsingen-Schotterkomplex                      | Complexe graveleux de Münsingen                         |
| 15201268 | Murg-Schieferkohle                             |   |
| 15201483 | Muttenfeld-Schotter                            |   |
| 15201033 | Niderholz-Till                                 | Till du Niderholz                                       |
| 15201527 | Niderstalden-Schotter                          | Gravier de Niderstalden                                 |
| 15201484 | Nidfurn-Schotter                               |   |
| 15201002 | Niederterrasse                                 | Niederterrasse  |
| 15201536 | Niederterrassenschotter, oberste Terrasse      | Niederterrasse, premier niveau graveleux le plus élevé  |
| 15201534 | Niederterrassenschotter, tiefere Niveaus       | Niederterrasse, niveaux graveleux inférieurs            |
| 15201535 | Niederterrassenschotter, zweitoberste Terrasse | Niederterrasse, deuxième niveau graveleux le plus élevé |
| 15201040 | Niederweningen-Formation                       | Formation de Niederweningen                             |
| 15201542 | Niklaushalden-Formation                        | Formation de Niklaushalden                              |
| 15201134 | Nohl-Terrasse                                  | terrasse de Nohl  |
| 15201459 | Novazzano-Sand                                 | Sable de Novazzano                                      |
| 15201099 | Obere Iberigschotter                           | Gravier supérieur de l'Iberig                           |
| 15201109 | Obere Irchelschotter                           | Gravier supérieur de l'Irchel                           |
| 15201046 | Obere Klettgauschotter                         | Gravier supérieur du Klettgau                           |

| GeolCode | Deutsch                                | Français                       |
|----------|--|--------------------------------|
| 15201132 | Obere Singen-Terrasse                  | terrasse supérieure de Singen  |
| 15201100 | Oberer Till                            | Oberer Till (Iberig)           |
| 15201015 | Oberhard-Till                          | Till d'Oberhard                |
| 15201485 | Oberhöhe-Grundmoräne                   |                                |
| 15201273 | Oberkirch-Seebodenlehm                 |                                |
| 15201486 | Obermoos-Schotter                      |                                |
| 15201269 | Oberricken-Schotter                    |                                |
| 15201162 | Oensingen-Moos-Lehm                    | Limon d'Oensingen-Moos         |
| 15201261 | Oeschinensee-<br>Bergsturzablagerungen |                                |
| 15201259 | Ofenloch-Karstfüllung                  |                                |
| 15201487 | Öflingen-Schotter                      |                                |
| 15201215 | Oftringen-Schotter                     | Gravier d'Oftringen            |
| 15201138 | Orvin-Schotter                         | Gravier d'Orvin                |
| 15201025 | Otelfingen-Vorstoss                    | Avancée glaciaire d'Otelfingen |
| 15201561 | Paradiesgärtli-Schotter                | Gravier du Paradiesgärtli      |
| 15201076 | Pfyn-Vorstoss                          | Avancée glaciaire de Pfyn      |
| 15201566 | Plaffeien-Seetone                      |                                |
| 15201567 | Plasselb-Stauschotter                  |                                |
| 15201157 | Plateauschotter                        | Plateauschotter                |
| 15201333 | Pliozäne Ablagerungen                  | dépôts pliocènes               |
| 15201170 | Poissine-Formation                     | Formation de la Poissine       |
| 15201212 | Port-Stauschotter                      | Gravier de Port                |
| 15201249 | Quartär, undifferenziert               | Quaternaire, indifférencié     |
| 15201224 | Rabennest-Schotter                     | Gravier du Rabennest           |
| 15201218 | Raintal-Deltaschotter                  | Gravier du Raintal             |
| 15201225 | Ratengütsch-Schotter                   | Gravier du Ratengütsch         |
| 15201277 | Regelstein-Till                        |                                |
| 15201230 | Reidbach-Schotter                      | Gravier du Reidbach            |
| 15201069 | Remigen-Schotter                       | Gravier de Remingen            |
| 15201068 | Remigen-Vorstoss                       | Avancée glaciaire de Remingen  |
| 15201213 | Rempen-Stauschotter                    | Gravier de Rempen              |
| 15201062 | Reuenthal-Vorstoss                     | Avancée glaciaire de Reuenthal |
| 15201505 | Reuss-Schotterkomplex                  |                                |
| 15201176 | Reusstal-Lehm                          | Limon du Reusstal              |
| 15201175 | Reusstal-Sand                          | Sable du Reusstal              |
| 15201507 | Reusstal-Seebodensediment              |                                |
| 15201181 | Rhein- und Aareschotter                | Gravier du Rhin et de l'Aar    |
| 15201133 | Rheinau-Terrasse                       | terrasse de Rheinau            |
| 15201545 | Rheinau-Till                           | Till de Rheinau                |
| 15201228 | Richterswil-Seeton                     | Argile lacustre de Richterswil |
| 15201509 | Rickenbach-Schotter                    |                                |
| 15201522 | Riedmatt-Schotter                      |                                |
| 15201554 | Risibüel-Schotter                      | Gravier de Risibüel            |
| 15201238 | Ritteren-Schotterkomplex               | Complexe graveleux de Ritteren |
| 15201516 | Ritzhans-Schotter                      |                                |
| 15201084 | Roggehuse-Schotter                     | Gravier de Roggehuse           |
| 15201266 | Rossgaden-Schotter                     |                                |
| 15201488 | Rottal-Schotter                        |                                |
| 15201179 | Ruckfeld-Schotter                      | Gravier du Ruckfeld            |
| 15201489 | Rüdelwald-Schotter                     |                                |
| 15201541 | Rüdlingen-Till                         | Till de Rüdlingen              |
| 15201247 | Ruedertal-Schotter                     | Gravier du Ruedertal           |
| 15201066 | Rüfenach-Vorstoss                      | Avancée glaciaire de Rüfenach  |

| GeolCode | Deutsch  | Français   |
|----------|--|--|
| 15201490 | Rufswil-Schotter                                 |  |
| 15201491 | Rütimatt-Schotter                                |  |
| 15201078 | Ryhirt-Formation                                 | Formation du Ryhirt                                |
| 15201519 | Säckingen-Schotter                               |  |
| 15201318 | Sackungsmasse des Heinzenbergs                   | masse tassée du Heinzenberg                        |
| 15201252 | Sagenbach-Schotter                               | Gravbier du Sagenbach                              |
| 15201556 | Saxegrabe-Schotter                               | Gravier du Saxegrabe                               |
| 15201279 | Schafbüel-Formation                              |  |
| 15201061 | Schaffhausen-Schotter                            | Gravier de Schaffhouse                             |
| 15201226 | Scherenspitze-Schotter                           | Gravier du Scherenspitze                           |
| 15201095 | Schleitheim-Vorstoss                             | Avancée glaciaire de Schleitheim                   |
| 15201131 | Schlieren-Diessenhofen-Stetten-Stadien           | stade de Schlieren-Diessenhofen-Stetten            |
| 15201553 | Schlossbuck-Schotter                             | Gravier de Schlossbuck                             |
| 15201338 | Schlyffi-Till                                    | Till de la Schlyffi                                |
| 15201555 | Schmerlet- und Toktri-Formation, undifferenziert | Formations de Schmerlet et Toktri, indifférenciées |
| 15201196 | Schnabelsberg-Stauchotter                        | Gravier de Schnabelsberg                           |
| 15201518 | Schönegg-Formation                               |  |
| 15201320 | Schotter und Sand der Rhône                      | graviers et sables du Rhône                        |
| 15201321 | Schotter und Sand der Vispa                      | graviers et sables de la Viège                     |
| 15201253 | Schrotzburg-Schotter                             | Gravier de la Schrotzburg                          |
| 15201254 | Schrotzburg-Till                                 | Till de la Schrotzburg                             |
| 15201137 | Schüss-Schotter                                  | Gravier de la Suze                                 |
| 15201493 | Schwande-Seebodensedimente                       |  |
| 15201229 | Schwanden-Schotter                               | Gravier de Schwanden                               |
| 15201492 | Schwanderholzwald-Schotter                       |  |
| 15201165 | Schwarzhäusern-Lehm                              | Limon de Schwarzhäusern                            |
| 15201139 | Seeablagerungen von Frinvillier und Rondchâtel   | Dépôts lacustres de Frinvillier et Rondchâtel      |
| 15201143 | Seeland-Schotter                                 | Gravier du Seeland                                 |
| 15201016 | Seon-Vorstoss                                    | Avancée glaciaire de Seon                          |
| 15201207 | Sihl-Schotter                                    | Gravier de la Sihl                                 |
| 15201235 | Sihlsprung-Schotter                              | Gravier du Sihlsprung                              |
| 15201187 | Solothurn-Stadium                                | stade de Soleure                                   |
| 15201494 | Soppensee-Seebodensedimente                      |  |
| 15201525 | Spärgacher-Schotter                              |  |
| 15201495 | Speicherboden-Lokalmoräne                        |  |
| 15201529 | Spiez-Schotter                                   | Gravier de Spiez                                   |
| 15201543 | Stadel-Till                                      | Till de Stadel                                     |
| 15201022 | Staffelbach-Schotter                             | Gravier de Staffelbach                             |
| 15201023 | Staffelbach-Till                                 | Till de Staffelbach                                |
| 15201021 | Staffelbach-Vorstoss                             | Avancée glaciaire de Staffelbach                   |
| 15201211 | Starrberg-Schotter                               | Gravier de Starrberg                               |
| 15201140 | Stauschotter von Diessbach                       | Gravier de retenue de Diessbach                    |
| 15201342 | Steghalden-Schotter                              | Gravier de la Steghalden                           |
| 15201107 | Steig-Schotter                                   | Gravier du Steig                                   |
| 15201468 | Steinhuserberg-Schotter                          |  |
| 15201565 | Stetten-Schotter                                 | Gravier de Stetten                                 |
| 15201334 | Stockesee-Sediment                               | Sédiments du Stockesee                             |
| 15201149 | Stokar-Terrasse                                  | terrasse de Stokar                                 |
| 15201335 | Strätligen-Till                                  | Till de Strätligen                                 |
| 15201058 | Stüsslingen-Schotter                             | Gravier de Stüsslingen                             |
| 15201552 | Südranden-Till                                   | Gravier du Südranden                               |

| GeolCode | Deutsch                                | Français                                 |
|----------|--|--|
| 15201056 | Suhr-Schotter                          | Gravier de Suhr                          |
| 15201124 | Sundgau-Schotter                       | Gravier du Sundgau                       |
| 15201171 | Surbtal-Lehm                           | Limon du Surbtal                         |
| 15201173 | Surbtal-Schotter                       | Gravier du Surbtal                       |
| 15201172 | Surbtal-Till                           | Till du Surbtal                          |
| 15201026 | Tägerhard-Schotter                     | Gravier de Tägerhard                     |
| 15201496 | terrasse lémanique de 10 m             |  |
| 15201497 | terrasse lémanique de 3 m              |  |
| 15201090 | Thalgut-Interglazial                   | Interglaciaire de Thalgut                |
| 15201282 | Tiefenwinkel-Seebodensedimente         |  |
| 15201004 | Tiefere Deckenschotter                 | Tiefere Deckenschotter                   |
| 15201538 | Tiefere Deckenschotter, oberes Niveau  | Tiefere Deckenschotter, niveau supérieur |
| 15201537 | Tiefere Deckenschotter, unteres Niveau | Tiefere Deckenschotter, niveau inférieur |
| 15201193 | Trachslau-Schotter                     | Gravier de Trachslau                     |
| 15201206 | Triengen-Lehm                          | Limon de Triengen                        |
| 15201205 | Triengen-Schotter                      | Gravier de Triengen                      |
| 15201562 | Tubeschwanz-Schotter                   | Gravier de Tubeschwanz                   |
| 15201168 | Tuileries-Formation                    | Formation des Tuileries                  |
| 15201276 | Unter-Buechwald-Schotter               |  |
| 15201517 | Unterdorf-Schotter                     |  |
| 15201102 | Untere Iberigschotter                  | Gravier inférieur de l'Iberig            |
| 15201113 | Untere Irchelschotter                  | Gravier inférieur de l'Irchel            |
| 15201049 | Untere Klettgauschotter                | Gravier inférieur du Klettgau            |
| 15201130 | Untere Singen-Terrasse                 | terrasse inférieure de Singen            |
| 15201498 | Untere Zeller Schotter                 |  |
| 15201103 | Unterer Till                           | Unterer Till (Iberig)                    |
| 15201280 | Unteres-Huttenbüel-Schotter            |  |
| 15201499 | Untergrabehüsli-Schotter               |  |
| 15201089 | Unterschlatt-Vorstoss                  | Avancée glaciaire d'Unterschlatt         |
| 15201500 | Untertreie-Schotter                    |  |
| 15201283 | Uznach-Schieferkohle                   |  |
| 15201057 | Veltheim-Schotter                      | Gravier de Veltheim                      |
| 15201544 | Volken-Lehm                            | Limon de Volken                          |
| 15201239 | Vorholz-Schotter                       | Gravier du Vorholz                       |
| 15201526 | Wagenmoos-Till                         | Till du Wagenmoos                        |
| 15201237 | Walenberg-Schotter                     | Gravier de Walenberg                     |
| 15201501 | Wallbach-Schotter                      |  |
| 15201227 | Walsenhaus-Schotter                    | Gravier de Walsenhaus                    |
| 15201118 | Wannen-Schotter                        | Gravier du Wannen(buck)                  |
| 15201337 | Wässerfluh-Formation                   | Formation de la Wässerliflüh             |
| 15201560 | Wasterkingen-Schotter                  | Gravier de Wasterkingen                  |
| 15201152 | Wehntal-Schotter                       | Gravier du Wehntal                       |
| 15201549 | Weiach-Schotter                        | Gravier de Weiach                        |
| 15201126 | Weisse Serie                           | Weisse Serie (Sundgau)                   |
| 15201563 | Weisweil-Schotter                      | Gravier de Weisweil                      |
| 15201502 | Werthenstein-Schotter                  |  |
| 15201155 | Wettingen-Schotter                     | Gravier de Wettingen                     |
| 15201010 | Wettingen-Vorstoss                     | Avancée glaciaire de Wettingen           |
| 15201200 | Wiggen-Schotter                        | Gravier de la Wigger                     |
| 15201503 | Willburg-Formation                     |  |
| 15201198 | Willisau-Schotter                      | Gravier de Willisau                      |
| 15201504 | Wilzigen-Seebodensedimente             |  |

| GeolCode | Deutsch                         | Français                                      |
|----------|---------------------------------|---|
| 15201281 | Winden-Schieferkohle            |   |
| 15201551 | Windlach-Till                   | Till de Windlach                              |
| 15201104 | Wolfacher-Schotter und -Till    | Gravier et Till de Wolfacher                  |
| 15201199 | Wolhusen-Schotter               | Gravier de Wolhusen                           |
| 15201260 | Wurmsbach-Deltaablagerungen     |   |
| 15201184 | Wutach-Schotter                 | Gravier de la Wutach                          |
| 15201508 | Wyna-Schotter                   |   |
| 15201463 | Zeiningen-Till                  |   |
| 15201216 | Zelg-Schotter                   | Gravier de Zelg                               |
| 15201231 | Zell-Schotterkomplex            | Gravier de Zell                               |
| 15201035 | Zetzwil-Till                    | Till de Zetzwil                               |
| 15201034 | Zetzwil-Vorstoss                | Avancée glaciaire de Zetzwil                  |
| 15201528 | Zulgtal-Schotter                | Gravier du Zulgtal                            |
| 15201129 | Zürich-Stein-Bremgarten-Stadien | stade glaciaire de<br>Zürich-Stein-Bremgarten |
| 15201557 | Zweidlen-Schotter               | Gravier de Zweidlen                           |
| 999997   | Unknown                         | inconnu                                       |
| 999998   | Not applicable                  | not applicable                                |

## 11 Annexe GC\_LITHO\_CD

Tables des valeurs de la description lithologique

| GeolCode | Deutsch                                   | Français                                 |
|----------|---|--|
| 15104015 | (Meso)Kataklasit                          | (méso)cataclasite                        |
| 15104044 | Adergneis                                 | gneiss veiné                             |
| 15104046 | agmatischer Gneis                         | gneiss agmatique                         |
| 15104087 | Albitit                                   | albitite                                 |
| 15103040 | Alkalirhyolith                            | rhyolite alcaline                        |
| 15103013 | Alkalisyenit                              | syénite alcaline                         |
| 15103046 | Alkalitrachyt                             | trachite alcaline                        |
| 15103006 | Alkalogranit                              | granite alcalin                          |
| 15101039 | Alluvion, undifferenziert                 | alluvions, indifférenciés                |
| 15104060 | Amphibolit                                | amphibolite                              |
| 15104063 | Amphibolitgneis                           | gneiss amphibolitique                    |
| 15104074 | Anatexit, undifferenziert                 | anatexite, indifférenciée                |
| 15103045 | Andesit                                   | andésite                                 |
| 15102071 | Anhydrit                                  | anhydrite                                |
| 15102059 | Anthrazit                                 | anthracite                               |
| 15101067 | anthropogene Elemente,<br>undifferenziert | éléments anthropiques,<br>indifférenciés |
| 15101062 | äolischer Sand, Flugsand                  | sable éolien                             |
| 15101061 | äolisches Sediment, undifferenziert       | sédiments éoliens, indifférenciés        |
| 15103030 | Aplit                                     | aplite                                   |
| 15102044 | Aptychenkalk                              | calcaire à aptychus                      |
| 15102038 | Arenit                                    | calcarénite                              |
| 15102016 | Arkose                                    | arkose                                   |
| 15103058 | Aschentuff                                | cendres volcaniques                      |
| 15101071 | Auffüllung                                | comblement                               |
| 15101070 | Aufschüttung, Damm                        | remblai, digue                           |
| 15104042 | Augengneis                                | gneiss oeilé                             |
| 15101041 | Bachschutt                                | dépôts torrentiels                       |

| GeolCode | Deutsch   | Français  |
|----------|---|---|
| 15104061 | Bänderamphibolit  | amphibolite rubanée   |
| 15104043 | Bändergneis   | gneiss rubané   |
| 15103048 | Basalt  | basalte   |
| 15103068 | basisches Ganggestein   | roche filonienne basique  |
| 15103069 | Basisches Gestein   | roche basique   |
| 15103066 | Bentonit  | bentonite   |
| 15101006 | Bergsturzablagerung   | dépôt d'écroulement   |
| 15102045 | biogener Kalkstein, undifferenziert   | calcaire biogénique, indifférencié                                |
| 15102032 | biogenes / biochemisches /<br>organisches Sedimentgestein,<br>undifferenziert | roche sédim. biogène / biochimique<br>/ organique, indifférenciée |
| 15102106 | bioklastischer Kalk   | calcaire bioclastique   |
| 15104085 | Biotitit  | biotitite   |
| 15101015 | Blockgletscher  | glacier rocheux   |
| 15101010 | Blockschutt   | amas de blocs éboulés   |
| 15102082 | Bohnerz   | pisolite ferrugineuse   |
| 15102087 | Boluston  | argile à bolus  |
| 15102006 | Brekzie   | brèche  |
| 15102093 | Caliche   | caliche   |
| 15102068 | chemisches Sedimentgestein,<br>undifferenziert                                | roche sédimentaire chimique,<br>indifférenciée                    |
| 15104089 | Chloritit   | chloritite  |
| 15104034 | Chloritschiefer   | chloritoschiste   |
| 15103043 | Dazit   | dacite  |
| 15101072 | Deponie   | décharge  |
| 15101049 | detritische Verlandungsbildung  | dépôts d'atterrissement détritiques                               |
| 15102046 | detritischer Kalk   | calcaire détritique   |
| 15104079 | Diatexit mit nebulitischer Textur   | diatexite à structure nébulitique                                 |
| 15104080 | Diatexit mit Schlierentextur  | diatexite à structure artéritique<br>(Schlieren)                  |
| 15104081 | Diatexit mit Schollentextur   | diatexite à enclaves (Schollen)                                   |
| 15103011 | Diorit  | diorite   |
| 15103035 | Dolerit   | dolérite  |
| 15102049 | Dolomit   | dolomie   |
| 15102109 | Dolomitbrekzie  | brèche dolomitique  |
| 15104216 | dolomitischer Marmor  | marbre dolomitique  |
| 15102012 | Dolomitsandstein  | grès dolomitique  |
| 15101075 | dünne Lockermaterialbedeckung   | couverture meuble pelliculaire                                    |
| 15102100 | Echinodermenkalk  | calcaire échinodermique   |
| 15102061 | Eisenoolith   | oolite ferrugineuse   |
| 15102103 | Eisensandstein  | grès ferrugineux  |
| 15102108 | eisenschüssiger Kalk  | calcaire ferrugineux  |
| 15104064 | Eklogit   | éclogite  |
| 15101086 | Entwässerungssediment   | sédiment formé par échappement<br>d'eau                           |
| 15103039 | Ergussgestein, undifferenziert  | roche effusive, indifférenciée                                    |
| 15103023 | Essexit   | essexite  |
| 15102070 | Evaporit, undifferenziert   | évaporite, indifférenciée   |
| 15103037 | Extrusivgestein, undifferenziert  | roche extrusive, indifférenciée                                   |
| 15104053 | Fels, undifferenziert   | roche à texture granoblastique,<br>indifférenciée                 |
| 15101007 | Felssturzablagerung   | dépôt d'éboulement  |
| 15101040 | fluviatiler Schotter  | graviers fluviaux   |
| 15101026 | fluviatiles Sediment, undifferenziert   | sédiments fluviaux, indifférenciés                                |



| GeolCode | Deutsch   | Français   |
|----------|---|--|
| 15102017 | Flyschsandstein, Grauwacke  | grès du flysch, grauwaacke                                       |
| 15103015 | Gabbro  | gabbro   |
| 15103026 | Ganggestein, undifferenziert  | roche filonienne, indifférenciée                                 |
| 15101035 | gemischter Schutt   | dépôts mixtes  |
| 15101076 | geringmächtige<br>Lockergesteinsbedeckung                               | couverture de roches meubles peu<br>épaisse                      |
| 15104210 | Geröll führender Metasandstein  | métagrès à galets  |
| 15102018 | Geröll führender Sandstein  | grès à galets  |
| 15104027 | Gestein der Regional- und<br>Kontaktmetamorphose,<br>undifferenziert    | roche du métamorphisme régional<br>et du contact, indifférenciée |
| 15104002 | Gestein der Störungszone  | roche liée à une zone de<br>déformation                          |
| 15104003 | Gestein der Störungszone,<br>undifferenziert                            | roche liée à une zone de<br>déformation, indifférenciée          |
| 15104006 | Gesteinsmehl  | roche pulvérisée   |
| 15102072 | Gips  | gypse  |
| 15102101 | glaukonitischer Kalkstein   | calcaire glauconieux   |
| 15102104 | glaukonitischer Mergel  | marne glauconieuse   |
| 15102020 | Glaukonitsandstein  | grès glauconieux   |
| 15104036 | Glaukophanschiefer  | schiste à glaucophane  |
| 15101031 | glazifluviatiler Schotter   | graviers fluvioglaciaires  |
| 15101028 | glazifluviatiles Sediment,<br>undifferenziert                           | sédiments fluvioglaciaires,<br>indifférenciés                    |
| 15101019 | glazigenes Sediment,<br>undifferenziert                                 | sédiments glaciaires, indifférenciés                             |
| 15101047 | glazilakustrisches Deltasediment  | dépôts deltaïques glaciolacustres                                |
| 15101046 | glazilakustrisches Sediment,<br>undifferenziert                         | dépôts glaciolacustres,<br>indifférenciés                        |
| 15102019 | Glimmersandstein  | grès micacé  |
| 15104035 | Glimmerschiefer   | micaschiste  |
| 15104072 | Gneis mit Feldspatblasten   | gneiss à blastes de feldspath                                    |
| 15104041 | Gneis, undifferenziert  | gneiss, indifférencié  |
| 15104097 | Granat-Glimmerschiefer  | micaschiste à grenat   |
| 15103007 | Granit  | granite  |
| 15103008 | Granodiorit   | granodiorite   |
| 15103024 | Granophyr   | granophyre   |
| 15104058 | Granulit  | granulite  |
| 15101003 | gravitative Sedimente und<br>Verwitterungsbildungen,<br>undifferenziert | dépôts gravitaires et d'altération,<br>indifférenciés            |
| 15104071 | Greisen   | greisen  |
| 15104098 | Grünschiefer  | schiste vert   |
| 15101079 | Gyttja  | gyttja   |
| 15101073 | Halde   | terril   |
| 15101014 | Hanglehm, Schwemmlehm   | limons de pente, colluvions                                      |
| 15101009 | Hangschutt  | éboulis  |
| 15104086 | Hornblendit   | hornblendite   |
| 15104067 | Hornfels  | hornfels   |
| 15102054 | Hornstein, Chert  | chaille, chert   |
| 15102088 | Huppererde  | hupper   |
| 15101081 | hydrochemische Bildungen<br>(Kalksinter)                                | dépôts hydrochimiques  |
| 15103054 | Ignimbrit   | ignimbrite   |

| GeolCode | Deutsch   | Français  |
|----------|---|---|
| 15101083 | In-situ-Verwitterungsschutt   | dépôt d'altération in situ  |
| 15103003 | Intrusivgestein, undifferenziert  | roche intrusive, indifférenciée   |
| 15104005 | Kakirit, undifferenziert  | kakirite, indifférenciée  |
| 15102041 | Kalkbrekzie   | calcaire bréchique  |
| 15102029 | Kalkmergelstein   | marne calcaire  |
| 15102042 | Kalkoolith  | calcaire oolitique  |
| 15102011 | Kalksandstein   | grès calcaire   |
| 15104037 | Kalkschiefer  | calcschiste   |
| 15104054 | Kalksilikatfels   | roche à calcsilicates   |
| 15102034 | Kalkstein, undifferenziert  | calcaire, indifférencié   |
| 15104056 | Karbonat- und Silikat führendes Gestein   | roche à carbonates et silicates   |
| 15102075 | Karbonat, undifferenziert   | roche carbonatée, indifférenciée  |
| 15103051 | Karbonatit  | carbonatite   |
| 15104010 | Kataklasit, undifferenziert   | cataclasite, indifférenciée   |
| 15102013 | kieseliger Sandstein  | grès siliceux   |
| 15102051 | kieseliges Gestein, undifferenziert   | sédiment siliceux, indifférencié  |
| 15102035 | Kieselkalk  | calcaire siliceux   |
| 15104051 | Kinzigit  | kinzigite   |
| 15102003 | klastisches Sedimentgestein, undifferenziert  | roche sédimentaire clastique, indifférenciée  |
| 15104007 | Kluftletten   | argile de faille  |
| 15102056 | Kohle, undifferenziert  | charbon, indifférencié  |
| 15102007 | Konglomerat   | poudingue   |
| 15102005 | Konglomerat und Brekzie, undifferenziert (Psephit, Korngrösse: Kies, Steine und Blöcke) | conglomérat et brèche, indifférencié (psephite: classe des graviers, cailloux et blocs) |
| 15102105 | kreidiger Kalk  | calcaire crayeux  |
| 15103057 | Kristalltuff  | tuff à cristaux   |
| 15102094 | Krustenkalk   | calcrète  |
| 15101069 | künstliche Ablagerung, undifferenziert  | dépôts artificiels, indifférenciés  |
| 15101057 | lakustrisches Deltasediment   | dépôts deltaïques lacustres   |
| 15101044 | lakustrisches Sediment, undifferenziert   | sédiments lacustres, indifférenciés   |
| 15103033 | Lamprophyre   | lamprophyre   |
| 15103056 | Lapillituff   | lapilli   |
| 15101008 | Lawinenschutt   | dépôts d'avalanche  |
| 15104047 | Leptinit  | leptynite   |
| 15102057 | Lignit (organisches Sedimentgestein)  | lignite (roche sédimentaire organique)  |
| 15101054 | Lignit (palustrisches Sediment)   | lignite (sédiment palustre)   |
| 15102102 | Lithothamnien Sandstein   | grès à lithothamnies  |
| 15101001 | Lockergestein   | roche meuble  |
| 15101063 | Löss, Lösslehm  | loess, loess argileux   |
| 15103001 | Magmatit  | roche magmatique  |
| 15104055 | Marmor (Fels)   | marbre (texture granoblastique)   |
| 15104215 | Marmor (sedimentärer Protolith)   | marbre (protolithe sédimentaire)  |
| 15102014 | mergeliger Sandstein  | grès marneux  |
| 15102107 | Mergelkalk  | calcaire marneux  |
| 15102027 | Mergelstein   | marne   |
| 15104433 | Metaalkalirhyolith  | métarhyolite alcaline   |
| 15104411 | Metaalkalisyenit  | métasyénite alcaline  |
| 15104439 | Metaalkalitrachyt   | métatrachite alcaline   |

| GeolCode | Deutsch   | Français  |
|----------|---|---|
| 15104404 | Metaalkalogramit                                  | métagranite alcalin   |
| 15104438 | Metaandesit                                       | méta-andésite   |
| 15104427 | Metaaplit   | méta-aplite   |
| 15104208 | Metaarkose  | méta-arkose   |
| 15104441 | Metabasalt  | métabasalte   |
| 15104203 | Metabrekzie                                       | métabrèche  |
| 15104436 | Metadazit   | metadacite  |
| 15104409 | Metadiorit  | métadiorite   |
| 15104432 | Metadolerit                                       | métadolérite  |
| 15104421 | Metaessexit                                       | méta-essexite   |
| 15104413 | Metagabbro  | métagabbro  |
| 15104423 | Metaganggestein                                   | métaroché filonienne  |
| 15104405 | Metagranit  | métagranite   |
| 15104406 | Metagranodiorit                                   | métagranodiorite  |
| 15104422 | Metagranophyr                                     | métagranophyre  |
| 15104209 | Metagrauwacke                                     | métagrauwacke   |
| 15104445 | Metaignimbrit                                     | méta-ignimbrite   |
| 15104218 | Metakarbonat                                      | métaroché carbonatée  |
| 15104204 | Metakonglomerat                                   | métapoudingue   |
| 15104430 | Metalamprophyr                                    | métalamprophyre   |
| 15104401 | Metamagmatit                                      | métamagmatite   |
| 15104214 | Metamergel  | métamarne   |
| 15104428 | Metamikrodiorit                                   | métamicrodiorite  |
| 15104429 | Metamikrogabbro                                   | métamicrogabbro   |
| 15104424 | Metamikrogranit                                   | métamicrogranite  |
| 15104415 | Metamonzodiorit                                   | métamonzodiorite  |
| 15104416 | Metamonzogabbro                                   | métamonzogabbro   |
| 15104417 | Metamonzonit                                      | métamonzonite   |
| 15104402 | metamorph überprägtes<br>Intrusivgestein          | métaroché intrusive   |
| 15104444 | metamorph überprägtes<br>pyroklastisches Gestein  | métaroché pyroclastique   |
| 15104001 | Metamorphit                                       | roche métamorphique   |
| 15104095 | Metamorphit (magmatischer<br>Protolith erkennbar) | roche métamorphique (protolithe<br>magmatique reconnaissable)   |
| 15104092 | Metamorphit (Protolith erkennbar)                 | roche métamorphique (protolithe<br>reconnaissable)              |
| 15104093 | Metamorphit (sedimentärer<br>Protolith erkennbar) | roche métamorphique (protolithe<br>sédimentaire reconnaissable) |
| 15104414 | Metanorit   | métanorite  |
| 15104426 | Metapegmatit                                      | métapegmatite   |
| 15104211 | Metapelit   | métapélite  |
| 15104419 | Metaperidotit                                     | métapéridotite  |
| 15104443 | Metaphonolit                                      | métaphonolite   |
| 15104431 | Metapikrit  | métapicrite   |
| 15104403 | Metaplutonit                                      | métaroché plutonique  |
| 15104207 | Metapsammit                                       | méta-arénite  |
| 15104202 | Metapsephit                                       | métaconglomérat   |
| 15104418 | Metapyroxenit                                     | métapyroxénite  |
| 15104437 | Metaquarzandesit                                  | méta-andésite quartzique  |
| 15104407 | Metaquarzdiorit                                   | métadiorite quartzique  |
| 15104412 | Metaquarzgabbro                                   | métagabbro quartzique   |
| 15104217 | Metaradiolarit                                    | métaradiolarite   |
| 15104435 | Metarhyodazit                                     | métarhyodacite  |

| GeolCode | Deutsch  | Français   |
|----------|--|--|
| 15104434 | Metarhyolith   | métarhyolite   |
| 15104205 | Metasandstein  | métagrès   |
| 15104201 | Metasediment   | métasediment   |
| 15104212 | Metasiltstein  | métasiltite  |
| 15104069 | Metasomatit, undifferenziert   | métasomatite, indifférenciée   |
| 15104410 | Metasyenit   | métasyénite  |
| 15104076 | Metatexit mit Fleckentextur  | métatexite à structure tachetée  |
| 15104078 | Metatexit mit Netztextur   | métatexite à structure réticulée   |
| 15104077 | Metatexit mit stromatitischer Textur                                   | métatexite à structure stromatitique                                     |
| 15104408 | Metatonalit  | métatonalite   |
| 15104440 | Metatrachyt  | métatrachite   |
| 15104446 | Metavulkanit   | métavulcanite  |
| 15104075 | Migmatit   | migmatite  |
| 15102037 | Mikrit   | calcaire micritique  |
| 15103031 | Mikrodiorit  | microdiorite   |
| 15103032 | Mikrogabbro  | microgabbro  |
| 15103027 | Mikrogranit  | microgranite   |
| 15104084 | monomineralischer Metamorphit, undifferenziert                         | roche métamorphique monominérale, indifférenciée                         |
| 15103017 | Monzodiorit  | monzodiorite   |
| 15103018 | Monzogabbro  | monzogabbro  |
| 15103019 | Monzonit   | monzonite  |
| 15101021 | Moräne (Till), undifferenziert   | moraine (till), indifférenciée   |
| 15101024 | Moräne auf Gletscher oder Toteis (Glacier or Dead Ice covered by Till) | moraine sur glacier ou glace morte (glacier or dead ice covered by till) |
| 15101037 | Murgangablagerung  | dépôts de laves torrentielles  |
| 15102022 | Muschelsandstein   | grès coquillier  |
| 15104020 | Mylonit  | (méso)mylonite   |
| 15104018 | Mylonit, undifferenziert   | mylonite, indifférenciée   |
| 15104420 | nephelinitischer Metasyenit  | métasyénite néphélinique   |
| 15103022 | nephelinitischer Syenit  | syénite néphélinique   |
| 15103016 | Norit  | norite   |
| 15102043 | Nummulitenkalk   | calcaire à nummulites  |
| 15102021 | Nummulitensandstein  | grès à nummulites  |
| 15104099 | Ophikalzit   | ophicalcite  |
| 15104049 | Orthogneis   | orthogneiss  |
| 15101050 | palustrisches Sediment   | sédiments palustres  |
| 15101051 | palustrisches Sediment, undifferenziert                                | sédiments palustres, indifférenciés                                      |
| 15104048 | Paragneis  | paragneiss   |
| 15102092 | pedogenes Karbonat, undifferenziert                                    | roche carbonatée pédogénétique, indifférenciée                           |
| 15103029 | Pegmatit   | pegmatite  |
| 15102024 | Pelit, undifferenziert   | pélite, indifférenciée   |
| 15103021 | Peridotit (Intrusivgestein)  | péridotite (roche intrusive)   |
| 15104065 | Peridotit (Metamorphit)  | péridotite (roche métamorphique)   |
| 15103050 | Phonolith  | phonolite  |
| 15102065 | phosphoritreicher Kalkstein  | calcaire phosphaté   |
| 15102066 | phosphoritreicher Mergelstein  | marne phosphatée   |
| 15102064 | phosphoritreicher Sandstein  | grès phosphaté   |
| 15102063 | phosphoritreiches Gestein, undifferenziert                             | roche phosphatée, indifférenciée   |
| 15104029 | Phyllit  | phyllite   |

| GeolCode | Deutsch   | Français   |
|----------|---|--|
| 15104023 | Phyllonit   | phyllonite   |
| 15103049 | Pikrit (Effusiva)   | picrite (roche effusive)   |
| 15103034 | Pikrit (Intrusivgestein)  | picrite (roche intrusive)  |
| 15101013 | Plateaulehm   | limons de plateau, éluvions  |
| 15104038 | Prasinit  | prasinite  |
| 15104014 | Protokataklasit   | protocataclasite   |
| 15104019 | Protomylonit  | protomylonite  |
| 15104025 | Pseudotachylit  | pseudotachylite  |
| 15103055 | Pyroklastische Brekzie  | brèche pyroclastique   |
| 15103053 | pyroklastisches Gestein,<br>undifferenziert (vulkanischer Tuff, ><br>75 % pyroklast. Komp.) | roche pyroclastique, indifférenciée<br>(tuf volcanique, > 75 % comp.<br>pyrocl.) |
| 15103020 | Pyroxenit (Intrusivgestein)   | pyroxénite (roche intrusive)   |
| 15104088 | Pyroxenit (monomineralischer<br>Metamorphit)  | pyroxénite (roche métamorphique<br>monominérale)                                 |
| 15103044 | Quarzandesit  | andésite quartzique  |
| 15103009 | Quarzdiorit   | diorite quartzique   |
| 15103014 | Quarzgabbro   | gabbro quartzique  |
| 15104091 | Quarzit (monomineralischer<br>Metamorphit)  | quartzite (roche métamorphique<br>monominérale)                                  |
| 15104206 | Quarzit (sedimentärer Protolith)  | quartzite (protolithe sédimentaire)  |
| 15102089 | Quarzsand   | sable quartzitique   |
| 15102010 | Quarzsandstein  | grès quartzitique  |
| 15104096 | Quarzschiefer   | quartzschiste  |
| 15101080 | Quelltuff (Kalksinter, Lockergestein)   | tuf calcaire (dépôt non consolidé)   |
| 15102077 | Quelltuff (Kalksinter,<br>Sedimentgestein)  | tuf calcaire (roche sédimentaire)  |
| 15102052 | Radiolarit  | radiolarite  |
| 15101030 | randglazialer Schotter  | graviers de bordure glaciaire  |
| 15104011 | Rauwacke (Kataklasit)   | rauwacke (roche cataclastique)   |
| 15102076 | Rauwacke (Sedimentgestein)  | rauwacke (roche sédimentaire)  |
| 15102080 | Residualgestein / pedogen<br>überprägtes Gestein,<br>undifferenziert                        | roche résiduelle / roche sédim.<br>transf. par pédogenèse,<br>indifférenciée     |
| 15103042 | Rhyodazit   | rhyodacite   |
| 15103041 | Rhyolith  | rhyolite   |
| 15103028 | Rhyolithporphyr   | porphyre rhyolitique   |
| 15102040 | Riffkalk  | calcaire récifal   |
| 15104059 | Rodingit  | rodingite  |
| 15101033 | Rückzugsschotter  | graviers de retrait  |
| 15102039 | Rudit   | calcirudite  |
| 15101017 | Rutschmasse   | masse glissée  |
| 15102009 | Sandstein, undifferenziert (Psammit:<br>Sandkorngrösse)                                     | grès, indifférencié (psammite:<br>classe des sables)                             |
| 15103067 | saures Ganggestein  | roche filonienne acide   |
| 15104031 | Schiefer, undifferenziert   | schiste, indifférencié   |
| 15102030 | Schlammstein  | mudstone   |
| 15104062 | Schollenamphibolit  | amphibolite à blocs  |
| 15101087 | Sedimentärer Gang (clastic dike)  | filon sédimentaire   |
| 15102001 | Sedimentgestein   | roche sédimentaire   |
| 15101058 | Seebodensediment  | sédiments de fond lacustre   |
| 15101059 | Seekreide   | craie lacustre   |
| 15104033 | Serizitschiefer   | séricitoschiste  |
| 15104090 | Serpentinit   | serpentinite   |

| GeolCode | Deutsch  | Français   |
|----------|--|--|
| 15102084 | siderolithische Verwitterungsbildungen   | sédiment d'altération sidérolithique                                       |
| 15102090 | Silcrete   | silcrète   |
| 15104057 | silikatreicher Marmor  | cipolin  |
| 15102086 | silikatreiches Gestein, undifferenziert  | roche silicatée, indifférenciée  |
| 15102025 | Siltstein  | siltite  |
| 15104070 | Skarn  | skarn  |
| 15102036 | Spatkalk   | calcaire spathique   |
| 15102053 | Spiculit   | spiculite  |
| 15101034 | Stauschotter   | graviers de retenue  |
| 15102058 | Steinkohle   | houille  |
| 15102073 | Steinsalz  | sel  |
| 15101056 | Strandablagerungen   | dépôts de terrasses lacustres  |
| 15104050 | Stronalit  | stronalite   |
| 15101084 | strukturierter Hangschutt  | éboulis structuré  |
| 15101005 | Sturzablagerung, undifferenziert   | dépôts d'écroulement, d'éboulement, indifférenciés                         |
| 15101048 | subaquatisch abgelagerte Moräne (Waterlaid Till)   | moraine aquatique (waterlaid till)   |
| 15101052 | Sumpf  | dépôts paludéens   |
| 15102047 | Süßwasserkalk  | calcaire d'eau douce   |
| 15103012 | Syenit   | syénite  |
| 15104039 | Talkschiefer   | talcschiste  |
| 15104008 | tektonische Brekzie (kohäsionslos)   | brèche de faille   |
| 15104013 | tektonische Brekzie (mit Kohäsion)   | brèche tectonique  |
| 15104012 | tektonische Dolomitbrekzie   | brèche tectonique dolomitique  |
| 15104448 | tektonische Kalkbrekzie  | brèche tectonique calcaire   |
| 15103005 | Tiefengestein, undifferenziert   | roche plutonique, indifférenciée   |
| 15101078 | tiefgründige Verwitterungsdecke  | sol d'altération profonde  |
| 15103010 | Tonalit  | tonalite   |
| 15102015 | toniger Sandstein  | grès argileux  |
| 15102028 | Tonmergelstein   | marne argileuse  |
| 15104032 | Tonschiefer (Schiefer)   | ardoise, schiste ardoisier   |
| 15104213 | Tonschiefer (sedimentärer Protolith)   | méta-argilite (protolithe sédimentaire)                                    |
| 15102026 | Tonstein   | argilite   |
| 15101053 | Torfmoor, Torf   | dépôts de tourbière, tourbe  |
| 15103047 | Trachyt  | trachite   |
| 15101082 | Travertin (Kalksinter, Lockergestein)  | travertin (dépôt non consolidé)  |
| 15102078 | Travertin (Kalksinter, Sedimentgestein)  | travertin (roche sédimentaire)   |
| 15101085 | Tsunamiablagerung  | dépôt de tsunami   |
| 15103060 | Tuffit, undifferenziert (pyroklast. und nicht vulk. Sedimente, 75-25 % pyroklast. Komp.) | roche volcano-sédimentaire, indifférenciée (tuffite 75-25 % comp. pyrocl.) |
| 15103061 | tuffitische Brekzie  | brèche tuffitique  |
| 15103063 | tuffitischer Sandstein   | grès tuffitique  |
| 15103064 | tuffitischer Siltstein   | siltite tuffitique   |
| 15103065 | tuffitischer Tonstein  | argilite tuffitique  |
| 15103062 | tuffitisches Konglomerat   | poudingue tuffitique   |
| 15101042 | Überschwemmungssediment  | dépôts d'inondation  |
| 15103070 | Ultrabasisches Gestein   | roche ultrabasique   |
| 15104016 | Ultrakataklasit  | ultracataclasite   |

| GeolCode | Deutsch                            | Français                            |
|----------|------------------------------------|-------------------------------------|
| 15104447 | ultramafisches Gestein             | roche ultramafique                  |
| 15104021 | Ultramylonit                       | ultramylonite                       |
| 15101012 | Verwitterungslehm, undifferenziert | limons d'altération, indifférenciés |
| 15101032 | Vorstossschotter                   | graviers de progression             |
| 15101065 | vulkanische Asche                  | cendres volcaniques                 |
| 15101016 | zerrüttete Sackungsmasse           | masse de roche tassée et disloquée  |
| 15104045 | Zweiglimmergneis                   | gneiss à deux micas                 |
| 999997   | Unknown                            | inconnu                             |
| 999998   | Not applicable                     | not applicable                      |

## 12 Annexe GC\_LITHO\_UNCO\_CD

Tables des valeurs de la description lithologique (roches meubles)

| GeolCode | Deutsch   | Français   |
|----------|---|--|
| 15101039 | Alluvion, undifferenziert   | alluvions, indifférenciés                          |
| 15101067 | anthropogene Elemente, undifferenziert                            | éléments anthropiques, indifférenciés              |
| 15101062 | äolischer Sand, Flugsand  | sable éolien                                       |
| 15101061 | äolisches Sediment, undifferenziert                               | sédiments éoliens, indifférenciés                  |
| 15101071 | Auffüllung  | comblement   |
| 15101070 | Aufschüttung, Damm  | remblai, digue                                     |
| 15101041 | Bachschutt  | dépôts torrentiels                                 |
| 15101006 | Bergsturzablagerung   | dépôt d'écroulement                                |
| 15101015 | Blockgletscher  | glacier rocheux                                    |
| 15101010 | Blockschutt   | amas de blocs éboulés                              |
| 15101072 | Deponie   | décharge   |
| 15101049 | detritische Verlandungsbildung                                    | dépôts d'atterrissement détritiques                |
| 15101075 | dünne Lockermaterialbedeckung                                     | couverture meuble pelliculaire                     |
| 15101086 | Entwässerungssediment   | sédiment formé par échappement d'eau               |
| 15101007 | Felssturzablagerung   | dépôt d'éboulement                                 |
| 15101040 | fluviatiler Schotter  | graviers fluviatiles                               |
| 15101026 | fluviatiles Sediment, undifferenziert                             | sédiments fluviatiles, indifférenciés              |
| 15101035 | gemischter Schutt   | dépôts mixtes                                      |
| 15101076 | geringmächtige Lockergesteinsbedeckung                            | couverture de roches meubles peu épaisse           |
| 15101031 | glazifluviatiler Schotter   | graviers fluvioglaciaires                          |
| 15101028 | glazifluviatiles Sediment, undifferenziert                        | sédiments fluvioglaciaires, indifférenciés         |
| 15101019 | glazigenes Sediment, undifferenziert                              | sédiments glaciaires, indifférenciés               |
| 15101047 | glazilakustrisches Deltasediment                                  | dépôts deltaïques glaciolacustres                  |
| 15101046 | glazilakustrisches Sediment, undifferenziert                      | dépôts glaciolacustres, indifférenciés             |
| 15101003 | gravitative Sedimente und Verwitterungsbildungen, undifferenziert | dépôts gravitaires et d'altération, indifférenciés |
| 15101079 | Gyttja  | gyttja   |
| 15101073 | Halde   | terril   |
| 15101014 | Hanglehm, Schwemmlehm   | limons de pente, colluvions                        |
| 15101009 | Hangschutt  | éboulis  |

| GeolCode | Deutsch   | Français  |
|----------|---|---|
| 15101081 | hydrochemische Bildungen<br>(Kalksinter)                                  | dépôts hydrochimiques   |
| 15101083 | In-situ-Verwitterungsschutt   | dépôt d'altération in situ  |
| 15101069 | künstliche Ablagerung,<br>undifferenziert                                 | dépôts artificiels, indifférenciés  |
| 15101057 | lakustrisches Deltasediment   | dépôts deltaïques lacustres   |
| 15101044 | lakustrisches Sediment,<br>undifferenziert                                | sédiments lacustres, indifférenciés   |
| 15101008 | Lawinschutt   | dépôts d'avalanche  |
| 15101054 | Lignit (palustrisches Sediment)   | lignite (sédiment palustre)   |
| 15101001 | Lockergestein   | roche meuble  |
| 15101063 | Löss, Lösslehm  | loess, loess argileux   |
| 15101021 | Moräne (Till), undifferenziert  | moraine (till), indifférenciée  |
| 15101024 | Moräne auf Gletscher oder Toteis<br>(Glacier or Dead Ice covered by Till) | moraine sur glacier ou glace morte<br>(glacier or dead ice covered by till) |
| 15101037 | Murgangablagerung   | dépôts de laves torrentielles   |
| 15101050 | palustrisches Sediment  | sédiments palustres   |
| 15101051 | palustrisches Sediment,<br>undifferenziert                                | sédiments palustres, indifférenciés   |
| 15101013 | Plateaulehm   | limons de plateau, éluvions   |
| 15101080 | Quelltuff (Kalksinter, Lockergestein)                                     | tuf calcaire (dépôt non consolidé)  |
| 15101030 | randglazialer Schotter  | graviers de bordure glaciaire   |
| 15101033 | Rückzugsschotter  | graviers de retrait   |
| 15101017 | Rutschmasse   | masse glissée   |
| 15101087 | Sedimentärer Gang (clastic dike)  | filon sédimentaire  |
| 15101058 | Seebodensediment  | sédiments de fond lacustre  |
| 15101059 | Seekreide   | craie lacustre  |
| 15101034 | Stauschotter  | graviers de retenue   |
| 15101056 | Strandablagerungen  | dépôts de terrasses lacustres   |
| 15101084 | strukturierter Hangschutt   | éboulis structuré   |
| 15101005 | Sturzablagerung, undifferenziert  | dépôts d'écroulement,<br>d'éboulement, indifférenciés                       |
| 15101048 | subaquatisch abgelagerte Moräne<br>(Waterlaid Till)                       | moraine aquatique (waterlaid till)  |
| 15101052 | Sumpf   | dépôts paludéens  |
| 15101078 | tiefgründige Verwitterungsdecke   | sol d'altération profonde   |
| 15101053 | Torfmoor, Torf  | dépôts de tourbière, tourbe   |
| 15101082 | Travertin (Kalksinter, Lockergestein)                                     | travertin (dépôt non consolidé)   |
| 15101085 | Tsunamiablagerung   | dépôt de tsunami  |
| 15101042 | Überschwemmungssediment   | dépôts d'inondation   |
| 15101012 | Verwitterungslehm, undifferenziert  | limons d'altération, indifférenciés   |
| 15101032 | Vorstossschotter  | graviers de progression   |
| 15101065 | vulkanische Asche   | cendres volcaniques   |
| 15101016 | zerrüttete Sackungsmasse  | masse de roche tassée et disloquée  |
| 999997   | Unknown   | inconnu   |
| 999998   | Not applicable  | not applicable  |

## 13 Annexe GC\_CHRONO\_CD

Table des valeurs des unités chronostratigraphiques



| GeolCode | Deutsch              | Français              |
|----------|----------------------|-----------------------|
| 15001074 | Aalénien             | Aalénien              |
| 15001059 | Albien               | Albien                |
| 15001087 | Anisien              | Anisien               |
| 15001060 | Aptien               | Aptien                |
| 15001028 | Aquitanien           | Aquitanien            |
| 15001153 | Archaikum            |                       |
| 15001113 | Artinskien           | Artinskien            |
| 15001117 | Assélien             | Assélien              |
| 15001073 | Bajocien             | Bajocien              |
| 15001061 | Barrémien            | Barrémien             |
| 15001041 | Bartonien            | Bartonien             |
| 15001140 | Bashkirien           | Bashkirien            |
| 15001072 | Bathonien            | Bathonien             |
| 15001064 | Berriasien           | Berriasien            |
| 15001025 | Burdigalien          | Burdigalien           |
| 15001010 | Calabrien            | Calabrien             |
| 15001071 | Callovien            | Callovien             |
| 15001053 | Campanien            | Campanien             |
| 15001102 | Capitanien           | Capitanien            |
| 15001084 | Carnien              | Carnien               |
| 15001057 | Cénomanien           | Cénomanien            |
| 15001096 | Changhsingien        | Changhsingien         |
| 15001031 | Chattien             | Chattien              |
| 15001151 | Chibanien            |                       |
| 15001110 | Cisuralien           | Cisuralien            |
| 15001055 | Coniacien            | Coniacien             |
| 15001048 | Danien               | Danien                |
| 15001128 | Devon                | Dévonien              |
| 15001035 | Eozän                | Eocène                |
| 15001058 | Frühe Kreide         | Crétacé précoce       |
| 15001088 | Frühe Trias          | Trias précoce         |
| 15001075 | Früher Jura          | Jurassique précoce    |
| 15001027 | frühes Burdigalien   | Burdigalien précoce   |
| 15001033 | frühes Chattien      | Chattien précoce      |
| 15001129 | Frühes Devon         | Dévonien tardif       |
| 15001043 | Frühes Eozän         | Eocène précoce        |
| 15001024 | Frühes Miozän        | Miocène précoce       |
| 15001127 | Frühes Mississippien | Mississippien précoce |
| 15001150 | Frühes Ordovizium    | Frühes Ordovizium     |
| 15001123 | Frühes Pennsylvanien | Pennsylvanien précoce |
| 15001009 | Frühes Pleistozän    | Pléistocène précoce   |
| 15001039 | frühes Priabonien    | Priabonien précoce    |
| 15001011 | Gélasien             | Gélasien              |
| 15001101 | Guadalupien          | Guadalupien           |
| 15001137 | Gzhélien             | Gzhélien              |
| 15001062 | Hauterivien          | Hauterivien           |
| 15001079 | Hettangien           | Hettangien            |
| 15001004 | Holozän              | Holocène              |
| 15001090 | Indusien             | Indusien              |
| 15001065 | Jura                 | Jurassique            |
| 15001135 | Kambrium             | Cambrien              |
| 15001002 | Känozoikum           | Cénozoïque            |
| 15001119 | Karbon               | Carbonifère           |
| 15001138 | Kasimovien           | Kasimovien            |

| GeolCode | Deutsch                 | Français             |
|----------|-------------------------|----------------------|
| 15001068 | Kimméridgien            | Kimméridgien         |
| 15001050 | Kreide                  | Crétacé              |
| 15001111 | Kungurien               | Kungurien            |
| 15001086 | Ladinien                | Ladinien             |
| 15001023 | Langhien                | Langhien             |
| 15001147 | Llandovery              | Llandoveryien        |
| 15001095 | Lopingien               | Lopingien            |
| 15001145 | Ludlow                  | Ludlowien            |
| 15001042 | Lutétien                | Lutétien             |
| 15001052 | Maastrichtien           | Maastrichtien        |
| 15001049 | Mesozoikum              | Mésozoïque           |
| 15001019 | Messinien               | Messinien            |
| 15001017 | Miozän                  | Miocène              |
| 15001124 | Mississippien           | Mississippien        |
| 15001085 | Mittlere Trias          | Trias moyen          |
| 15001070 | Mittlerer Jura          | Jurassique moyen     |
| 15001130 | Mittleres Devon         | Dévonien moyen       |
| 15001040 | Mittleres Eozän         | Eocène moyen         |
| 15001021 | Mittleres Miozän        | Miocène moyen        |
| 15001126 | Mittleres Mississippien | Mississippien moyen  |
| 15001149 | Mittleres Ordovizium    | Mittleres Ordovizium |
| 15001122 | Mittleres Pennsylvanien | Pennsylvanien moyen  |
| 15001007 | Mittleres Pleistozän    | Pléistocène moyen    |
| 15001139 | Moscovien               | Moscovien            |
| 15001013 | Neogen                  | Néogène              |
| 15001083 | Norien                  | Norien               |
| 15001089 | Olénékien               | Olénékien            |
| 15001030 | Oligozän                | Oligocène            |
| 15001134 | Ordovizium              | Ordovicien           |
| 15001069 | Oxfordien               | Oxfordien            |
| 15001029 | Paläogen                | Paléogène            |
| 15001091 | Paläozoikum             | Paléozoïque          |
| 15001045 | Paleozän                | Paléocène            |
| 15001120 | Pennsylvanien           | Pennsylvanien        |
| 15001093 | Perm                    | Permien              |
| 15001001 | Phanerozoikum           | Phanérozoïque        |
| 15001015 | Plaisancien             | Plaisancien          |
| 15001005 | Pleistozän              | Pléistocène          |
| 15001077 | Pliensbachien           | Pliensbachien        |
| 15001014 | Pliozän                 | Pliocène             |
| 15001152 | Präkambrium             |                      |
| 15001037 | Priabonien              | Priabonien           |
| 15001144 | Pridoli                 | Pridolien            |
| 15001136 | Proterozoikum           | Protérozoïque        |
| 15001003 | Quartär                 | Quaternaire          |
| 15001082 | Rhät                    | Rhétien              |
| 15001108 | Roadien                 | Roadien              |
| 15001034 | Rupélien                | Rupélien             |
| 15001115 | Sakmarien               | Sakmarien            |
| 15001054 | Santonien               | Santonien            |
| 15001047 | Sélandien               | Sélandien            |
| 15001141 | Serpukhovien            | Serpukhovien         |
| 15001022 | Serravallien            | Serravallien         |
| 15001133 | Silur                   | Silurien             |

| GeolCode | Deutsch              | Français                       |
|----------|----------------------|--------------------------------|
| 15001078 | Sinémurien           | Sinémurien                     |
| 15001051 | Späte Kreide         | Crétacé tardif                 |
| 15001081 | Späte Trias          | Trias tardif                   |
| 15001066 | Später Jura          | Jurassique tardif              |
| 15001026 | spätes Burdigalien   | Burdigalien tardif             |
| 15001032 | spätes Chattien      | Chattien tardif                |
| 15001131 | Spätes Devon         | Dévonien tardif                |
| 15001036 | Spätes Eozän         | Eocène tardif                  |
| 15001018 | Spätes Miozän        | Miocène tardif                 |
| 15001125 | Spätes Mississippien | Mississippien tardif           |
| 15001148 | Spätes Ordovizium    | Spätes Ordovizium              |
| 15001121 | Spätes Pennsylvanien | Pennsylvanien tardif           |
| 15001006 | Spätes Pleistozän    | Pléistocène tardif             |
| 15001038 | spätes Priabonien    | Priabonien tardif / Latdorfien |
| 15001012 | Tertiär              | Tertiaire                      |
| 15001046 | Thanétien            | Thanétien                      |
| 15001067 | Tithonien            | Tithonien                      |
| 15001076 | Toarcien             | Toarcien                       |
| 15001020 | Tortonien            | Tortonien                      |
| 15001143 | Tournaisien          | Tournaisien                    |
| 15001080 | Trias                | Trias                          |
| 15001056 | Turonien             | Turonien                       |
| 15001063 | Valanginien          | Valanginien                    |
| 15001142 | Viséen               | Viséen                         |
| 15001146 | Wenlock              | Wenlockien                     |
| 15001106 | Wordien              | Wordien                        |
| 15001098 | Wuchiapingien        | Wuchiapingien                  |
| 15001044 | Yprésien             | Yprésien                       |
| 15001016 | Zancléen             | Zancléen                       |
| 999997   | Unknown              | inconnu                        |
| 999998   | Not applicable       | not applicable                 |

## 14 Annexe GC\_TECTO\_CD

Table des valeurs des unités tectoniques

| GeolCode | Deutsch                          | Français                       |
|----------|----------------------------------|--------------------------------|
| 15301125 | «Zone Kronberg-Süd»              | zone du Kronberg-Sud           |
| 15303009 | Aar-Massiv                       | massif de l'Aar                |
| 15301027 | Abgescherter Tafeljura           | Jura tabulaire cisailé         |
| 15301001 | Abgeschertes Nordalpines Vorland | Avant-pays nord-alpin décollé  |
| 15307004 | Adamello-Intrusion               |                                |
| 15304018 | Adula-Decke                      | nappe de l'Adula               |
| 15303003 | Aiguilles-Rouges-Massiv          | massif des Aiguilles Rouges    |
| 15305007 | Allgäu-Decke                     |                                |
| 15304151 | Antigorio-Decke                  | nappe d'Antigorio              |
| 15304010 | Antigorio-Deckenkomplex          | complexe de nappes d'Antigorio |
| 15304092 | Antrona-Decke                    | nappe d'Antrona                |
| 15303081 | Anzeinde-Decke                   | nappe d'Anzeinde               |
| 15303017 | Ardon-Decke                      | nappe d'Ardon                  |
| 15304076 | Areua-Bruschghorn-Melange        | mélange de l'Areua-Bruschghorn |
| 15304130 | Argio-Schuppe                    | écaille d'Argio                |

| GeolCode | Deutsch                             | Français                                  |
|----------|-------------------------------------|---|
| 15308015 | Arolla-Einheit                      | unité d'Arolla                            |
| 15304100 | Arosa-Decke                         | nappe d'Arosa                             |
| 15303075 | Arveyes-Decke                       | nappe d'Arveyes                           |
| 15304158 | Aubrig-Schuppe                      | écaille de l'Aubrig                       |
| 15305053 | Augstenberg-Schuppe                 | Augstenberg-Schuppe                       |
| 15304036 | Aul-Decke                           | nappe de l'Aul                            |
| 15302040 | Autochtones Nordalpines Vorland     | Avant-pays nord-alpin autochtone          |
| 15301022 | Avant-Monts-Zone                    | Zone des Avant-monts                      |
| 15304097 | Avers-Decke                         | nappe de l'Avers                          |
| 15303041 | Axen-Decke                          | nappe de l'Axen                           |
| 15303131 | Axen-Nordschuppe                    | Axen-Nordschuppe                          |
| 15303130 | Axen-Südschuppe                     | Axen-Südschuppe                           |
| 15303086 | Bächistock-Schuppe                  | écaille du Bächistock                     |
| 15303119 | Bad-Ragaz-Decke                     |   |
| 15305043 | Bardella-Padella-Schuppenkomplex    | complexe d'écailles de Bardella-Padella   |
| 15303002 | Belledonne-Massiv                   | massif de Belledonne                      |
| 15301131 | Belmont-Schuppe                     | écaille de Belmont                        |
| 15304082 | Berisal-Decke                       | nappe de Berisal                          |
| 15305029 | Bernina-Decke                       | nappe de la Bernina                       |
| 15305028 | Bernina-Deckenkomplex               |   |
| 15303074 | Bex-Laubhorn-Decke                  | nappe de Bex-Laubhorn                     |
| 15303082 | Blattengrat-Decke                   | nappe du Blattengrat                      |
| 15301127 | Blueme-Beichle-Schuppe              | écaille de la Blueme-Beichle              |
| 15304131 | Bodengo-Schuppe                     | écaille de Bodengo                        |
| 15303109 | Bois-de-Bouleyres-Schuppe           | écaille du Bois de Bouleyres              |
| 15304078 | Bombogno-Zone                       | zone de Bombogno                          |
| 15304026 | Bosco-Zone                          | zone de Bosco                             |
| 15307006 | Bregaglia-Intrusion                 | Intrusion de Bregaglia                    |
| 15304065 | Brekzien-Decke                      | nappe de la Brèche                        |
| 15302046 | Bresse-Graben                       | fossé bressan                             |
| 15303105 | Broc-Schuppenkomplex                | complexe des écailles de Broc             |
| 15303099 | Bürgenstock-Urmiberg-Schuppe        |   |
| 15303091 | Calanda-Decke                       |   |
| 15303145 | Calanda-Decke (Blattengrat-Anteil)  | Nappe du Calanda (partie Blattengrat)     |
| 15303149 | Calanda-Decke (Sardona-Anteil)      | Nappe du Calanda (partie Sardona)         |
| 15303151 | Calanda-Schuppe (Aar-Massiv-Anteil) | Nappe du Calanda (partie massif de l'Aar) |
| 15303102 | Camosci-Decke                       |   |
| 15305019 | Campo-Decke                         |   |
| 15304153 | Camughera-Decke                     | nappe de Camughera                        |
| 15306004 | Canavese-Zone                       |   |
| 15305039 | Carungas-Schuppe                    | écaille du Carungas                       |
| 15305060 | Casanna-Schuppe                     | écaille de la Casanna                     |
| 15303027 | Cavistrau-Decke                     | nappe du Cavistrau                        |
| 15303011 | Chaînes-subalpines-Decke            | nappe des Chaînes subalpines              |
| 15303121 | Chamerstock-Schuppe                 | écaille du Chamerstock                    |
| 15301139 | Champotey-Ramsera-Schuppe           | écaille de Champotey-Ramsera              |
| 15305042 | Chastelets-Schuppe                  | écaille du Chastelets                     |
| 15308028 | Chatillon-Schuppe                   | écaille de Chatillon                      |
| 15308026 | Chatillon-St-Vincent-Schuppen       | écailles de Chatillon-St-Vincent          |
| 15304034 | Chiavenna-Decke                     | nappe de Chiavenna                        |
| 15301123 | Chräzerli-Schuppe                   | écaille de Chräzerli                      |

| GeolCode | Deutsch                     | Français                           |
|----------|-----------------------------|------------------------------------|
| 15303128 | Chropfsberg-Gaffia-Schuppen | écailles du Chropfsberg-Gaffia     |
| 15303094 | Chropfsberg-Schuppe         |                                    |
| 15304017 | Cima-Lunga-Decke            | nappe de la Cima Lunga             |
| 15304055 | Cimes-Blanches-Decke        | nappe des Cimes Blanches           |
| 15303120 | Clariden-Schuppenkomplex    | complexe des écailles des Clariden |
| 15304118 | Claro-Schuppe               | écaille de Claro                   |
| 15305041 | Corvatsch-Schuppe           | écaille du Corvatsch               |
| 15301133 | Cully-Schuppe               | écaille de Cully                   |
| 15304128 | Darlun-Schuppe              | écaille de Darlun                  |
| 15308014 | Dent-Blanche-Decke          | nappe de la Dent Blanche           |
| 15303030 | Diablerets-Decke            | nappe des Diablerets               |
| 15303016 | Doldenhorn-Decke            | nappe du Doldenhorn                |
| 15305058 | Dorfberg-Decke              | nappe du Dorfberg                  |
| 15304107 | Dranses-Decke               | nappe des Dranses                  |
| 15305056 | Drei-Schwestern-Schuppe     | écaille des Drei-Schwestern        |
| 15304148 | Dros-Scholle                | écaille de Dros                    |
| 15303046 | Drusberg-Decke              | nappe du Drusberg                  |
| 15301150 | Eichberg-Schuppe            | écaille de l'Eichberg              |
| 15303060 | Einsiedeln-Schuppenkomplex  | complexe d'écailles d'Einsiedeln   |
| 15305032 | Ela-Decke                   |                                    |
| 15305038 | Err-Decke                   |                                    |
| 15305035 | Err-Deckenkomplex           |                                    |
| 15308025 | Etirol-Levaz-Schuppe        | écaille d'Etirol-Levaz             |
| 15303061 | Externe Einsiedeln-Schuppen | écailles externes d'Einsiedeln     |
| 15301024 | Externer Faltenjura         | Jura plissé externe                |
| 15303112 | Externes Aar-Massiv         | massif de l'Aar externe            |
| 15303141 | Externes Belledonne-Massiv  | massif de Belledonne externe       |
| 15303115 | Externes Mont-Blanc-Massiv  |                                    |
| 15301025 | Faisceaux                   | Faisceaux                          |
| 15304066 | Falknis-Decke               | nappe du Falknis                   |
| 15304113 | Fanella-Schuppe             | écaille de la Fanella              |
| 15304029 | Ferret-Schuppe              | écaille de Ferret                  |
| 15304043 | Feuerstätter-Decke          | nappe de Feuerstätt                |
| 15303127 | Fiseten-Orthalgen-Schuppen  | écailles de Fiseten-Orthalgen      |
| 15303071 | Fläscherberg-Decke          | nappe du Fläscherberg              |
| 15304134 | Forcellina-Schuppe          | écaille de la Forcellina           |
| 15304056 | Frilhorn-Decke              | nappe du Frilhorn                  |
| 15303138 | Friteren-Schuppe            | écaille de Friteren                |
| 15301126 | Gäbris-Schuppe              | écaille du Gäbris                  |
| 15303095 | Gaffia-Schuppe              |                                    |
| 15304143 | Gälmji-Zone                 | zone de Gälmji                     |
| 15304117 | Gana-Palinger-Schuppe       | écaille de Gana-Palinger           |
| 15304111 | Garzott-Schuppe             | écaille de Garzott                 |
| 15303008 | Gastern-Massiv              | massif de Gastern                  |
| 15303122 | Geisstritt-Schuppe          | écaille du Geisstritt              |
| 15304070 | Gelbhorn-Decke              | nappe du Gelbhorn                  |
| 15303020 | Gellhorn-Decke              | nappe du Gellhorn                  |
| 15303124 | Gemsfäuren-Schuppe          | écaille du Gemsfäuren              |
| 15301137 | Gérignoz-La-Roche-Schuppe   | écaille de Gérignoz-la-Roche       |
| 15304096 | Gets-Decke                  | nappe des Gets                     |
| 15301151 | Giebelegg-Schuppe           | écaille de la Giebelegg            |
| 15303026 | Gitschen-Decke              | nappe du Gitschen                  |
| 15303038 | Glarner Deckenkomplex       | complexe de nappes de Glaris       |
| 15304139 | Glegghorn-Schuppe           | écaille du Glegghorn               |

| GeolCode | Deutsch                           | Français                          |
|----------|-----------------------------------|-----------------------------------|
| 15308019 | Gneiss-minuti-Einheit             | «Gneiss minuti»                   |
| 15303044 | Gonzen-Walenstadt-Schuppen        | écailles du Gonzen-Walenstadt     |
| 15304140 | Gornergrat-Decke                  | nappe du Gornergrat               |
| 15305052 | Gorvion-Schuppe                   | écaille du Gorvion                |
| 15304147 | Gotschnawang-Scholle              | écaille la Gotschnawang           |
| 15303058 | Gotthard-Decke                    | nappe du Gotthard                 |
| 15304138 | Grauspitz-Schuppe                 | écaille du Grauspitz              |
| 15304038 | Grava-Decke                       | nappe de Grava                    |
| 15303023 | Griessstock-Decke                 | nappe du Griessstock              |
| 15303106 | Gros-Plané-Melange                | Mélange du Gros Plané             |
| 15304129 | Groven-Schuppe                    | écaille de Groven                 |
| 15305059 | Grüenhorn-Schuppe                 | nappe du Grüenhorn                |
| 15304019 | Gruf-Komplex                      | complexe du Gruf                  |
| 15308030 | Grun-Schuppe                      | écaille de Grun                   |
| 15308027 | Grun-Schuppe                      | écaille de Grun                   |
| 15304006 | Güida-Alpettas-Schuppen           | écailles de Güida-Alpettas        |
| 15304103 | Gurnigel-Decke                    | nappe du Gurnigel                 |
| 15303077 | Habkern-Melange-Zone              | Zone de mélange de Habkern        |
| 15304145 | Haupterhorn-Scholle               | écaille de l'Haupterhorn          |
| 15302042 | Haute-Saône-Tafel                 | plateau de Haute Saône            |
| 15302020 | Hegau-Bodensee-Störungszone       | fossé d'Hegau-Bodensee            |
| 15307010 | Hegau-Provinz                     | province du Hegau                 |
| 15303100 | Helvetikum                        |                                   |
| 15305055 | Heubühl-Schuppe                   | écaille du Heubühl                |
| 15301128 | Hilfern-Schuppe                   | écaille d'Hilfern                 |
| 15301148 | Hirschberg-Schuppe                | écaille du Hirschberg             |
| 15303088 | Hoch-Fulen-Decke                  | nappe du Hoch-Fulen               |
| 15303133 | Höch-Turm-Schuppen                | écaille de la Hoch Turm           |
| 15303101 | Hochflue-Schuppe                  |                                   |
| 15303040 | Hohenems-Decke                    | nappe de Hohenems                 |
| 15301120 | Höhronen-Schuppe                  | écaille de la Höhronen            |
| 15301149 | Hölzliberg-Schuppe                | écaille du Hölzliberg             |
| 15301129 | Hornbüel-Schuppenzone             | zone d'écailles de Hornbüel       |
| 15303104 | Iberg-Melange                     |                                   |
| 15308018 | Ila Zona Dioritico-Kinzigitica    | Ila Zona Dioritico-Kinzigitica    |
| 15303055 | Illanz-Decke                      | nappe d'Illanz                    |
| 15304154 | Infra-Niesen-Melange              | mélange Infra-Niesen              |
| 15304159 | Infrapräalpines Melange           | Mélange infrapréalpin             |
| 15305005 | Inntal-Decke                      |                                   |
| 15303062 | Interne Einsiedeln-Schuppen       | écailles internes d'Einsiedeln    |
| 15301023 | Interner Faltenjura               | Jura plissé interne               |
| 15303113 | Internes Aar-Massiv               | massif de l'Aar interne           |
| 15303140 | Internes Belledonne-Massiv        | massif de Belledonne interne      |
| 15303116 | Internes Mont-Blanc-Massiv        |                                   |
| 15304025 | Isorno-Zone                       | zone de l'Isorno                  |
| 15306002 | Ivrea-Verbanio-Zone               |                                   |
| 15303018 | Jägerchrüz-Decke                  | nappe du Jägerchrüz               |
| 15305033 | Julier-Decke                      |                                   |
| 15303129 | Kaminspitz-Schuppe                | nappe du Kaminspitz               |
| 15303025 | Kammlistock-Decke                 | nappe des Kammlistock             |
| 15307009 | Känozoische magmatische Provinzen | provinces magmatiques cénozoïques |
| 15304120 | Kiental-Melange                   | Mélange du Kiental                |
| 15303024 | Klausenpass-Schuppen              | écailles du Klausenpasse          |

| GeolCode | Deutsch                                      | Français  |
|----------|--|---|
| 15304057 | Klippen-Decke                                | nappe des Préalpes médianes                     |
| 15304073 | Knorren-Melange                              | Mélange de Knorren                              |
| 15305004 | Krabachjoch-Decke                            |   |
| 15301124 | Kronberg-Schuppe                             | écaille du Kronberg                             |
| 15301140 | La-Pattaz-La-Holena-Schuppe                  | écaille de La-Pattaz-la-Holena                  |
| 15303126 | Langfirn-Schuppe                             | écaille du Langfirn                             |
| 15305020 | Languard-Decke                               |   |
| 15301134 | Lavaux-Schuppe                               | écaille du Lavaux                               |
| 15304011 | Lebendun-Decke                               | nappe de Lebendun                               |
| 15305006 | Lechtal-Decke                                |   |
| 15304123 | Lenk-Decke                                   | nappe de la Lenk                                |
| 15303108 | Les-Pléiades-Schuppe                         | écaille des Pléiades                            |
| 15304002 | Leventina-Lucomagno-Decke                    | nappe de la Léventine-Lukmanier                 |
| 15303068 | Liebenstein-Decke                            |   |
| 15304133 | Livizung-Schuppe                             | écaille de Livizung                             |
| 15303096 | Logsbach-Schuppe                             |   |
| 15301132 | Lutry-Thonon-Schuppe                         | écaille de Lutry-Thonon                         |
| 15305072 | Madrisa-Schuppe                              | écaille de Madrisa                              |
| 15305031 | Madulain-Schuppenkomplex                     | zone d'écailles de Madulain                     |
| 15304086 | Maggia-Decke                                 | nappe de la Maggia                              |
| 15303139 | Maisander-Schuppe                            | écaille de Maisander                            |
| 15304098 | Malenco-Forno-Lizun-Decke                    | nappe du Malenco-Forno-Lizun                    |
| 15303155 | Maliens-Schuppe                              | écaille de Maliens                              |
| 15301142 | Marbach-Berneck-Dreieckzone                  | zone triangulaire Marbach-Berneck               |
| 15303144 | Marchegghorn-Schuppe<br>(Blattengrat-Anteil) | écaille du Marchegghorn (partie<br>Blattengrat) |
| 15303147 | Marchegghorn-Schuppe<br>(Sardona-Anteil)     | écaille du Marchegghorn (partie<br>Sardona)     |
| 15308022 | Margna-Decke                                 | nappe de la Margna                              |
| 15304075 | Martegnas-Melange                            | Mélange du Martegnas                            |
| 15303118 | Mättental-Melange                            |   |
| 15304121 | Meilleret-Decke                              | nappe du Meilleret                              |
| 15304132 | Mergoscia-Zone                               | zone de Mergoscia                               |
| 15305030 | Mezzaun-Schuppe                              | écaille du Mezzaun                              |
| 15308021 | Micascisti-eclogitici-Einheit                | «Micascisti eclogitici»                         |
| 15306008 | Milan Belt                                   | Arc milanais                                    |
| 15303092 | Mirutta-Decke                                |   |
| 15303152 | Mirutta-Schuppen<br>(Aar-Massiv-Anteil)      | Nappe de Mirutta (partie massif de<br>l'Aar)    |
| 15303146 | Mirutta-Schuppen<br>(Blattengrat-Anteil)     | Nappe de Mirutta (partie<br>Blattengrat)        |
| 15303150 | Mirutta-Schuppen (Sardona-Anteil)            | Nappe de Mirutta (partie Sardona)               |
| 15304049 | Mittelpenninikum                             | Pennique moyen                                  |
| 15304077 | Moncucco-Decke                               | nappe du Moncucco                               |
| 15303007 | Mont-Blanc-Massiv                            | massif du Mont Blanc                            |
| 15303049 | Mont-Chétif-Decke                            | nappe du Mont-Chétif                            |
| 15308009 | Mont-Emilius-Decke                           | nappe du Mont Emilius                           |
| 15304084 | Mont-Fort-Decke                              | nappe du Mont Fort                              |
| 15303033 | Mont-Gond-Decke                              | nappe du Mont-Gond                              |
| 15308010 | Mont-Mary-Decke                              | nappe du Mont Mary                              |
| 15301135 | Mont-Pèlerin-Schuppe                         | écaille du Mont-Pèlerin                         |
| 15304012 | Monte-Leone-Decke                            | nappe du Monte Leone                            |
| 15304085 | Monte-Rosa-Decke                             | nappe du Mont Rose                              |
| 15303107 | Montsalvens-Schuppe                          | écaille de Montsalvens                          |

| GeolCode | Deutsch  | Français                                      |
|----------|--|---|
| 15303015 | Morcles-Decke  | nappe de Morcles                              |
| 15304030 | Moûtiers-Schuppe   | écaille de Moûtiers                           |
| 15305036 | Murtiröl-Schuppe   | écaille du Murtiröl                           |
| 15303039 | Mürtschen-Decke  | nappe du Mürtschen                            |
| 15304047 | Muttler-Decke  | nappe du Muttler                              |
| 15304155 | Mythen-Roggenegg-Schuppe                                 |   |
| 15303098 | Niederhorn-Pilatus-Schuppe                               |   |
| 15304027 | Niesen-Decke   | nappe du Niesen                               |
| 15307005 | Novate-Intrusion   |   |
| 15308013 | Obere Einheit der Mont-Mary-Decke                        | unité supérieure de la nappe du Mont Mary     |
| 15306005 | Obere Orobische Decke                                    |   |
| 15304156 | Obere Rotenflue-Schuppe                                  | écaille de l'Obere Rotenflue                  |
| 15304081 | Obere Stalden-Decke                                      | nappe de Stalden supérieure                   |
| 15304142 | Obere Vals-Schuppen                                      | écailles de Vals supérieures                  |
| 15303028 | Oberhelvetikum   | Helvétique supérieur                          |
| 15305002 | Oberostalpin   |   |
| 15304091 | Oberpenninikum   | Pennique supérieur                            |
| 15302045 | Oberrhein-Graben   | fossé du Haut-Rhin                            |
| 15305054 | Ochsenkopf-Schuppe                                       | écaille de l'Ochsenkopf                       |
| 15304122 | Ochsenweid-Decke   | nappe de l'Ochsenweid                         |
| 15303143 | Orglen-Schuppen<br>(Aar-Massiv-Anteil)                   | écailles de l'Orglen (partie massif de l'Aar) |
| 15303148 | Orglen-Schuppen (Sardona-Anteil)                         | écailles de l'Orglen (partie Sardona)         |
| 15304119 | Orselina-Bellinzona-Zone                                 | zone d'Orselina-Bellinzona                    |
| 15305018 | Ortler-Decke   |   |
| 15305001 | Ostalpin   |   |
| 15305013 | Ötztal-Decke   |   |
| 15304014 | Penninikum   | Pennique                                      |
| 15307003 | Periadriatische Provinz                                  | Province périadriatique                       |
| 15307008 | Periadriatische Vulkanite entlang der Insubrischen Linie |   |
| 15304033 | Petit-St-Bernard-Schuppe                                 | écaille du Petit St-Bernard                   |
| 15304032 | Pierre-Avoi-Schuppe                                      | écaille de la Pierre Avoi                     |
| 15303103 | Piora-Peiden-Schuppenkomplex                             |   |
| 15303111 | Piz-d'Artgas-Decke                                       | nappe du Piz d'Artgas                         |
| 15304005 | Piz-Terri-Lunschania-Decke                               | nappe du Piz-Terri-Lunschania                 |
| 15303137 | Pizalun-Schuppe  | écaille du Pizalun                            |
| 15304013 | Pizzo-del-Vallone-Decke                                  | nappe du Pizzo del Vallone                    |
| 15303072 | Plaine-Morte-Decke                                       | nappe de la Plaine Morte                      |
| 15303019 | Plammis-Decke  | nappe de Plammis                              |
| 15301026 | Plateaus   | Plateaux                                      |
| 15304099 | Platta-Decke   | nappe du Platta                               |
| 15306007 | Po-Becken  | bassin du Pô                                  |
| 15308029 | Pontey-Schuppe   | écaille de Pontey                             |
| 15304126 | Portjengrat-Decke  | nappe du Portjengrat                          |
| 15304058 | Préalpes médianes plastiques                             | Préalpes médianes plastiques                  |
| 15304059 | Préalpes médianes rigides                                | Préalpes médianes rigides                     |
| 15305015 | Quattervals-Decke  |   |
| 15301147 | Ralligen-Schuppenzone                                    | zone d'écailles de Ralligen                   |
| 15304046 | Ramosch-Zone   | zone de Ramosch                               |
| 15301118 | Rigi-Rossberg-Schuppe                                    | écaille du Rigi-Rossberg                      |
| 15305070 | Roggenstock-Mördergruebi-Decke                           | nappe du Roggenstock-Mördergruebi             |



| GeolCode | Deutsch                               | Français                                   |
|----------|---------------------------------------|--|
| 15304031 | Roignais-Versoyen-Schuppe             | écaille du Roignais-Versoyen               |
| 15308011 | Roisan-Cignana-Scherzone              | zone de cisaillement de Roisan-Cignana     |
| 15303029 | Roselette-Decke                       | nappe de Roselette                         |
| 15304152 | Rosswald-Schuppe                      | écaille de Rosswald                        |
| 15305024 | Rothorn-Decke                         |  |
| 15303125 | Rotstock-Schuppe                      | écaille du Rotstock                        |
| 15304045 | Roz-Champatsch-Melange                | Mélange de Roz-Campatsch                   |
| 15304125 | Ruginenta-Decke                       | nappe de Ruginenta                         |
| 15304080 | Ruitor-Decke                          | nappe du Ruitor                            |
| 15305012 | S-chanf-Schuppen                      | écailles de S-chanf                        |
| 15305016 | S-charl-Sesvenna-Decke                | nappe de S-charl-Sesvenna                  |
| 15304108 | Saane-Decke                           | nappe de la Sarine                         |
| 15308001 | Salassikum                            | Salassique                                 |
| 15308002 | Salassikum Sub-Domäne undifferenziert | sous-domaine indifférencié du Salassique   |
| 15304088 | Sambuco-Decke                         | nappe du Sambuco                           |
| 15304109 | San-Giorgio-Schuppe                   | écaille de San Giorgio                     |
| 15303045 | Säntis-Decke                          | nappe du Säntis                            |
| 15303069 | Sardona-Decke                         | nappe du Sardona                           |
| 15304150 | Sasseneire-Decke                      | nappe du Sasseneire                        |
| 15303135 | Schabell-Melange                      |  |
| 15303132 | Schächentaler Windgällen-Schuppen     | écailles des Schächentaler Windgällen      |
| 15305057 | Schafläger-Decke                      | nappe du Schafläger                        |
| 15304069 | Schams-Deckenkomplex                  | complexe de nappes du Schams               |
| 15301130 | Schangnau-Schuppe                     | écaille de Schangnau                       |
| 15305051 | Schesaplana-Schuppe                   | écaille de Schesaplana                     |
| 15305048 | Schiahorn-Decke                       | nappe du Schiahorn                         |
| 15304105 | Schlieren-Decke                       | nappe des Schlieren                        |
| 15301122 | Schorhüttenberg-Schuppe               | écaille du Schorhüttenberg                 |
| 15303078 | Scopi-Decke                           | nappe du Scopi                             |
| 15301144 | Seftigschwand-Schuppe                 | écaille de Seftigschwand                   |
| 15308023 | Sella-Decke                           | nappe de la Sella                          |
| 15308017 | Sesia-Decke                           | nappe de Sesia                             |
| 15303073 | Sex-Mort-Decke                        | nappe du Sex Mort                          |
| 15303085 | Silberen-Schuppen                     | écailles du Silberen                       |
| 15305009 | Silvretta-Decke                       |  |
| 15304008 | Simano-Decke                          | nappe du Simano                            |
| 15308024 | Simmen-Decke                          | nappe de la Simme                          |
| 15304028 | Sion-Courmayeur-Decke                 | nappe de Sion-Courmayeur                   |
| 15304083 | Siviez-Mischabel-Decke                | nappe de Siviez-Mischabel                  |
| 15304115 | Soazza-Schuppe                        | écaille de Soazza                          |
| 15304004 | Soja-Decke                            | nappe du Soi                               |
| 15303154 | Sörenberg-Melange                     | Mélange de Sörenberg                       |
| 15301121 | Speer-Stockberg-Schuppe               | écaille du Speer-Stockberg                 |
| 15301119 | St.-Jost-Schuppe                      | écaille de St-Jost                         |
| 15304157 | Stäglernenegg-Brünnelistock-Schuppen  | écailles de la Stäglernenegg-Brünnelistock |
| 15305027 | Stammerspitz-Schuppe                  | écaille du Stammerspitz                    |
| 15301145 | Steffisburg-Schuppe                   | écaille de Steffisburg                     |
| 15303142 | Stelli-Schuppe                        | écaille du Stelli                          |
| 15303123 | Stichplatten-Schuppe                  | écaille des Stichplatten                   |
| 15304127 | Stockhorn-Decke                       | nappe du Stockhorn                         |

| GeolCode | Deutsch                                | Français                                     |
|----------|--|--|
| 15306003 | Strona-Ceneri-Zone                     |  |
| 15303059 | Subalpine Flysch-Zone                  | zone du Flysch subalpin                      |
| 15301116 | Subalpine Molasse                      | Molasse subalpine                            |
| 15301143 | Subalpiner Schuppenkomplex             | complexe des écaïlles subalpines             |
| 15303034 | Sublage-Decke                          | nappe du Sublage                             |
| 15306001 | Südalpin                               |  |
| 15306009 | Südalpin Sub-Domäne<br>undifferenziert | sous-domaine indifférencié du<br>Sudalpin    |
| 15302043 | Süddeutsche Tafel                      | plateau d'Allemagne méridionale              |
| 15303153 | Südelbach-Zone                         | zone du Südelbach                            |
| 15304067 | Sulzfluh-Decke                         | nappe de la Sulzfluh                         |
| 15304090 | Suretta-Decke                          | nappe de Suretta                             |
| 15304089 | Tambo-Decke                            | nappe du Tambo                               |
| 15304068 | Tasna-Decke                            | nappe du Tasna                               |
| 15303057 | Tavetsch-Decke                         | nappe du Tavetsch                            |
| 15304112 | Terri-Schuppe                          | écaïlle du Terri                             |
| 15305047 | Terza-Schuppe                          | écaïlle du Piz Terza                         |
| 15304041 | Tomül-Decke                            | nappe du Tomül                               |
| 15305022 | Tonale-Decke                           | nappe du Tonale                              |
| 15303097 | Toralp-Schuppe                         |  |
| 15304149 | Totalp-Ophiolithkomplex                | complexe ophiolithique de la Totalp          |
| 15304114 | Trescolmen-Schuppe                     | écaïlle de Trescolmen                        |
| 15304136 | Triesenberg-Schuppenkomplex            | zone d'écaïlles du Triesenberg               |
| 15303114 | Trun-Punteglias-Teilmassiv             |  |
| 15304094 | Tsaté-Decke                            | nappe du Tsaté                               |
| 15303021 | Tschep-Schuppe                         | nappe du Tschep                              |
| 15304072 | Tschera-Kalkberg-Decke                 | nappe du Tscherra-Kalkberg                   |
| 15304137 | Tschingel-Schuppe                      | écaïlle du Tschingel                         |
| 15303136 | Tschingelhörner-Schuppe                |  |
| 15305026 | Tschirpen-Decke                        |  |
| 15303110 | Tulle-Melange                          | Mélange de la Tulle                          |
| 15303048 | Ultrahelvetikum                        | Ultrahelvétique                              |
| 15305082 | Umbrail-Chavalatsch-Schuppen           | écaïlles de l'Umbrail-Chavalatsch            |
| 15305014 | Umbrail-Terza-Schuppenkomplex          | complexe d'écaïlles de<br>l'Umbrail-Terza    |
| 15308012 | Untere Einheit der Mont-Mary-Decke     | unité inférieure de la nappe du<br>Mont Mary |
| 15306006 | Untere Orobische Decke                 |  |
| 15304054 | Untere Stalden-Schuppe                 | écaïlle de Stalden inférieure                |
| 15304141 | Untere Vals-Schuppen                   | écaïlles de Vals inférieures                 |
| 15303001 | Unterhelvetikum                        | Helvétique inférieur                         |
| 15305023 | Unterostalpin                          |  |
| 15304015 | Unterpenninikum                        | Pennique inférieur                           |
| 15304044 | Üntschen-Decke                         | nappe de l'Üntschen                          |
| 15304135 | Val-Gronda-Schuppe                     | écaïlle du Val Gronda                        |
| 15308016 | Valpelline-Einheit                     | unité de la Valpelline                       |
| 15304035 | Vals-Schuppenkomplex                   | complexe d'écaïlles de Vals                  |
| 15301138 | Vaulruz-Schuppe                        | écaïlle de Vaulruz                           |
| 15304009 | Verampio-Decke                         | nappe de Verampio                            |
| 15301136 | Vevey-Evian-Schuppe                    | écaïlle de Vevey-Evian                       |
| 15301141 | Villarvolard-Schuppe                   | écaïlle de Villarvolard                      |
| 15304053 | Visperterminen-Schuppe                 | écaïlle de Visperterminen                    |
| 15304104 | Voirons-Decke                          | nappe des Voirons                            |
| 15308031 | Vollon-Schuppe                         | écaïlle de Vollon                            |

| GeolCode | Deutsch                | Français                       |
|----------|------------------------|--------------------------------|
| 15301031 | Vorfaltenzone          | Vorfaltenzone                  |
| 15301030 | Vorlandplateau         | Plateau de l'Avant-pays        |
| 15303037 | Wageten-Schuppe        | écaille de la Wageten          |
| 15304106 | Wägitäl-Decke          | nappe du Wägitäl               |
| 15304146 | Weissfluh-Scholle      | écaille de la Weissfluh        |
| 15303063 | Wildhaus-Melange       | Mélange de Wildhaus            |
| 15303031 | Wildhorn-Deckenkomplex | complexe de nappes du Wildhorn |
| 15303042 | Wissberg-Schuppe       | écaille du Wissberg            |
| 15303134 | Wissenwand-Schuppe     | écaille de la Wissenwand       |
| 15301146 | Wolfsegg-Schuppe       | écaille de la Wolfsegg         |
| 15304093 | Zermatt-Saas-Fee-Decke | nappe de Zermatt-Saas-Fee      |
| 15304116 | Zervreila-Schuppe      | écaille de Zervreila           |
| 15304050 | Zone Houillère         | zone Houillère                 |
| 15304051 | Zone Houillère externe | zone Houillère externe         |
| 15304052 | Zone Houillère interne | zone Houillère interne         |
| 15304048 | Zone Submédiane        | zone Submédiane                |
| 999997   | Unknown                | inconnu                        |
| 999998   | Not applicable         | not applicable                 |

## 15 Annexe GC\_MINERAL\_CD

-todo-

| GeolCode | Deutsch        | Français           |
|----------|----------------|--------------------|
| 20401056 | Adular         | adulaire           |
| 20401057 | Aegirin        | aegirine           |
| 20401058 | Aegirin-Augit  | aegirine-augite    |
| 20401001 | Aktinolith     | actinote           |
| 20401002 | Albit          | albite             |
| 20401024 | Alkalifeldspat | feldspath alcalin  |
| 20401003 | Allanit        | allanite           |
| 20401004 | Almandin       | almandin           |
| 20401050 | Alumosilikat   | silicate d'alumine |
| 20401005 | Amphibol       | amphibole          |
| 20401006 | Andalusit      | andalousite        |
| 20401059 | Andesin        | andésine           |
| 20401060 | Anhydrit       | anhydrite          |
| 20401007 | Ankerit        | ankérite           |
| 20401061 | Annit          | annite             |
| 20401008 | Anorthit       | anorthite          |
| 20401009 | Antigorit      | antigorite         |
| 20401062 | Aragonit       | aragonite          |
| 20401063 | Augit          | augite             |
| 20401010 | Biotit         | biotite            |
| 20401014 | Chlorit        | chlorite           |
| 20401015 | Chloritoid     | chloritoïde        |
| 20401064 | Chrysotil      | chrysotile         |
| 20401017 | Coesit         | coésite            |
| 20401018 | Cordierit      | cordiérite         |
| 20401019 | Diopsid        | diopside           |
| 20401020 | Disthen        | disthène           |
| 20401021 | Dolomit        | dolomite           |

| GeolCode | Deutsch         | Français      |
|----------|-----------------|---------------|
| 20401082 | Enstatit        | enstatite     |
| 20401022 | Epidot          | épidote       |
| 20401081 | Fayalit         | fayalite      |
| 20401023 | Feldspat        | feldspath     |
| 20401080 | Forsterit       | forstérite    |
| 20401085 | Fuchsit         | fuchsite      |
| 20401026 | Glaukophan      | glaucophane   |
| 20401032 | Glimmer         | mica          |
| 20401028 | Granat          | grenat        |
| 20401027 | Graphit         | graphite      |
| 20401065 | Grossular       | grossulaire   |
| 20401033 | Hellglimmer     | mica blanc    |
| 20401029 | Hornblende      | hornblende    |
| 20401066 | Jadeit          | jadéite       |
| 20401011 | Kalzit          | calcite       |
| 20401012 | Karbonatmineral | carbonate     |
| 20401013 | Karpholith      | carpholite    |
| 20401070 | Klinopyroxen    | clinopyroxène |
| 20401016 | Klinozoisit     | clinozoïsite  |
| 20401030 | Lawsonit        | lawsonite     |
| 20401031 | Magnetit        | magnétite     |
| 20401067 | Margarit        | margarite     |
| 20401034 | Mikroklin       | microcline    |
| 20401035 | Muskovit        | muscovite     |
| 20401068 | Oligoklas       | oligoclase    |
| 20401036 | Olivin          | olivine       |
| 20401037 | Omphazit        | omphacite     |
| 20401038 | Orthoklas       | orthose       |
| 20401069 | Orthopyroxen    | orthopyroxène |
| 20401039 | Paragonit       | paragonite    |
| 20401071 | Phengit         | phengite      |
| 20401040 | Phlogopit       | phlogopite    |
| 20401041 | Plagioklas      | plagioclase   |
| 20401042 | Prehnit         | préhnite      |
| 20401072 | Pumpellyit      | pumpellyite   |
| 20401043 | Pyrit           | pyrite        |
| 20401044 | Pyrop           | pyrope        |
| 20401045 | Pyrophyllit     | pyrophyllite  |
| 20401046 | Pyroxen         | pyroxène      |
| 20401047 | Quarz           | quartz        |
| 20401073 | Sanidin         | sanidine      |
| 20401074 | Sapphirin       | sapphirine    |
| 20401084 | Serizit         | séricite      |
| 20401049 | Serpentin       | serpentine    |
| 20401051 | Sillimanit      | sillimanite   |
| 20401075 | Spessartin      | spessartine   |
| 20401076 | Spinell         | spinelle      |
| 20401052 | Staurolith      | staurotide    |
| 20401053 | Stilpnomelan    | stilpnomélane |
| 20401054 | Talk            | talc          |
| 20401077 | Titanit         | titanite      |
| 20401078 | Tremolit        | trémolite     |
| 20401079 | Turmalin        | tourmaline    |
| 20401083 | Zeolith         | zéolithe      |

| GeolCode | Deutsch        | Français       |
|----------|----------------|----------------|
| 20401055 | Zoisit         | zoïsite        |
| 999997   | Unknown        | inconnu        |
| 999998   | Not applicable | not applicable |